

TESIS - SS14 2501

PEMODELAN ARIMAX DENGAN SIMETRIK DAN ASIMETRIK GARCH (Studi Kasus: Data Inflasi Nasional)

SRI ARYANI NRP 1314 201 715

DOSEN PEMBIMBING Dr.rer.pol. Heri Kuswanto, M.Si Dr. Suhartono, M.Sc

PROGRAM MAGISTER
JURUSAN STATISTIKA
FAKULTAS MATEMATIKA DAN ILMU PENGETAHUAN ALAM
INSTITUT TEKNOLOGI SEPULUH NOPEMBER
SURABAYA
2016



THESIS - SS14 2501

ARIMAX MODELING WITH SYMMETRIC AND ASYMMETRIC GARCH (Case Study: National Inflation Data)

SRI ARYANI NRP 1314 201 715

SUPERVISOR Dr.rer.pol. Heri Kuswanto, M.Si Dr. Suhartono, M.Sc

PROGRAM OF MAGISTER
STATISTICS DEPARTMENT
FACULTY OF MATHEMATICS AND NATURAL SCIENCES
SEPULUH NOPEMBER INSTITUTE OF TECHNOLOGY
SURABAYA
2016

PEMODELAN ARIMAX DENGAN SIMETRIK DAN ASIMETRIK GARCH

(Studi Kasus: Data Inflasi Nasional)

Tesis disusun untuk memenuhi salah satu syarat memperoleh gelar Magister Sains (M.Si)

di

Institut Teknologi Sepuluh Nopember Oleh:

SRI ARYANI NRP. 1314201715

Tanggal Ujian : 22 Januari 2016 Periode Wisuda : Maret 2016

Disetujui Oleh:

1. Dr.rer.pol. Heri Kuswanto, M.Si

NIP: 19820326 200312 1 004

(Pembimbing)

2. Dr. Suhartono, M.Sc

NIP: 19710929 199512 1 001

musewood

(Pembimbing)

3. Dr. Wahyu Wibowo, M.Si.

NIP: 19740328 199802 1 001

(Penguji)

4. Dr. Pudji Ismartini, M.App.Stat

NIP 19710815 199312 2 002

(Penguji)

TEKNOLOGIA Program Pascasarjana

rof ar Diaghar Manfaat, M.Sc, Ph.D

MTP 1960 202 198701 1 001

PEMODELAN ARIMAX DENGAN SIMETRIK DAN ASIMETRIK GARCH

(Studi Kasus: Data Inflasi Nasional)

Nama mahasiswa : Sri Aryani

NRP : 1314201715

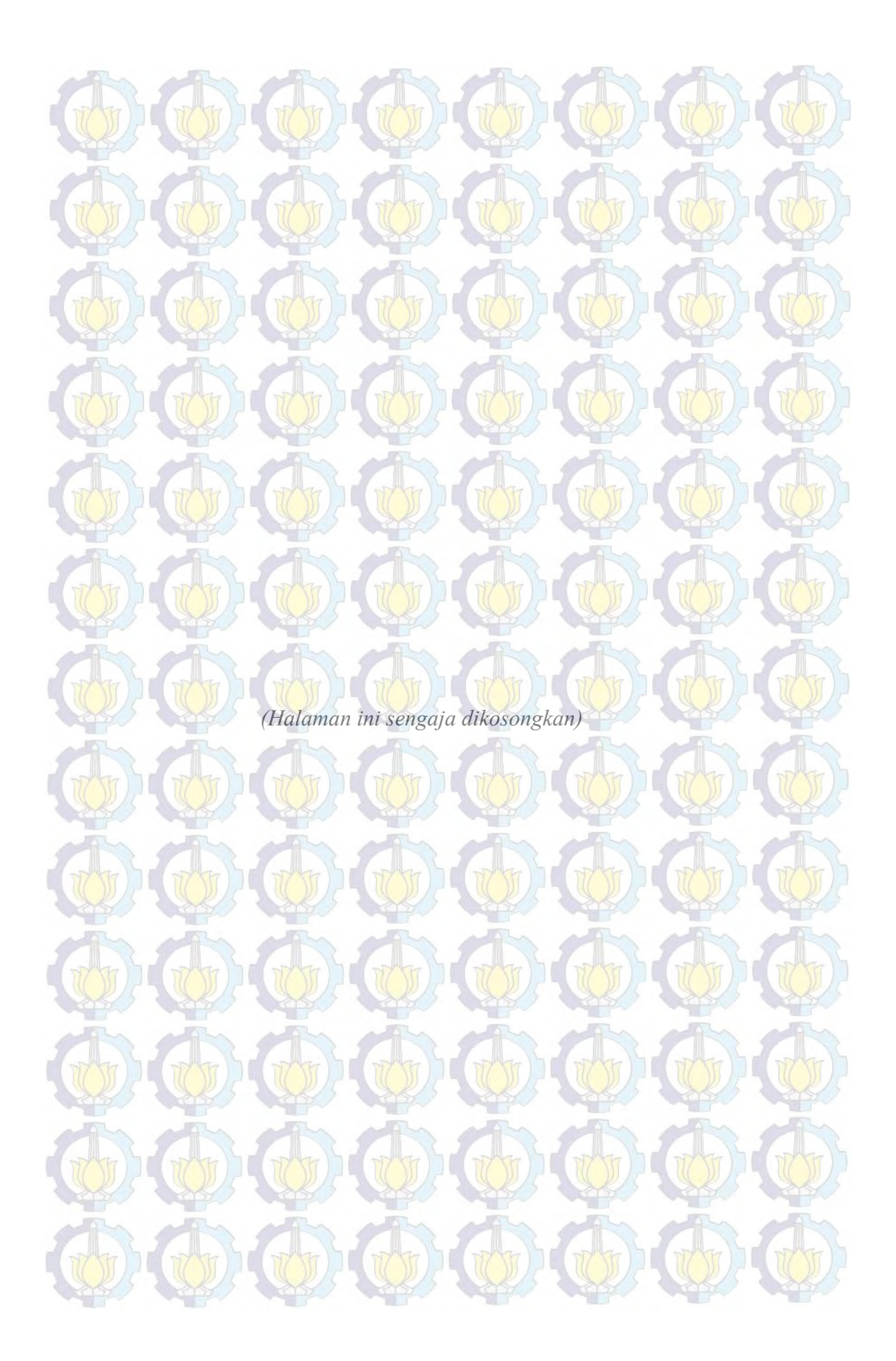
Pembimbing : Dr. rer.pol. Heri Kuswanto, M.Si

Co-Pembimbing ... Dr. Suhartono, M.Sc

ABSTRAK

Salah satu pemodelan data time series adalah model ARIMA yang mengasumsikan volatilitas konstan, tetapi terdapat banyak kasus data ekonomi dan keuangan memiliki volatilitas tidak konstan. Hal tersebut mengakibatkan terjadinya masalah heteroskedastisitas pada residual sehingga dibutuhkan model Generalized Autoregressive Conditional Heteroschedasticity (GARCH). Selain heteroskedastisitas, salah satu permasalahan yang terdapat pada residual adalah adanya efek asimetris atau leverage effect. Untuk itu diperlukan pemodelan asimetrik GARCH. Penelitian ini bertujuan untuk membandingkan tingkat keakuratan metode GARCH, Glosten Jagannathan Runkle-GARCH (GJR-GARCH) dan Asymmteric Power ARCH (APARCH) dengan menggunakan studi simulasi dan membandingkan kinerja peramalan inflasi menggunakan ARIMAX dengan GARCH, GJR-GARCH, dan APARCH. Data yang digunakan dalam penelitian ini adalah data inflasi Indonesia dan harga minyak dunia bulan Januari 1990-Desember 2015. Untuk membentuk model ramalan, data dibagi menjadi insample dan out-sample. Data in-sample terdiri dari data inflasi Indonesia dan harga minyak dunia bulan Januari 1990-Desember2014 dan data out-of-sample bulan Januari 2015-Desember 2015. Penelitian ini memberikan hasil pada simulasi data in-sample, GARCH(1,1) dan GJR-GARCH(1,1) lebih konsisten daripada APARCH(1,1) dalam pemodelan. *Power* uji asimetrik kurang dari 50% pada sampel kecil (200) maupun besar (1.000) dalam mendeteksi efek asimetrik. Pemodelan dan peramalan terbaik inflasi adalah menggunakan metode ARIMAX-GARCH(1,1) karena akan memberikan selang kepercayaan pendugaan inflasi yang lebih pendek dibandingkan dengan ARIMAX dan ARIMAX-APARCH(1,1). Rata-rata ramalan standard error pada model ARIMAX sebesar 0,99848, lebih besar dibandingkan rata-rata ramalan standard error pada model ARIMAX-GARCH(1,1) dan ARIMAX-APARCH(1,1) yang masing-masing sebesar 0,67981 dan 0,75648.

Kata Kunci: ARIMAX, GARCH, GJR-GARCH, APARCH, inflasi



ARIMAX MODELING WITH SYMMETRIC AND ASYMMETRIC GARCH

(Case Study: National Inflation Data)

Name : Sri Aryani
NRP : 131420171

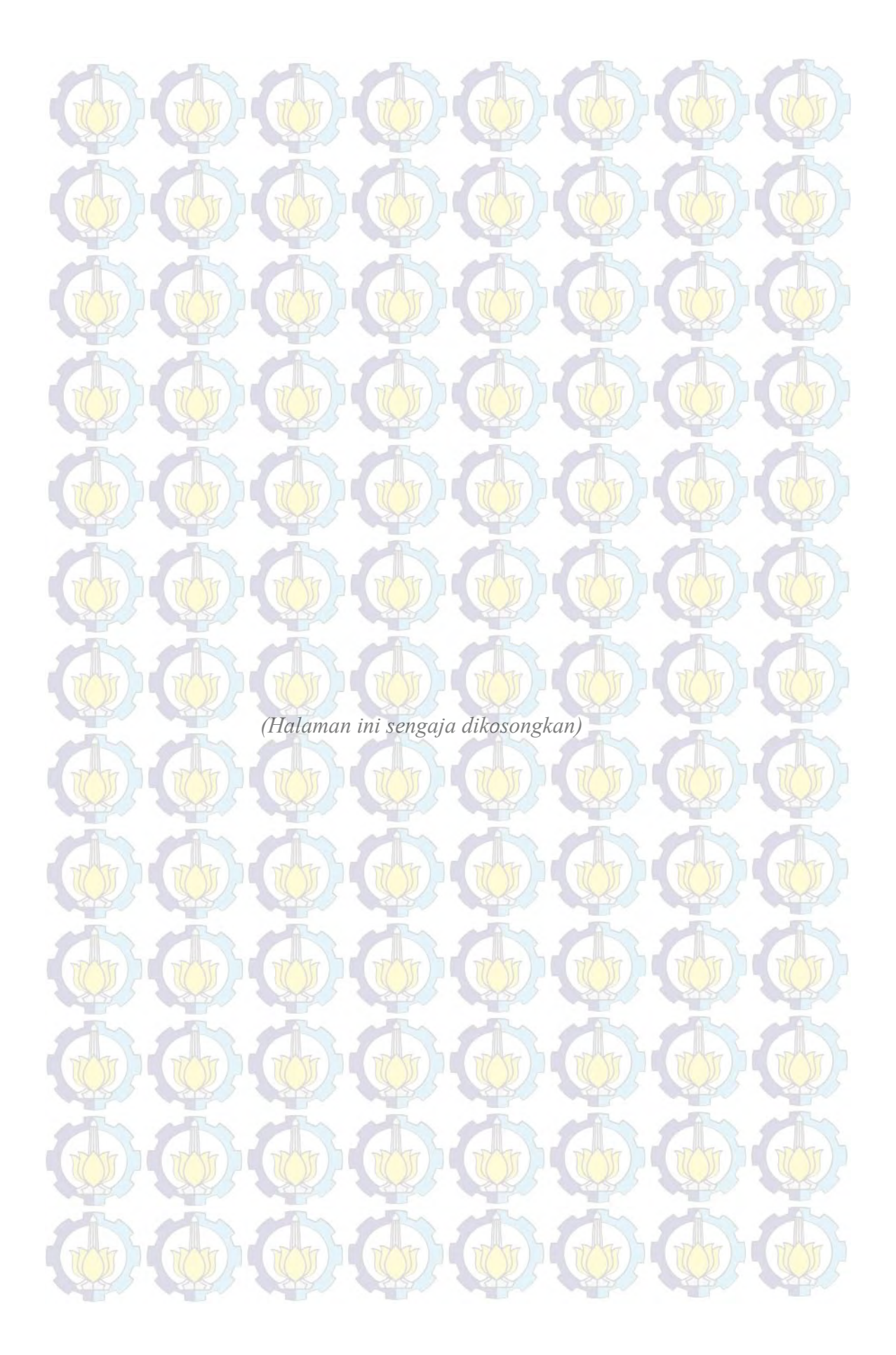
NRP : 1314201715 Supervisor : Dr. rer.pol. Heri Kuswanto, M.Si

Co-Supervisor : Dr. Suhartono, M.Sc

ABSTRACT

One modeling of time series data is ARIMA model that assumes constant volatility, but there are many cases of economic and financial data volatility that is not constant. This resulted heteroskedasticity problems in residual that needed Generalized Autoregressive Conditional Heteroschedasticity (GARCH) model. Besides heteroscedasticity, one of the problems contained in the residuals is the asymmetric effect or leverage effect. It is necessary for modeling asymmetric GARCH. This study aimed to compare the accuracy of GARCH, Glosten Jagannathan Runkle-GARCH (GJR-GARCH) and Asymmteric Power ARCH (APARCH) using simulation studies and comparing performance using ARIMAX inflation forecasting with GARCH, GJR-GARCH, and APARCH. The data used in this study are the national inflation data and world oil prices in January 1990-December 2015. To establish the forecast model, the data is divided into insample and out-of-sample. In-sample data are consisted of national inflation data and oil prices in January 1990 to Desember 2014 and out-of-sample data is from January 2015 to December 2015. This study shows the results that from data simulation, GARCH(1,1) and GJR-GARCH(1,1) are more consistent than APARCH (1,1) in the modeling. Power test asymmetric less than 50% on a small sample (200) and large (1,000) in detecting the asymmetric effect. The best method of modeling and forecasting inflation is ARIMAX-GARCH (1,1) because it will give confidence interval estimate of inflation which is shorter than the ARIMAX and ARIMAX-APARCH (1,1). The mean of standard error forecasting in ARIMAX model is 0.99848, greater than the mean of standard error forecasting on the model ARIMAX-GARCH (1,1) and ARIMAX-APARCH (1,1) are 0.67981 and 0.75648 respectively.

Keywords: ARIMAX, GARCH, GJR-GARCH, APARCH, inflation





Alhamdulillahi Robbil 'Aalamiin, puji syukur atas kehadirat Allah SWT, Dzat Yang Maha Esa, atas segala karunia nikmat, taufik dan hidayah-Nya kepada penulis sehingga tesis yang berjudul "PEMODELAN ARIMAX DENGAN SIMETRIK DAN ASIMETRIK GARCH, Studi Kasus: Data Inflasi Nasional" dapat terselesaikan tepat waktu. Dalam penyusunan tesis ini, penulis memperoleh banyak bantuan dari berbagai pihak, baik secara langsung maupun tidak langsung. Untuk itu pada kesempatan ini penulis ingin menyampaikan penghargaan dan ucapan terima kasih yang sebesar-besarnya kepada:

- 1. Badan Pusat Statistik (BPS) yang telah memberi kesempatan serta beasiswa kepada penulis untuk melanjutkan studi program S2 di ITS.
- 2. Bapak Dr.rer.pol. Heri Kuswanto, M.Si dan Bapak Dr. Suhartono, M.Sc selaku dosen pembimbing yang telah banyak meluangkan waktu serta dengan penuh kesabaran dan keikhlasannya dalam memberikan bimbingan, saran dan masukan serta motivasi dalam penyusunan tesis ini.
- 3. Bapak Dr. Suhartono, M.Sc selaku Ketua Jurusan Statistika FMIPA ITS Surabaya yang telah memberikan fasilitas dan pelayanan yang baik selama penulis menyelesaikan pendidikan S2 di kampus tercinta ini.
- 4. Bapak Dr. Wahyu Wibowo, M.Si dan Ibu Dr. Pudji Ismartini, M.App.Stat yang telah banyak memberikan koreksi, saran, dan masukan dalam penyusunan tesis ini.
- 5. Ibu Santi Wulan Purnami, M.Si, Ph.D, selaku dosen wali yang telah banyak memberikan bimbingan, masukan, dan arahan selama menempuh pendidikan di Program Studi Magister Jurusan Statistika ITS Surabaya.
- 6. Bapak dan Ibu dosen Statistika atas pembekalan ilmu dan pengalamannya selama penulis menempuh pendidikan di Program Studi Magister Jurusan Statistika FMIPA ITS Surabaya.
- 7. Kedua orangtua tercinta, yang telah membesarkan, mendidik dan mendoakan dengan penuh keikhlasan dan kasih sayangnya, kakak-kakak serta semua keluarga yang telah memberikan dukungan, motivasi, semangat dan doanya.

- 8. Santi Eksiandayani, "*my partner in crime*", atas segala kebaikan, canda tawa, dukungan, motivasi, kekompakan, serta kebersamaannya. Semoga Allah SWT berkenan mempertemukan lagi di masa mendatang.
- 9. Teman-teman kos ARH48: Mbak Dian, Mpih, Mbak Nike, Mbak Widi, Yanti, dan Mbak Afni, untuk segala bantuan, kerjasama, keceriaan, dan kebersamaannya selama ini. Semoga dapat berjumpa lagi di lain kesempatan.
- 10. Teman-teman BPS angkatan 8, Vivin, Maul, Mbak Nita, Aan, Mas Arip, Mas Mur, Mas Ali, Fatih, Mas Duto, Bang Rory, Bang Henri, Kak Zablin, terima kasih atas segala bantuannya, kebersamaan dan kekompakannya selama menjalani pendidikan di ITS, senang bisa bertemu dan mengenal temanteman semua, semoga dapat berjumpa lagi di lain kesempatan.
- 11. Teman-teman reguler angkatan 2014, teman-teman BPS angkatan 9, Pak Irul, dan Bagian Administarsi Jurusan Statistika FMIPA ITS beserta semua pihak yang tidak bisa disebutkan satu per satu terima kasih atas bantuannya.

Akhir kata, semoga segala kebaikan yang telah diberikan kepada penulis, mendapatkan pahala dari Allah SWT. Penulis menyadari bahwa tesis ini masih jauh dari kesempurnaan, untuk itu kritik dan saran yang bersifat membangun penulis harapkan demi perbaikan pada masa yang akan datang. Penulis berharap semoga tesis ini dapat memberikan manfaat kepada pembaca serta menambah wawasan keilmuan untuk penulis sendiri. Aamiin Yaa Robbal 'Aalamiin.



DAFTAR ISI HALAMAN JUDUL LEMBAR PENGESAHAN ABSTRAK vii ABSTRACT...... ix KATA PENGANTAR xi DAFTAR ISI..... xiii DAFTAR TABEL XVDAFTAR GAMBAR..... xix DAFTAR LAMPIRAN..... xxiii BAB I PENDAHULUAN..... 1 Latar Belakang..... 1 1.2 Perumusan Masalah 6 Tujuan Penelitian 1.3 6 Manfaat Penelitian. 1.4 Batasan Masalah. 6 BAB II TINJAUAN PUSTAKA 7 2.1 Model Time Series Stasioneritas..... 2.1.1 2.1.2 Autocovariance dan Autocorrelation Function (ACF)..... 2.1.3 Partial Autocovariance dan Autocorrelation Function (PACF) 9 2.2 Metode ARIMA Box-Jenkins 9 2.2.1 Identifikasi. 9 Uji Signifikansi Parameter..... 2.2.2 11 2.2.3 12 2.3 Deteksi Outlier..... 13 13 2.3.2 Innovational Outlier (IO)..... 14 Level Shift (LS)..... 2.3.3 15

| 2.4 ARIMA with Exogenous Factor (ARIMAX) | 15 |
|--|-----|
| 2.5 Model Heteroskedastisitas Deret Waktu | 20 |
| 2.5.1 Uji Heteroskedastisitas | 20 |
| 2.5.2 Model Autoregressive Conditional Heteroscedasticity (ARCH) | 21 |
| 2.5.3 Penaksiran Model ARCH(1) | 23 |
| 2.5.4 Model Generalized ARCH (GARCH) | 24 |
| 2.5.5 Model Glosten, Jagannathan dan Runkle GARCH | 26 |
| 2.5.6 Model Asymmetric Power ARCH (APARCH) | 27 |
| 2.6 Pemilihan Model Terbaik | 29 |
| 2.7 Inflasi | 29 |
| BAB III METODOLOGI PENELITIAN | 33 |
| 3.1 Data dan Variabel | 33 |
| 3.1.1 Sumber Data. | 33 |
| 3.1.2 Variabel Penelitian. | 33 |
| 3.2 Metode Analisis Data | 33 |
| 3.2.1 Studi Simulasi | 33 |
| 3.2.2 Aplikasi Data Riil | 34 |
| BAB IV HASIL DAN PEMBAHASAN | 39 |
| 4.1 Studi Simlasi | 39 |
| 4.1.1 Simulasi Data Bangkitan | 39 |
| 4.1.2 Hasil Simulasi | 41 |
| 4.2 Data Inflasi Nasional | 76 |
| 4.2.1 Gambaran Umum Inflasi | 76 |
| 4.2.2 Model ARIMA dan ARIMA Fungsi Transfer | 80 |
| 4.2.3 Model GARCH, GJR-GARCH, dan APARCH | 92 |
| BAB V KESIMPULAN DAN SARAN | 111 |
| 5.1 Kesimpulan | 111 |
| 5.2 Saran | 112 |
| DAFTAR PUSTAKA | 113 |
| LAMPIRAN | 117 |

DAFTAR TABEL Halaman Tabel 4.1 Setting parameter untuk data simulasi..... 40 Tabel 4.2 Setting parameter untuk data simulasi power dan size uji 41 Tabel 4.3 Perbandingan AIC model skenario 1 untuk data in-sample pada model GARCH, GJR-GARCH, dan APARCH...... 42 Tabel 4.4 Perbandingan AIC model skenario 2 untuk data in-sample pada model GARCH, GJR-GARCH, dan APARCH..... 44 Tabel 4.5 Perbandingan AIC model skenario 3 untuk data in-sample pada model GARCH, GJR-GARCH, dan APARCH...... 46 Tabel 4.6 Perbandingan AIC model skenario 4 untuk data in-sample pada model GARCH, GJR-GARCH, dan APARCH...... 48 Tabel 4.7 Perbandingan AIC model skenario 5 untuk data in-sample pada model GARCH, GJR-GARCH, dan APARCH...... 50 Tabel 4.8 Perbandingan AIC model skenario 6 untuk data in-sample pada model GARCH, GJR-GARCH, dan APARCH...... 52 Tabel 4.9 Perbandingan AIC model skenario 7 untuk data in-sample pada model GARCH, GJR-GARCH, dan APARCH..... 54 **Tabel 4.10** Perbandingan AIC model skenario 8 untuk data in-sample pada model GARCH, GJR-GARCH, dan APARCH...... 56 Tabel 4.11 Perbandingan AIC model skenario 9 untuk data in-sample pada model GARCH, GJR-GARCH, dan APARCH...... 58 **Tabel 4.12** Perbandingan AIC model skenario 10 untuk data in-sample pada model GARCH, GJR-GARCH, dan APARCH...... 60 **Tabel 4.13** Perbandingan AIC model skenario 11 untuk data in-sample pada model GARCH, GJR-GARCH, dan APARCH...... 62 Perbandingan AIC model skenario 12 untuk data in-sample **Tabel 4.14** pada model GARCH, GJR-GARCH, dan APARCH..... 64

| | | . 1970 |
|--|---|--|
| Tabel 4.15 | Perbandingan AIC model skenario 13 untuk data in-sample | THE STATE OF THE S |
| | pada model GARCH, GJR-GARCH, dan APARCH | 65 |
| Tabel 4.16 | Perbandingan AIC model skenario 14 untuk data in-sample | 1 |
| | pada model GARCH, GJR-GARCH, dan APARCH | 66 |
| Tabel 4.17 | Perbandingan AIC model skenario 15 untuk data in-sample | |
| THE STATE OF THE S | pada model GARCH, GJR-GARCH, dan APARCH | 69 |
| Tabel 4.18 | Ringkasan akurasi hasil simulasi pada jumlah sampel | |
| M | 200 | 70 |
| Tabel 4.19 | Ringkasan akurasi hasil simulasi pada jumlah sampel | |
| | 200 | 71 |
| Tabel 4.20 | Pesentase hasil uji asimetrik untuk simulasi model | |
| | GARCH(1,1) | 72 |
| Tabel 4.21 | | |
| | GARCH(1,1) | 74 |
| Tabel 4.22 | Pesentase hasil uji asimetrik untuk simulasi model | |
| | APARCH(1,1) | 75 |
| Tabel 4.23 | Uji signifikansi parameter model ARIMA inflasi | |
| | nasional | 81 |
| Tabel 4.24 | Uji Residual White Noise Model ARIMA Inflasi | |
| | nasional | 81 |
| | Identifikasi outlier data inflasi nasional | 83 |
| Tabel 4.26 | Uji signifikansi parameter model ARIMA inflasi | |
| THE STATE OF | nasional | 83 |
| Tabel 4.27 | Uji White Noise residual model ARIMA inflasi | |
| A. | nasional | 84 |
| Tabel 4.28 | Perbandingan data out-of-sample dan hasil ramalan model | |
| | ARIMA Januari-Desember 2015 | 85 |
| Tabel 4.29 | Uji signifikansi parameter ARIMA perubahan harga | |
| T. 1-1420 | minyak dunia. | 87 |
| Tabel 4.30 | Uji white noise model ARIMA perubahan harga minyak dunia. | 07 |
| | quilla | 87 |
| | | |

| | Tabel 4.31 | Uji signifikansi model ARIMA fungsi transfer | 89 |
|----|--|--|-----|
| | Tabel 4.32 | Uji White noise model ARIMA fungsi transfer | 90 |
| | Tabel 4.33 | Uji signifikansi model ARIMA fungsi transfer setelah | 1 |
| | | deteks <mark>i <i>outlier</i></mark> | 90 |
| | Tabel 4.34 | Uji White noise model ARIMA fungsi transfer dengan | |
| | To the state of th | outlier | 91 |
| | Tabel 4.35 | Outlier model ARIMA fungsi transfer | 92 |
| | Tabel 4.36 | Uji heteroskedastisitas residual model ARIMA inflasi | 1 |
| | | nasional | 93 |
| | Tabel 4.37 | Uji signifikansi parameter model ARCH(1) | 94 |
| | Tabel 4.38 | Uji white noise model ARCH(1) | 95 |
| | Tabel 4.39 | Uji goodness of fit distribusi residual model ARCH(1) | 95 |
| نو | Tabel 4.40 | Uji signifikansi parameter model ARCH(2) | 96 |
| | Tabel 4.41 | Uji signifikansi parameter model GARCH(0,1) | 96 |
| | Tabel 4.42 | Uji signifikansi parameter model GARCH(0,2) | 97 |
| | Tabel 4.43 | Uji signifikansi parameter model GARCH(1,1) | 97 |
| | Tabel 4.44 | Uji <i>Ljung-Box</i> model GARCH(1,1) | 98 |
| أم | Tabel 4.45 | Uji goodness of fit distribusi residual model GARCH(1,1) | 98 |
| | Tabel 4.46 | Uji ARCH LM residual model GARCH(1,1) | 99 |
| | Tabel 4.47 | Uji asimterik residual model GARCH(1,1) | 99 |
| | Tabel 4.48 | Uji signifikansi parameter model GARCH(1,2) | 100 |
| | Tabel 4.49 | Uji signifikansi parameter model GARCH(2,1) | 100 |
| M | Tabel 4.50 | Uji signifikansi parameter model GARCH(2,2) | 101 |
| | Tabel 4.51 | Ringk <mark>asan hasil u</mark> ji si <mark>gnifi</mark> kansi <mark>par</mark> ameter model | |
| | | GARCH | 101 |
| | Tabel 4.52 | Uji signifikansi parameter model GJR-GARCH(1,1) | 102 |
| | Tabel 4.53 | Uji Ljung-Box model GJR-GARCH(1,1) | 103 |
| | Tabel 4.54 | Uji goodness of fit distribusi residual model GJR | |
| J | | GARCH(1,1). | 103 |
| | Tabel 4.55 | Uji ARCH LM residual model GJR-GARCH(1,1) | 104 |
| | Tabel 4.56 | Uji signifikansi parameter model APARCH(1,1) | 104 |
| | | | |

| Tabel 4.57 | Uji Ljung-Box model APARCH(1,1) | 105 |
|--|--|--------|
| Tabel 4.58 | Uji Ljung-Box model APARCH(1,1) | 106 |
| Tabel 4.59 | Uji ARCH LM residual model APARCH(1,1) | 106 |
| Tabel 4.60 | Perbandingan hasil ramalan sigma pada GARCH(1,1) dan | |
| | APARCH(1,1) | 108 |
| Tabel 4.61 | Perbandingan hasil interval ramalan ARIMAX, ARIMAX- | |
| | GARCH(1,1), dan ARIMAX-APARCH(1,1) | 109 |
| 1 | The first of the first | |
| | | |
| | AAAAAA | 1 |
| | | |
| | | |
| TOTAL | | |
| | | |
| 1 | | |
| | | |
| | A A A A A | 1 |
| (T) | | |
| | | |
| THE STATE OF THE S | | |
| | | |
| 1 | | |
| | | |
| | AMAMA | 1 |
| | | |
| | | |
| THE STATE OF | | TATE |
| | | |
| 1 | | Town . |
| | | |

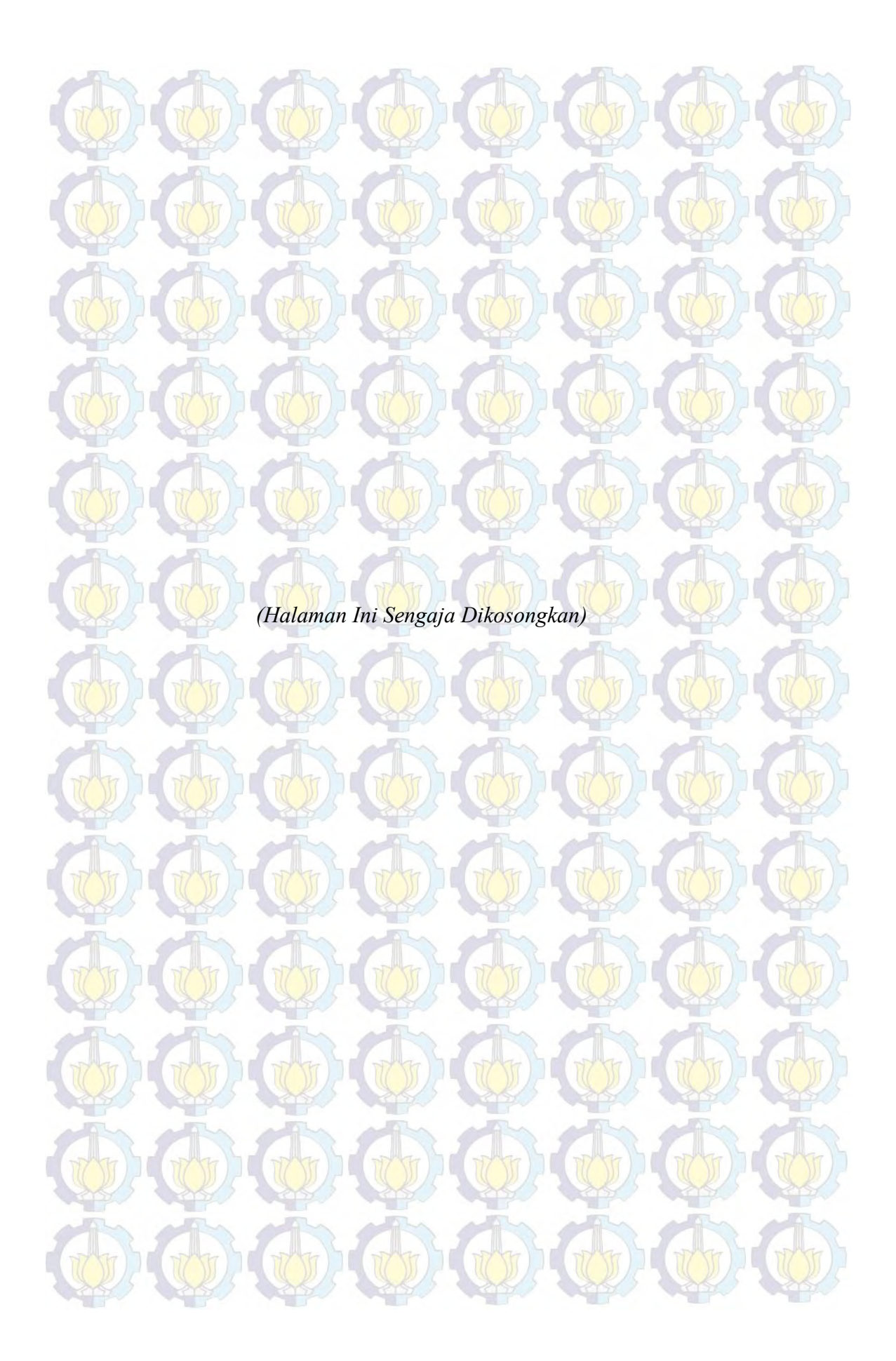
DAFTAR GAMBAR Halaman Diagram alir pemodelan data dengan metode ARIMAX-Gambar 3.1 GARCH..... 38 Gambar 4.1 Plot ACF observasi, ACF dari kuadrat observasi, time series, dan plot sigma dari model skenario 1...... 41 News impact curve pada model skenario 1..... Gambar 4.2 43 Gambar 4.3 Plot ACF observasi, ACF dari kuadrat observasi, time series, dan plot sigma dari model skenario 2..... 43 Gambar 4.4 News impact curve pada model skenario 2..... 45 Gambar 4.5 Plot ACF observasi, ACF dari kuadrat observasi, time series, dan plot sigma dari model skenario 3..... 45 Gambar 4.6 News impact curve pada model skenario 3...... 47 Gambar 4.7 Plot ACF observasi, ACF dari kuadrat observasi, time series. 47 dan plot sigma dari model skenario 4..... Gambar 4.8 News impact curve pada model skenario 4..... 49 Gambar 4.9 Plot ACF observasi, ACF dari kuadrat observasi, time series, dan plot sigma dari model skenario 5..... 49 Gambar 4.10 News impact curve pada model skenario 5..... 51 Gambar 4.11 Plot ACF observasi, ACF dari kuadrat observasi, time series, dan plot sigma dari model skenario 6..... 51 Gambar 4.12 News impact curve pada model skenario 6..... 53 Gambar 4.13 Plot ACF observasi, ACF dari kuadrat observasi, time series, dan plot sigma dari model skenario 7..... 53 Gambar 4.14 News impact curve pada model skenario 7..... 55 Gambar 4.15 Plot ACF observasi, ACF dari kuadrat observasi, time series, 55 dan plot sigma dari model skenario 8.....

57

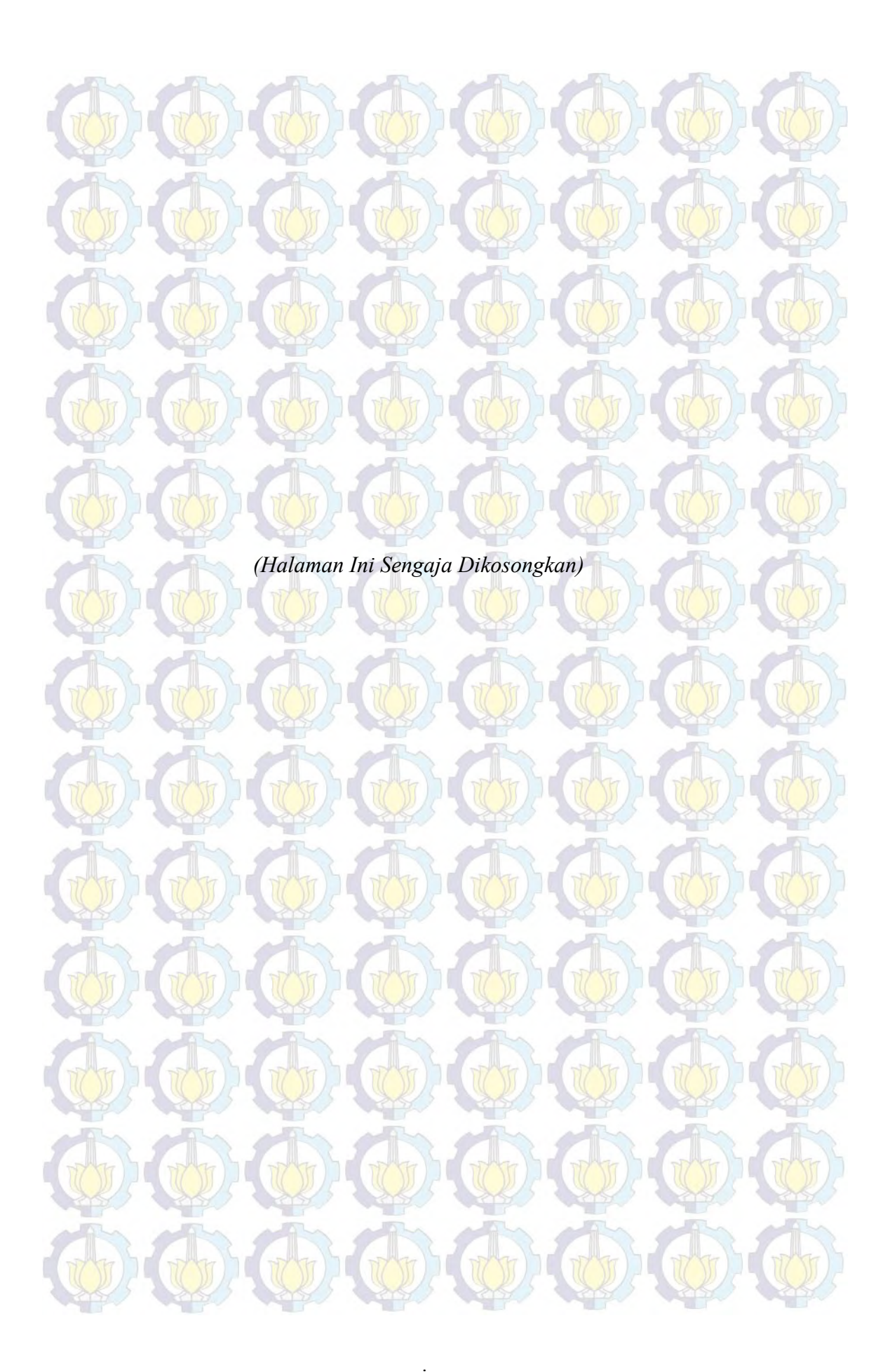
Gambar 4.16 News impact curve pada model skenario 8......

| THE STATE OF | THE | PITT |
|--------------|--|-------|
| Gambar 4.17 | Plot ACF observasi, ACF dari kuadrat observasi, time series, | |
| | dan plot sigma dari model skenario 9 | 57 |
| Gambar 4.18 | News impact curve pada model skenario 9 | 59 |
| Gambar 4.19 | Plot ACF observasi, ACF dari kuadrat observasi, time series, | |
| W. W. | dan plot sigma dari model skenario 10 | 59 |
| Gambar 4.20 | News impact curve pada model skenario 10 | 60 |
| Gambar 4.21 | Plot ACF observasi, ACF dari kuadrat observasi, time series, | 1 |
| | dan plot sigma dari model skenario 11 | 61 |
| Gambar 4.22 | News impact curve pada model skenario 11 | 62 |
| | Plot ACF observasi, ACF dari kuadrat observasi, time series, | |
| | dan plot sigma dari model skenario 12 | 63 |
| Gambar 4.24 | News impact curve pada model skenario 12 | 64 |
| | Plot ACF observasi, ACF dari kuadrat observasi, time series, | |
| | dan plot sigma dari model skenario 13 | 65 |
| Gambar 4.26 | News impact curve pada model skenario 13 | 66 |
| | Plot ACF observasi, ACF dari kuadrat observasi, <i>time series</i> , | |
| 09 0 | dan plot sigma dari model skenario 14 | 67 |
| Gambar 4.28 | News impact curve pada model skenario 13 | 68 |
| | Plot ACF observasi, ACF dari kuadrat observasi, <i>time series</i> , | |
| Gambai 4.2) | dan plot sigma dari model skenario 15 | 68 |
| Combon 4 30 | News impact curve pada model skenario 15 | 69 |
| | Plot series data inflasi nasional Januari 1990-Desember | 09 |
| Gambar 4.51 | 2015 | 17 77 |
| C 1 422 | | 77 |
| Gambar 4.32 | Deskripsi inflasi bulanan nasional Januari 1990-Desember 2015. | |
| | | 77 |
| Gambar 4.33 | Plot series data perubahan harga minyak dunia Januari 1990- | |
| THE T | Desember 2015. | 78 |
| Gambar 4.34 | Deskripsi persentase perubahan harga minyak dunia Januari | |
| | 1990-Desember 2015 | 79 |
| Gambar 4.35 | Plot ACF (a) dan PACF (b) data inflasi nasional | 80 |

| THE CHAIN | CHAIN CHAIN CHAIN CHAIN | |
|----------------------------|---|------------|
| | Plot ACF (a) dan PACF (b) residual ARIMA inflasi | 82 |
| Gambar 4.37 | Qq-plot residual inflasi | 82 |
| Gambar 4.38 | Plot residual inflasi nasional setelah deteksi outlier | 84 |
| Gambar 4.39 | Plot ACF dan PACF perubahan harga minyak dunia | 86 |
| Gambar 4.40 | Plot ACF dan PACF residual model ARIMA perubahan | |
| | harga minyak dunia | 87 |
| Gambar 4.41 | Qq plot residual model ARIMA perubahan harga minyak | |
| | dunia | 88 |
| Gambar 4.42 | CCF perubahan harga minyak dunia dan inflasi | 89 |
| Gambar 4.43 | Plot residual model ARIMAX setelah deteksi outlier | 91 |
| Gambar 4.44 | Series residual dan residual kuadrat dari model ARIMA | |
| 1 | inflasi | 93 |
| Gamba <mark>r 4.4</mark> 5 | Plot acf dan pacf residual (a) dan plot acf dan pacf residual | |
| | kuadrat (b) dari model ARIMA inflasi | 94 |
| | N I I CARCINAL A ARABOWA 1) | V |
| Gambar 4.46 | News impact curve model GARCH(1,1) dan APARCH(1,1) | 107 |
| | Ramalan interval inflasi Januari-Desember 2015 | 107 109 |
| | | |
| | | |
| | | |
| | | |
| Gambar 4.47 | Ramalan interval inflasi Januari-Desember 2015 | 109 |
| Gambar 4.47 | Ramalan interval inflasi Januari-Desember 2015 | 109 |
| Gambar 4.47 | | 109 |
| Gambar 4.47 | Ramalan interval inflasi Januari-Desember 2015 | 109 |
| Gambar 4.47 | Ramalan interval inflasi Januari-Desember 2015 | 109 |
| Gambar 4.47 | Ramalan interval inflasi Januari-Desember 2015 | 109 |
| Gambar 4.47 | Ramalan interval inflasi Januari-Desember 2015 | 109 |
| Gambar 4.47 | Ramalan interval inflasi Januari-Desember 2015 | 109 |
| Gambar 4.47 | Ramalan interval inflasi Januari-Desember 2015 | 109 |



DAFTAR LAMPIRAN Halaman Lampiran 1 Data Inflasi Indonesia dan Persentase Perubahan Rata-rata Harga Minyak Dunia Januari 1990 sampai dengan Desember 2015 117 Lampiran 2 Sintaks Program R untuk Data Bangkitan GARCH(1,1)..... 124 Lampiran 3 Sintaks Program R untuk Data Bangkitan GJR-GARCH(1,1)..... 125 Lampiran 4 Sintaks Program R untuk Data Bangkitan APARCH(1,1)..... 126 Lampiran 5 Sintaks Program R untuk Menghitung Power Pengujian Asimetrik..... 127 Sintaks Program R untuk Pemodelan GARCH(1,1) Inflasi.... Lampiran 6 129 Sintaks Program R untuk Pemodelan GJR-GARCH(1,1) Lampiran 7 130 Inflasi Lampiran 8 Program R untuk Pemodelan APARCH(1,1) Sintaks Inflasi..... 131 Hasi Uji ADF Data Inflasi Lampiran 9 132 Hasi Uji ADF Data Persentase Perubahan Rata-rata Harga Lampiran 10 133 Output ARCH(1) 134 Lampiran 11 Lampiran 12 Output ARCH(2) 135 Lampiran 13 Output GARCH(0,1) 136 Output GARCH(0,2) Lampiran 14 137 Output GARCH(1,1) Lampiran 15 138 Lampiran 16 Output GARCH(1,2) 139 Output GARCH(2,1) Lampiran 17 140 Lampiran 18 Output GARCH(2,2) 141 Output GJR-GARCH(1,1) Lampiran 19 142 Output APARCH(0,1) Lampiran 20 143



BAB 1 PENDAHULUAN

1.1 Latar Belakang

Kehidupan perekonomian suatu negara tidak terlepas dari masalah ekonomi makro, antara lain: pertumbuhan ekonomi, inflasi, pengangguran, kestabilan kegiatan ekonomi serta neraca perdagangan dan neraca pembayaran (Sukirno, 2012). Secara sederhana inflasi diartikan sebagai meningkatnya hargaharga secara umum dan terus menerus. Menurut Badan Pusat Statistik (BPS), inflasi merupakan kenaikan harga barang dan jasa secara umum dimana barang dan jasa tersebut merupakan kebutuhan pokok masyarakat atau turunnya daya jual mata uang suatu negara. Jika perkembangan inflasi bergerak tanpa kendali akan mengakibatkan nilai uang akan menjadi rendah. Inflasi yang tinggi sangat penting diperhatikan mengingat dampaknya bagi perekonomian yang dapat menimbulkan ketidakstabilan ekonomi, pertumbuhan ekonomi yang lambat, dan pengangguran yang meningkat.

Dalam perkembangannya, menurut BPS, inflasi di Indonesia dapat dikelompokkan berdasarkan pengaruhnya ke dalam tiga komponen disagregasi inflasi, yaitu inflasi inti (core inflation), inflasi komponen bergejolak (volatile food inflation), dan inflasi komponen harga yang diatur pemerintah (administered price inflation). Disagregasi inflasi tersebut dilakukan untuk menghasilkan suatu indikator inflasi yang lebih menggambarkan pengaruh dari faktor yang bersifat fundamental.

Secara umum, inflasi timbul karena adanya tekanan dari sisi penawaran (cost push inflation) dan dari sisi permintaan (demand pull inflation). Dalam perkembangannya, faktor lain yang juga dapat memengaruhi tingkat inflasi adalah naiknya gaji pegawai negeri, adanya hari besar kegamaan serta kebijakan pemerintah dalam penyesuaian harga Bahan Bakar Minyak (BBM) dan Tarif Dasar Listrik (TDL). Faktor-faktor terjadinya cost push inflation dapat disebabkan oleh depresiasi nilai tukar, dampak inflasi luar negeri terutama negara-negara partner dagang, peningkatan harga-harga komoditi yang diatur pemerintah

(administered price), dan terjadi negative supply shocks akibat bencana alam dan terganggunya distribusi.

Kenaikan harga minyak mentah di pasar internasional juga menyebabkan meningkatnya inflasi. Harga minyak mentah yang lebih tinggi akan segera diikuti oleh naiknya harga produk-produk minyak, seperti bensin dan minyak bakar yang digunakan konsumen (Cologni dan Manera, 2008). Lebih lanjut, karena ada upaya mensubstitusi minyak dengan energi bentuk lain, harga sumber energi alternatif juga akan meningkat. Nizar (2012) melakukan penelitian mengenai dampak fluktuasi harga minyak dunia terhadap perekonomian Indonesia menggunakan metode *Vector Auto Regressive* (VAR), menunjukkan hasil bahwa fluktuasi harga minyak dunia memberi dampak positif terhadap laju inflasi selama satu tahun. Sementara itu Saleem dan Ahmad (2015) melakukan penelitian serupa di Pakistan dan menunjukkan hasil bahwa fluktuasi harga minyak dunia berdampak positif terhadap inflasi di Pakistan.

Penghitungan inflasi didasarkan pada perubahan indeks harga konsumen (IHK) yang merupakan suatu indeks yang menghitung rata-rata perubahan harga dalam suatu periode, dari suatu kumpulan barang dan jasa yang dikonsumsi oleh penduduk/rumah tangga dalam kurun waktu tertentu. Salah satu metode analisis yang dapat digunakan untuk memodelkan dan meramalkan angka inflasi adalah analisis deret waktu.

Pengamatan-pengamatan dalam deret waktu seringkali dipengaruhi oleh kejadian-kejadian yang tidak biasa, gangguan, krisis politik dan ekonomi, maupun kesalahan-kesalahan dalam pencatatan maupun perekaman data. Kejadian-kejadian tersebut biasanya disebut sebagai *outlier*. Keberadaan *outlier* mempunyai pengaruh substansial terhadap peramalan maupun spesifikasi model. Karena dampak yang begitu besar tersebut, penting untuk melakukan suatu prosedur untuk mendeteksi dan mengatasi *outlier*.

Penelitian terkait peramalan inflasi di Indonesia dengan berbagai metode analisis deret waktu telah banyak dilakukan. Suryono (2009) memodelkan dan meramalkan inflasi nasional dengan metode *Auto Regressive Integrated Moving Average* (ARIMA) dan ARIMAX-*Neural Network* (ARIMAX-NN) dengan hasil bahwa model ARIMAX-NN merupakan model terbaik yang digunakan. Rokimah

(2012) melakukan peramalan inflasi Jawa Timur dengan pendekatan fungsi transfer multi input dan Artificial Neural Network (ANN) yang mendapatkan hasil bahwa metode fungsi transfer multi input merupakan metode terbaik untuk meramalkan nilai inflasi umum dua sampai dengan delapan, sepuluh dan sebelas langkah ke depan sedangkan metode ANN merupakan metode terbaik untuk meramalkan nilai inflasi umum satu, sembilan, dan dua belas langkah ke depan. Juwariyanto (2012) menggunakan model Bayesian Markov Switching Auto Regressive Conditional Heteroskedasticity (Bayesian MS-ARCH) untuk meramalkan inflasi Indonesia dengan hasil bahwa peramalan conditional mean dan conditional variance dengan menggunakan model Bayesian MS-ARCH lebih baik daripada model Bayesian Generalized ARCH (Bayesian GARCH). Selanjutnya Rukini (2014) memodelkan inflasi kota Denpasar dengan metode ARIMAX dan deteksi GARCH dengan hasil bahwa tidak terdapat heteroskedastisitas pada model ARIMAX yang terbentuk. Affandi (2014) melakukan pemodelan dengan Vector Auto Regressive (VAR) dan Generalize Space Time Auto Regressive (GSTAR) untuk meramalkan inflasi kota Jayapura, Sorong, dan Manokwari yang menunjukkan bahwa model terbaik adalah VAR.

Penelitian di luar negeri mengenai inflasi diantaranya adalah Bidarkota dan McCulloch (1998) yang melakukan peramalan inflasi Amerika Serikat menggunakan model univariat state space dengan symmetric stable shocks dengan hasil bahwa model stable shocks untuk level shift outlier memberikan hasil estimasi yang lebih akurat. Hyung et al. (2006) melakukan peramalan inflasi menggunakan model structural breaks dan long memory yang memberikan hasil bahwa model tersebut lebih baik daripada model linier auto regressive. Kichian dan Rumler (2014) memodelkan inflasi menggunakan New Keynesian Phillips Curve (NKPC) dan menunjukkan bahwa pendekatan semi structural NKPC memberikan hasil peramalan yang lebih baik daripada metode konvensional. Selanjutnya Maheu dan Song (2014) meramalkan inflasi dengan model structural breaks dengan hasil bahwa model terbaik untuk permalan inflasi Kanada adalah model structural breaks. Malhotra dan Krishna (2015) menggunakan DCC-GARCH untuk menganalisis dampak fluktuasi harga minyak mentah dunia

terhadap inflasi dan suku bunga di India, dengan hasil bahwa fluktuasi harga minyak mentah dunia memiliki dampak signifikan terhadap inflasi.

Salah satu asumsi dalam deret waktu adalah adanya autokorelasi, misalnya korelasi antara kejadian waktu sekarang dengan waktu sebelumnya. Terdapat berbagai model yang biasa digunakan dalam analisis deret waktu, baik model univariat maupun multivariat. Model univariat yang sering digunakan diantaranya ARIMA, *Exponential Smoothing*, dan GARCH, sedangkan model multivariat yang sering digunakan adalah VAR. Asumsi lain dalam membentuk ARIMA maupun VAR adalah stasioner baik dari rata-rata ataupun variansinya. Menstasionerkan rata-rata bisa didapatkan dengan mendiferensikan data deret waktu. Akan tetapi untuk menstasionerkan variansi sulit didapatkan karena ketika data deret waktu didiferensi dan diperoleh stasioner pada rata-rata, data tersebut menjadi lebih tidak stasioner pada variansi seperti data deret waktu finansial (indeks harga saham, tingkat suku bunga, inflasi, atau kurs mata uang) yang umumnya memiliki variansi yang tidak konstan (heteroskedastisitas).

Untuk menanggulangi masalah heteroskedastisitas ini, digunakan ARCH yang diperkenalkan oleh Engle pada tahun 1982. Menurut Engle, penggunaan metode ARCH pada data deret waktu yang mengalami heteroskedastisitas berperan penting dalam meningkatkan efisiensi. Pada model ini, variansi *error* data deret waktu sekarang hanya dipengaruhi oleh *error* dari variabel yang diteliti pada waktu sebelumnya. Kemudian pada tahun 1986, Tim Bollerslev mengembangkan metode ARCH dengan metode yang disebut *Generalized Autoregressive Conditional Heteroscedasticity* (GARCH). Model ini dianggap memberikan hasil yang lebih singkat dan efektif daripada model ARCH karena dapat mengurangi ketergantungan sejumlah besar *Lag error* masa lalu.

Dalam perkembangannya, model GARCH memiliki banyak jenis diantaranya Glosten Jagannathan Runkle-GARCH (GJR-GARCH), *Treshold* GARCH (TGARCH), *Exponential* GARCH (EGARCH), Nonlinear GARCH (NGARCH), Asymmetric Power ARCH (APARCH), *Constant Conditional Correlation-GARCH* (CCC-GARCH), *Dynamic Conditional Correlation-GARCH* (DCC-GARCH), dan lain-lain. Ding *et al.* (1993) menyatakan bahwa tidak cukup beralasan hanya menggunakan fungsi linier saja untuk varians residual. Pada

banyak kasus finansial, model nonlinier ternyata memiliki hasil yang lebih baik dibandingkan model linier. Hal itu terbukti pada penelitian yang dilakukan Rizvi et al. (2013) yang memodelkan inflasi beberapa negara di Asia termasuk Indonesia dengan membandingkan model simetrik dan asimetrik GARCH.

Salah satu model asimetrik GARCH yang banyak digunakan adalah GJR-GARCH. Model ini merupakan pengembangan GARCH yang digagas oleh Glosten et al. (1993). Hentschel (1994) meneliti tentang model simetrik dan asimetrik GARCH pada deret waktu harga saham harian Amerika Serikat. Dalam penelitian tersebut, Hentschel membandingkan GARCH, GJR-GARCH, TGARCH, NGARCH, EGARCH, dan APGARCH dalam melakukan peramalan. Selanjutnya Forte dan Manera (2006) melakukan penelitian volatilitas harga saham di Asia dan Eropa dengan beberapa model asimetrik GARCH salah satunya adalah GJR-GARCH. Akurasi peramalan pada setiap model tersebut berbeda-beda bergantung pada negara yang menjadi domain penelitian. Selanjutnya Labuschagne (2015) menyimpulkan dari hasil penelitiannya tentang permalan indeks nilai tukar sekuritas BRICS bahwa model asimetrik GARCH (GJR-GARCH dan EGARCH) lebih akurat dalam hasil pemodelan dibandingkan dengan Risk Neutral Historic Distribution (RNHD).

Model APARCH yang dikembangkan Ding et al. pada tahun 1993 merupakan model yang komprehensif dan mencakup tujuh model GARCH lainnya. Sanjaya (2015) menggunakan APARCH, NGARCH, GJR-GARCH, GARCH, EGARCH, dan TGARCH untuk memodelkan volatilitas nilai tukar rupiah terhadap dollar Amerika, dengan hasil bahwa APARCH merupakan model terbaik diantara model-model tersebut. Sementara itu Tully dan Lucey (2007) menggunakan GARCH dan APARCH untuk menganalisis dampak indikator makro ekonomi terhadap harga emas dan menunjukkan hasil bahwa metode APARCH tepat digunakan untuk memodelkan harga emas. Lin dan Fei (2012) memodelkan fluktuasi saham di China menggunakan berbagai modifikasi GARCH dan APARCH, dengan hasil bahwa APARCH lebih baik dalam menggambarkan long memory pada saham. Selanjutnya penelitian yang dilakukan oleh Hickey et al. (2012) menggunakan ARMAX-GARCH model dengan simetrik dan asimetrik GARCH model untuk meramalkan harga listrik di Amerika

Serikat. Hasil yang diperoleh bahwa APARCH merupakan model terbaik untuk menggambarkan volatilitas harga listrik.

1.2 Perumusan Masalah

Berdasarkan latar belakang yang telah diuraikan sebelumnya, dapat diidentifikasi beberapa permasalahan sebagai berikut: Bagaimana membandingkan tingkat keakuratan metode GARCH, GJR-GARCH dan APARCH menggunakan studi simulasi? Bagaimana kinerja peramalan pada data inflasi menggunakan ARIMAX dengan GARCH, GJR-GARCH, dan APARCH?

1.3 Tujuan Penelitian

Berdasarkan permasalahan yang telah dirumuskan, tujuan dari penelitian ini adalah sebagai berikut:

- 1. Membandingkan tingkat keakuratan metode GARCH, GJR-GARCH dan APARCH dengan menggunakan studi simulasi.
- 2. Membandingkan kinerja peramalan pada data inflasi menggunakan ARIMAX dengan GARCH, GJR-GARCH, dan APARCH.

1.4 Manfaat Penelitian

Penelitian ini diharapkan memiliki manfaat:

- 1. Dapat dijadikan sebagai masukkan bagi pemerintah khususnya BPS dalam memodelkan data deret waktu seperti inflasi, PDRB, dan data yang terdapat masalah heteroskedastisitas dan terindikasi mengandung *outlier*.
- 2. Dapat menambah wawasan dan pengetahuan mengenai metode ARIMAX maupun pengembangan model-model GARCH.

1.5 Batasan Masalah

Dalam penelitian ini, digunakan data inflasi nasional dan perubahan ratarata harga minyak dari ketiga jenis penghasil minyak dunia yaitu Brent, West Texas Intermediate (WTI), dan Dubai. Selanjutnya variabel yang digunakan sebagai variabel eksogen yaitu harga minyak dunia dan deteksi outlier. Pada pemodelan simetrik dan asimetrik GARCH, dibatasi pada model GARCH yang berdistribusi normal.

BAB 2 TINJAUAN PUSTAKA

Pada bagian ini akan dijelaskan teori-teori yang berkaitan dengan analisis yang digunakan dalam penelitian ini, yang meliputi konsep dasar *time series*, model ARIMA, model ARIMAX, model GARCH, model GJR-GARCH, model APARCH, dan penjelasan mengenai inflasi di Indonesia.

2.1 Model Time Series

Model *time series* merupakan suatu model yang mempelajari pola gerakan nilai-nilai variabel pada satu interval waktu yang teratur. Dari model *time series* ini akan diperoleh ukuran-ukuran yang dapat digunakan untuk membuat keputusan pada saat ini, untuk peramalan dan perencanaan masa depan. Model time *series* ini banyak digunakan untuk analisis data-data ekonomi dan bisnis baik model univariat maupun multivariat. Model univariat yang sering digunakan adalah *Autoregressive Integrated Moving Average* (ARIMA).

2.1.1 Stasioneritas

Asumsi dasar yang harus dipenuhi dalam penggunaan analisis deret waktu adalah stasioneritas data. Syarat-syarat yang harus dipenuhi dalam stasioneritas adalah sebagai berikut:

- 1. Stasioner dalam varians (varians konstan) $Var(Z_t) = Var(Z_{t+k}), \text{ dimana } Z_t \text{ adalah variabel dependen pada waktu } t.$
- 2. Stasioner dalam *mean* (rata-rata konstan) $E(Z_t) = E(Z_{t+k}).$

Kestasioneran varians dapat dideteksi dari nilai varians data yang bersifat konstan atau dinotasikan dengan $Var(Z_t) = Var(Z_{t+k}) = \gamma_0$. Untuk mengatasi data dengan varians tidak homogen dapat dilakukan dengan transformasi. Metode transformasi yang sering digunakan adalah model transformasi yang diperkenalkan oleh Box dan Cox pada tahun 1964, yaitu:

$$T(Z_t) = Z_t^{(\lambda)} = \frac{Z_t^{\lambda - 1}}{\lambda}, \tag{2.1}$$

dengan λ adalah parameter transformasi (Wei, 2006).

Stasioneritas dalam *mean* akan tercapai apabila nilai *mean* dari data deret waktu yang sedang dianalisis tidak dipengaruhi oleh deret waktu. Data dikatakan stasioner dalam *mean* bila berfluktuasi disekitar garis sejajar dengan sumbu waktu (t) atau di sekitar suatu nilai *mean* yang konstan. Data yang tidak stasioner dalam *mean* perlu dilakukan proses pembedaan (*differencing*). *Differencing* pertama (Makridakis, 1999):

$$Z_t' = Z_t - Z_{t-1} (2.2)$$

Deret baru Z_t' akan mempunyai n-1 buah nilai dan akan stasioner apabila trend dari data awal Z_t adalah linier (pada orde pertama). Apabila autokorelasi dari data yang dibedakan pertama tidak mendekati nol sesudah Lag kedua atau ketiga, ini menunjukkan kestasioneran belum tercapai, sehingga pembedaan pertama dari data yang telah dibedakan dapat dilakukan dengan differencing orde kedua. Proses differencing orde ke-d dapat ditulis sebagai $(1-B)^d Z_t$.

2.1.2 Autocovariance dan Autocorrelation Function (ACF)

Suatu proses yang stasioner $\{Z_t\}$ mempunyai nilai $mean \mu_t = E(Z_t)$ dan $Var(Z_t) = E(Z_t - \mu_t)^2 = \sigma^2$ yang konstan serta kovarians (Z_t, Z_s) yang fungsinya hanya berbeda dalam waktu |t - s| saja. Kovarians diantara Z_t dan Z_{-k} adalah (Wei, 2006):

$$\rho_k = \frac{Cov(Z_t, Z_{t+k})}{\sqrt{Var(Z_t)}\sqrt{Var(Z_{t+k})}} = \frac{\gamma_k}{\gamma_0}$$
(2.3)

dengan $Var(Z_t) = Var(Z_{t+k}) = \gamma_0$

Sebagai fungsi dari k, maka γ_k disebut fungsi autokovarians dan ρ_k disebut sebagai fungsi autokorelasi (ACF) dalam analisis deret waktu karena merepresentasikan kovarian dan korelasi antara Y_t dan Y_{t+k} dari proses yang sama. Suatu proses stasioner jika dari fungsi autokovarian dan fungsi autokorelasi memiliki sifat-sifat sebagai berikut:

1.
$$\gamma_0 = Var(Z_t); \rho_0 = 1$$

$$2. |\gamma_k| \le \gamma_0; |\rho_k| \le 1$$

3.
$$\gamma_k = \gamma_{-k} \operatorname{dan} \rho_k = \rho_{-k} \operatorname{untuk semua} k$$
.

2.1.3 Partial Autocorrelation Function (PACF)

PACF digunakan sebagai alat untuk mengukur tingkat keeratan antara Z_t dan Z_{t+k} setelah mengeliminasi dependensi $Z_{t+1}, Z_{t+2}, ..., Z_{t+k-1}$. Nilai PACF dalam analisis deret waktu $\hat{\varphi}_{kk}$ dimulai dengan menghitung $\hat{\varphi}_{11} = \hat{\rho}_1$, sedangkan untuk menghitung $\hat{\varphi}_{kk}$ sendiri digunakan formula sebagai berikut (Wei, 2006):

$$\hat{\varphi}_{k+1,k+1} = \frac{\hat{\rho}_{k+1} - \sum_{j=1}^{k} \hat{\varphi}_{kj} \hat{\rho}_{k+1-j}}{1 - \sum_{j=1}^{k} \hat{\varphi}_{kj} \hat{\rho}_{j}}$$
(2.4)

dan

$$\hat{\varphi}_{k+1,j} = \hat{\varphi}_{kj} - \hat{\varphi}_{k+1,k+1} \hat{\varphi}_{k,k+1-j}$$
, dengan $j = 1, 2, ..., k$

2.2 Metode ARIMA Box-Jenkins

Pemilihan model ARIMA yang sesuai untuk suatu data deret waktu dapat dilakukan dengan menggunakan prosedur Box-Jenkins. Prosedur pembentukan model ARIMA meliputi beberapa tahapan yaitu identifikasi, estimasi, cek diagnosa dan peramalan. Tahap identifikasi dilakukan dengan mengamati plot ACF dan PACF dari data yang selanjutnya digunakan untuk mendapatkan dugaan sementara model ARIMA yang sesuai. Tahap selanjutnya melakukan estimasi dan uji signifikansi parameter apakah model dugaan sementara yang telah diestimasi cukup sesuai dengan data deret waktunya.

2.2.1 Identifikasi

Identifikasi model ARIMA(p, d, q) dilakukan setelah data stasioner. Jika data tidak mengalami *differencing*, maka d bernilai 0 dan jika data menjadi stasioner setelah *differencing* ke-1 maka d bernilai 1 dan seterusnya. Model Box Jenkins (ARIMA) mempunyai bentuk antara lain:

a. Autoregressive (AR)

Suatu persamaan linier dikatakan sebagai *autoregressive model* jika model tersebut menunjukkan Z_t sebagai fungsi linier dari sejumlah Z_t aktual kurun waktu sebelumnya bersama dengan kesalahan sekarang. Bentuk model ini dengan orde p atau AR(p) atau model ARIMA(p, 0, 0) secara umum adalah:

$$\dot{Z}_{t} = \phi_{1} \dot{Z}_{t-1} + \phi_{2} \dot{Z}_{t-2} + \dots + \phi_{p} \dot{Z}_{t-p} + a_{t}$$
(2.5)

atau $\phi_{\mathcal{D}}(B)\dot{Z}_t = a_t$ dimana $\phi_p(B) = 1 - \phi_1 B - \dots - \phi_p B^p$

$$\dot{Z}_t = Z_t - \mu$$

dengan:

 \dot{Z}_t = data deret waktu sebagai variabel respon pada waktu ke-t

 \dot{Z}_{t-1} , \dot{Z}_{t-1} , ..., \dot{Z}_{t-p} = data deret waktu ke t-1, ..., t-p

= parameter-parameter autoregressive $\phi_1, \phi_2, \dots, \phi_p$

= nilai kesalahan pada waktu ke-t a_t

b. Moving Average (MA)

Berbeda dengan model AR yang menunjukkan Z_t sebagai fungsi linier dari sejumlah Z_t aktual kurun waktu sebelumnya, moving average model menunjukkan nilai Z_t berdasarkan kombinasi kesalahan linier masa lalu (Lag). Bentuk model ini dengan orde q atau MA(q) atau model ARIMA(0, 0, q) secara umum adalah:

$$\dot{Z}_{t} = a_{t} - \theta_{1} a_{t-1} - \theta_{2} a_{t-2} - \dots - \theta_{q} a_{t-q}$$
(2.6)

$$\dot{Z}_t = \theta_q(B)a_t$$

dimana

$$\theta_q(B) = 1 - \theta_1 B - \dots - \theta_q B^q$$

dengan

 $\theta_1, \theta_2, \dots, \theta_q$ = parameter-parameter moving average

= nilai kesalahan pada kurun waktu ke-t, t-1, ..., t-q $a_1, a_2, ..., a_{t-a}$

Terlihat dari model bahwa Z_t merupakan rata-rata tertimbang kesalahan sebanyak q periode lalu yang digunakan untuk model MA. Jika pada suatu model digunakan dua kesalahan masa lalu maka dinamakan MA orde 2 atau MA(2).



c. Autoregressive Moving Average (ARMA)

Untuk mendapatkan model yang secara tepat meramalkan data deret waktu, seringkali melibatkan perpaduan antara proses AR dan MA dalam satu model. Perpaduan atau kombinasi kedua proses ini biasa dikenal dengan ARMA. Bentuk model ini dengan orde (p, q) atau ARMA(p, q) atau model ARIMA(p, q) secara umum adalah:

$$\phi_p(B)\dot{Z}_t = \theta_q(B)a_t$$

d. Autoregressive Integrated Moving Average (ARIMA)

Model deret waktu dengan data yang stasioner melalui proses differencing disebut sebagai model ARIMA. Dengan demikian, jika data stasioner pada proses differencing d kali, dengan model dasar ARMA(p, q), maka model yang terbentuk menjadi ARIMA(p, 0, q) dimana p adalah menunjukkan orde AR, d adalah tingkat proses differencing dan q menunjukkan orde MA. Model ARIMA merupakan gabungan dari model AR dan model MA. Model ARIMA(p, d, q) secara umum dapat ditulis sebagai berikut (Wei, 2006):

$$\phi_p(B)(1-B)^d Z_t = \theta_0 + \theta_q(B)a_t \tag{2.7}$$

dengan:

$$\theta_0$$
 = konstanta

$$\phi_p(B) = 1 - \phi_1 B - \dots - \phi_p B^p$$

$$\theta_q(B) = 1 - \theta_1 B - \dots - \theta_q B^q$$

$$B = backward shift operator, BZ_t = Z_{t-1}$$

2.2.2 Uji Signifikansi Parameter

Uji signifikansi parameter bertujuan untuk menguji kelayakan parameter model. Tahapan dari uji signifikansi parameter adalah sebagai berikut:

1. Hipotesis

 H_0 : $\beta = 0$ (β tidak signifikan)

 $H_1: \beta \neq 0 \ (\beta \text{ signifikan})$

dengan β adalah estimasi parameter model

$$t_{hit} = \frac{\hat{\beta}}{s. e. (\hat{\beta})}$$

3. Daerah penolakan

Daerah penolakan H₀ adalah $|t_{hit}| > t_{(\frac{\alpha}{2};n-n_p)}$, dimana n_p adalah jumlah parameter dalam model.

2.2.3 Uji Kesesuaian Model

Uji kesesuaian model dilakukan terhadap residual dari model. Pengujian asumsi normal dilakukan dengan menggunakan uji Kolmogorov-Smirnov.

a. Residual (α_t) bersifat white noise

White noise artinya tidak terdapat korelasi antar residual dengan mean nol dan varians konstan ($\sigma_{a_t}^2$). Tahapan dari uji kesesuaian model untuk residual (α_t) bersifat white noise adalah sebagai berikut:

1. Hipotesis:

H₀: $\rho_1 = \rho_2 = ... = \rho_K = 0$ (tidak ada korelasi antar residual) H₁: minimal ada satu $\rho_k \neq 0$; i=1,2,...,K.

2. Statistik Uji

 $Q = n(n+2)\sum_{k=1}^{K} \frac{\hat{\rho}_k^2}{(n-k)}$, dimana $\hat{\rho}_k^2$ adalah estimasi taksiran ACF residual dan n adalah banyaknya observasi.

3. Daerah penolakan

Daerah penolakan H₀ adalah $Q > \chi^2_{\alpha;k-p-q}$

b. Residual (ε_t) berdistribusi normal

Uji kenormalan terhadap residual model dilakukan dengan menggunakan uji Kolmogorov-Smirnov. Tahapan uji kenormalan adalah sebagai berikut.

1. Hipotesis:

H₀: $F(\varepsilon_t) = F_0(\varepsilon_t)$, untuk semua ε_t H₁: $F(\varepsilon_t) \neq F_0(\varepsilon_t)$, untuk semua ε_t

2. Statistik Uji

 $D = Sup|S(\varepsilon_t) - F_0(\varepsilon_t)|,$

dengan

 $F(\varepsilon_t)$ = fungsi distribusi data residual yang belum diketahui

 $S(\varepsilon_t)$ = fungsi distribusi kumulatif dari data asal residual

3. Daerah penolakan

Tolak H₀ jika $D_{hit} \ge D_{(\alpha,n)}$ atau jika p-value $< \alpha$.

2.3 Deteksi Outlier

Suatu data runtun waktu seringkali mengandung pengamatan yang dipengaruhi oleh kejadian-kejadian luar biasa yang tidak terduga dan tanpa disadari seperti pemogokan, wabah perang, krisis politik atau ekonomi yang bergejolak yang mengakibatkan pengamatan tersebut tidak konsisten pada data deret waktunya. Pengamatan seperti ini disebut *outlier* (Wei, 2006). Jika waktu dan penyebab dari gangguan ini diketahui, maka efek dari gangguan ini dapat dianalisis dengan menggunakan analisis intervensi. Tetapi kenyataannya tidak diketahui waktu kejadiannya. *Outlier* dapat menyebabkan hasil analisis data menjadi tidak *reliable* dan tidak valid, sehingga deteksi *outlier* perlu dilakukan untuk menghilangkan efek *outlier* tersebut.

Deteksi *outlier* pertama kali diperkenalkan oleh Fox (1972) dalam Wei (2006). *Outlier* terdiri dari beberapa tipe, yaitu *additive outlier* (AO), *innovational outlier* (IO), *level shift* (LS) dan *temporary change* (TC). Cara mengatasi *outlier* dengan memasukkan *outlier* dalam model sampai mendapatkan model yang memenuhi asumsi *white noise* dan kenormalan.

2.3.1 Additive Outlier (AO)

Additive outlier (AO) merupakan kejadian yang mempengaruhi suatu deret runtun waktu pada satu waktu saja. Wei (2006) mendefinisikan model additive outlier sebagai berikut:

$$Z_{t} = \begin{cases} X_{t}, & t \neq T \\ X_{t} + \omega, & t = T \end{cases}$$
(2.8)

$$=X_t + \omega I_t^{(T)} \tag{2.9}$$

$$= \frac{\theta(B)}{\phi(B)} a_t + \omega I_t^{(T)} \tag{2.10}$$

dengan

$$I_{t}^{(T)} = \begin{cases} 1, & t = T \\ 0, & t \neq T \end{cases}$$
 (2.11)

 X_t adalah model ARIMA sebelum deteksi *outlier* $I_t^{(T)}$ adalah variabel indikator keberadaan *outlier* pada waktu T.

2.3.2 Innovational Outlier (IO)

Efek dari *innovational outlier* pada suatu deret waktu adalah lebih rumit jika dibandingkan ketiga tipe *outlier* lainnya. Wei (2006) mendefinisikan model IO sebagai berikut:

$$Z_t = X_t + \frac{\theta(B)}{\phi(B)} \omega I_t^{(T)} \tag{2.12}$$

$$=\frac{\theta(B)}{\phi(B)}(a_t + \omega I_t^{(T)}) \tag{2.13}$$

Efek AO hanya terjadi pada T observasi saja, sedangkan pada IO mempengaruhi seluruh observasi $Z_t, Z_{t+1}, ...$ melewati waktu T sepanjang memori dari sistem yang diberikan oleh $\frac{\theta(B)}{\phi(B)}$.

Secara umum dalam data runtun waktu dapat mengandung beberapa outlier dengan tipe yang berbeda-beda, sehingga dapat dituliskan model outliernya secara umum sebagai berikut (Wei, 2006):

$$Z_t = \sum_{j=1}^k \omega_j v_j(B) I_t^{(T_j)} +$$

dengan

$$X_t = \frac{\theta(B)}{\phi(B)} a_t$$

$$v_j(B) = \begin{cases} 1, & \text{untuk AO} \\ \frac{\theta(B)}{\phi(B)}, & \text{untuk IO} \end{cases}$$

 $I_t^{(T)}$ adalah variabel indictor keberadaan *outlier* pada waktu T seperti pada persamaan (2.11).

2.3.3 Level Shift (LS)

Level Shift adalah kejadian yang mempengaruhi deret pada satu waktu tertentu dan efek yang diberikan memberikan suatu perubahan yang tiba-tiba dan permanen. Model LS dapat dinyatakan sebagai berikut (Wei, 2006):

$$Z_t = X_t + \frac{1}{(1-B)}\omega_L I_t^{(T)} \tag{2.15}$$

2.3.4 Temporary Change (TC)

Temporary Change adalah suatu kejadian dimana outlier menghasilkan efek awal pada waktu ke t sebesar ω_c dan kemudian efek tersebut berkurang secara perlahan sesuai dengan besarnya δ . Model TC dinyatakan sebagai berikut: Z_t

$$= X_t + \frac{1}{(1 - \delta B)} \omega_c I_t^{(T)}$$
 (2.16)

Pada saat $\delta=0$ maka TC akan menjadi kasus AO sedangkan pada saat $\delta=1$ maka TC akan menjadi kasus LS.

2.4 ARIMA with Exogenous Factor (ARIMAX)

ARIMAX merupakan model ARIMA dengan faktor eksogen. Pada penelitian ini model ARIMAX yang akan digunakan adalah ARIMA dengan deteksi *outlier* yaitu model ARIMA dengan faktor eksogen *dummy* dari *outlier*. Selain itu juga digunakan ARIMA dengan model fungsi transfer.

Metode fungsi transfer merupakan pengembangan dari metode Box Jenkins yang modelnya terdiri dari dua variabel (bivariat) tetapi masing-masing variabel mempunyai model ARIMA tertentu. Model fungsi transfer terbentuk melalui fungsi autokorelasi dan korelasi silang sehingga dapat digunakan untuk meramal suatu variabel berdasarkan informasi dari variabel lainnya.

Model fungsi transfer adalah suatu model yang menggambarkan bahwa nilai prediksi masa depan dari suatu deret waktu (disebut output series atau y_t) adalah berdasarkan pada nilai-nilai masa lalu dari deret waktu itu sendiri dan

berdasarkan pula pada satu atau lebih deret waktu yang berhubungan (disebut input series atau x_t) dengan output series tersebut.

Untuk membentuk model fungsi transfer, deret input dan deret output masing-masing harus berautokorelasi dan memiliki korelasi silang yang signifikan. Bentuk umum model fungsi transfer untuk input tunggal (x_t) dan output tunggal (y_t) adalah (Wei, 2006):

$$y_t = v_0 x_t + v_1 x_{t-1} + \dots + n_t \tag{2.17}$$

 $y_t = v(B)x_t + n_t$

dengan

 y_t = representasi dari deret output yang stasioner

 x_t = representasi dari deret input yang stasioner

 n_{i} = representasi dari komponen *error* (deret *noise*) yang mengikuti suatu model

ARIMA tertentu

 $v(B) = v_0 + v_1 B + \cdots + v_k B^k$ yang merupakan koefisien model fungsi transfer atau bobot respon impuls, yaitu susunan bobot pengaruh x_t terhadap y_t dalam sistem dinamis terhadap seluruh periode waktu yang akan datang. Bobot respon impuls dapat dinyatakan sebagai berikut (Wei, 2006):

$$v(B) = \frac{\omega(B)B^b}{\delta(B)} \tag{2.18}$$

sehingga

$$y_t = \frac{\omega(B)B^b}{\delta(B)} x_t + \frac{\theta(B)}{\phi(B)} \alpha_t \tag{2.19}$$

dengan

b adalah banyaknya periode sebelum x_t mulai berpengaruh terhadap y_t .

 $\omega(B) = \omega_0 - \omega_1 B - \cdots - \omega_s B^s$ adalah operator dari order s, yang merepresentasikan banyaknya pengamatan masa lalu x_t yang berpengaruh terhadap y_t .

 $\delta(B) = \delta_0 - \delta_1 B - \dots - \delta_r B^r$ adalah operator dari order r, yang merepresentasikan banyaknya pengamatan masa lalu dari deret output itu sendiri yang berpengaruh terhadap y_t .

Tahapan-tahapan pembentukan model fungsi transfer identik dengan tahapan pada pembentukan model ARIMA dengan ilustrasi seperti yang dilakukan oleh Wei (2006) yaitu:

Tahap I: Identifikasi Bentuk Model

1) Mempersiapkan deret input dan output

Seperti halnya pada pemodelan dengan ARIMA, deret input dan deret output pada pemodelan dengan fungsi transfer mensyaratkan data yang stasioner. Jika data tersebut belum stasioner maka perlu dilakukan *differencing* atau transformasi.

2) Pemutihan deret input (x_t)

Jika deret input berautokorelasi, fungsi *cross-correlation* langsung antara deret input dan deret output dapat memberikan indikasi yang menyesatkan tentang hubungan antara deret input dan deret output. Salah satu solusi untuk mengatasi masalah ini disebut *prewhitening*. Diasumsikan deret input mengikuti proses ARMA:

$$\phi_x(B)x_t = \theta_x(B)\alpha_t \tag{2.20}$$

Dimana α_t adalah *white noise* dengan rata-rata nol dan varians σ_a^2 . Deret α_t yaitu:

$$\alpha_t = \frac{\phi_x(B)}{\theta_x(B)} x_t \tag{2.21}$$

3) Penghitungan deret output (y_t)

Hal tersebut dilakukan dengan mentransformasi deret output y_t menggunakan model deret input yang telah dilakukan *prewhitening* untuk membentuk deret output:

$$\beta_t = \frac{\phi_x(B)}{\theta_x(B)} y_t \tag{2.22}$$

4) Penghitungan korelasi silang dan autokorelasi untuk deret input dan output yang terbentuk

Penghitungan sampel korelasi silang atau *Cross Correlations Function* (CCF), $\hat{\rho}_{\alpha\beta}(k)$ antara α_t dan β_t untuk mengestimasi bobot respon impuls (v_k) :

$$\hat{v}_k = \frac{\hat{\sigma}_{\beta}}{\hat{\sigma}_{\alpha}} \hat{\rho}_{\alpha\beta}(k) \tag{2.23}$$

Signifikansi dari CCF dan \hat{v}_k dapat diuji dengan membandingkannya dengan standard error $(n-1)^{-1/2}$.

5) Penetapan nilai r, s, dan b untuk model fungsi transfer

Tiga nilai penting dalam sebuah model fungsi transfer adalah (*b*, *r*, *s*). Nilai *b* menunjukkan periode deret input mulai berpengaruh terhadap deret output sedangkan nilai *s* mengindikasikan berapa lama deret output dipengaruhi oleh deret input dan *r* merupakan indikasi lamanya deret output memiliki hubungan dengan nilai periode sebelumnya dari deret output itu sendiri.

Setelah nilai (b, r, s) ditentukan, maka dapat diperoleh estimasi fungsi transfer v(B) sebagai berikut:

$$\hat{\mathbf{v}}(B) = \frac{\hat{\omega}(B)}{\hat{\delta}(B)} B^b \tag{2.24}$$

6) Penaksiran awal deret gangguan (n_t)

Setelah diketahui $\hat{v}(B)$, maka dapat dihitung nilai estimasi deret *noise* sebagai berikut:

$$\hat{n}_t = y_t - \hat{v}(B)x_t \tag{2.25}$$

$$\hat{n}_t = y_t - \frac{\hat{\omega}(B)}{\hat{\delta}(B)} B^b x_t \tag{2.26}$$

7) Penetapan (p_n, q_n) untuk model ARIMA $(p_n, 0, q_n)$ dari deret gangguan n_t . Kemudian dari deret n_t dapat ditentukan model ARIMA yang tepat dengan mengamati pola ACF dan PACF nya, sehingga diperoleh model ARIMA sebagai berikut:

$$\phi(B)n_t = \theta(B)a_t \tag{2.27}$$
dimana:

 $\phi(B)$ = operator *autoregressive* orde ke-p dari n_t

 $\theta(B)$ = operator moving average orde ke-q dari n_t

 $a_{\rm t}$ = residual dari deret n_t

Setelah deret n_t diperoleh dari prosedur di atas, langkah selanjutnya adalah memperoleh model fungsi transfer sebagai berikut:

$$y_t = \frac{\omega(B)}{\delta(B)} B^b x_t + \frac{\theta(B)}{\phi(B)} a_t \tag{2.28}$$

Tahap II: Estimasi Parameter Model Fungsi Transfer

Setelah mengidentifikasi bentuk model fungsi transfer tahapan berikutnya adalah mengestimasi parameter-parameter model fungsi transfer, yaitu parameter:

$$\boldsymbol{\delta} = (\delta_1, \dots, \delta_r)', \boldsymbol{\omega} = (\omega_0, \omega_1, \dots, \omega_s)', \boldsymbol{\phi} = (\phi_1, \dots, \phi_p)', \boldsymbol{\theta} = (\theta_1, \dots, \theta_q)', \quad \text{dan}$$

$$\sigma_q^2.$$

diperoleh

$$\begin{aligned} \alpha_t &= y_t - c_1 y_{t-1} - \dots - c_{p+r} y_{t-p-r} - d_0 x_{t-b} + d_1 x_{t-b-1} + \dots + d_{p+s} x_{t-b-p-s} \\ &+ e_1 \alpha_{t-1} + \dots + e_{r+q} \alpha_{t-r-q} \end{aligned}$$

dengan c_i , d_j , e_k adalah fungsi transfer dari δ_i , ω_j , ϕ_k , dan θ_l . Metode estimasi yang digunakan adalah *Conditional Maximum Likelihood*, dengan asumsi α_t adalah *White Noise* dengan berdistribusi $N(0, \sigma_a^2)$.

Tahap III: Diagnosa Model Fungsi Transfer

1. Uji korelasi silang antara x_t dengan a_t

Model fungsi transfer yang layak mensyaratkan antara x_t dengan a_t bersifat independen satu sama lain. Kondisi ini merupakan hal yang penting untuk validitas model fungsi transfer. Korelasi silang antara x_t dan a_t dapat dideteksi dengan melihat pola *cross correlation* antara $e_{x,t}$ dengan a_t yang berada di dalam interval dua *standard error*nya atau tidak munculnya *spike*. Pendeteksiannya dapat dilakukan dengan menggunakan salah satu dari empat statistik portmanteau test, yaitu:

$$Q_0 = m(m+2) \sum_{j=0}^{k} (m-j)^{-1} \hat{\rho}_{\alpha\hat{\alpha}}^2(j)$$
 (2.29)

 Q_0 berdistribusi χ^2 dengan derajat bebas (k+1)-m dimana $m = n - t_0 + 1$ dan m adalah jumlah parameter δ_i dan ω_j yang diestimasi dalam fungsi transfer $v(B) = \omega(B)/\delta(B)$.

2. Uji autokorelasi

Untuk model yang baik, sampel ACF dari \hat{a}_t harus menunjukkan tidak ada yang signifikan, sehingga dapat dihitung nilai sebagai berikut:

$$Q_0 = m(m+2) \sum_{j=1}^{k} (m-j)^{-1} \hat{\rho}_{\hat{\alpha}}^2(j)$$
 (2.30)

Aproksimasi statistik Q_1 berdistribusi χ^2 dengan derajat bebas (k-p-q) hanya dependen pada jumlah parameter model *noise*.

Tahap IV: Peramalan dengan Fungsi Transfer

Setelah lolos pada tahap diagnosa, maka model fungsi transfer siap digunakan untuk peramalan. Peramalan dilakukan dengan menggunakan model yang telah dihasilkan melalui tahapan-tahapan tersebut di atas. Peramalan dengan model fungsi transfer juga mirip dengan peramalan pada model ARIMA.

2.5 Model Heteroskedastisitas Deret Waktu

Variansi bersyarat $Var(X_t|X_{t-1},X_{t-2},...)$ tidak konstan dari waktu ke waktu dan proses X_t bersifat heteroskedastisitas, dimana dalam ekonometrik biasa dissebut volatility yaitu $\sigma_t = \sqrt{Var(X_t|X_{t-1},X_{t-2},...)}$ berubah dari waktu ke waktu (Posedel, 2005). Pemahaman sifat data deret waktu sangat penting untuk aplikasi dalam ekonomi makro atau finansial seperti indeks harga saham, tingkat suku bunga, inflasi atau kurs mata uang dan lain-lain. Model heteroskedastisitas bersyarat untuk deret waktu memiliki peranan sangat penting dalam manajemen resiko keuangan dan digunakan untuk membuat keputusan finansial berdasarkan data yang diamati.

2.5.1 Uji Heteroskedastisitas

Untuk mengidentifikasi apakah suatu model tersebut mengandung ARCH/GARCH maka dapat dilakukan dengan cara menghitung nilai ACF dan PACF dari kuadrat residual yang dihasilkan oleh model mean (ARIMA) dan dapat juga memakai uji Lagrange Multiplier (LM). Jika terdapat conditional heteroscedasticity, disarankan menggambarkan correlogram kuadrat residual dengan langkah-langkah sebagai berikut:

1. Melakukan pemilihan model terbaik dengan menggunakan model ARIMA sehingga diperoleh nilai residualnya dan setelah itu masing-masing residual dikuadratkan. Nilai tersebut digunakan untuk menghitung variansi sampel residual sebagai berikut:

$$\hat{\sigma}^2 = \sum_{t=1}^T \frac{\varepsilon_t^2}{T} \tag{2.31}$$

dengan t adalah banyaknya residual.

2. Menghitung dan membuat plot autokorelasi sampel dari kuadrat residual dengan formula:

$$\rho(i) = \frac{\sum_{t=j+1}^{T} (\hat{\varepsilon}_{t}^{2} - \hat{\sigma}^{2})(\hat{\varepsilon}_{t-1}^{2} - \hat{\sigma}^{2})}{\sum_{t=1}^{T} (\hat{\varepsilon}_{t}^{2} - \hat{\sigma}^{2})}$$
(2.32)

Nilai $\rho(i)$ yang secara individu mempunyai nilai lebih besar dari standard deviasi, mengindikasikan adanya proses ARCH.

Tahapan uji LM yang diusulkan oleh Engle (1982) untuk menguji adanya proses ARCH yaitu:

1. Menggunakan metode kuadrat terkecil untuk mendapatkan AR (n):

$$X_t = \alpha_0 + \alpha_1 X_{t-1} + \dots + \alpha_n X_{t-n} + \varepsilon_t$$
(2.33)

2. Menghitung besarnya kuadrat residual, kemudian meregresikan nilai tersebut sehingga diperoleh taksiran sebagai berikut:

$$\hat{\varepsilon}_{t}^{2} = \hat{\alpha}_{0} + \hat{\alpha}_{1} \hat{\varepsilon}_{t-1}^{2} + \dots + \hat{\alpha}_{n} \hat{\varepsilon}_{t-n}^{2}$$
(2.34)

3. Melakukan pengujian parameter:

$$H_0: \alpha_1 = \cdots = \alpha_n = 0$$

 H_1 : minimal ada satu $\alpha_i \neq 0, i = 1, 2, ..., n$

Statistik Uji:

 $T'R^2$ dengan T' = T - n, dimana T adalah jumlah residual dibawah H_0 .

Daerah penolakan:

Tolak H_0 jika $T'R^2 > \chi_n$, yang berarti bahwa terdapat efek ARCH dalam model.

2.5.2 Model Autoregressive Conditional Heteroscedasticity (ARCH)

Sebelum mendefinisikan proses ARCH pada data deret waktu, pertama perlu diketahui perbedaan antara variansi bersyarat dengan variansi tidak bersyarat. Dimisalkan model AR(1), rataan bersyarat dari Y_t adalah $\phi_1 Y_{t-1}$ sedangkan rataan tidak bersyarat adalah nol (Engle, 1982).

Sebagaimana diasumsikan bahwa $Var(\varepsilon_t) = \sigma_{\varepsilon}^2$ yang juga merupakan variansi bersyarat terhadap Y_{t-1} . Artinya Y_{t-1} konstan dan sumber variasi dari Y_t adalah ε_t . Dapat ditunjukkan sebagai berikut:

$$Var(Y_{t}|Y_{t-1}) = Var[(\phi_{1}Y_{t-1} + \varepsilon_{t})|Y_{t-1}]$$

$$= Var(\phi_{1}Y_{t-1}|Y_{t-1}) + Var(\varepsilon_{t}|Y_{t-1})$$

$$= 0 + Var(\varepsilon_{t}|Y_{t-1})$$

$$= \sigma_{\varepsilon}^{2}$$

dengan asumsi variansi bersyarat ε_t konstan. Jika variansi bersyarat tidak konstan, maka variansi bersyarat terhadap Y_{t-1} adalah

$$Var(\varepsilon_t|) = \sigma_t^2 \tag{2.35}$$

Sedangkan untuk variansi tidak bersyarat adalah:

$$Var(Y_t) = Var(\phi_1 Y_{t-1} + \varepsilon_t)$$

$$= \phi_1^2 Var(Y_{t-1}) + Var(\varepsilon_t)$$

$$\sigma_x^2 = \phi_1^2 \sigma_x^2 + \sigma_\varepsilon^2$$

$$\sigma_x^2 (1 - \phi_1^2) = \sigma_\varepsilon^2$$

$$\sigma_x^2 = \frac{\sigma_\varepsilon^2}{(1 - \phi_1^2)}$$

dengan
$$Var(Y_t) = Var(Y_{t-1}) = \sigma_y^2 \operatorname{dan} Var(\varepsilon_t) = \sigma_\varepsilon^2$$
.

Variansi tidak bersyarat adalah σ_y^2 . Jika dibandingkan variansi bersyarat dengan variansi tidak bersyarat terhadap Y_{t-1} , didapatkan bahwa variansi tidak bersyarat kemungkinan konstan, sedangkan variansi besyarat kemungkinan bervariasi dari waktu ke waktu (tidak konstan).

Untuk itu, Engle (1982) mengusulkan suatu model untuk variansi tidak konstan yang tergantung pada nilai-nilai masa lalu Y_t atau dikenal sebagai model Autoregressive Conditional Heteroscedasticity (ARCH), yang didefinisikan sebagai

$$Y_t = \varepsilon \sigma_t \tag{2.36}$$

$$Y_t | \psi_{t-1} \sim N(0, h_t)$$
 (2.37)

$$h_t = \alpha_0 + \alpha_1 Y_{t-1}^2 \tag{2.38}$$

dengan $\varepsilon_t \sim (0,1)$ atau *white noise*, dan σ_t positif. Model diatas disebut sebagai model ARCH(1). Fungsi untuk variansi waktu adalah $\psi_{t-1} = (Y_{t-1}, Y_{t-2}, ...)$, yang merupakan himpunan informasi yang tersedia pada waktu t-1.

Fungsi variansi pada persamaan (2.38) dapat digeneralisasi untuk orde lebih dari satu, sehingga diperoleh persamaan

$$h_t = \alpha_0 + \alpha_1 Y_{t-1}^2 + \alpha_p Y_{t-p}^2 \tag{2.39}$$

Persamaan (2.39) dikenal sebagai model ARCH dengan orde p, dan α_0 , α_1 , ..., α_p adalah parameter yang tidak diketahui.

Untuk mendapatkan model regresi ARCH, rataan dari Y_t diasumsikan sebagai kombinasi linier dari lag, termasuk himpunan informasi pada waktu t-1 yaitu $E(Y_t) = X_t \beta$ (Engle, 1982), sehingga secara formal model regresi ARCH dapat dituliskan sebagai

$$|Y_t| \sim N(X_t \beta, h_t)$$

$$Y_t = X_t \beta + \varepsilon_t$$
 atau $\varepsilon_t = Y_t - X_t \beta$

$$\sigma_t^2 = \alpha_0 + \alpha_1 \varepsilon_{t-1}^2 + \dots + \alpha_p \varepsilon_{t-p}^2$$

secara kusus, Engle (1982) mengemukakan bahwa salah satu cara parameterisasi h_t adalah

$$h_t = \alpha_0 + \sum_{i=1}^p \alpha_i \varepsilon_{t-i}^2$$
(2.40)

dengan $\alpha_0 > 0$ dan $\alpha_i \ge 0$. Persamaan (2.40) menunjukkan σ_t^2 sebagai fungsi linier dari proses nilai kuadrat p masa lalu, yang merupakan alasan proses ini dikenal sebagai model ARCH(p) linier.

Berdasarkan bentuk model regresi ARCH di atas, misal model rataan dari X_t merupakan model AR, maka diperoleh model AR(1)-ARCH(1), yaitu:

$$Y_t = \phi Y_{t-1} + \varepsilon_t$$

$$\varepsilon_t = Z_t \sigma_t$$

$$\sigma_t^2 = \alpha_0 + \alpha_1 Y_{t-1}^2$$

dengan $\alpha_0 > 0$ dan $\alpha_1 \ge 0$

2.5.3 Penaksiran Model ARCH(1)

Untuk penyederhanaan, dimisalkan model ARCH(1) yang dinyatakan dengan:

$$\varepsilon_t | \psi_{t-1} \sim N(0, h_t)$$

$$h_t = \alpha_0 + \alpha_1 \varepsilon_{t-1}^2 \tag{2.41}$$

dan parameter α_0 dan α_1 dapat ditaksir sebagai berikut. Kepadatan gabungan dari $\varepsilon_1, ..., \varepsilon_T$ adalah (Engle, 1982):

$$f_{E_{1,\dots,E_{T}}}(\varepsilon_{t},\dots,\varepsilon_{T}) = \left\{ \prod_{j=2}^{T} f_{E_{j} \setminus E_{1,\dots,E_{j-1}}}(\varepsilon_{j} \setminus \varepsilon_{1},\dots,\varepsilon_{j-1}) \right\} \times f_{E_{1}}(\varepsilon_{1})$$

kepadatan marginal ε_1 dapat diabaikan. Untuk t=2, ..., T kepadatan bersyarat ε_t , dengan syarat $\varepsilon_t, ..., \varepsilon_{t-1}$ adalah

$$f_{E_t \setminus E_{1,\dots,E_{t-1}}}(\varepsilon_t \setminus \varepsilon_1,\dots,\varepsilon_{t-1}) = \frac{1}{\sqrt{2\pi h_t}} exp\left\{-\frac{\varepsilon_t^2}{2h_t}\right\}$$

Dengan h_t diberikan pada persamaan (2.41) dan menghasilkan fungsi *likelihood* menjadi

$$L(\alpha_0, \alpha_1) = \prod_{t=2}^{T} \frac{1}{\sqrt{2\pi h_t}} exp\left\{-\frac{\varepsilon_t^2}{2h_t}\right\}$$

dan fungsi log-likelihood dengan mengabaikan konstanta adalah

$$l(\alpha_0, \alpha_1) = -\frac{1}{2} \sum_{t=2}^{T} \left\{ log h_t + \frac{\varepsilon_t^2}{h_t} \right\}$$

dan taksiran parameternya $(\hat{\alpha}_0, \hat{\alpha}_1)$ diperoleh dengan memaksimalkan fungsi log-likelihood di atas.

2.5.4 Model Generalized ARCH (GARCH)

Pada dasarnya model ARCH dengan GARCH adalah sama, yang membedakan adalah model GARCH tidak hanya tergantung pada kuadrat *error* waktu sebelumnya tetapi juga tergantung pada variansi waktu sebelumnya. Sedangkan model ARCH hanya tergantung pada kuadrat *error* waktu sebelumnya. Model GARCH(*p*, *q*) dinyatakan sebagai (Bollerslev, 1986):

$$\varepsilon_t | \psi_{t-1} \sim N(0, h_t)$$

dengan

$$h_{t} = \alpha_{0} + \alpha_{1} \varepsilon_{t-1}^{2} + \alpha_{2} \varepsilon_{t-2}^{2} + \dots + \beta_{1} h_{t-1} + \beta_{2} h_{t-2} + \dots$$
(2.42)

$$= \alpha_0 + \sum_{i=1}^p \alpha_i \varepsilon_{t-i}^2 + \sum_{i=1}^q \beta_i h_{t-i}$$

di mana, $\alpha_0 > 0$, $\alpha_i \ge 0$ untuk $i = 1, \ldots, p$ dan $\beta_i \ge 0$ untuk $i = 1, \ldots, q$.

Untuk lebih sederhana dimisalkan proses GARCH(1, 1)

$$\varepsilon_t | \psi_{t-1} \sim N(0, h_t)$$

dengan

dst.

$$h_t = \alpha_0 + \alpha_1 \varepsilon_{t-1}^2 + \beta_1 h_{t-1}$$

Dimana $\alpha_0 \ge 0$, $\alpha_1 \ge 0$ dan $\beta_1 \ge 0$.

$$\frac{\varepsilon_t}{\sqrt{h_t}}|\psi_{t-1}\sim N(0,1)$$

Urutan $Z_1, ..., Z_T$ didefinisikan dengan $Z_t = \frac{\varepsilon_t}{\sqrt{h_t}}$ maka Z_t menjadi *independent* and identically distributed (iid) N(0, 1).

(2.43)

Solusi stasioner untuk GARCH(1,1) diperoleh dengan asumsi bahwa proses bermula pada jarak tak terbatas di masa lalu, sehingga h_t dapat dinyatakan sebagai (Lo, M.S., 2003):

$$h_{t} = \alpha_{0} + \alpha_{1} \varepsilon_{t-1}^{2} + \beta_{1} h_{t-1}$$

$$= \alpha_{0} + \alpha_{1} (Z_{t-1}^{2} h_{t-1}) + \beta_{1} h_{t-1}$$

$$= \alpha_{0} + (\alpha_{1} Z_{t-1}^{2} + \beta_{1}) h_{t-1}$$

$$= \alpha_{0} + (\alpha_{1} Z_{t-1}^{2} + \beta_{1}) (\alpha_{0} + (\alpha_{1} Z_{t-1}^{2} + \beta_{1}) h_{t-1})$$

 $= \alpha_0 + (\alpha_1 Z_{t-1}^2 + \beta_1) \{ \alpha_0 + (\alpha_1 Z_{t-2}^2 + \beta_1) h_{t-2} \}$

$$= \alpha_0 + \alpha_0 \sum_{k=1}^{\infty} \left\{ \prod_{j=1}^{k} (\alpha_1 Z_{t-j}^2 + \beta_1) \right\}$$

maka ekspektasi varians dari

$$h_t = \alpha_0 + \alpha_0 \sum_{k=1}^{\infty} \left\{ \prod_{j=1}^{k} (\alpha_1 E(Z_{t-j}^2) + \beta_1) \right\}$$

$$h_t = \alpha_0 + \alpha_0 \sum_{k=1}^{\infty} (\alpha_1 + \beta_1)^k$$
 (2.44)

$$=\frac{\alpha_0}{1-\alpha_1-\beta_1} \tag{2.45}$$

Jika digeneralisasi untuk GARCH(p, q) maka syarat stasioner adalah $\sum_{i=1}^{p} \alpha_i + \sum_{i=1}^{q} \beta_i < 1$.

Engle dan Ng (1993) mengusulkan tiga tes yang dapat digunakan untuk mengetahui pengaruh asimetris, yaitu Sign Bias Test (SBT), the Negative Sign Bias Test (NSBT), dan the Positive Sign Bias Test (PSBT). Ketiga persamaan terebut dapat dihitung dengan persamaan berikut:

$$v_t^2 = a + bS_{t-1}^- + \underline{\beta}' \underline{z}_{at}^* + e_t \tag{2.46}$$

$$v_t^2 = a + bS_{t-1}^{-1}\varepsilon_{t-1} + \beta'\frac{z_{*}^*}{z_{at}} + e_t$$
(2.47)

$$v_t^2 = a + bS_{t-1}^+ \varepsilon_{t-1} + \underline{\beta}' \underline{z}_{at}^* + e_t$$
 (2.48)

dimana a dan b adalah parameter konstan, $\underline{\beta'}$ adalah vektor parameter konstan, dan e_t adalah residual. Ketiga tes tersebut juga dapat dilakukan secara bersamasama menggunakan rumus:

$$v_t^2 = a + b_1 S_{t-1}^- + b_2 S_{t-1}^- \varepsilon_{t-1} + b_3 S_{t-1}^+ \varepsilon_{t-1} + \underline{\beta'} \underline{z}_{at}^* + e_t$$
 (2.49)

di mana:

 ε_{t-1} : nilai duga residual,

 S_{t-1}^- : variabel *dummy* dengan nilai 1 jika $\varepsilon_{t-1} < 0$ dan nilai 0 jika $\varepsilon_{t-1} \ge 0$,

 S_{t-1}^+ : variabel dummy dengan nilai 0 jika $\varepsilon_{t-1} < 0$ dan nilai 1 jika $\varepsilon_{t-1} \ge 0$,

Semua tes tersebut digunakan untuk mengetahui nyata atau tidaknya nilai *b* pada setiap tes. Tes dilakukan dengan meregresikan setiap persamaan dengan statistik uji *t*.

2.5.5 Model Glosten, Jannathan and Runkle GARCH (GJR-GARCH)

Model GARCH ini dikembangkan oleh Glosten, Jagannathan, dan Runkle pada tahun 1993. Model tersebut merupakan modifikasi dari penghitungan varians bersyarat dari GARCH(1,1) yang mengasumsikan parameter ε_{t-1}^2 bergantung pada tanda dari nilai *shock* atau volatilitasnya. Model GJR-GARCH(1,1) dapat dituliskan sebagai berikut:

$$h_{t} = \alpha_{0} + \alpha_{1} \varepsilon_{t-1}^{2} + \gamma \varepsilon_{t-1}^{2} I(\varepsilon_{t-1} < 0) + \beta h_{t-1}$$
(2.50)

dengan I[.] merupakan fungsi indikator. Model ini sering pula disebut sebagai Sign-GARCH model. Formula GJR berhubungan dengan Treshold GARCH (TGARCH) yang merupakan model yang dikembangkan oleh Zakoian (1994) dan Asymmetric GARCH (AGARCH) oleh Engle (1990). Ketika mengestimasi model GJR dengan ekuitas index returns (Glosten et al.,1993), γ didapatkan bernilai positif, sehingga volatilitas meningkat secara proporsional mengikuti negative shocks daripada positive shocks. Model asimetri tersebut berdasarkan beberapa literatur disebut sebagai leverage effect.

2.5.6 Model Asymmetric Power ARCH (APARCH)

Model APARCH dikembangkan oleh Ding, Granger, dan Engle pada tahun 1993. Studi Monte-Carlo yang dilakukan Ding et al. (1993) menunjukkan bahwa model ARCH umumnya menangkap pola khusus dari autokorelasi. Model GARCH oleh Bolleslev maupun Taylor/Schwert dalam nilai absolut model dapat menghasilkan properti tersebut. Tampaknya tidak ada alasan yang jelas mengapa harus mengasumsikan varians bersyarat adalah fungsi linier dari kuadrat residual seperti dalam GARCH Bollerslev atau fungsi linier standar deviasi bersyarat adalah fungsi linier dari residual absolut seperti dalam Model Taylor/Schwert.

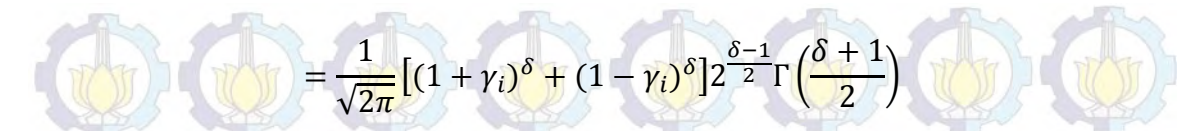
Studi empiris yang dilakukan oleh Nelson (1991), Glosten et al. (1989) dan Engle dan Ng (1992) menunjukkan bahwa sangat penting untuk memasukkan unsur asimetrik dalam model finansial time series. Model APARCH yang dibentuk oleh Ding et al. (1993) ini merupakan modifikasi dari model GARCH dan mencakup tujuh model lain dari ARCH.

Jika diasumsikan distribusi dari series data (r_t) adalah normal, dari model GARCH yang telah diformulasi maka Es_t^{δ} dari model APARCH adalah:

$$\sum_{i=1}^{p} \alpha_i E(|e_{t-1}| - \gamma_i e_{t-1})^{\delta} + \sum_{j=1}^{q} \beta_j < 1, \tag{2.51}$$

dimana

$$E(|e_{t-1}| - \gamma_i e_{t-1})^{\delta} = \frac{1}{\sqrt{2\pi}} \int_{-\infty}^{+\infty} (|x| - \gamma_i x)^{\delta} e^{\frac{x^2}{2}} dx$$



sehingga menjadi

$$\frac{1}{\sqrt{2\pi}} \sum_{i=1}^{p} \alpha_{i} \left[(1+\gamma_{i})^{\delta} + (1-\gamma_{i})^{\delta} \right] 2^{\frac{\delta-1}{2}} \Gamma\left(\frac{\delta+1}{2}\right) + \sum_{i=1}^{q} \beta_{i} < 1,$$

maka

$$E|\varepsilon_{t}|^{\delta} = E|e_{t}|^{\delta}Es_{t}^{\delta}$$

$$= \frac{1}{\sqrt{\pi}}2^{\frac{\delta}{2}}\Gamma\left(\frac{\delta+1}{2}\right)Es_{t}^{\delta}$$
(2.52)

Ketika kondisi terpenuhi, maka ekspektasi tidak bersyarat dari s_t^{δ} sebagai berikut:

$$Es_t^\delta = \alpha_0/(1-\sum_{i=1}^p \alpha_i E(|e_{t-1}|-\gamma_i e_{t-1})^\delta + \sum_{j=1}^q \beta_j) = \omega^\delta$$

dan

$$E|\varepsilon_{t}|^{\delta} = \frac{1}{\sqrt{\pi}} 2^{\frac{\delta}{2}} \Gamma\left(\frac{\delta+1}{2}\right) E s_{t}^{\delta}$$

$$= \frac{1}{\sqrt{\pi}} 2^{\frac{\delta}{2}} \Gamma\left(\frac{\delta+1}{2}\right) \omega^{t}$$

Pada kasus tertentu, ketika $\delta=2$ dan $\gamma_i=0$, maka kovarians yang stasioner untuk ε^t adalah

$$\frac{1}{\sqrt{2\pi}} \sum_{i=1}^{p} \alpha_i 2(2^{\frac{2-1}{2}}) \Gamma\left(\frac{2+1}{2}\right) + \sum_{j=1}^{q} \beta_j = \frac{1}{\sqrt{\pi}} \sum_{i=1}^{p} \alpha_i 2(\frac{1}{2}) \Gamma\left(\frac{1}{2}\right) + \sum_{j=1}^{q} \beta_j$$

$$= \sum_{i=1}^{p} \alpha_i + \sum_{j=1}^{q} \beta_j < 1$$

Dibawah asumsi tersebut, yaitu moment ke- δ dari s_t dan $|\varepsilon_t|$ ada, maka ε_t stasioner dalam kovarians jika $\delta \geq 2$. Model APARCH(p,q) dapat dituliskan:

$$\sigma_t^{\delta} = \alpha_0 + \sum_{i=1}^p \alpha_1 (|\varepsilon_{t-1}| - \gamma_i \varepsilon_{t-1})^{\delta} + \sum_{j=1}^q \beta_j \, \sigma_{t-1}^{\delta}$$

$$(2.53)$$

2.6 Pemilihan Model Terbaik

Untuk memilih model yang sesuai, maka dilakukan pemilihan model berdasarkan kriteria *in-sample* (data *training*) dan *out-of-sample* (data *testing*). Kriteria *in-sample* yaitu menggunakan AIC (Wei, 2006):

$$AIC(M) = -2 \ln[maximum \ likelihood] + 2M \tag{2.54}$$

dimana *M* adalah jumlah parameter dalam model. Untuk model ARMA dan *n* adalah jumlah efektif dari observasi, maka fungsi *log-likelihood* yaitu:

$$\ln L = -\frac{n}{2} \ln 2\pi \sigma_a^2 - \frac{1}{2\sigma_a^2} S(\phi, \mu, \theta)$$
 (2.55)

$$\ln \hat{L} = -\frac{n}{2} \ln \sigma_a^2 - \frac{n}{2} (1 + \ln 2\pi)$$
 (2.56)

$$AIC(M) = nln\sigma_a^2 + 2M \tag{2.57}$$

Order optimal dari order dipilih berdasarkan nilai M, yang merupakan fungsi p dan q, sehingga AIC(M) adalah minimum.

2.7 Inflasi

Kehidupan perekonomian suatu negara tidak terlepas dari masalah ekonomi makro, antara lain: pertumbuhan ekonomi, inflasi, pengangguran, kestabilan kegiatan ekonomi serta neraca perdagangan pembayaran (Sukirno, 2012). Dalam perjalanannya, inflasi bisa menjadi momok bagi masyarakat namun juga bisa menjadi pemicu bagi perkembangan perekonomian. Secara sederhana inflasi diartikan sebagai meningkatnya hargaharga secara umum dan terus menerus. Kenaikan harga dari satu atau dua barang saja tidak dapat disebut inflasi kecuali bila kenaikan itu meluas (atau mengakibatkan kenaikan harga) pada barang lainnya. Jika perkembangan inflasi bergerak tanpa ken<mark>dali</mark> akan mengakibatkan nilai uang akan menjadi rendah. Hal ini berpengaruh terhadap pola konsumsi masyarakat yang dampaknya akan dirasakan langsung khususnya oleh golongan masyarakat berpenghasilan menengah ke bawah serta yang berpenghasilan tetap. Inflasi yang tinggi sangat penting diperhatikan mengingat dampaknya bagi perekonomian yang dapat menimbulkan ketidakstabilan ekonomi, pertumbuhan ekonomi yang lambat, dan

pengangguran yang meningkat. Oleh karena itu perlu adanya pengendalian kestabilan pergerakan inflasi.

Perkembangan inflasi dapat dikatakan ideal jika bergerak naik namun terkendali. Kondisi ini memungkinkan dunia usaha untuk berkembang dan dapat meningkatkan produksinya, sementara masyarakat selaku konsumen tidak dikejutkan oleh kenaikan harga barang yang relatif kecil, sehingga tidak menimbulkan gejolak di masyarakat.

Secara umum, inflasi timbul karena adanya tekanan dari sisi supply (cost push inflation), dari sisi permintaan (demand pull inflation), dan dari ekspektasi inflasi. Namun dalam perkembangannya faktor lain yang juga dapat mempengaruhi tingkat inflasi adalah naiknya gaji pegawai negeri, adanya hari besar kegamaan serta kebijakan pemerintah dalam penyesuaian harga Bahan Bakar Minyak (BBM) dan Tarif Dasar Listrik (TDL) terhambatnya jalur distribusi yang mengakibatkan berkurangnya persediaan barang dipasaran juga menjadi penentu naiknya harga barang. Dalam hal ini, Bank Indonesia (BI) selaku pemegang otoritas moneter di Indonesia hanya memiliki kemampuan untuk mempengaruhi tekanan inflasi yang berasal dari demand pull inflation, sedangkan tekanan inflasi dari cost push inflation berada di luar pengendalian Bank Indonesia. Faktor-faktor terjadinya cost push inflation dapat disebabkan oleh depresiasi nilai tukar, dampak inflasi luar negeri terutama negara-negara partner dagang, peningkatan harga-harga komoditi yang diatur pemerintah (administered price), dan terjadi negative supply shocks akibat bencana alam dan terganggunya distribusi.

Indikator yang sering digunakan untuk mengukur tingkat inflasi adalah Indeks Harga Konsumen (IHK). Perubahan IHK dari waktu ke waktu menunjukkan pergerakan harga dari paket barang dan jasa yang dikonsumsi masyarakat. Sejak Juli 2008, paket barang dan jasa dalam keranjang IHK telah dilakukan atas dasar Survei Biaya Hidup (SBH) Tahun 2007 yang dilaksanakan oleh Badan Pusat Statistik (BPS). Kemudian, BPS akan memonitor perkembangan harga dari barang dan jasa tersebut secara bulanan di beberapa kota, di pasar tradisional dan modern terhadap beberapa jenis barang/jasa di setiap kota.

Indikator inflasi lainnya menurut BPS berdasarkan international best practice antara lain:

- a) Indeks Harga Perdagangan Besar (IHPB). Harga Perdagangan Besar dari suatu komoditas ialah harga transaksi yang terjadi antara penjual/pedagang besar pertama dengan pembeli/pedagang besar berikutnya dalam jumlah besar pada pasar pertama atas suatu komoditas.
- b) Deflator Produk Domestik Bruto (PDB) menggambarkan pengukuran level harga barang akhir (final goods) dan jasa yang diproduksi di dalam suatu ekonomi (negeri). Deflator PDB dihasilkan dengan membagi PDB atas dasar harga nominal dengan PDB atas dasar harga konstan.

Selanjutnya inflasi dikelompokkan ke dalam 7 kelompok pengeluaran (berdasarkan the Classification of individual consumption by purpose - COICOP), yaitu:

- a) Kelompok Bahan Makanan
- b) Kelompok Makanan Jadi, Minuman, dan Tembakau
- c) Kelompok Perumahan
- d) Kelompok Sandang
- e) Kelompok Kesehatan
- f) Kelompok Pendidikan dan Olah Raga
- g) Kelompok Transportasi dan Komunikasi.

Disamping pengelompokan berdasarkan COICOP tersebut, BPS saat ini juga mempublikasikan inflasi berdasarkan pengelompokan yang lainnya yang dinamakan disagregasi inflasi. Disagregasi inflasi tersebut dilakukan untuk menghasilkan suatu indikator inflasi yang lebih menggambarkan pengaruh dari faktor yang bersifat fundamental.

Di Indonesia, disagegasi inflasi IHK tersebut dikelompokan menjadi:

- a) Inflasi Inti, yaitu komponen inflasi yang cenderung menetap atau persisten (persistent component) di dalam pergerakan inflasi dan dipengaruhi oleh faktor fundamental, seperti:
 - Interaksi permintaan-penawaran,

- Lingkungan eksternal: nilai tukar, harga komoditi internasional, inflasi mitra dagang,
- Ekspektasi Inflasi dari pedagang dan konsumen.

listrik, tarif angkutan, dan lain-lain.

- b) Inflasi non Inti, yaitu komponen inflasi yang cenderung tinggi volatilitasnya karena dipengaruhi oleh selain faktor fundamental.

 Komponen inflasi non inti terdiri dari:
 - Inflasi Komponen Bergejolak (Volatile Food):
 Inflasi yang dominan dipengaruhi oleh shocks (kejutan) dalam kelompok bahan makanan seperti panen, gangguan alam, atau faktor perkembangan harga komoditas pangan domestik maupun perkembangan harga komoditas pangan internasional.
 - Inflasi Komponen Harga yang diatur Pemerintah (Administered Prices):
 Inflasi yang dominan dipengaruhi oleh shocks (kejutan) berupa

kebijakan harga Pemerintah, seperti harga BBM bersubsidi, tarif

BAB 3

METODOLOGI PENELITIAN

3.1 Data dan Variabel

3.1.1 Sumber Data

Data yang digunakan dalam penelitian ini adalah data sekunder yang diperoleh dari Publikasi Statistik Harga Badan Pusat Statistik (BPS). Data yang digunakan merupakan data deret waktu (*time series*) inflasi Indonesia, mulai dari Januari 1990 sampai dengan Desember 2015. Jumlah *series* data yang digunakan adalah 312 *series*. Dari bulan Januari 1990 sampai dengan Desember 2014 digunakan sebagai data *in-sample* dan data Januari 2015 sampai dengan Desember 2015 digunakan sebagai data *out-of-sample*.

3.1.2 Variabel Penelitian

Berdasarkan latar belakang dan tujuan penelitian, maka variabel penelitian yang akan digunakan adalah inflasi nasional sebagai *series* output. Selanjutnya variabel input eksogen yang digunakan adalah variabel perubahan harga minyak dunia harga minyak dunia. Data perubahan rata-rata harga minyak dunia per bulan yang digunakan merupakan perubahan rata-rata dari tiga jenis penghasil minyak dunia yaitu Brent, West Texas Intermediate (WTI), dan Dubai. Selanjutnya dilakukan deteksi *outlier* dalam membentuk model ARIMAX.

3.2 Metode Analisis Data

Berdasarkan tujuan penelitian, langkah-langkah yang akan dilakukan dalam mendapatkan suatu model inflasi yang baik dan dapat digunakan untuk memprediksi nilai inflasi di waktu yang akan datang adalah sebagai berikut.

3.2.1 Studi Simulasi

Untuk menjawab tujuan pertama dari penelitian maka disusun langkahlangkah analisis sebagai berikut:

1. Membangkitkan data residual simulasi model yang mengandung heteroskedastisitas (ARCH/GARCH) yaitu GARCH(1,1) dengan

pertimbangan bahwa GARCH(1,1) merupakan model GARCH paling sederhana yang bisa digunakan untuk membandingkannya dengan metode GARCH asimetrik. Jumlah sampel menggunakan tiga macam kondisi, yaitu sampel kecil n = 200 dan sampel besar n = 1.000. Data dibangkitkan dengan menentukan kombinasi beberapa parameter (α dan β) tertentu.

- 2. Melakukan pemodelan dan estimasi parameter menggunakan metode GARCH, GJR-GARCH, dan APARCH.
- 3. Menghitung nilai AIC pada data in-sample
- 4. Mengulangi langkah 1 dan 2 sebanyak 100 kali.
- 5. Menghitung rata-rata nilai AIC.
- 6. Menghitung persentase hasil replikasi yang tolak H_0 pada uji asimetrik.
- 7. Membandingkan hasil pemodelan terbaik dengan melihat rata-rata nilai AIC.
- 8. Membangkitkan data GJR-GARCH(1,1) dengan parameter yang ditetapkan.
- 9. Melakukan langkah 2 s.d. 7.
- 10. Membangkitkan data APARCH(1,1) dengan parameter yang sudah ditetapkan.
- 11. Melakukan langkah 2 s.d. 7.

3.2.2 Aplikasi Data Riil

Tahapan pembentukan model ARIMA dengan deteksi outlier:

- a. Melakukan identifikasi model ARIMA.
- b. Melakukan estimasi parameter model ARIMA.
- c. Melakukan uji signifikansi parameter.
- d. Melakukan cek diagnosa residual model ARIMA.
- e. Mendeteksi data outlier pada model ARIMA.
- f. Menetapkan identifikasi model ARIMA dengan deteksi outlier.
- g. Melakukan estimasi parameter dengan deteksi *outlier* sebagai faktor eksogen.
- h. Melakukan uji signifikansi parameter dengan deteksi *outlier* sebagai faktor eksogen.
- i. Melakukan cek diagnosa residual model ARIMA dengan deteksi *outlier* sebagai faktor eksogen.
- j. Melakukan peramalan model ARIMA dengan deteksi outlier.
- k. Menghitung MSE data in-sample dan out-of-sample.

Tahapan pembentukan model ARIMA fungsi transfer:

- 1. Identifikasi bentuk model:
 - a. Mempersiapkan deret input (harga minyak dunia) dan deret output (inflasi).
 - b. Prewhitening deret input dan penghitungan deret output.
 - c. Penghitungan crosscorrelation dan autokorelasi untuk deret input dan deret output yang telah dilakukan prewhitening.
 - d. Penaksiran bobot respon impuls.
 - e. Penetapan (b, r, s) untuk model fungsi transfer.
 - f. Penaksiran awal deret gangguan (noise series).
 - g. Penentuan model ARIMA dari deret gangguan n_t .
- 2. Estimasi parameter model fungsi transfer.
- 3. Diagnosa model residual fungsi transfer.
- 4. Melakukan penanganan dengan deteksi *outlier* bila terjadi residual yang tidak berdistribusi normal.

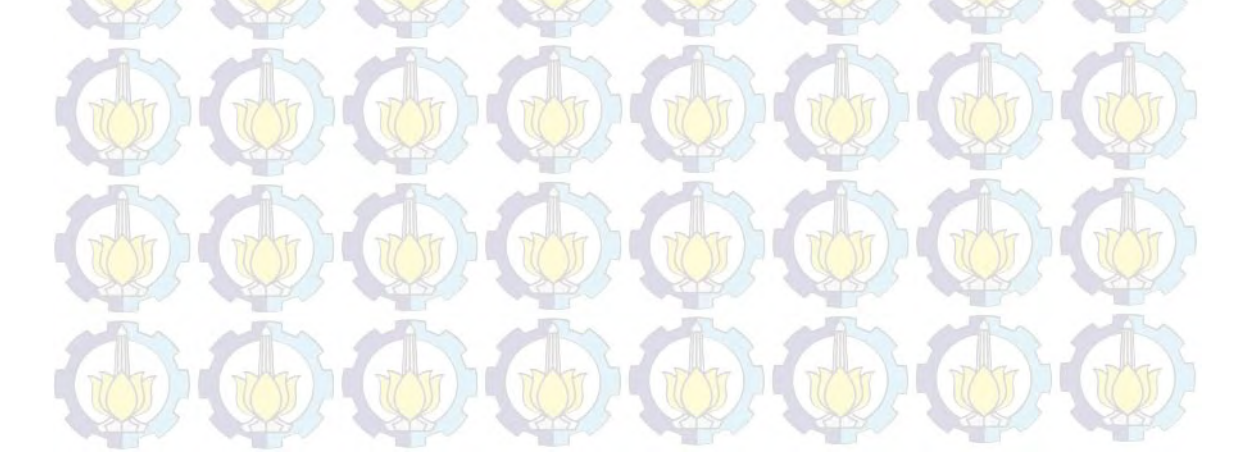
Tahapan pembentukan model ARIMAX dengan fungsi transfer dan deteksi outlier:

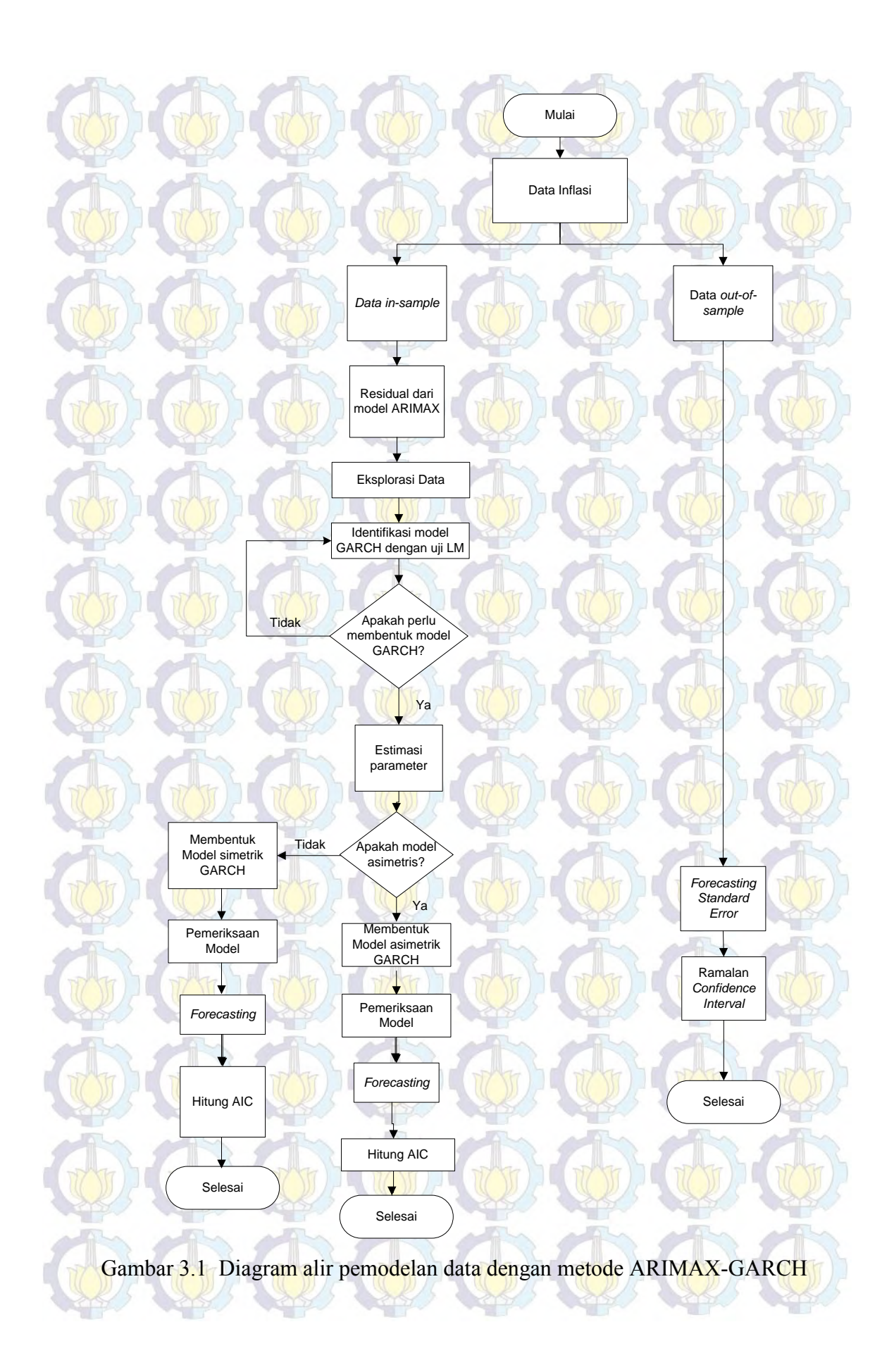
- a. Melakukan tahapan proses ARIMA dengan fungsi transfer.
- b. Mendeteksi data *outlier* pada model ARIMAX fungsi transfer.
- c. Menetapkan identifikasi model ARIMAX fungsi transfer dengan deteksi outlier.
- d. Melakukan estimasi parameter dengan deteksi *outlier* sebagai faktor eksogen.
- e. Melakukan cek diagnosa residual model ARIMA fungsi transfer dengan deteksi outlier sebagai faktor eksogen.
- f. Melakukan peramalan model ARIMAX fungsi transfer dengan deteksi outlier.
- g. Menghitung MSE data in-sample dan out-of-sample.

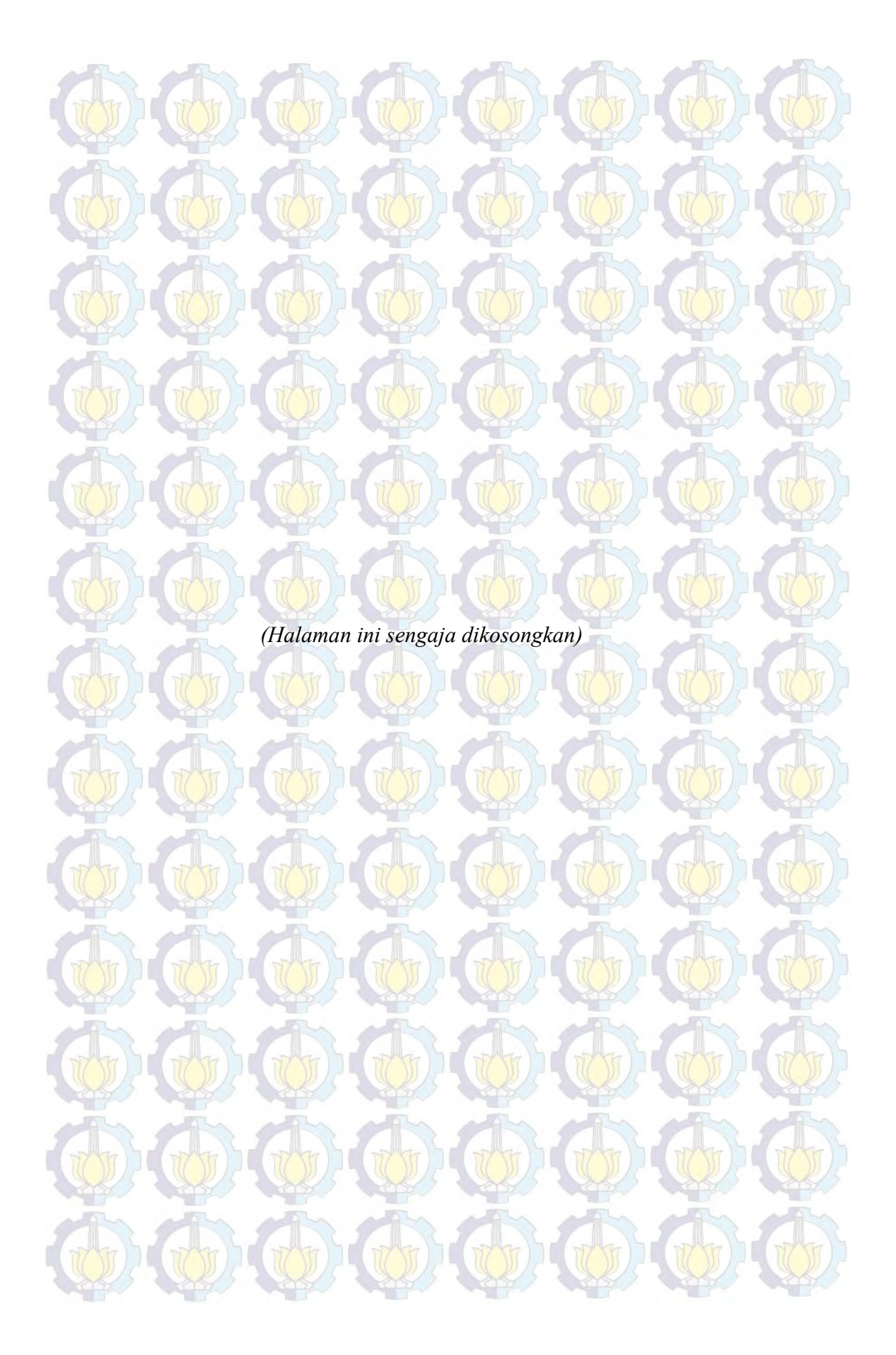
Dari model ARIMAX yang terbentuk baik dengan fungsi transfer maupun deteksi *outlier*, kemudian residual yang terbentuk dari model, dilanjutkan dengan proses pemodelan dengan GARCH.

- Tahapan pembentukan model ARIMAX-GARCH simetrik dan asimetrik:
- a. Melakukan tahapan proses ARIMA, fungsi transfer dan deteksi *outlier* seperti yang dijelaskan sebelumnya.
- b. Residual yang didapatkan dari proses a, dipersiapkan untuk model GARCH.
- c. Eksplorasi data residual yang terbentuk.
- d. Melakukan identifikasi apakah data residual mengandung unsur ARCH. Identifikasi ini dilakukan dengan uji LM.
- e. Identifikasi dugaan model ARCH.
- f. Melakukan estimasi parameter.
- g. Melakukan uji signifikansi parameter.
- h. Melakukan cek diagnosa residual dan residual kuadrat dari model-model GARCH yang terbentuk.
- i. Melakukan pemilihan model terbaik ARCH/GARCH.
- j. Melakukan pengujian efek asimetris pada model GARCH pada ordo minimal GARCH(1,1).
- k. Melakukan estimasi parameter GJR-GARCH dan APARCH.
- 1. Melakukan uji signifikansi parameter GJR-GARCH dan APARCH.
- m. Melakukan cek diagnosa residual dan residual kuadrat dari model-model

 GARCH yang terbentuk.
- n. Melakukan peramalan sigma.
- o. Melakukan peramalan interval pada model ARIMAX dengan simetrik dan asimetrik GARCH.
- p. Validasi dan pengecekan performa masing-masing model.







HASIL DAN PEMBAHASAN

Pada bab ini akan dilakukan analisis dan pembahasan tentang GARCH, GJR-GARCH, dan APARCH dengan menggunakan data simulasi serta data inflasi Indonesia. Analisis dan pembahasan data simulasi meliputi pemodelan GARCH, GJR-GARCH, dan APARCH serta menganalisis performa masingmasing model. Analisis dan pembahasan data inflasi meliputi karakteristik dari data, model GARCH, GJR-GARCH, dan APARCH, meramalkan data inflasi Indonesia, serta menganalisis performa masing-masing model.

4.1 Studi Simulasi

Simulasi data *time series* bertujuan untuk membuktikan bahwa suatu metode memang layak untuk digunakan dan hasil estimasi yang diperoleh dari metode tersebut tidak semata-mata karena faktor kebetulan. Pada penelitian ini data yang akan disimulasi adalah data GARCH.

4.1.1 Simulasi Data Bangkitan

Model GARCH merupakan model yang dapat mengakomodasi masalah heteroskedastisitas data. Tahap awal dari membangkitkan data GARCH untuk tujuan simulasi adalah membangkitkan data yang berdistribusi normal dengan parameter GARCH yang ditentukan terlebih dahulu. GARCH yang dibangkitkan merupakan model GARCH(1,1) dengan pertimbangan bahwa GARCH(1,1) merupakan model GARCH paling sederhana yang bisa digunakan untuk membandingkannya dengan metode GARCH asimetrik. Selanjutnya dibangkitkan pula data GARCH asimetrik yaitu GJR-GARCH(1,1) dan APARCH(1,1). Pada setiap skenario digunakan 100 kali pengulangan dengan masing-masing jumlah sampel adalah 200 dan 1.000. Pemilihan jumlah sampel berdasarkan pertimbangan jumlah sampel kecil = 200 dan jumlah sampel besar = 1.000. Ada tiga parameter yang digunakan dalam pembentukan model GARCH(1,1) yaitu α_0 , α_1 , dan β_1 . Sementara itu ada empat parameter yang digunakan dalam pembentukan model GJR-GARCH(1,1) yaitu α_0 , α_1 , β_1 dan γ_1 . Untuk

pembentukan model APARCH(1,1) digunakan 5 parameter yaitu α_0 , α_1 , β_1 , γ_1 , dan δ . Setting parameter yang digunakan adalah sebanyak 15 skenario. Skenario 1-9 merupakan skenario model GARCH(1,1) dengan α_0 yang dibuat konsisten pada tiap skenario dan mempertahankan nilai $\alpha_1 + \beta_1 = 0.9$.

Tabel 4.1 Setting parameter untuk data simulasi

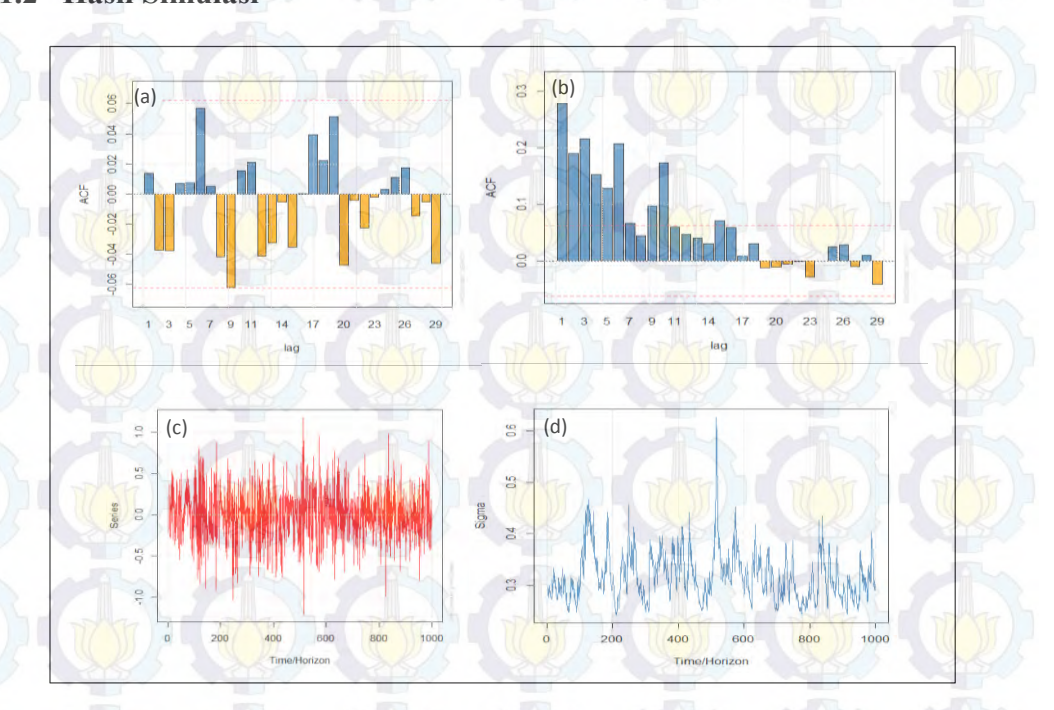
| | | | Parameter | 1001 | 125 14 |
|----------|------------|------------|-----------|--|------------|
| Skenario | α_0 | α_1 | β_1 | γ ₁ | δ |
| | 0,01 | 0,1 | 0,8 | | TOP-CT |
| 2 | 0,01 | 0,2 | 0,7 | | |
| 3 | 0,01 | 0,3 | 0,6 | THE STATE OF THE S | TATE OF |
| 4 | 0,01 | 0,4 | 0,5 | 1997 | 14 F |
| 5 | 0,01 | 0,45 | 0,45 | 1 | 7 |
| 6 | 0,01 | 0,5(()) | 0,4 | | Q-U |
| 7 | 0,01 | 0,6 | 0,3 | | |
| 8 | 0,01 | 0,7 | 0,2 | TY TO | THE CHANGE |
| 9 | 0,01 | 0,8 | 0,1 | | - W |
| 10 | 0,005 | 0,28 | 0,5 | 0,23 | |
| 11 | 0,005 | 0,18 | 0,6 | 0,23 | |
| 12 | 0,005 | 0,38 | 0,4 | 0,23 | 4 |
| 13 | 0,005 | 0,28 | 0,5 | 0,23 | 2 (7 |
| 14 | 0,005 | 0,18 | 0,6 | 0,23 | 2 |
| 15 | 0,005 | 0,38 | 0,4 | 0,23 | 2 |

Simulasi data seperti pada Tabel 4.1 digunakan untuk membandingkan performa masing-masing model GARCH. Selanjutnya dibangkitkan pula data GARCH simetrik dan asimetrik untuk mengetahui *power* dan *size* dari pengujian asimetrik GARCH. *Setting* parameter yang digunakan ada 9 skenario seperti yang disajikan pada tabel 4.2. *Setting* parameter simulasi pada Tabel 4.2 didasarkan pada simulasi yang dilakukan Engle dan Ng (1993).

Tabel 4.2 Setting parameter untuk data simulasi power dan size uji asimetrik

| | | | Parameter | | |
|----------|------------|------------|-----------|----------------|-----------|
| Skenario | α_0 | α_1 | β_1 | γ ₁ | δ |
| 1 | 0,01 | 0,09 | 0,9 | 2/- 3 | 7-1 |
| 2 | 0,05 | 0,05 | 0,9 | F- 4 | 0-0 |
| 3 | 0,2 | 0,05 | 0,75 | | y) |
| 4 | 0,005 | 0,28 | 0,5 | 0,23 | |
| 5 | 0,005 | 0,18 | 0,6 | 0,23 | 77 |
| 6 | 0,005 | 0,38 | 0,4 | 0,23 | |
| 7 | 0,005 | 0,28 | 0,5 | 0,23 | 2 |
| 8 | 0,005 | 0,18 | 0,6 | 0,23 | 2 |
| 9 | 0,005 | 0,38 | 0,4 | 0,23 | 2 |

4.1.2 Hasil Simulasi



Gambar 4.1 Plot ACF observasi (a), ACF dari kuadrat observasi (b), time series (c), dan plot standard error (d) dari model skenario 1

Pada Gambar 4.1 disajikan plot ACF observasi, plot ACF kuadrat observasi, plot *time series*, plot *standard error* dari data yang mengikuti model GARCH(1,1) dengan parameter $\alpha_0 = 0.01$, $\alpha_0 = 0.1$, dan $\beta_1 = 0.8$ dengan jumlah sampel 1.000.

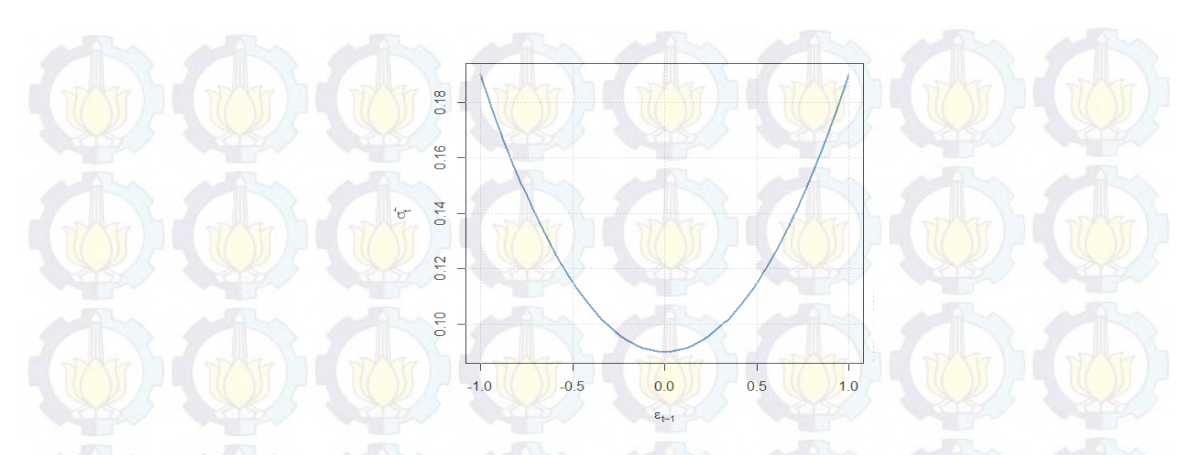
Tabel 4.3 Perbandingan AIC model skenario 1 untuk data *in-sample* pada model GARCH, GJR-GARCH, dan APARCH

| Model | Jumlah Sampel | AIC |
|----------------|---------------|-----------|
| | 200 | 0,5120054 |
| GARCH(1,1) | 1.000 | 0,4907642 |
| | 200 | 0,5109466 |
| GJR-GARCH(1,1) | 1.000 | 0,4920505 |
| | 200 | 0,5188978 |
| APARCH(1,1) | 1.000 | 0,4928501 |

Model persamaan dari simulasi pada tabel 4.3 adalah sebagai berikut:

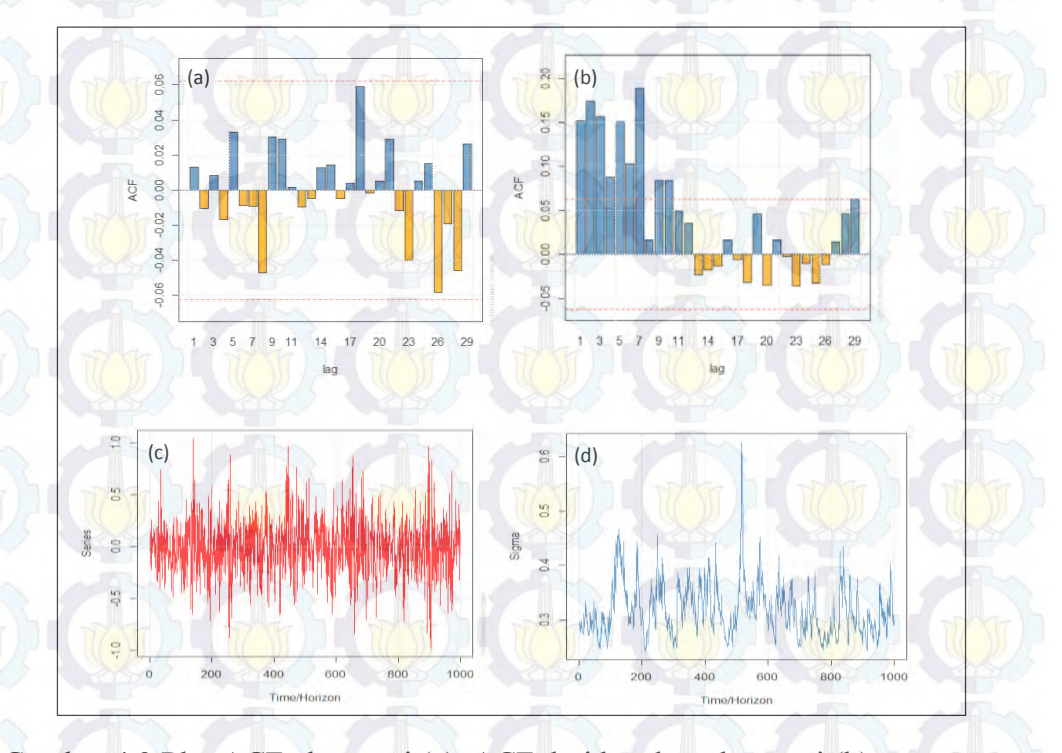
$$\sigma_t^2 = 0.01 + 0.1\varepsilon_{t-1}^2 + 0.8\sigma_{t-1}^2 \tag{4.1}$$

Pada ketiga model GARCH hasil estimasi dari data simulasi, terlihat bahwa nilai AIC yang dihasilkan pada masing-masing model GARCH, memberikan akurasi yang tinggi. Nilai AIC pada masing-masing jumlah sampel dan model GARCH sekilas memberikan nilai yang tidak berbeda signifikan. Pada jumlah sampel 200, model dengan nilai AIC terkecil adalah GJR-GARCH(1,1). Sementara itu pada jumlah sampel 1.000, model GARCH(1,1,1) memiliki nilai AIC terkecil dibandingkan dengan kedua model GARCH lainnya. Bila kedua model GARCH asimetrik dibandingkan, baik dalam sampel kecil maupun sampel besar, GJR-GARCH(1,1) memiliki nilai AIC yang paling kecil. Hal tersebut mengindikasikan model GJR-GARCH(1,1) lebih baik dibandingkan APARCH(1,1). Pada model skenario 1 terlihat bahwa seiring peningkatan jumlah sampel yang digunakan pada masing-masing model GARCH, maka nilai AIC pada data *in-sample* atau data *training* semakin kecil. Hasil tersebut mengindikasikan semakin besar sampel, model yang dihasilkan akan semakin baik.



Gambar 4.2 News impact curve pada model skenario 1

Untuk melihat hubungan simetrik pada data yang dibangkitkan melalui model skenario 1, dapat dilihat pada Gambar 4.2. Pada gambar tersebut tampak bahwa nilai yang sama namun bertanda positif ataupun negatif dari *shock* (ε_{t-1}) memberikan dampak yang sama terhadap nilai varians, sehingga hubungan tersebut disebut simetrik.



Gambar 4.3 Plot ACF observasi (a), ACF dari kuadrat observasi (b), time series (c), dan plot standard error (d) dari model skenario 2

Selanjutnya pada gambar 4.3 disajikan plot ACF observasi, plot ACF kuadrat observasi, plot *time series*, plot *standard error* dari data yang mengikuti model GARCH(1,1) dengan parameter $\alpha_0 = 0.01$, $\alpha_1 = 0.2$, dan $\beta_1 = 0.7$ dengan jumlah sampel 1.000. Hasil penghitungan akurasi berdasarkan estimasi parameter pada data bangkitan dijabarkan dalam tabel berikut.

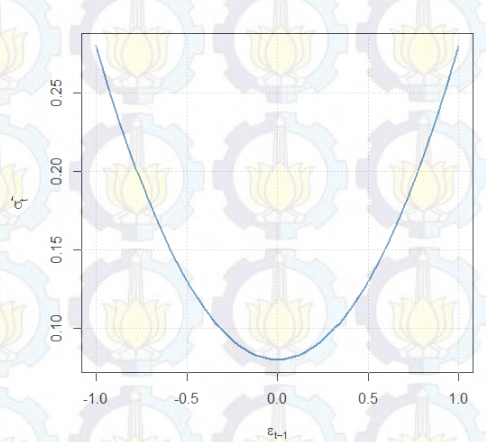
Tabel 4.4 Perbandingan AIC model skenario 2 untuk data *in-sample* pada model GARCH, GJR-GARCH, dan APARCH

| Model | J <mark>uml</mark> ah Sampel | AIC |
|----------------|------------------------------|-----------|
| A A | 200 | 0,4407345 |
| GARCH(1,1) | 1.000 | 0,3821103 |
| | 200 | 0,4426322 |
| GJR-GARCH(1,1) | 1.000 | 0.3830722 |
| | 200 | 1,540991 |
| APARCH(1,1) | 1.000 | 0,3840547 |

Model persamaan dari simulasi pada tabel 4.4 adalah sebagai berikut:

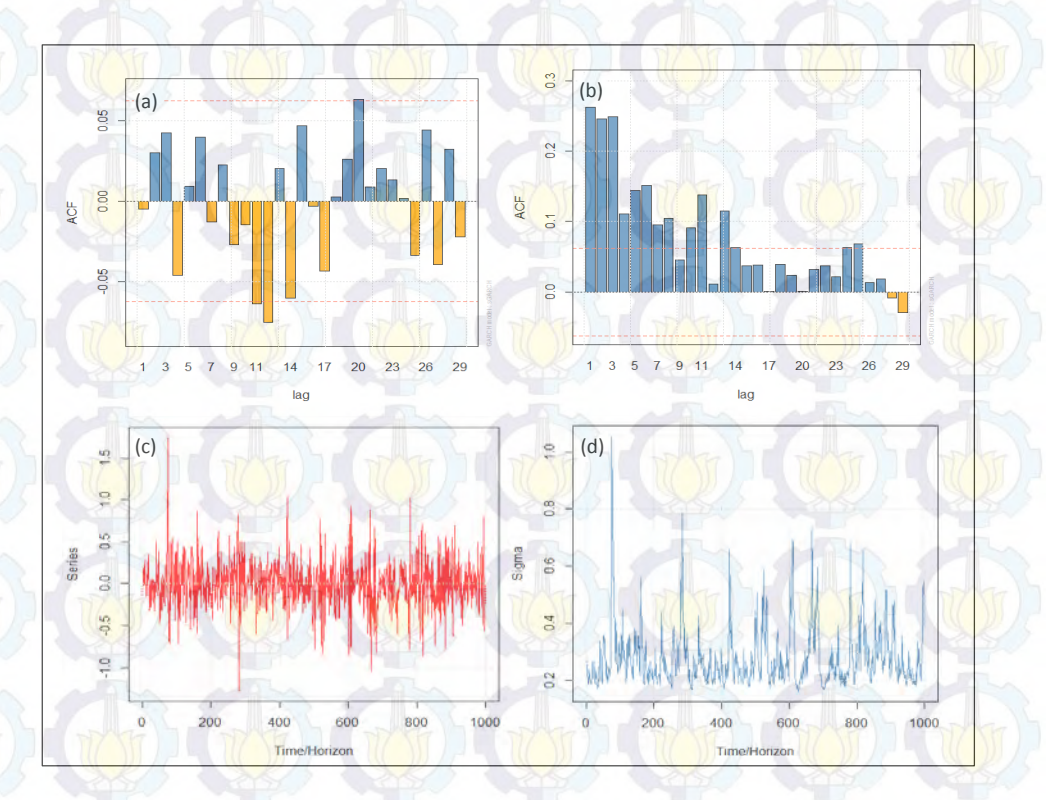
$$\sigma_t^2 = 0.01 + 0.2\varepsilon_{t-1}^2 + 0.7\sigma_{t-1}^2 \tag{4.2}$$

Pada ketiga model GARCH hasil estimasi dari data simulasi, terlihat bahwa nilai AIC yang dihasilkan pada masing-masing model GARCH, me<mark>mbe</mark>rikan a<mark>kur</mark>asi yang tinggi. Nilai AIC pada masing-masing jumlah sampel dan model GARCH sekilas memberikan nilai yang tidak berbeda signifikan. Baik pada jumlah sampel 200 maupun 1.000, model GARCH(1,1) memiliki nilai AIC terkecil diantara ketiga model GARCH. Dengan demikian, GARCH(1,1) merupakan model terbaik pada data tersebut. Pada Tabel 4.4, Bila kedua model GARCH asimetrik dibandingkan, baik dalam sampel kecil maupun sampel besar, GJR-GARCH(1,1) memiliki nilai AIC yang paling kecil. Hal tersebut mengindikasikan model GJR-GARCH(1,1)lebih baik dibandingkan APARCH(1,1). Pada model skenario 2 terlihat bahwa semakin besar jumlah sampel yang digunakan pada masing-masing model GARCH, maka nilai AIC pada data in-sample atau data training semakin kecil. Hal tersebut mengindikasikan semakin besar sampel, model yang dihasilkan akan semakin baik. Hubungan simetrik antara shock (ε_{t-1}) dengan varians (σ_t^2) disajikan pada Gambar 4.4.



Gambar 4.4 News impact curve pada model skenario 2

Berikutnya model skenario ketiga menggunakan parameter $\alpha_0 = 0.01$, $\alpha_1 = 0.3$, dan $\beta_1 = 0.6$. Plot data bangkitan dapat dilihat pada Gambar 4.5.



Gambar 4.5 Plot ACF observasi (a), ACF dari kuadrat observasi (b), *time series* (c), dan plot *standard error* (d) dari model skenario 3

Hasil penghitungan akurasi berdasarkan estimasi parameter pada data bangkitan dijabarkan dalam Tabel 4.5.

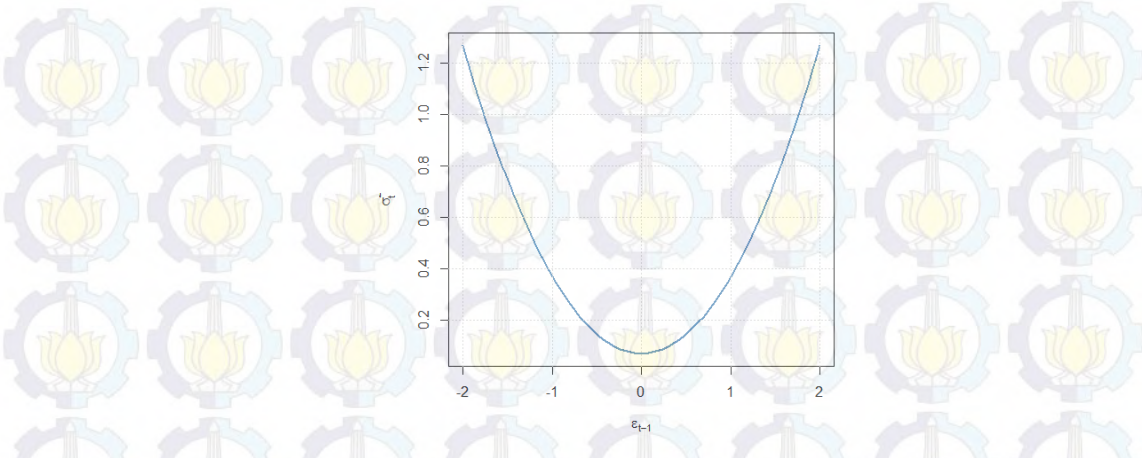
Tabel 4.5 Perbandingan AIC model skenario 3 untuk data *in-sample* pada model GARCH, GJR-GARCH, dan APARCH

| Model | Jumlah Sampel | AIC |
|----------------|---------------|-----------|
| | 200 | 0,2548288 |
| GARCH(1,1) | 1.000 | 0,2192589 |
| | 200 | 0,2591613 |
| GJR-GARCH(1,1) | 1.000 | 0,2202762 |
| | 200 | 0,2622997 |
| APARCH(1,1) | 1.000 | 0,2212801 |

Model persamaan dari simulasi pada Tabel 4.5 adalah sebagai berikut:

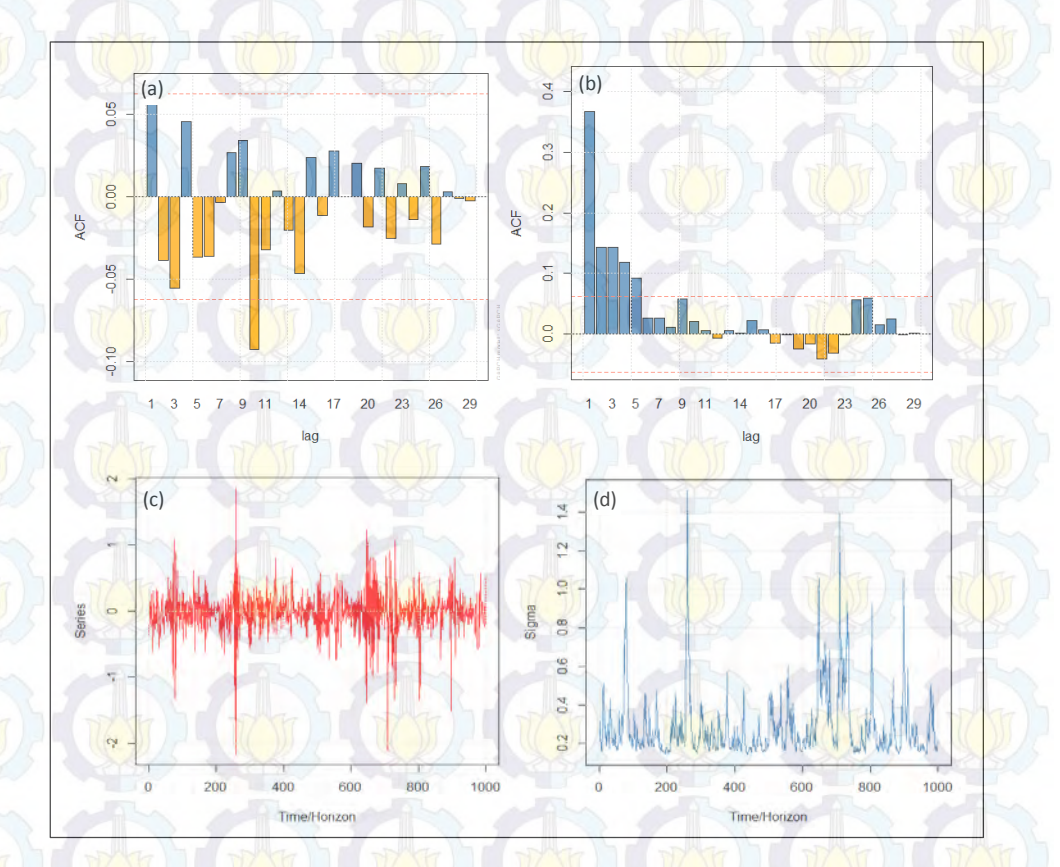
$$\sigma_t^2 = 0.01 + 0.3\varepsilon_{t-1}^2 + 0.6\sigma_{t-1}^2 \tag{4.3}$$

Pada ketiga model GARCH hasil estimasi dari data simulasi, terlihat bahwa nilai AIC yang dihasilkan pada masing-masing model GARCH, memberikan akurasi yang tinggi. Nilai AIC pada masing-masing jumlah sampel dan model GARCH sekilas memberikan nilai yang tidak berbeda signifikan. Seperti halnya pada skenario 2, baik pada jumlah sampel 200 maupun 1.000, model GARCH(1,1) memiliki nilai AIC terkecil diantara ketiga model GARCH. Dengan demikian, GARCH(1,1) merupakan model terbaik pada data tersebut. Bila kedua model GARCH asimetrik dibandingkan, baik dalam sampel kecil maupun sampel besar, GJR-GARCH(1,1) memiliki nilai AIC yang paling kecil. Hal tersebut mengindikasikan model GJR-GARCH(1,1) lebih baik dibandingkan APARCH(1,1). Pada model skenario 3 terlihat bahwa semakin besar jumlah sampel yang digunakan pada masing-masing model GARCH, maka nilai AIC pada data in-sample atau data training semakin kecil. Hal tersebut mengindikasikan semakin besar sampel, model yang dihasilkan akan semakin baik. Hubungan simetrik antara shock (ε_{t-1}) dengan varians (σ_t^2) disajikan pada Gambar 4.6.



Gambar 4.6 News impact curve pada model skenario 3

Model skenario berikutnya adalah model skenario 5 melalui data yang dibangkitkan dengan parameter $\alpha_0 = 0.01$, $\alpha_1 = 0.4$, dan $\beta = 0.5$. Plot data bangkitan dengan skenario 5 disajikan pada Gambar 4.7.



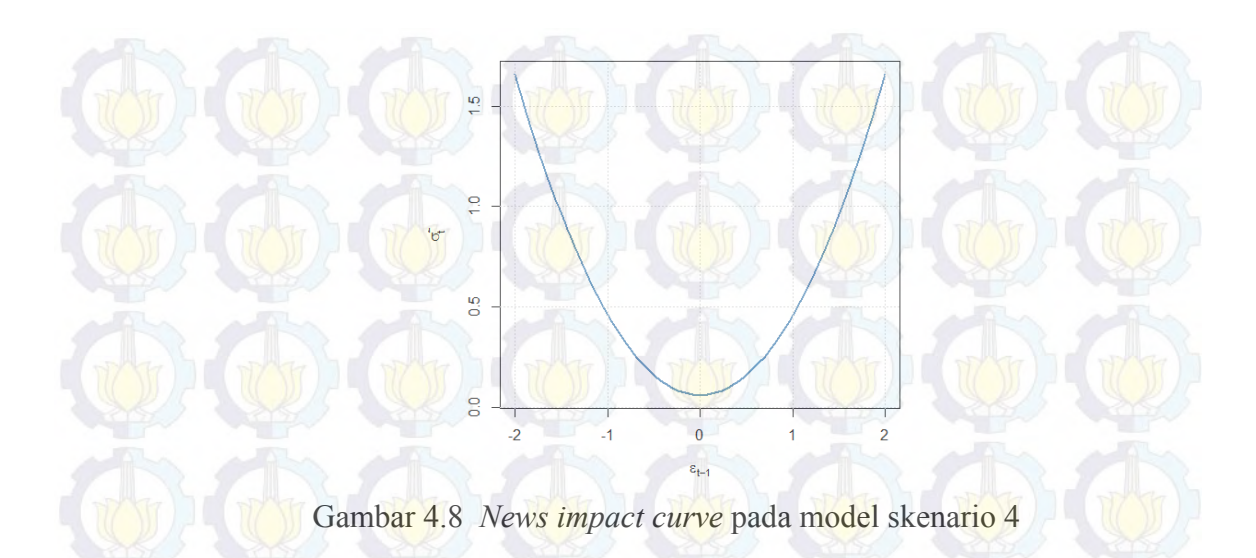
Gambar 4.7 Plot ACF observasi (a), ACF dari kuadrat observasi (b), time series (c), dan plot standard error (d) dari model skenario 4

Model persamaan dari simulasi pada Tabel 4.6 adalah sebagai berikut: $\sigma_t^2 = 0.01 + 0.4\varepsilon_{t-1}^2 + 0.5\sigma_{t-1}^2$ (4.4)

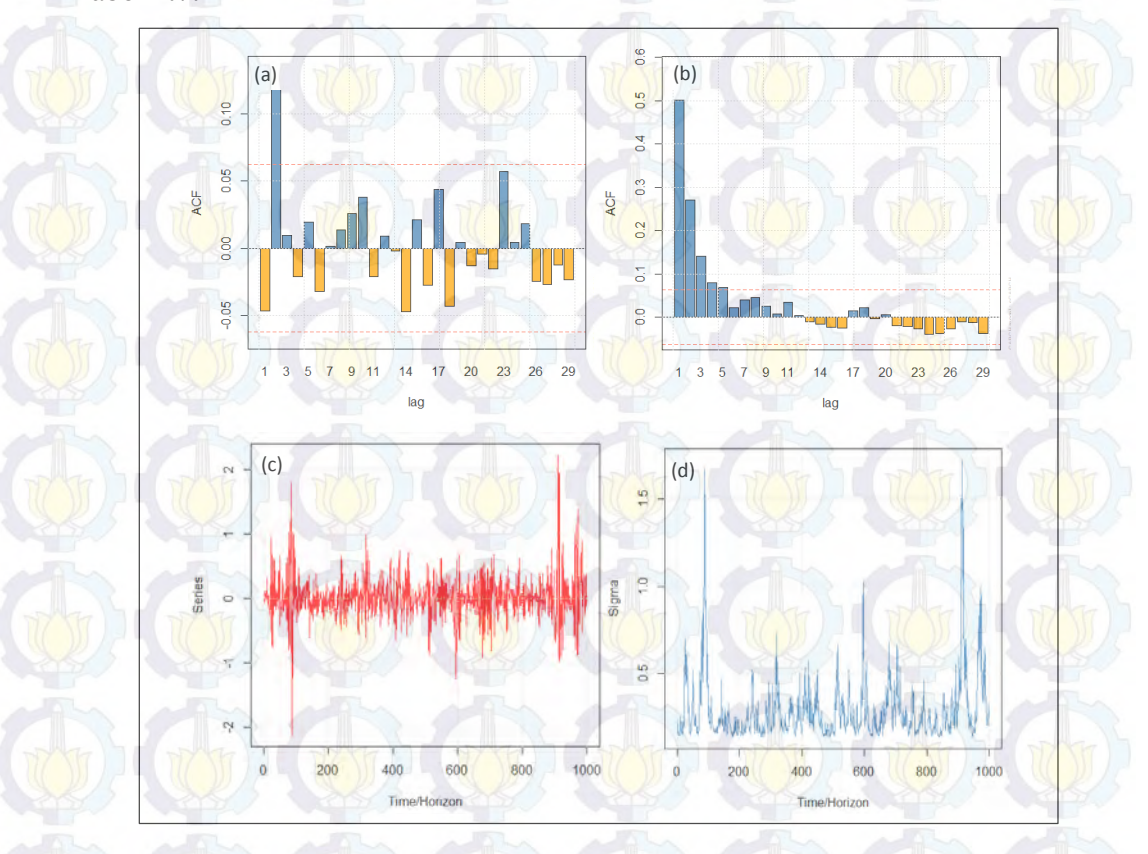
Tabel 4.6 Perbandingan AIC model skenario 4 untuk data *in-sample* pada model GARCH, GJR-GARCH, dan APARCH

| Model | Jumlah Sampel | (AIC) |
|----------------|---------------|------------|
| | 200 | 0,08110778 |
| GARCH(1,1) | 1.000 | 0,08364749 |
| | 200 | 0,08770618 |
| GJR-GARCH(1,1) | 1.000 | 0,08465974 |
| | 200 | 0,08896112 |
| APARCH(1,1) | 1.000 | 0,08564994 |

Pada ketiga model GARCH hasil estimasi dari data simulasi, terlihat bahwa nilai AIC yang dihasilkan pada masing-masing model GARCH, memberikan akurasi yang tinggi, dengan nilai berkisar antara 0,08 sampai dengan 0,10. Nilai AIC pada masing-masing jumlah sampel dan model GARCH sekilas memberikan nilai yang tidak berbeda signifikan. Seperti halnya pada skenario sebelumnya, baik pada jumlah sampel 200 maupun 1.000, model GARCH(1,1) memiliki nilai AIC terkecil diantara ketiga model GARCH. Dengan demikian, GARCH(1,1) merupakan model terbaik pada data tersebut. Bila kedua model GARCH asimetrik dibandingkan, baik dalam sampel kecil maupun sampel besar, GJR-GARCH(1,1) memiliki nilai AIC yang paling kecil. Hal tersebut model GJR-GARCH(1,1) mengindikasikan lebih baik dibandingkan APARCH(1,1). Pada model skenario 4 terlihat bahwa semakin besar jumlah sampel yang digunakan pada masing-masing model GARCH, maka nilai AIC pada data in-sample atau data training semakin kecil. Hal tersebut mengindikasikan semakin besar sampel, model yang dihasilkan akan semakin baik. Hubungan simetrik antara shock (ε_{t-1}) dengan varians (σ_t^2) disajikan pada Gambar 4.8.



Model skenario berikutnya adalah model skenario 5 melalui data yang dibangkitkan dengan parameter $\alpha_0 = 0.01$, $\alpha_1 = 0.45$, dan $\beta = 0.45$. Plot series maupun sigma dapat dilihat pada Gambar 4.9. Sementara itu hasil penghitungan akurasi berdasarkan estimasi parameter pada data bangkitan disajikan dalam Tabel 4.7.



Gambar 4.9 Plot ACF observasi 9 (a), ACF dari kuadrat observasi (b), time series (c), dan plot standard error (d) dari model skenario 5

Tabel 4.7 Perbandingan AIC model skenario 5 untuk data *in-sample* pada model GARCH, GJR-GARCH, dan APARCH

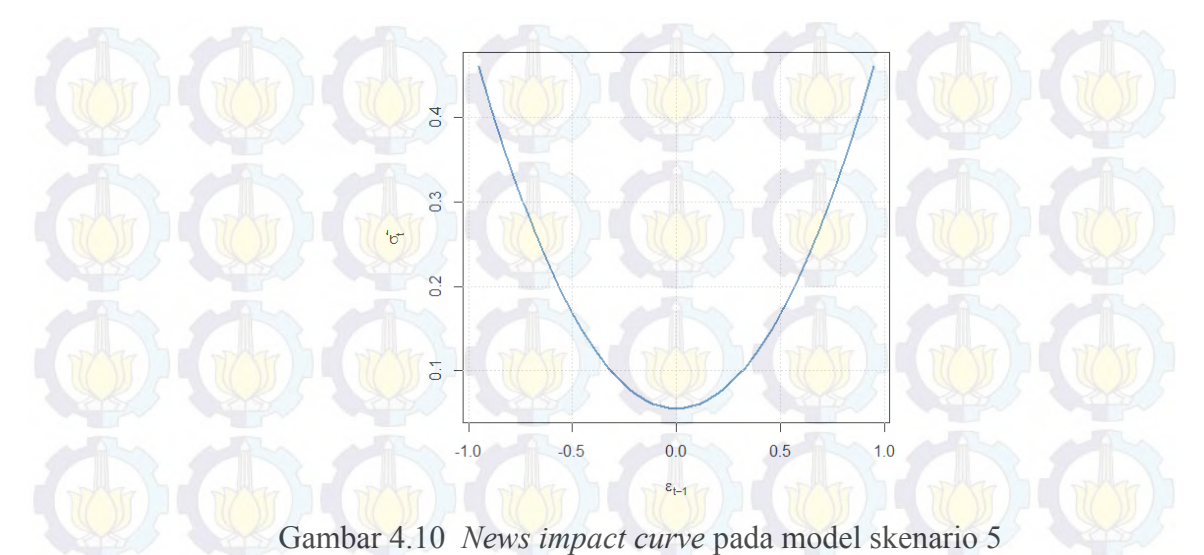
| Model | Jumlah Sampel | AIC |
|----------------|---------------|-------------|
| A A | 200 | 0,009184111 |
| GARCH(1,1) | 1.000 | -0,01416541 |
| | 200 | 0,01701766 |
| GJR-GARCH(1,1) | 1.000 | -0,01327129 |
| | 200 | 0,01685195 |
| APARCH(1,1) | 1.000 | -0,01228112 |

Model persamaan dari simulasi pada Tabel 4.7 adalah sebagai berikut:

$$\sigma_t^2 = 0.01 + 0.45\varepsilon_{t-1}^2 + 0.45\sigma_{t-1}^2 \tag{4.5}$$

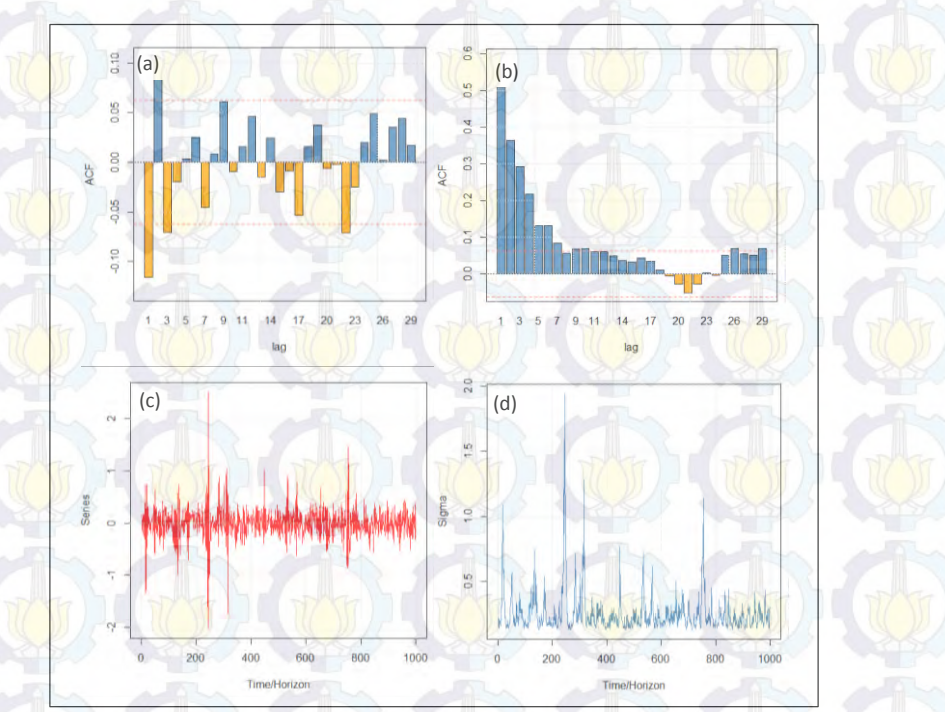
Pada ketiga model GARCH hasil estimasi dari data simulasi, terlihat bahwa nilai AIC yang dihasilkan pada masing-masing model GARCH, memberikan akurasi yang tinggi. Nilai AIC pada masing-masing jumlah sampel dan model GARCH sekilas memberikan nilai yang tidak berbeda signifikan. Seperti halnya pada skenario sebelumnya, baik pada jumlah sampel 200 maupun 1.000, model GARCH(1,1) memiliki nilai AIC terkecil diantara ketiga model GARCH. Dengan demikian, GARCH(1,1) merupakan model terbaik pada data tersebut. Bila kedua model GARCH asimetrik dibandingkan, pada sampel 1.000, GJR-GARCH(1,1) memiliki nilai AIC yang paling kecil. Akan tetapi pada sampel 200 APARCH(1,1) memiliki AIC yang paling kecil. Pada model skenario 5 terlihat bahwa semakin besar jumlah sampel yang digunakan pada masing-masing model GARCH, maka nilai AIC pada data *in-sample* atau data *training* semakin kecil. Hal tersebut mengindikasikan semakin besar sampel, model yang dihasilkan akan semakin baik. Hubungan simetrik antara *shock* (ε_{t-1}) dengan varians (σ_t^2) disajikan pada Gambar 4.10.





A A A A A A A

Model skenario selanjutnya adalah model skenario 6 dengan parameter $\alpha_0=0.01,\ \alpha_1=0.5,\ \mathrm{dan}\ \beta=0.4,\ \mathrm{dengan}\ \mathrm{plot}\ \mathrm{sebagai}\ \mathrm{berikut}$:



Gambar 4.11 Plot ACF observasi (a), ACF dari kuadrat observasi (b), time series (c), dan plot standard error (d) dari model skenario 6

Pada Tabel 4.8 berikut menyajkan hasil perhitungan akurasi dari ketiga model GARCH pada masing-masing dua besaran sampel.

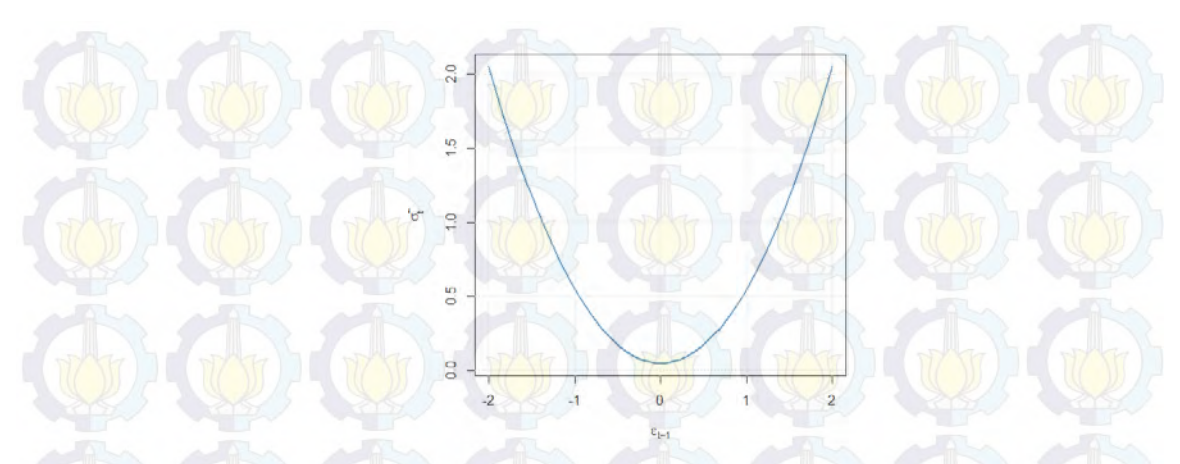
Tabel 4.8 Perbandingan AIC model skenario 6 untuk data *in-sample* pada model GARCH, GJR-GARCH, dan APARCH

| Model | Jumlah Sampel | (AIC) |
|----------------|---------------|------------|
| AA | 200 | -0,1280882 |
| GARCH(1,1) | 1.000 | -0,1023247 |
| | 200 | -0,1188232 |
| GJR-GARCH(1,1) | 1.000 | -0,101349 |
| | 200 | -0,1180307 |
| APARCH(1,1) | 1.000 | -0,1002242 |

Model persamaan dari simulasi pada Tabel 4.8 adalah sebagai berikut:

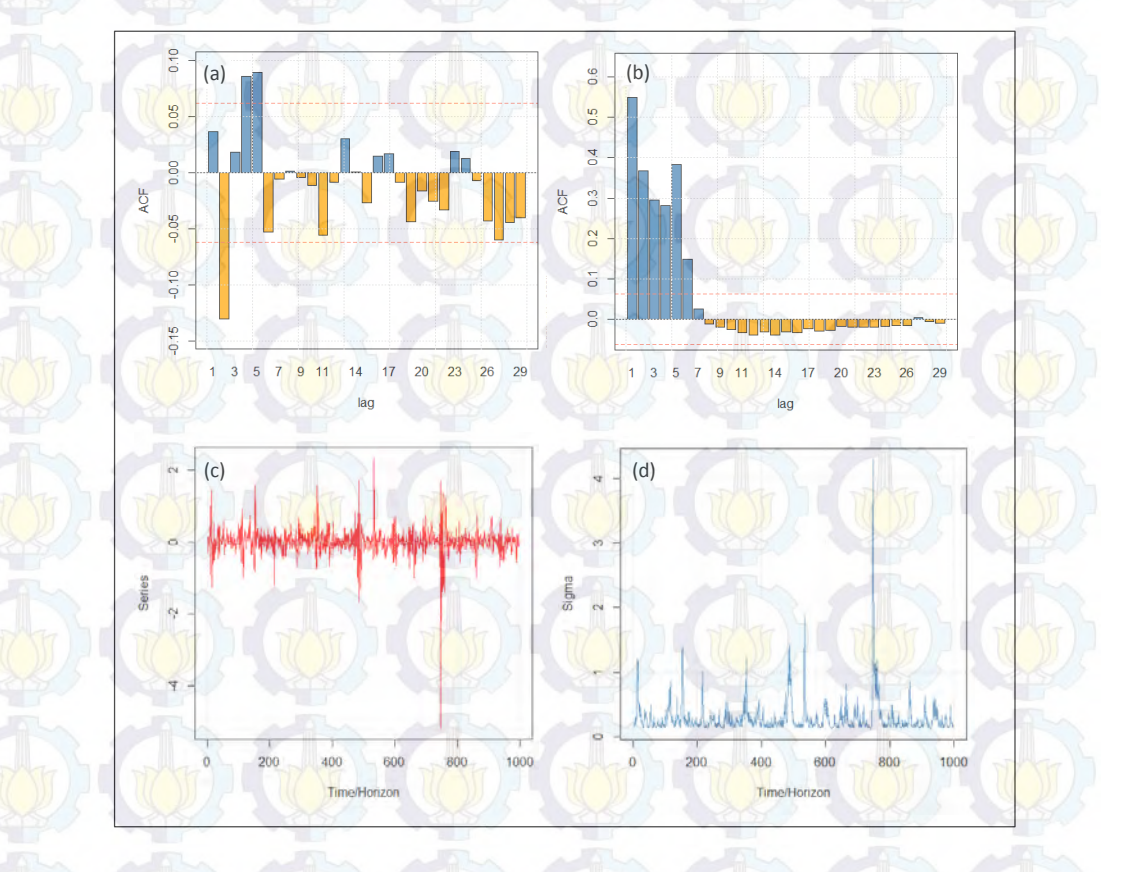
$$\sigma_t^2 = 0.01 + 0.5\varepsilon_{t-1}^2 + 0.4\sigma_{t-1}^2 \tag{4.6}$$

Dari ketiga model GARCH hasil estimasi dari data simulasi, seperti halnya pada skenario sebelumnya, terlihat bahwa nilai AIC yang dihasilkan pada masingmasing model GARCH memberikan akurasi yang tinggi. Nilai AIC pada masingmasing jumlah sampel dan model GARCH sekilas memberikan nilai yang tidak berbeda signifikan. Seperti halnya pada skenario sebelumnya, baik pada jumlah sampel 200 maupun 1.000, model GARCH(1,1) memiliki nilai AIC terkecil diantara ketiga model GARCH. Dengan demikian, GARCH(1,1) merupakan model terbaik pada data tersebut. Bila kedua model GARCH asimetrik dibandingkan, baik dalam sampel kecil maupun sampel besar, GJR-GARCH(1,1) memiliki nilai AIC yang paling kecil. Hal tersebut mengindikasikan model GJR-GARCH(1,1) lebih baik dibandingkan APARCH(1,1). Pada model skenario 6 terlihat bahwa semakin besar jumlah sampel yang digunakan pada masing-masing model GARCH, maka nilai AIC pada data in-sample atau data training semakin kecil. Hal tersebut mengindikasikan semakin besar sampel, model yang dihasilkan akan semakin baik. Hubungan simetrik antara shock (ε_{t-1}) dengan varians (σ_t^2) disajikan pada Gambar 4.12.



Gambar 4.12 News impact curve pada model skenario 6

Selanjutnya model skenario 7 menggunakan parameter yang seperti model skenario sebelumnya yakni yang memiliki persistensi tinggi. Adapun nilai parameter yang ditentukan adalah $\alpha_0 = 0.01$, $\alpha_1 = 0.6$, dan $\beta = 0.3$. Berikut disajikan gambar plot *series* maupun plot *standard error* dari model dengan parameter tersebut.



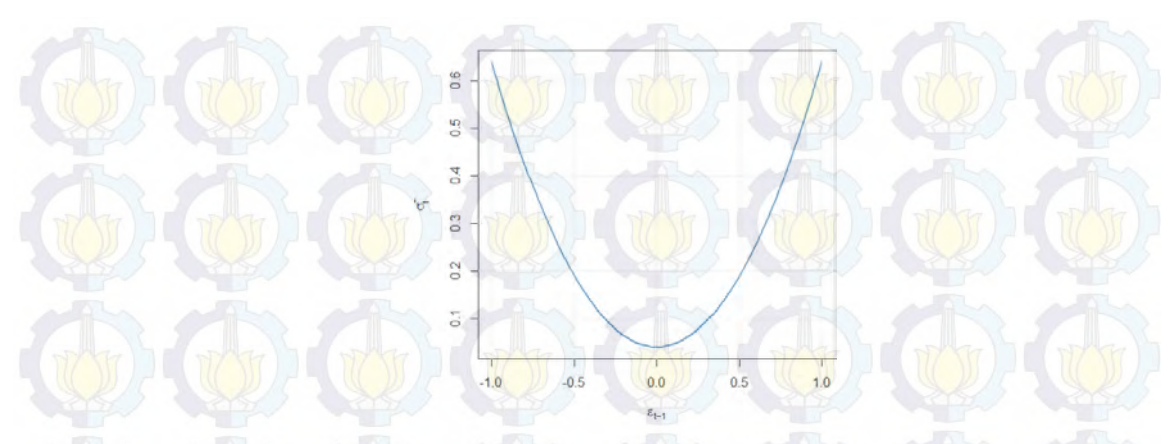
Gambar 4.13 Plot ACF observasi (a), ACF dari kuadrat observasi (b), time series (c), dan plot standard error (d) dari model skenario 7

Model persamaan dari simulasi pada Tabel 4.9 adalah sebagai berikut: $\sigma_t^2 = 0.01 + 0.6\varepsilon_{t-1}^2 + 0.3\sigma_{t-1}^2$ (4.7)

Tabel 4.9 Perbandingan AIC model skenario 7 untuk data *in-sample* pada model GARCH, GJR-GARCH, dan APARCH

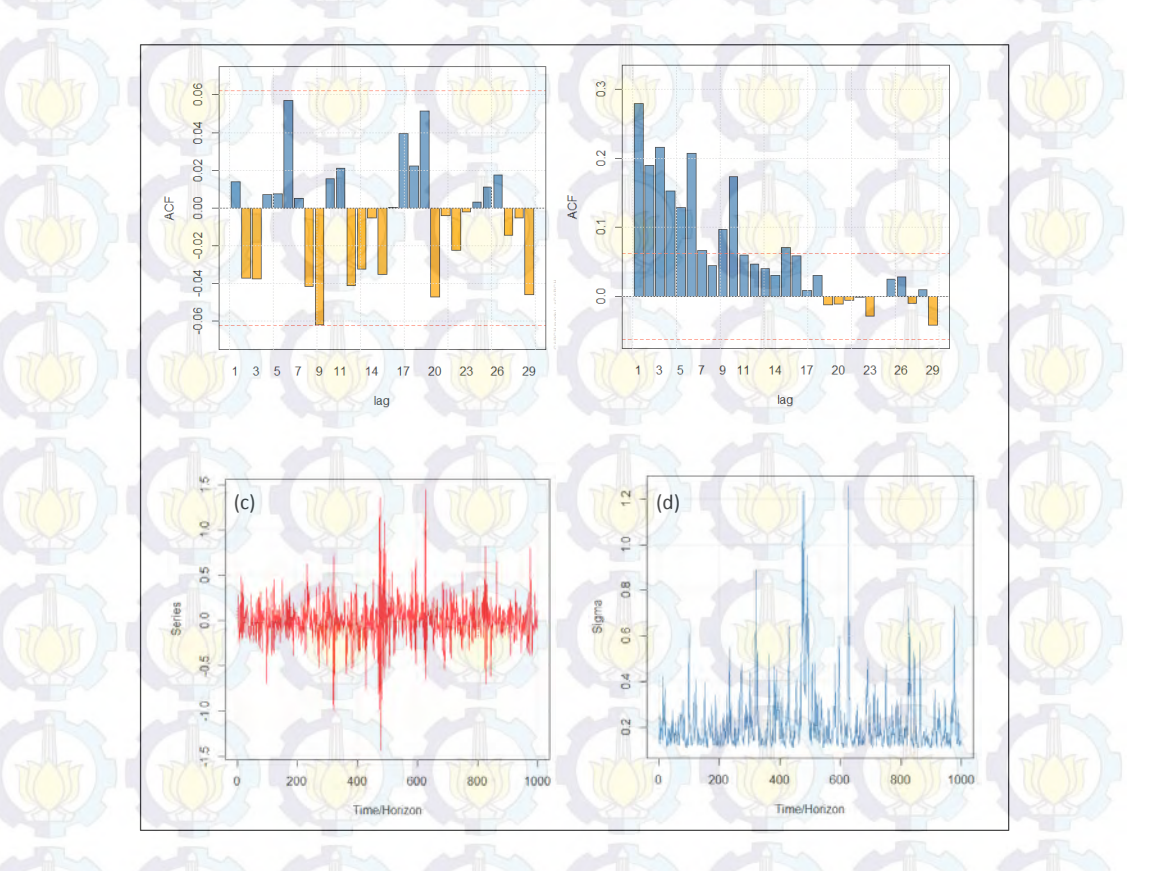
| Model | Jumlah Sampel | AIC | |
|----------------|---------------|------------|--|
| | 200 | -0,2265736 | |
| GARCH(1,1) | 1.000 | -0,2551862 | |
| | 200 | -0,2182287 | |
| GJR-GARCH(1,1) | 1.000 | -0,2541444 | |
| | 200 | -0,2180928 | |
| APARCH(1,1) | 1.000 | -0,2531143 | |

Dari ketiga model GARCH hasil estimasi dari data simulasi, seperti halnya pada skenario sebelumnya, terlihat bahwa nilai AIC yang dihasilkan pada masingmasing model GARCH memberikan akurasi yang tinggi. Nilai AIC pada masingmasing jumlah sampel dan model GARCH sekilas memberikan nilai yang tidak berbeda signifikan. Seperti halnya pada skenario sebelumnya, baik pada jumlah sampel 200 maupun 1.000, model GARCH(1,1) memiliki nilai AIC terkecil diantara ketiga model GARCH. Dengan demikian, GARCH(1,1) merupakan model terbaik pada data tersebut. Bila kedua model GARCH asimetrik dibandingkan, baik dalam sampel kecil maupun sampel besar, GJR-GARCH(1,1) memiliki nilai AIC yang paling kecil. Hal tersebut mengindikasikan model GJR-GARCH(1,1) lebih baik dibandingkan APARCH(1,1). Pada model skenario 7, seperti pada skenario-skenario sebelumnya terlihat bahwa semakin besar jumlah sampel yang digunakan pada masing-masing model GARCH, maka nilai AIC pada data in-sample atau data training semakin kecil. Hal tersebut me<mark>ngin</mark>dikasik<mark>an semakin besar sampe</mark>l, model yang dihasilkan akan semakin baik. Hubungan simetrik antara shock (ε_{t-1}) dengan varians (σ_t^2) disajikan pada Gambar 4.14.



Gambar 4.14 News impact curve pada model skenario 7

Model skenario selanjutnya adalah model skenario 8 dengan parameter $\alpha_0 = 0.01$, $\alpha_1 = 0.7$, dan $\beta = 0.2$. Berikut disajikan plot series dari data yang dibangkitkan berdasarkan parameter tersebut.



Gambar 4.15 Plot ACF observasi (a), ACF dari kuadrat observasi (b), time series (c), dan plot standard error (d) dari model skenario 8

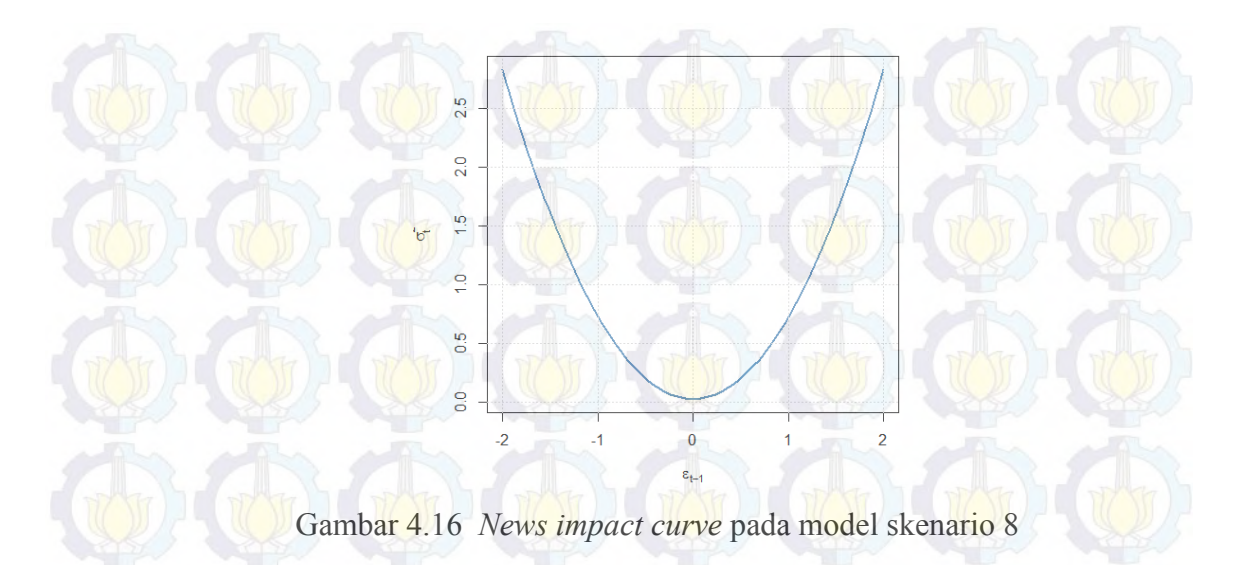
Model persamaan dari simulasi pada Tabel 4.10 adalah sebagai berikut: $\sigma_t^2 = 0.01 + 0.7\varepsilon_{t-1}^2 + 0.2\sigma_{t-1}^2$ (4.8)

Tabel 4.10 Perbandingan AIC model skenario 8 untuk data *in-sample* pada model GARCH, GJR-GARCH, dan APARCH

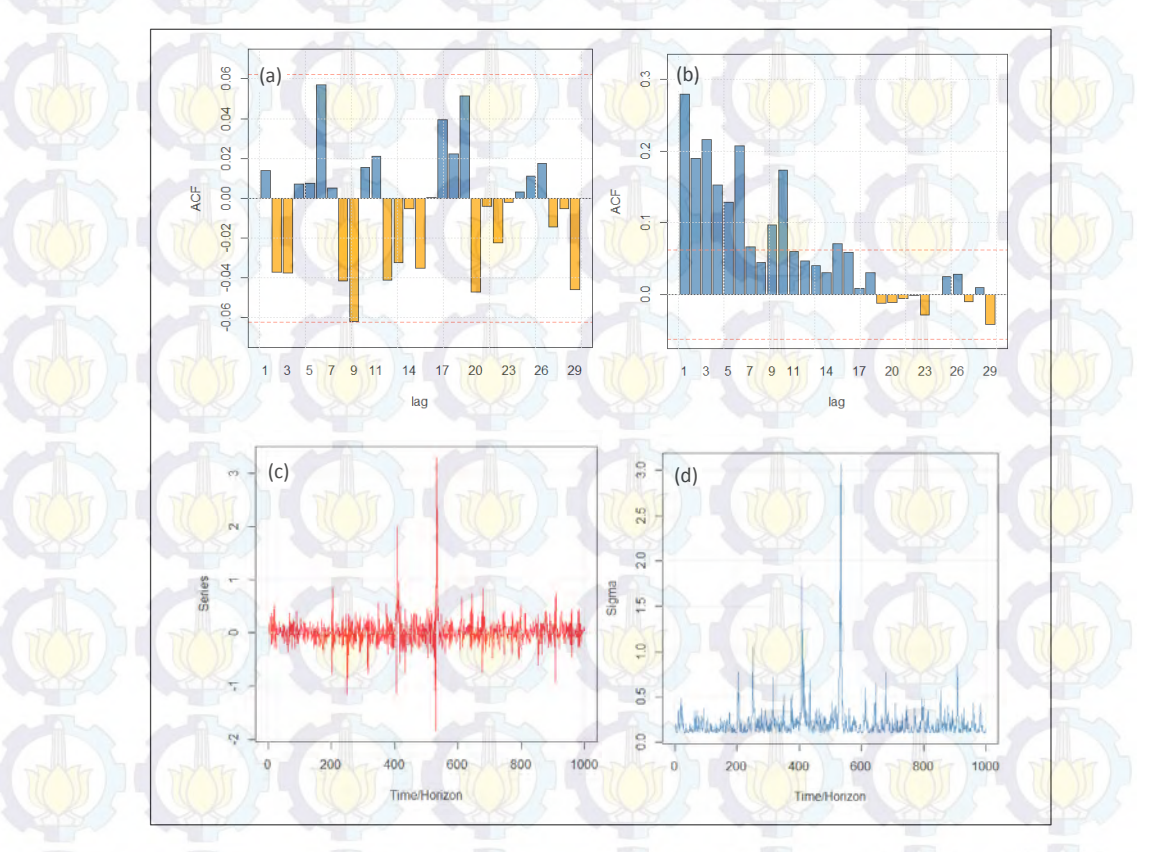
| Model | Jumlah Sampel | AIC |
|----------------|---------------|------------|
| | 200 | -0,4379149 |
| GARCH(1,1) | 1.000 | -0,4726064 |
| | 200 | -0,4318631 |
| GJR-GARCH(1,1) | 1.000 | -0,4716019 |
| | 200 | -0,4320058 |
| APARCH(1,1) | 1.000 | -0,4707529 |

Berdasarkan ketiga model GARCH hasil estimasi dari data simulasi, seperti halnya pada skenario sebelumnya, terlihat bahwa nilai AIC yang dihasilkan pada masing-masing model GARCH memberikan akurasi yang tinggi. Nilai AIC pada masing-masing jumlah sampel dan model GARCH sekilas memberikan nilai yang tidak berbeda signifikan. Pada jumlah sampel 1.000, model GARCH(1,1) memiliki nilai AIC terkecil diantara ketiga model GARCH. Namun pada sampel 200, GJR-GARCH(1,1) memiliki AIC terkecil. Pada model skenario 8, seperti pada skenario sebelumnya terlihat bahwa semakin besar jumlah sampel yang digunakan pada masing-masing model GARCH, maka nilai AIC pada data *in-sample* atau data *training* semakin kecil. Hal tersebut mengindikasikan semakin besar sampel, model yang dihasilkan akan semakin baik. Hubungan simetrik antara *shock* (ε_{t-1}) dengan varians (σ_t^2) disajikan pada Gambar 4.16.





Model skenario selanjutnya adalah model skenario 9 dengan parameter $\alpha_0 = 0.01$, $\alpha_1 = 0.8$, dan $\beta = 0.1$. Plot series data ditunjukkan oleh gambar 4.15. Adapun hasil penghitungan akurasi berdasarkan estimasi parameter pada data bangkitan dijabarkan dalam Tabel 4.11.



Gambar 4.17 Plot ACF observasi (a), ACF dari kuadrat observasi (b), time series

(c), dan plot standard error (d) dari model skenario 9

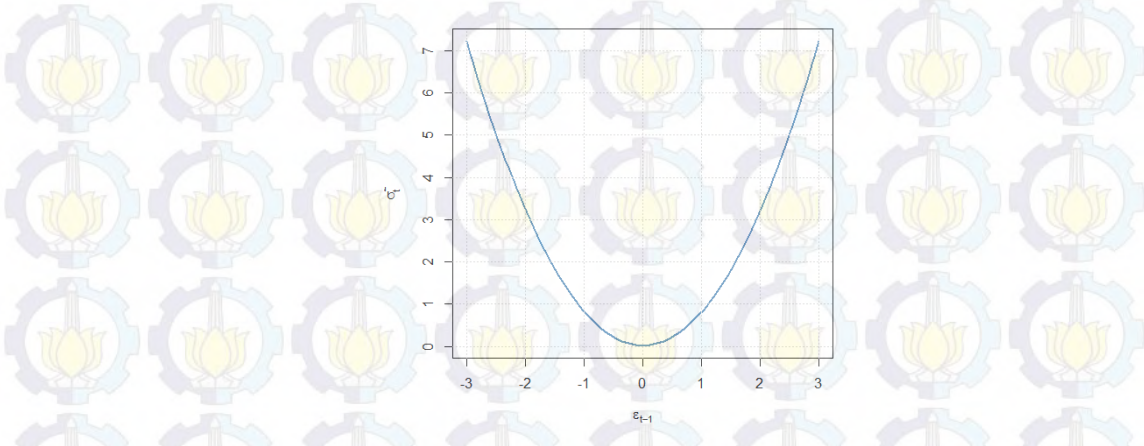
Tabel 4.11 Perbandingan AIC model skenario 9 untuk data *in-sample* pada model GARCH, GJR-GARCH, dan APARCH

| Model | Jumlah Sampel | AIC | |
|----------------|---------------|------------|--|
| | 200 | -0,6110365 | |
| GARCH(1,1) | 1.000 | -0,635689 | |
| | 200 | -0,6046982 | |
| GJR-GARCH(1,1) | 1.000 | -0,6347591 | |
| | 200 | -0,6056782 | |
| APARCH(1,1) | 1.000 | -0,6335522 | |

Model persamaan dari simulasi pada Tabel 4.11 adalah sebagai berikut:

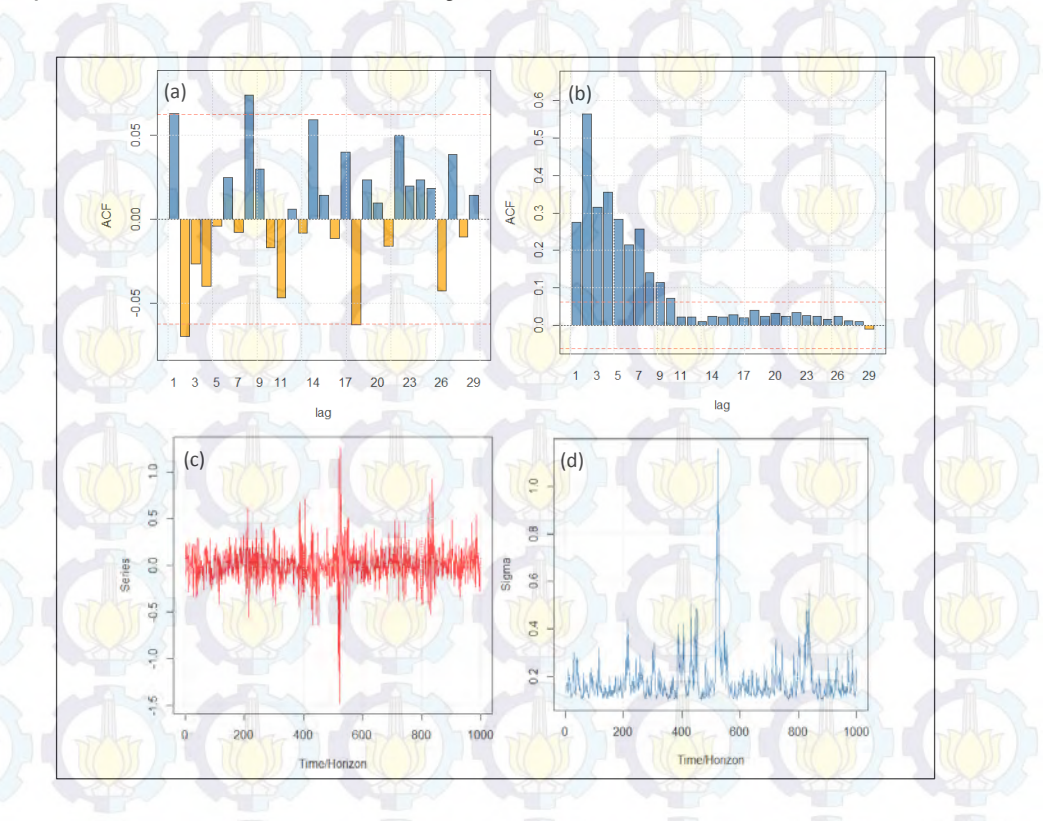
$$\sigma_t^2 = 0.01 + 0.8\varepsilon_{t-1}^2 + 0.1\sigma_{t-1}^2 \tag{4.9}$$

Dari ketiga model GARCH hasil estimasi dari data simulasi, seperti halnya pada skenario sebelumnya, terlihat bahwa nilai AIC yang dihasilkan pada masingmasing model GARCH memberikan akurasi yang tinggi. Nilai AIC pada masingmasing jumlah sampel dan model GARCH sekilas memberikan nilai yang tidak berbeda signifikan. Seperti halnya pada skenario sebelumnya, baik pada jumlah sampel 200 maupun 1.000, model GARCH(1,1) memiliki nilai AIC terkecil diantara ketiga model GARCH. Dengan demikian, GARCH(1,1) merupakan model terbaik pada data tersebut. Bila kedua model GARCH asimetrik dibandingkan, dalam sampel kecil, APARCH(1,1) memiliki nilai AIC yang paling kecil. Namun pada jumlah sampel 1.000, model GJR-GARCH(1,1) memiliki AIC yang lebih kecil dibandingkan dengan model APARCH(1,1). Pada model skenario 9, seperti pada skenario-skenario sebelumnya terlihat bahwa semakin besar jumlah sampel yang digunakan pada masing-masing model GARCH, maka nilai AIC pada data in-sample atau data training semakin kecil. Hal tersebut mengindikasikan semakin besar sampel, model yang dihasilkan akan semakin baik. Hubungan simetrik antara shock (ε_{t-1}) dengan varians (σ_t^2) disajikan pada Gambar 4.18.



Gambar 4.18 News impact curve pada model skenario 9

Model skenario selanjutnya adalah model skenario 10 yang merupakan model GJR-GARCH(1,1) dengan parameter $\alpha_0 = 0,005$, $\alpha_1 = 0,28$, $\beta_1 = 0,5$, dan $\gamma_1 = 0,23$. Plot *series* data ditunjukkan oleh Gambar 4.19.



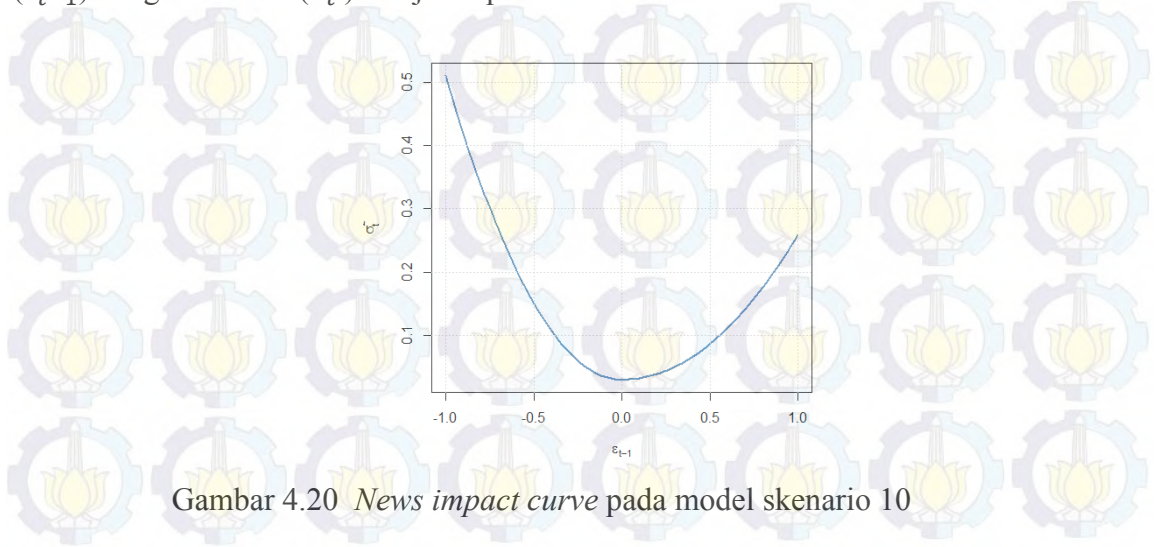
Gambar 4.19 Plot ACF observasi (a), ACF dari kuadrat observasi (b), *time series* (c), dan plot *standard error* (d) dari model skenario 10

Model persamaan dari simulasi pada Tabel 4.12 adalah sebagai berikut: $\sigma_t^2 = 0.005 + 0.28\varepsilon_{t-1}^2 + 0.23\varepsilon_{t-1}^2 \mathbf{I}(\varepsilon_{t-1} < 0) + 0.5\sigma_{t-1}^2$ (4.10)

Tabel 4.12 Perbandingan AIC model skenario 10 untuk data *in-sample* pada model GARCH, GJR-GARCH, dan APARCH

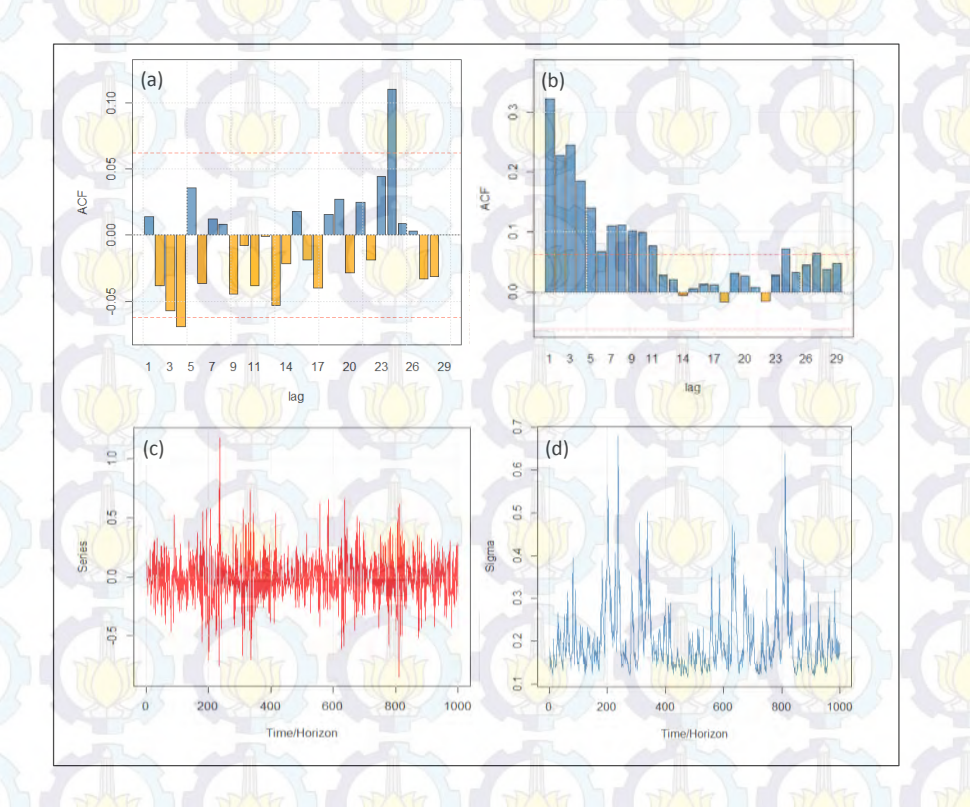
| Model | Jumlah Sampel | AIC |
|----------------|---------------|------------|
| A A | 200 | -0,4978889 |
| GARCH(1,1) | 1.000 | -0,5116037 |
| | 200 | -0,5046406 |
| GJR-GARCH(1,1) | 1.000 | -0,5233587 |
| | 200 | -0,4993939 |
| APARCH(1,1) | 1.000 | -0,5224259 |

Berdasarkan ketiga model GARCH hasil estimasi dari data simulasi, seperti halnya pada skenario sebelumnya, terlihat bahwa nilai AIC yang dihasilkan pada masing-masing model GARCH memberikan akurasi yang tinggi. Nilai AIC pada masing-masing jumlah sampel dan model GARCH sekilas memberikan nilai yang tidak berbeda signifikan. Pada skenario 10, baik pada jumlah sampel 200 maupun 1.000, model GJR-GARCH(1,1) memiliki nilai AIC terkecil diantara ketiga model GARCH. Dengan demikian, GJR-GARCH(1,1) merupakan model terbaik. Sementara itu, model GARCH(1,1) memiliki AIC yang paling besar diantara ketiga model tersebut. Hubungan asimetrik antara *shock* (ε_{t-1}) dengan varians (σ_t^2) disajikan pada Gambar 4.20.



Dari Gambar 4.20 tampak bahwa kurva tidak asimetrik. Hal tersebut disebabkan kontribusi ε_{t-1} (*shock*) terhadap σ_t^2 (varians) lebih besar pada saat terjadi *shock* negatif.

Model skenario selanjutnya adalah model skenario 11 yang merupakan model GJR-GARCH(1,1) dengan parameter $\alpha_0 = 0,005$, $\alpha_1 = 0,18$, $\beta_1 = 0,6$, dan $\gamma_1 = 0,23$. Plot *series* data ditunjukkan oleh Gambar 4.21.



Gambar 4.21 Plot ACF observasi (a), ACF dari kuadrat observasi (b), *time series* (c), dan plot *standard error* (d) dari model skenario 11

Model persamaan dari simulasi pada Tabel 4.13 adalah sebagai berikut:

$$\sigma_t^2 = 0.005 + 0.18\varepsilon_{t-1}^2 + 0.23\varepsilon_{t-1}^2 I + 0.6\sigma_{t-1}^2$$
(4.11)

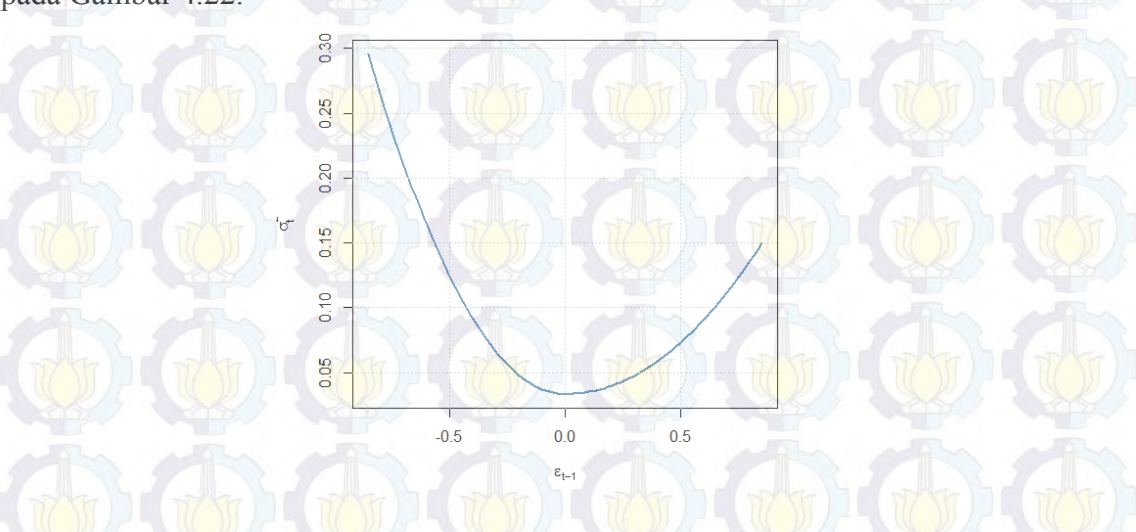
Berdasarkan ketiga model GARCH hasil estimasi dari data simulasi, seperti halnya pada skenario sebelumnya, terlihat bahwa nilai AIC yang dihasilkan pada masing-masing model GARCH memberikan akurasi yang tinggi. Nilai AIC pada masing-masing jumlah sampel dan model GARCH sekilas memberikan nilai yang tidak berbeda signifikan. Pada skenario 11, baik pada jumlah sampel 200 maupun 1.000, model GJR-GARCH(1,1) memiliki nilai AIC

terkecil diantara ketiga model GARCH. Dengan demikian, GJR-GARCH(1,1) merupakan model terbaik. Sementara itu, model APARCH(1,1) memiliki AIC yang paling besar diantara ketiga model tersebut.

Tabel 4.13 Perbandingan AIC model skenario 11 untuk data *in-sample* pada model GARCH, GJR-GARCH, dan APARCH

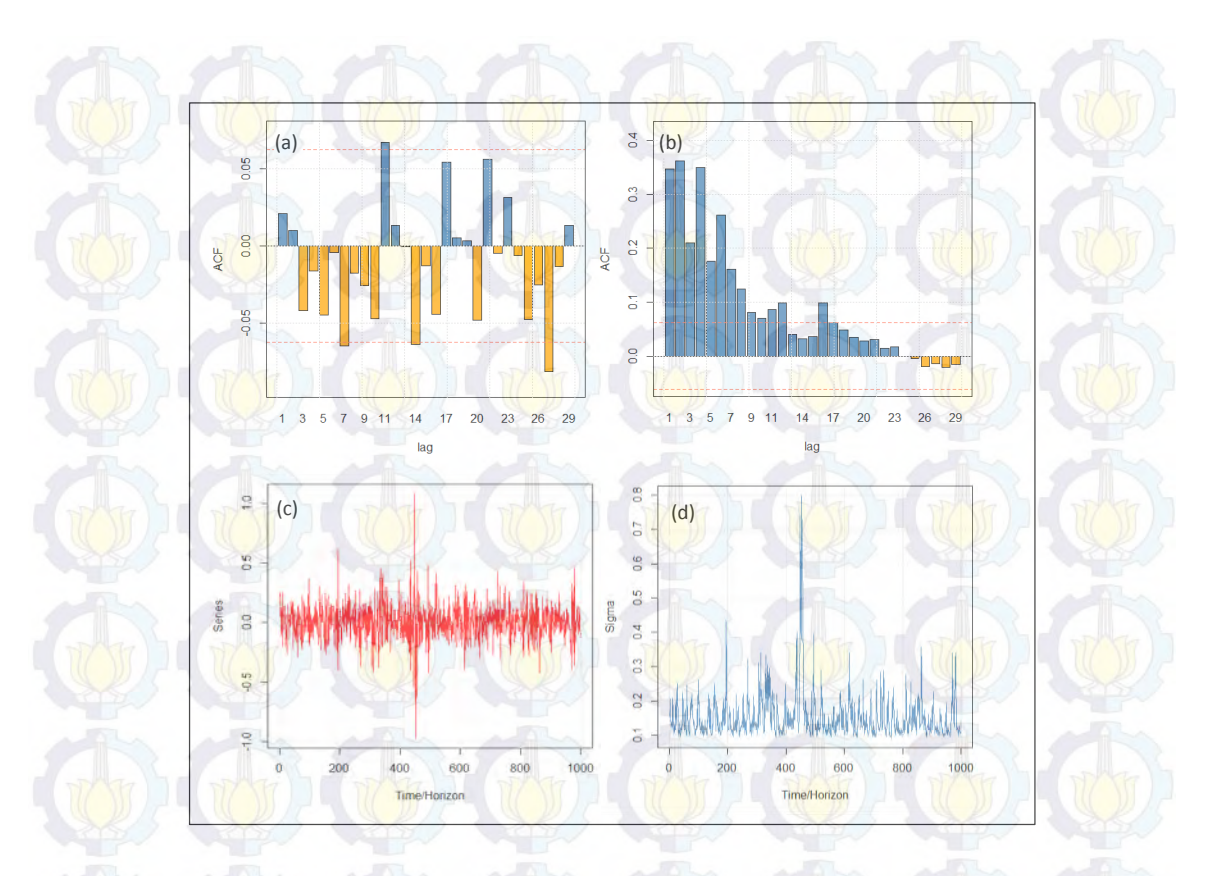
| Model | Jumlah Sampel | AIC | |
|----------------|---------------|------------|--|
| | 200 | -0,3887445 | |
| GARCH(1,1) | 1.000 | -0,3832586 | |
| | 200 | -0,4029811 | |
| GJR-GARCH(1,1) | 1.000 | -0,4004037 | |
| | 200 | 1,725783 | |
| APARCH(1,1) | 1.000 | -0,3996801 | |

Hubungan asimetrik antara *shock* (ε_{t-1}) dengan varians (σ_t^2) disajikan pada Gambar 4.22.



Gambar 4.22 News impact curve pada model skenario 11

Selanjutnya model skenario yang digunakan adalah model skenario 12 yang merupakan model GJR-GARCH(1,1) dengan parameter $\alpha_0 = 0,005$, $\alpha_1 = 0,38$, $\beta_1 = 0,4$, dan $\gamma_1 = 0,23$. Plot *series* data ditunjukkan oleh Gambar 4.23.



Gambar 4.23 Plot ACF observasi (a), ACF dari kuadrat observasi (b), time series (c), dan plot standard error (d) dari model skenario 12

Model persamaan dari simulasi pada tabel 4.14 adalah sebagai berikut:

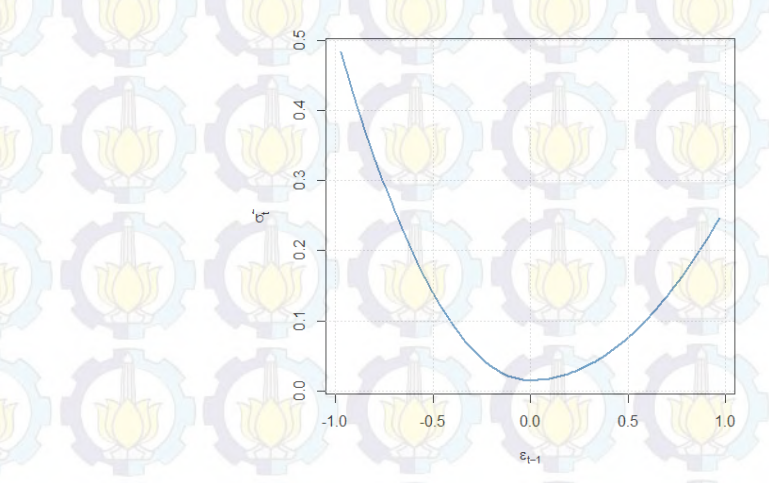
$$\sigma_t^2 = 0.005 + 0.8\varepsilon_{t-1}^2 + 0.23\varepsilon_{t-1}^2 I + 0.4\sigma_{t-1}^2$$
(4.12)

Berdasarkan ketiga model GARCH hasil estimasi dari data simulasi, seperti halnya pada skenario sebelumnya, terlihat bahwa nilai AIC yang dihasilkan pada masing-masing model GARCH memberikan akurasi yang tinggi. Nilai AIC pada masing-masing jumlah sampel dan model GARCH sekilas memberikan nilai yang tidak berbeda signifikan. Pada skenario 12, baik pada jumlah sampel 200 maupun 1.000, model GJR-GARCH(1,1) memiliki nilai AIC terkecil diantara ketiga model GARCH. Dengan demikian, GJR-GARCH(1,1) merupakan model terbaik. Sementara itu, model GARCH(1,1) memiliki AIC yang paling besar diantara ketiga model tersebut.

Tabel 4.14 Perbandingan AIC model skenario 12 untuk data *in-sample* pada model GARCH, GJR-GARCH, dan APARCH

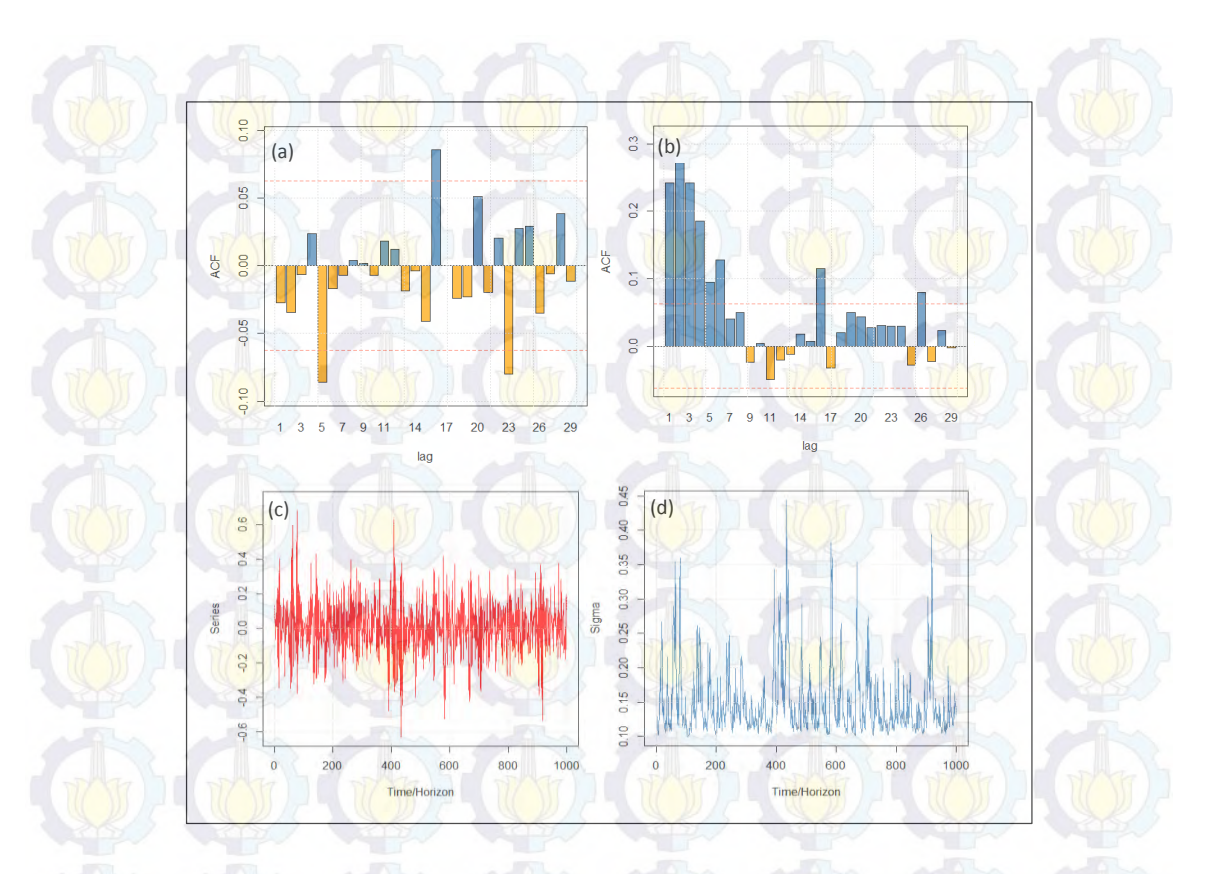
| Model | Jumlah Sampel | AIC I | |
|-----------------|---------------|------------|--|
| | 200 | -0.8489826 | |
| GARCH (1,1) | 1.000 | -0.8140379 | |
| | 200 | -0.8544596 | |
| GJR-GARCH (1,1) | 1.000 | -0.8182837 | |
| | 200 | -0.8491909 | |
| APARCH (1,1) | 1.000 | -0.8169714 | |

Hubungan asimetrik antara *shock* (ε_{t-1}) dengan varians (σ_t^2) disajikan pada Gambar 4.24.



Gambar 4.24 News impact curve pada model skenario 12

Model skenario selanjutnya adalah model skenario 13 yang merupakan model APARCH(1,1) dengan parameter $\alpha_0=0{,}005$, $\alpha_1=0{,}28$, $\beta_1=0{,}5$, $\gamma_1=0{,}23$ dan $\delta=2$. Plot series data ditunjukkan oleh Gambar 4.25.



Gambar 4.25 Plot ACF observasi (a), ACF dari kuadrat observasi (b), time series (c), dan plot standard error (d) dari model skenario 13

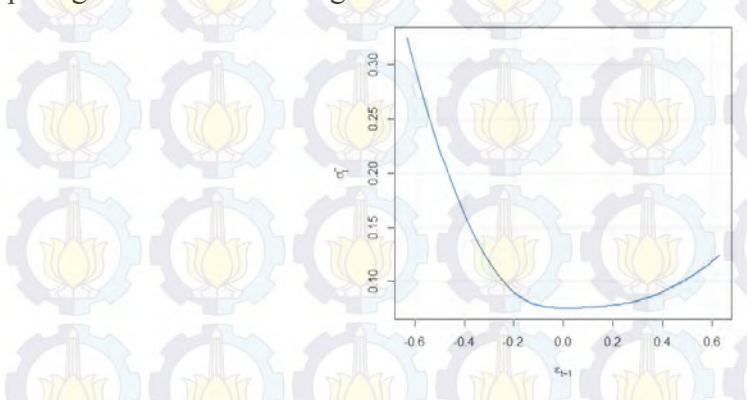
Model persamaan dari simulasi pada Tabel 4.15 adalah sebagai berikut:

$$\sigma_t^2 = 0.005 + 0.28(|\varepsilon_{t-1}| + 0.23\varepsilon_{t-1})^2 + 0.5\sigma_{t-1}^2$$
(4.13)

Tabel 4.15 Perbandingan AIC model skenario 13 untuk data *in-sample* pada model GARCH, GJR-GARCH, dan APARCH

| Model | Jumlah Sampel | AIC |
|----------------|---------------|-----------|
| | 200 | -1,022623 |
| GARCH(1,1) | 1.000 | -1,053847 |
| | 200 | -1,033129 |
| GJR-GARCH(1,1) | 1.000 | -1,065450 |
| | 200 | -1,034789 |
| APARCH(1,1) | 1.000 | -1,064376 |

Berdasarkan ketiga model GARCH hasil estimasi dari data simulasi, seperti halnya pada skenario sebelumnya, terlihat bahwa nilai AIC yang dihasilkan pada masing-masing model GARCH memberikan akurasi yang tinggi. Nilai AIC pada masing-masing jumlah sampel dan model GARCH sekilas memberikan nilai yang tidak berbeda signifikan. Pada skenario 13, baik pada jumlah sampel 200 maupun 1.000, model APARCH(1,1) memiliki nilai AIC terkecil diantara ketiga model GARCH. Dengan demikian, APARCH(1,1) merupakan model terbaik. Sementara itu, model GARCH(1,1) memiliki AIC yang paling besar diantara ketiga model tersebut.

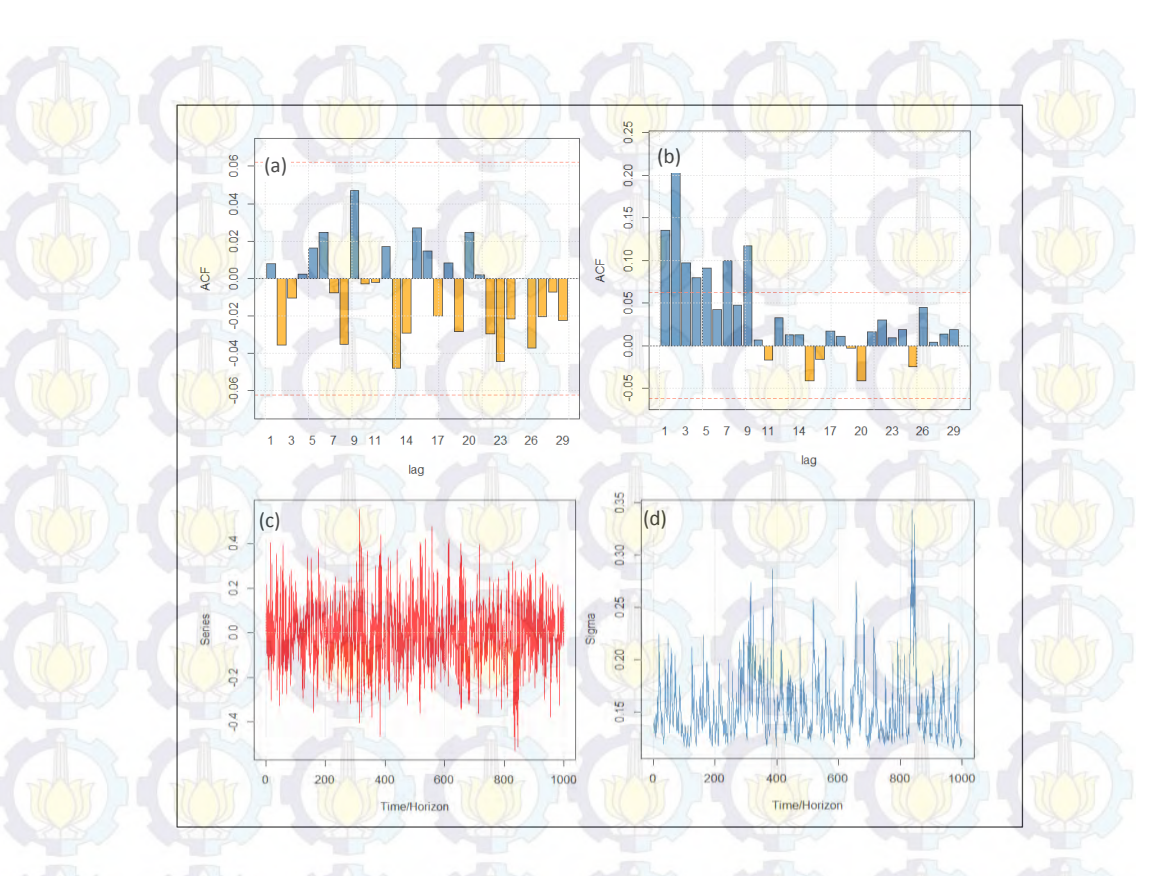


Gambar 4.26 News impact curve pada model skenario 13

Model skenario ke 14 merupakan model APARCH(1,1) dengan parameter $\alpha_0 = 0,005$, $\alpha_1 = 0,18$, $\beta_1 = 0,6$, $\gamma_1 = 0,23$ dan $\delta = 2$. Plot series data ditunjukkan oleh Gambar 4.27.

Tabel 4.16 Perbandingan AIC model skenario 14 untuk data *in-sample* pada model GARCH, GJR-GARCH, dan APARCH

| Model | Jumlah Sampel | AIC | |
|----------------|---------------|------------|--|
| | 200 | -0,9459639 | |
| GARCH(1,1) | 1.000 | -0,9650935 | |
| | 200 | -0,9506350 | |
| GJR-GARCH(1,1) | 1.000 | -0,9730412 | |
| Total Total | 200 | -0,9485872 | |
| APARCH(1,1) | 1.000 | -0,9733059 | |



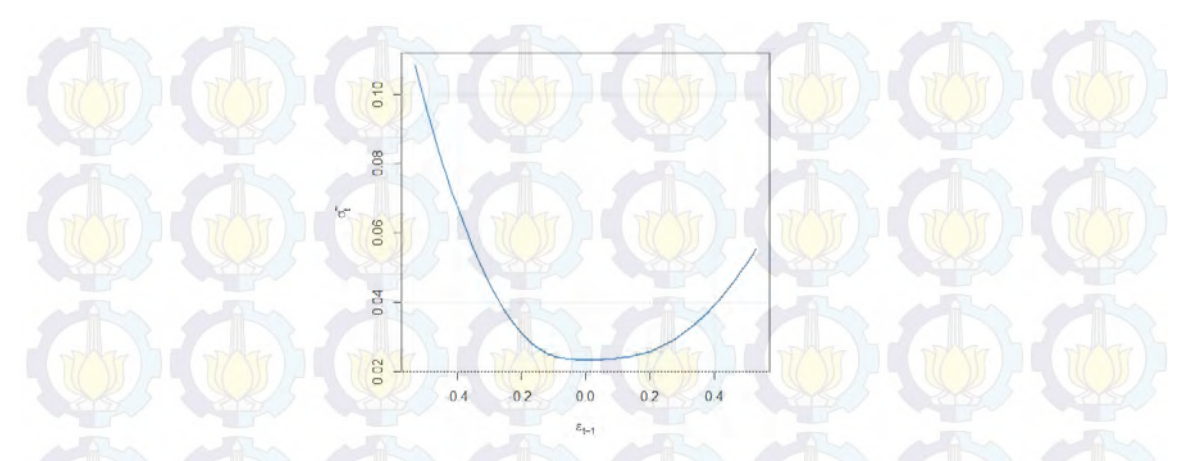
Gambar 4.27 Plot ACF observasi (a), ACF dari kuadrat observasi (b), time series (c), dan plot standard error (d) dari model skenario 14

Model persamaan dari simulasi pada Tabel 4.16 adalah sebagai berikut:

$$\sigma_t^2 = 0.005 + 0.18(|\varepsilon_{t-1}| + 0.23\varepsilon_{t-1})^2 + 0.6\sigma_{t-1}^2$$
(4.14)

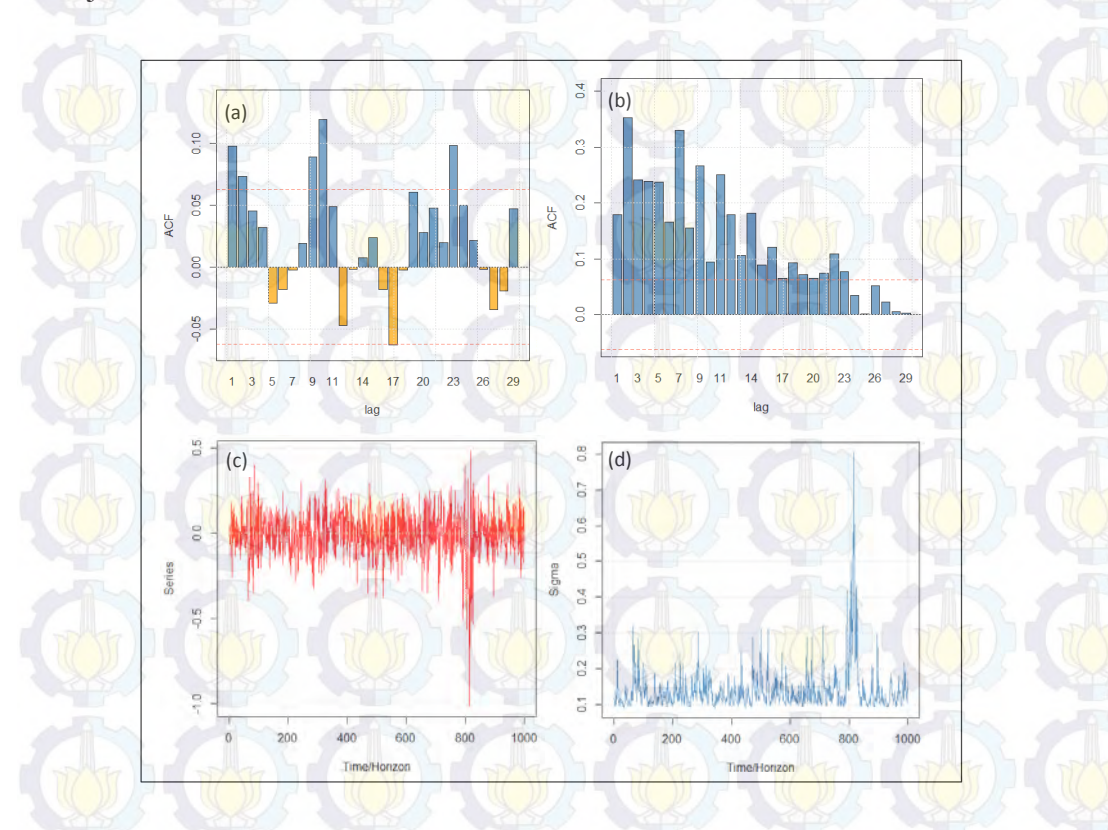
Pada ketiga model GARCH hasil estimasi dari data simulasi, seperti halnya pada skenario sebelumnya, terlihat bahwa nilai AIC yang dihasilkan pada masing-masing model GARCH menunjukkan akurasi yang tinggi. Nilai AIC pada masing-masing jumlah sampel dan model GARCH sekilas memberikan nilai yang tidak berbeda signifikan. Pada skenario 14, pada jumlah sampel 200 AIC terkecil dimiliki oleh GJR-GARCH(1,1). Namun pada sampel 1.000, model APARCH(1,1) memiliki nilai AIC terkecil diantara ketiga model GARCH. Sementara itu, model GARCH(1,1) memiliki AIC yang paling besar diantara ketiga model tersebut.

Hubungan asimetrik antara shock (ε_{t-1}) dengan varians (σ_t^2) disajikan pada Gambar 4.28.



Gambar 4.28 News impact curve pada model skenario 14

Model skenario ke 14 merupakan model APARCH(1,1) dengan parameter $\alpha_0 = 0,005$, $\alpha_1 = 0,38$, $\beta_1 = 0,4$, $\gamma_1 = 0,23$ dan $\delta = 2$. Plot series data ditunjukkan oleh Gambar 4.29.



Gambar 4.29 Plot ACF observasi (a), ACF dari kuadrat observasi (b), *time series* (c), dan plot *standard error* (d) dari model skenario 15

Model persamaan dari simulasi pada tabel 4.17 adalah sebagai berikut:

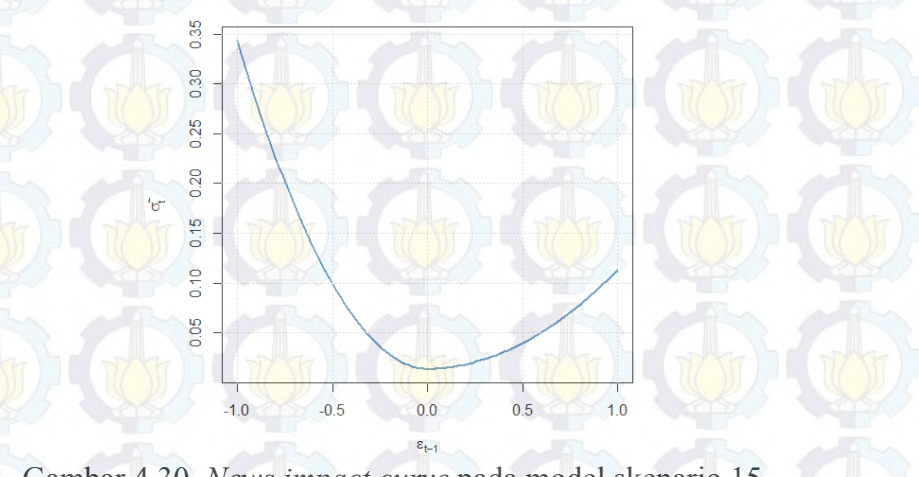
$$\sigma_t^2 = 0.005 + 0.38(|\varepsilon_{t-1}| + 0.23\varepsilon_{t-1})^2 + 0.4\sigma_{t-1}^2$$
(4.15)

Tabel 4.17 Perbandingan AIC model skenario 15 untuk data *in-sample* pada model GARCH, GJR-GARCH, dan APARCH

| Model | Jumlah Sampel | AIC |
|----------------|---------------|-----------|
| | 200 | -1,128787 |
| GARCH(1,1) | 1.000 | -1,13268 |
| | 200 | -1,143002 |
| GJR-GARCH(1,1) | 1.000 | -1,149443 |
| | 200 | 0,8207347 |
| APARCH(1,1) | 1.000 | -1,148395 |

Pada ketiga model GARCH hasil estimasi dari data simulasi, seperti halnya pada skenario sebelumnya, terlihat bahwa nilai AIC yang dihasilkan pada masing-masing model GARCH menunjukkan akurasi yang tinggi. Nilai AIC pada masing-masing jumlah sampel dan model GARCH sekilas memberikan nilai yang tidak berbeda signifikan. Pada skenario 15, pada jumlah sampel 200 maupun 1.000, AIC terkecil dimiliki oleh GJR-GARCH(1,1). Hal tersebut mengindikasikan pada model tersebut, model GJR-GARCH(1,1) paling baik digunakan.

Hubungan asimetrik antara shock (ε_{t-1}) dengan varians (σ_t^2) disajikan pada Gambar 4.30.



Gambar 4.30 News impact curve pada model skenario 15

Tabel 4.18 Ringkasan akurasi hasil simulasi pada jumlah sampel 200

| Skenario | AIC | | |
|----------|------------|----------------|-------------|
| Skenario | GARCH(1,1) | GJR-GARCH(1,1) | APARCH(1,1) |
| 1 | 0,5120054 | 0,5109466 | 0,5188978 |
| 2 | 0,4407345 | 0,4426322 | 1,5409910 |
| 23 | 0,2548288 | 0,2591613 | 0,2622997 |
| 4 | 0,0811078 | 0,0877062 | 0,0889611 |
| 5 | 0,0091841 | 0,0170177 | 0,0168519 |
| 6 | -0,1280882 | -0,1188232 | -0,1180307 |
| 7 | -0,2265736 | -0,2182287 | -0,2180928 |
| 8 | -0,4379149 | -0,4318631 | -0,4320058 |
| 9 | -0,6110365 | -0,6046982 | -0,6056782 |
| 10 | -0,4978889 | -0,5046406 | -0,4993939 |
| 11 | -0,3887445 | -0,4029811 | 1,7257830 |
| 12 | -0,8489826 | -0,8544596 | -0,8491909 |
| 13 | -1,0226230 | -1,0331290 | -1,0347890 |
| 14 | -0,9459639 | -0,9506350 | -0,9485872 |
| 15 | -1,1287870 | -1,1430020 | 0,8207347 |

Tabel 4.18 merupakan ringkasan hasil studi simulasi untuk sampel berjumlah 200. Untuk data *in-sample*, pada data yang dibangkitkan melalui model GARCH(1,1), hampir seluruh model skenarionya, menunjukkan bahwa GARCH simetrik (GARCH(1,1)) lebih baik dalam hal akurasi dibandingkan dengan GARCH asimetrik (GJR-GARCH(1,1) dan APARCH(1,1)) kecuali pada model skenario 1 yang menunjukkan bahwa GJR-GARCH(1,1) merupakan model yang paling baik dibandingkan kedua model GARCH lainnya. Untuk data yang dibangkitkan melalui model GJR-GARCH(1,1), semuanya menunjukkan bahwa GJR-GARCH(1,1) merupakan model terbaik. Selanjutnya untuk data yang dibangkitkan melalui model APARCH(1,1), hanya pada model skenario 13 yang menunjukkan APARCH(1,1) merupakan model terbaik. Skenario model 14 dan 15 menunjukkan bahwa model GJR-GARCH merupakan model terbaik.

Tabel 4.19 Ringkasan akurasi hasil simulasi pada jumlah sampel 1.000

| Skenario | AIC | | | | |
|-----------|------------|----------------|---------------------------|--|--|
| Skellario | GARCH(1,1) | GJR-GARCH(1,1) | APARCH(1,1) APARCH(1,1) | | |
| 12/5 | 0,4907642 | 0,4920505 | 0,4928501 | | |
| 2 | 0,3821103 | 0,3830722 | 0,3840547 | | |
| 3 | 0,2192589 | 0,2202762 | 0,2212801 | | |
| 4 | 0,0836475 | 0,0846597 | 0,0856499 | | |
| 5 | -0,0141654 | -0,0132713 | -0,0122811 | | |
| 6 | -0,1023247 | -0,1013490 | -0,1002242 | | |
| 7 | -0,2551862 | -0,2541444 | -0,2531143 | | |
| (8) | -0,4726064 | -0,4716019 | -0,4707529 | | |
| 9 | -0,6356890 | -0,6347591 | -0,6335522 | | |
| 10,7 | -0,5116037 | -0,5233587 | -0,5224259 | | |
| 11 | -0,3832586 | -0,4004037 | -0,3996801 | | |
| 12 | -0,8140379 | -0,8182837 | -0,8169714 | | |
| 13 | -1,0538470 | -1,0654500 | -1,0643760 | | |
| 14 | -0,9650935 | -0,9730412 | -0,9733059 | | |
| 15 | -1,1326800 | -1,1494430 | -1,14839 <mark>5</mark> 0 | | |

Selanjutnya Tabel 4.19 merupakan ringkasan hasil studi simulasi untuk sampel berjumlah 1.000. Untuk data *in-sample*, pada data yang dibangkitkan melalui model GARCH(1,1), seluruh model skenarionya menunjukkan bahwa GARCH simetrik lebih baik dalam hal akurasi dibandingkan dengan GARCH asimetrik. Untuk data yang dibangkitkan melalui model GJR-GARCH(1,1), semuanya menunjukkan bahwa GJR-GARCH(1,1) merupakan model terbaik. Selanjutnya untuk data yang dibangkitkan melalui model APARCH(1,1), hanya pada model skenario 14 yang menunjukkan APARCH(1,1) merupakan model terbaik. Skenario model 13 dan 15 menunjukkan bahwa model GJR-GARCH merupakan model terbaik. Dengan demikian, GARCH(1,1) dan GJR-GARCH(1,1) menunjukkan performa akurasi yang konsisten, sedangkan APARCH(1,1) tidak konsisten.

Untuk mengetahui *power* dan *size* dari masing-masing uji asimetrik, dilakukan suatu simulasi Monte Carlo dengan data bangkitan 100 replikasi. Berdasarkan Tabel 4.2 yang disajikan di awal bab ini, diketahui ada 9 model skenario yang digunakan. Model skenario 1-3 merupakan model skenario data yang dibangkitkan dengan model GARCH(1,1). Selanjutnya model skenario 4-6 merupakan model skenario data yang dibangkitkan dengan model GJR-GARCH(1,1). Kemudian model skenario 7-9 merupakan model skenario data yang dibangkitkan dengan model APARCH(1,1).

Untuk melakukan pengecekan size dari uji asimetrik, dilakukan setting parameter berdasarkan skenario 1-3. Pada Tabel 4.20 disajikan hasil uji asimetrik untuk data yang dibangkitkan melalui 3 skenario model GARCH(1,1). dengan persamaan:

1. Model 1 GARCH(1,1):
$$\sigma_t^2 = 0.01 + 0.09\varepsilon_{t-1}^2 + 0.9\sigma_{t-1}^2$$
 (4.16)

2. Model 2 GARCH(1,1):
$$\sigma_t^2 = 0.05 + 0.05\varepsilon_{t-1}^2 + 0.9\sigma_{t-1}^2$$
 (4.17)

3. Model 3 GARCH(1,1):
$$\sigma_t^2 = 0.2 + 0.05\varepsilon_{t-1}^2 + 0.75\sigma_{t-1}^2$$
 (4.18)

Tabel 4.20 Persentase hasil uji asimetrik untuk simulasi model GARCH(1,1)

| TI: | Mo | del 1 | Mo | del 2 | Mo | del 3 |
|-------------------------|-----|-------|-----|-------|----------|-------|
| Uji | 200 | 1.000 | 200 | 1.000 | 200 | 1.000 |
| Sign <mark>Bia</mark> s | 70 | | | 17 3 | | |
| 1% | 2 | 1 | 1 | 0 | 0 | 1 |
| 5% | 6 | 5 | 8 | 5 | 6 | 5 |
| 10% | 11 | 9 | 13 | 7 | 8 | 11 |
| Negative Sign Bias | | 180 | | | 350 | 1 |
| 1% | 0 | 0 | 1 | 1 | 2 | 3 |
| 5% | 2 | 5 | 4 | 5 | 8 | 9 |
| 10% | 5 | 10 | 12 | 11 | 13 | 13 |
| Positive Sign Bias | | | | | C D | 1 |
| 1% | 2 | 0 | 0 | 1 | 1 | 3 |
| 5% | 4 | 1 | 5 | 2 | 9 | 11 |
| 10% | 7 | 6 | 7 | 4 | 14 | 14 |
| Joint Effect | | | | | The same | - |
| 1% | 1 | 0 | 0 | 1 | 3 | 1 |
| 5% | 7 | 1 | 5 | 1 | 6 | 18 |
| 10% | 11 | 8 | 13 | 8 | 16 | 18 |

Dari masing-masing data bangkitan pada model skenario GARCH(1,1), kemudian diestimasi berdasarkan GARCH(1,1) dan masing-masing dilakukan 4 pengujian asimetrik yaitu uji sign bias, negative sign bias, positive sign bias, dan joint effect. Berdasarkan Tabel 4.20, ukuran simulasi dari uji mendekati ukuran level signifikansi pada kedua jumlah sampel. Pada sampel yang besar, persentase data asimetrik cenderung lebih besar daripada level signifikansinya. Pada level signifikansi 1%, pada kedua jenis sampel, persentase data bersifat asimetrik berada antara 0 hingga 3 persen. Pada level signifikansi 5% dan 10%, range persentasenya lebih besar, namun nilai persentase maksimum tidak lebih dari 18 persen. Sehingga, dapat dikatakan keempat uji tersebut memberikan hasil uji yang lebih tepat pada level signifikansi 1%.

Berdasarkan Tabel 4.20, dengan kombinasi nilai α dan β pada model 1-3, tidak memberikan perbedaan signifikan mengenai *size* dari pengujian asimetrik tersebut. Masing-masing model tidak memberikan ukuran yang tepat dari ukuran empiris terhadap ukuran teoritisnya, karena persentase tolak H_0 atau hasil deteksi asimetrik tidak sama dengan level signifikansinya. Akan tetapi ketiga model menunjukkan ukuran yang mendekati level signifikansinya. Sehingga dapat dikatakan *size* dari keempat pengujian asimetrik cukup baik.

Berikutnya dilakukan simulasi data yang dibangkitkan pada model asimetrik. Data yang dibangkitkan mengikuti model GJR-GARCH sebagai berikut:

1. Model 1 GJR-GARCH(1,1):

$$\sigma_t^2 = 0.005 + 0.28\varepsilon_{t-1}^2 + 0.23\varepsilon_{t-1}^2 I + 0.5\sigma_{t-1}^2$$
(4.19)

2. Model 2 GJR-GARCH(1,1):

$$\sigma_t^2 = 0.005 + 0.18\varepsilon_{t-1}^2 + 0.23\varepsilon_{t-1}^2 I + 0.6\sigma_{t-1}^2$$
(4.20)

3. Model 3 GJR-GARCH(1,1):

$$\sigma_t^2 = 0.005 + 0.38\varepsilon_{t-1}^2 + 0.23\varepsilon_{t-1}^2 I + 0.4\sigma_{t-1}^2$$
(4.21)

Tabel 4.21 Persentase hasil uji asimetrik simulasi model GJR-GARCH(1,1)

| TI: | Mo | del 1 | Mo | del 2 | Mo | del 3 |
|----------------------------------|-----|---------|-----|-------|-------|-------|
| Uji | 200 | 1.000 | 200 | 1.000 | 200 | 1.000 |
| Sign Bias | 4 | PATE NO | 177 | | PAT | 777 |
| 1% | 0 | 1 | 1 | 1 | 1 | 0 |
| 5% | 1 | 6 | 5 | 6 | 7 | 6 |
| 10% | 4 | 10 | 10 | 9 | 17 | 12 |
| Neg <mark>ative Sign Bias</mark> | | 737) | | 7) | 7/11/ | |
| 1% | 1 | 1 | 1 | 5 | 3 | 2 |
| 5% | 6 | 7 | 5 | 12 | 4 | 4 |
| 10% | 10 | 11 | 12 | 26 | 6 | - 8 |
| Pos <mark>itive</mark> Sign Bias | 73 | 2015 | | 77 | | 2 2 G |
| 1% | 0 | 0 | 0 | 1 | 2 | 0 |
| 5% | 3 | 4 | 4 | 12 | 3 | 2 |
| 10% | 5 | 11 | 10 | 23 | 5 | 5 |
| Joint Effect | 1 | | | | | 1 |
| 1% | 1 | 13 | 3 | 25 | 5 | 7 |
| 5% | - 6 | 27 | 7 | 47 | 9 | 20 |
| 10% | 11 | 31 | 13 | 62 | 11 | 27 |

Pada Tabel 4.21 dapat diketahui bahwa pada ketiga model asimetrik, power dari uji joint effect lebih baik pada sampel yang lebih besar yaitu 1.000. Berdasarkan level signifikansi 5%, pada GJR-GARCH mampu mengidentifikasi efek asimetrik pada model GARCH(1,1) sebesar 27%, 47%, dan 20%. Berarti bahwa uji tersebut memiliki power yang tidak terlalu baik, karena hanya mampu mendeteksi efek asimetrik pada GARCH(1,1) kurang dari 50%. Pada penelitian yang dilakukan oleh Engle dan Ng (1993) menyatakan bahwa power dari sampel kecil lebih lemah pada uji joint effect dan berdasarkan level signifikansi 5% pada GJR-GARCH mampu mengidentifikasi efek asimetrik sebesar 41,5 %. Sementara itu pada seluruh uji, power dari sampel yang besar cenderung lebih baik daripada sampel kecil. Hal tersebut berarti bahwa semakin panjang series data atau semakin besar jumlah sampel, semakin memberikan variasi data yang lebih baik sehingga mampu mengidentifikasi apakah data bersifat simetrik atau tidak, dengan lebih baik. Dengan demikian kemampuan uji asimetrik untuk mendeteksi data asimetrik akan lebih baik pada jumlah sampel yang besar (1.000).

Selanjutnya dibangkitkan data dengan mengikuti model APARCH(1,1):

1. Model 1 APARCH(1,1):

$$\sigma_t^2 = 0.005 + 0.28(|\varepsilon_{t-1}| + 0.23\varepsilon_{t-1})^2 + 0.5\sigma_{t-1}^2$$
(4.22)

2. Model 2 APARCH(1,1):

$$\sigma_t^2 = 0.005 + 0.18(|\varepsilon_{t-1}| + 0.23\varepsilon_{t-1})^2 + 0.6\sigma_{t-1}^2$$
(4.23)

3. Model 3 APARCH(1,1):

$$\sigma_t^2 = 0.005 + 0.38(|\varepsilon_{t-1}| + 0.23\varepsilon_{t-1})^2 + 0.4\sigma_{t-1}^2$$
(4.24)

Tabel 4.22 Persentase hasil uji asimetrik untuk simulasi model APARCH(1,1)

| Uji | Mo | del 1 | Mo | del 2 | Mo | del 3 |
|--------------------|-----|-------|-------|-------|-----|----------|
| Uji | 200 | 1000 | 200 | 1000 | 200 | 1000 |
| Sign Bias | | T T | | 17717 | | The last |
| 1% | 1 | 0 | 1 | 0 | 1 | 1 |
| 5% | 5 | 6 | 4 | 3 | 3 | 7 |
| 10% | 10 | 11 | 7 | 11 | 8 | 12 |
| Negative Sign Bias | | | | | 1 1 | 40 |
| 1% | 12 | 2 | 6 | 6 | 11 | 8 |
| 5% | 19 | 14 | - 11 | 14 | 18 | 22 |
| 10% | 21 | 27 | 14 | 22 | 23 | 32 |
| Positive Sign Bias | | | _ | | | |
| 1% | 0 | 1 | 0 | 5 | 4 | 5 |
| 5% | 4 | 13 | / (1) | 13 | 7 | 15 |
| 10% | 8 | 23 | 8 | 21 | 9 | 35 |
| Joint Effect | | | RI | | 1 | 1 |
| 1% /- (())// | 13 | 28 | 5 | 16 | 13 | 54 |
| 5% | 19 | 50 | 10 | 33 | 21 | 75 |
| 10% | 26 | 60 | 15 | 39 | 26 | 81 |

Seperti halnya pada tabel 4.21, pada tabel 4.22 dapat diketahui bahwa pada ketiga model asimetrik, *power* dari uji *joint effect* lebih baik pada sampel yang lebih besar yaitu 1.000. Demikian halnya dengan ketiga uji lainnya. Berdasarkan level signifikansi 5%, pada jumlah sampel 1.000, model APARCH mampu mengidentifikasi efek asimetrik pada model GARCH(1,1) sebesar 50%, 33%, dan 75%. Berarti bahwa uji tersebut memiliki *power* yang baik, karena mampu mendeteksi efek asimetrik pada GARCH(1,1) sebesar 50% bahkan lebih. Sementara itu pada seluruh uji, *power* dari sampel yang besar cenderung lebih

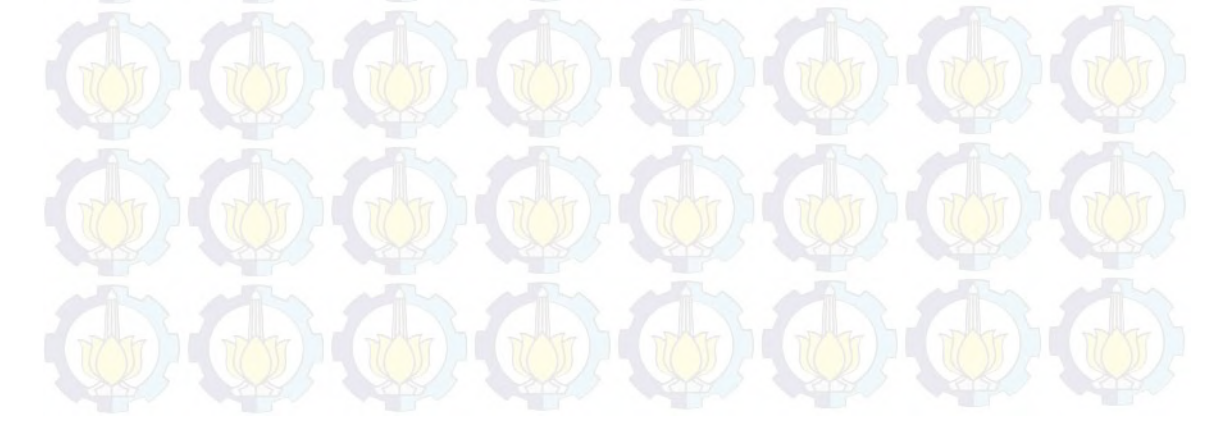
baik daripada sampel kecil. Hal tersebut berarti bahwa semakin panjang *series* data atau semakin besar jumlah sampel, semakin memberikan variasi data yang lebih baik sehingga mampu mengidentifikasi apakah data bersifat simetrik atau tidak dengan lebih baik. Dengan demikian kemampuan uji asimetrik untuk mendeteksi data asimetrik akan lebih baik pada jumlah sampel yang besar (1.000).

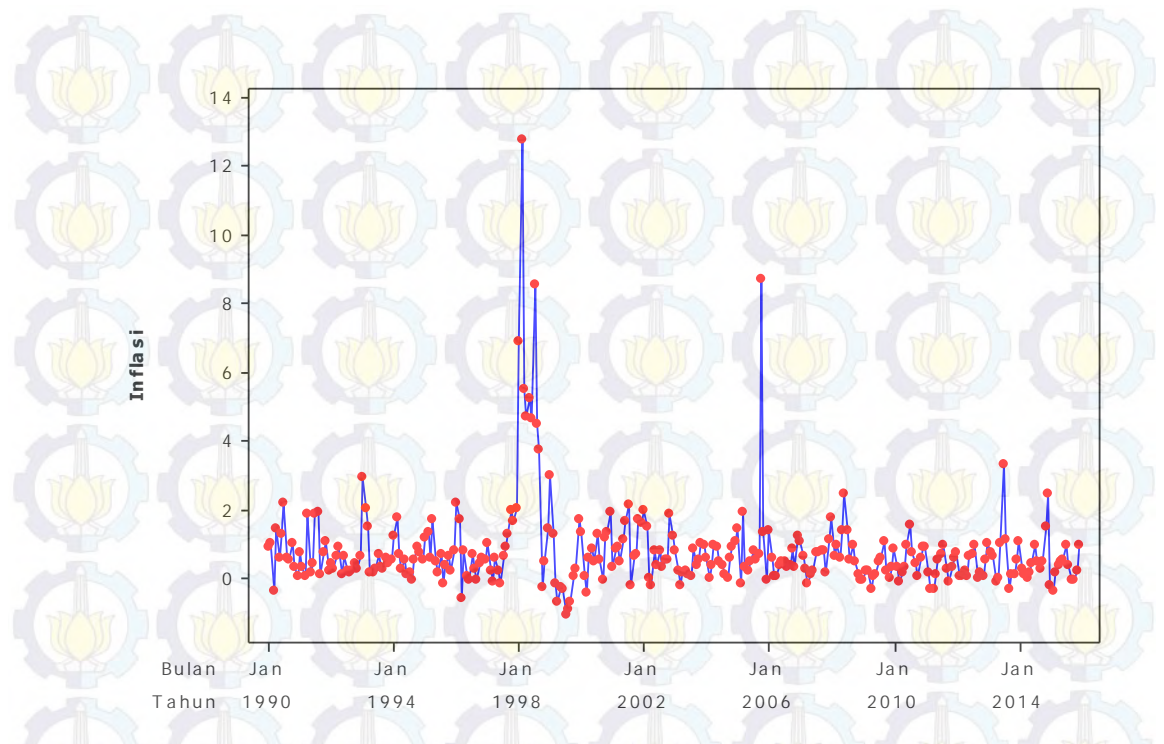
4.2 Data Inflasi Nasional

BPS dalam melakukan penghitungan nilai inflasi didasarkan pada perubahan Indeks Harga Konsumen (IHK) yang dianggap mewakili seluruh barang dan jasa yang dijual di pasar antara suatu periode tertentu dengan periode sebelumnya. Fenomena inflasi di Indonesia menarik untuk diteliti karena nilai inflasi terkait erat dengan stabilitas ekonomi maupun kebijakan pemerintah. Data yang digunakan dalam penelitian ini merupakan data sekunder yang berasal dari data inflasi Indonesia yang dirilis setiap bulan oleh BPS. Periode data yang digunakan adalah Januari 1990 sampai dengan Desember 2015, dimana data *insample* adalah data bulan Januari 1990 sampai dengan Desember 2014, sedangkan data bulan Januari sampai dengan Desember 2015 digunakan sebagai data *out-of-sample*.

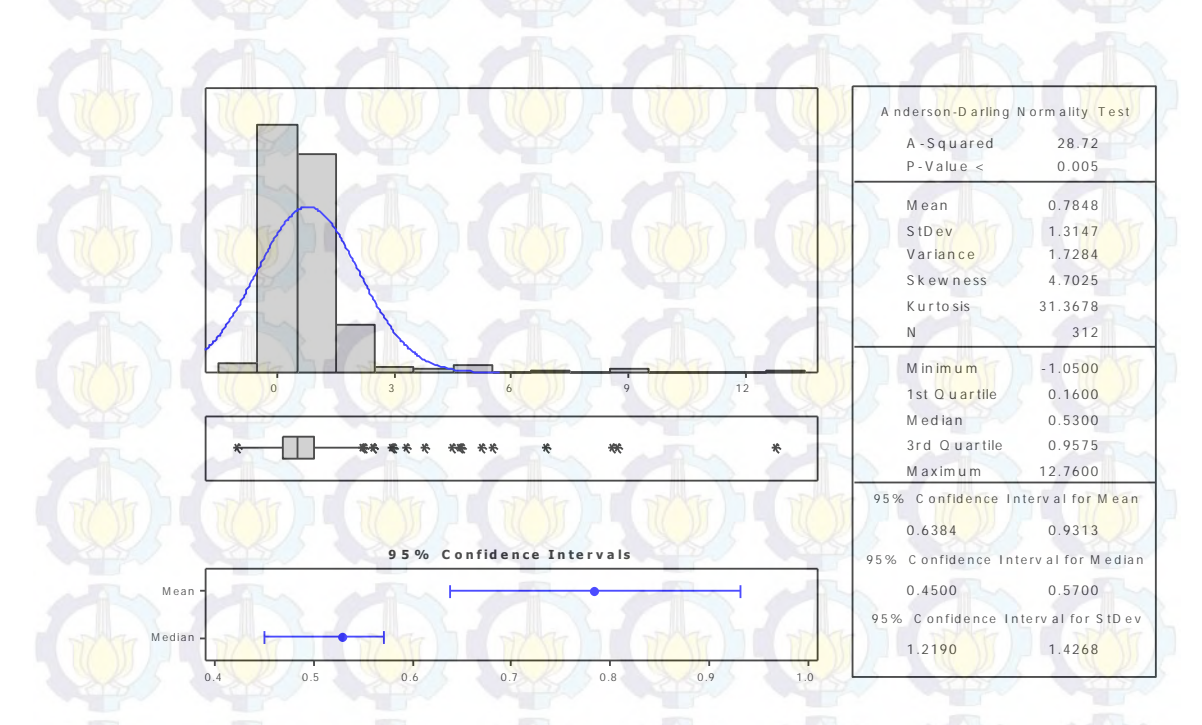
4.2.1 Gambaran Umum Inflasi

Nilai inflasi nasional di Indonesia cenderung berfluktuasi dengan nilai inflasi tertinggi 12,76 persen terdapat pada bulan Februari 1998. Selama kurun waktu tahun 1990 sampai dengan tahun 2015, tercatat ada beberapa bulan yang mengalami deflasi namun angkanya tidak signifikan. Inflasi mencapai nilai deflasi terendah 1.05 persen (inflasi sebesar -1.05) pada bulan Juli 1999.





Gambar 4.31 Plot series data inflasi nasional Januari 1990-Desember 2015

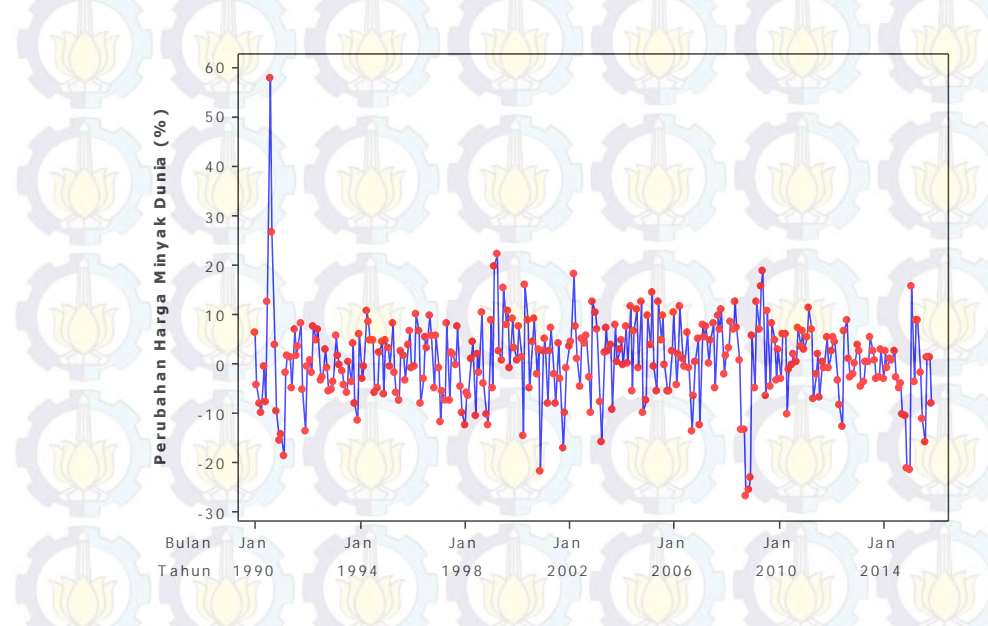


Gambar 4.32 Deskripsi inflasi bulanan nasional Januari 1990-Desember 2015

Berdasarkan Gambar 4.32 terlihat bahwa nilai inflasi kurun waktu Januari 1990 hingga Desember 2015 berada dalam rentang -1,05 dan 12,76. Bila melihat mediannya, nilai inflasi nasional berada pada kisaran 0.53. Hal ini menunjukkan

bahwa kondisi perekonomian Indonesia cukup stabil terhadap berbagai guncangan baik dari sisi sosial, politik dan ekonomi lainnya. Dilihat dari rata-rata inflasi nasional bernilai 0,79 atau diatas nilai median. Hal tersebut disebabkan adanya beberapa *outlier* yang membuat distribusi data menjadi menceng. Namun data inflasi tidak terdistribusi secara normal dilihat dari *p-value normality test* yang kurang dari 0.05. Data cenderung untuk menceng kanan dengan nilai *skewness* sebesar 4,7025. Data inflasi juga memiliki kurtosis yang cukup tinggi yakni sebesar 31,3678.

Inflasi dipengaruhi oleh berbagai faktor baik internal maupun eksternal seperti yang telah dijelaskan pada bab 2 sebelumnya. Salah satu faktor yang diduga merupakan faktor eksternal inflasi adalah harga minyak dunia. Harga minyak dunia cenderung berubah dari waktu ke waktu. Untuk itu dalam mengukur keterkaitannya dengan inflasi, digunakan perubahan harga minyak dunia setiap bulannya. Berikut disajikan plot *series* data untuk perubahan harga minyak dunia setiap bulan:



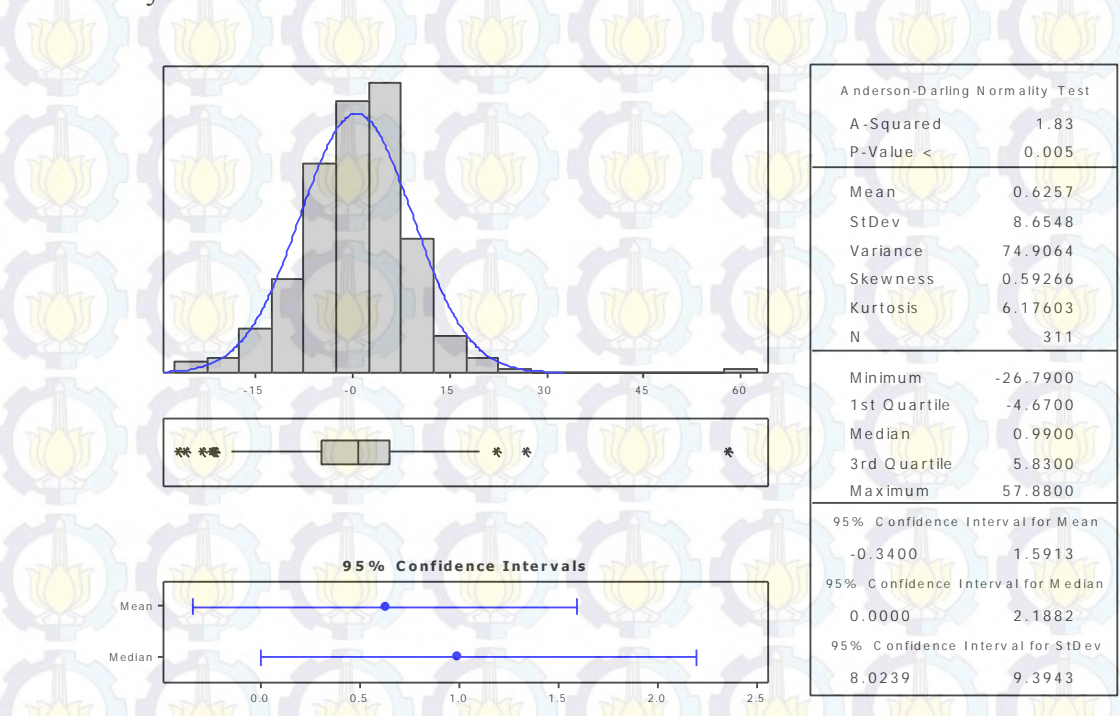
Gambar 4.33 Plot series data perubahan harga minyak dunia Januari 1990-

Desember 2015

Nilai perubahan harga minyak dunia cenderung lebih berfluktuasi dibandingkan dengan nilai inflasi, dimana nilai perubahan harga tertinggi sebesar 57,88 persen terdapat pada bulan Agustus 1990. Selama kurun waktu tahun 1990

sampai dengan tahun 2015, tercatat ada beberapa bulan yang mengalami perubahan yang negatif. Perubahan yang terendah terjadi pada bulan Oktober 1999 yaitu sebesar -26,79 persen.

Selanjutnya disajikan gambar deskripsi data perubahan harga minyak dunia pada gambar 4.34. Berdasarkan Gambar 4.34 terlihat bahwa nilai perubahan harga minyak dunia kurun waktu Januari 1990 hingga Desember 2015 berada dalam rentang -26,79 dan 57,88. Bila melihat mediannya, perubahan harga minyak dunia berada pada kisaran 0.99 dengan rata-rata sebesar 0,6257. Hal ini menunjukkan bahwa kondisi perubahan harga minyak dunia cukup stabil. Namun demikian data perubahan harga minyak dunia tidak terdistribusi secara normal dilihat dari *p-value normality test* yang kurang dari 0.05. Hal tersebut disebabkan ada beberapa *outlier* data yakni data yang nilainya jauh diluar sebaran nilainilainya.



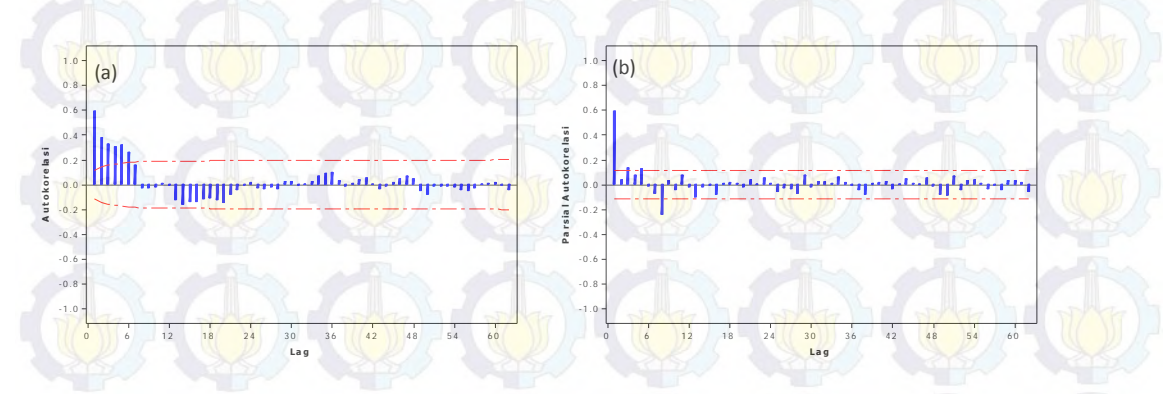
Gambar 4.34 Deskripsi persentase perubahan harga minyak dunia Januari 1990-



4.2.2 Model ARIMA dan ARIMA Fungsi Transfer

a. ARIMA Inflasi

Tahap awal dari pemodelan ARIMA adalah stasioneritas data. Berdasarkan pada plot *time series*, data inflasi nasional cenderung stasioner dengan adanya beberapa *outlier*. Untuk melihat stasioneritas data inflasi nasional pada rata-rata dapat dilihat melalui plot ACF dan PACF seperti terlihat pada Gambar 4.35.



Gambar 4.35 Plot (a) ACF dan (b) PACF data inflasi nasional

Pada plot ACF dan PCF tersebut terlihat pola *cut off* pada kedua plot. Hal ini menunjukkan bahwa data inflasi nasional telah stasioner pada rata-rata, sehingga tidak diperlukan *differencing*. Untuk memperkuat dugaan dilakukan unit *root test* menggunakan uji ADF. Dimana nilai *p-value* lebih kecil dari 0,05, sehingga tolak H0. Untuk itu dapat disimpulkan bahwa data telah stasioner dalam rata-rata.

Berdasarkan Gambar 4.35, dapat dilakukan identifikasi model ARIMA. Identifikasi model ARIMA ditentukan dari pola plot ACF dan PACF pada data inflasi nasional yang telah stasioner. Dari pola plot ACF yang terbentuk menurun secara eksponensial, dan pada plot PACF *cut off.* Pada *Lag* PACF, tampak signifikan pada *Lag* 1, 3, 5, dan 8. Berdasarkan hal tersebut, dugaan model ARIMA yang mungkin terbentuk adalah ARIMA ([1,3,5,8],0,0).



Tabel 4.23 Uji signifikansi parameter model ARIMA([1,3,5,8],0,0) inflasi nasional

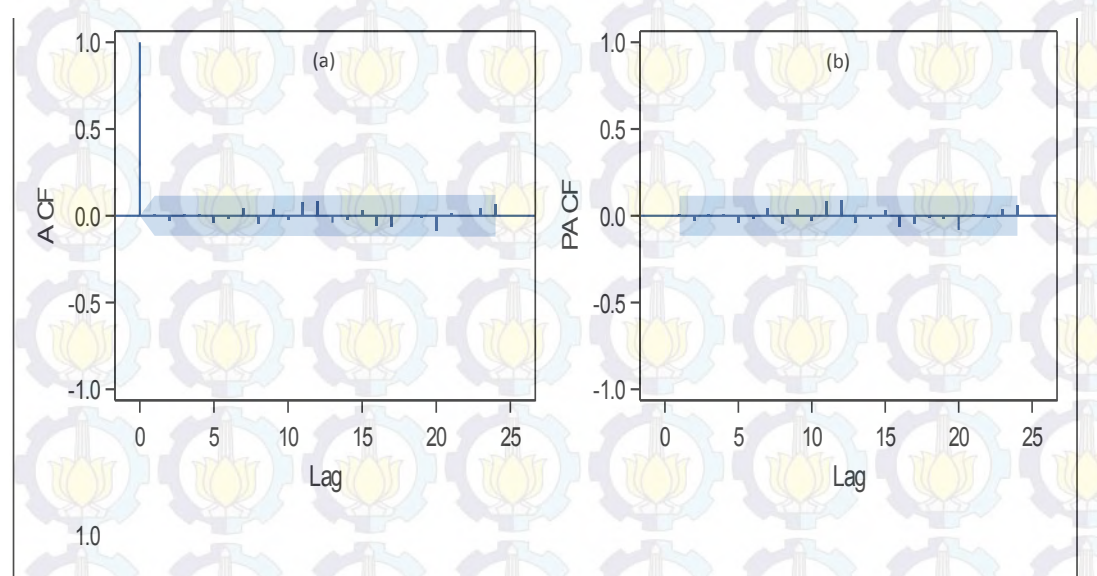
| Parameter | Nilai Estimasi | StandardError | t-hitung | p-value |
|-----------|----------------|---------------|----------|---------|
| μ | 0,81 | 0,15511 | 5,24 | <0,0001 |
| ϕ_1 | 0,52 | 0,04888 | 10,66 | <0,0001 |
| ϕ_3 | 0,13 | 0,05166 | 2,57 | 0,0102 |
| ϕ_5 | 0,18 | 0,05041 | 3,64 | 0,0003 |
| ϕ_8 | -0,21 | 0,04832 | -4,47 | <0,0001 |

Dari tabel 4.23 diketahui bahwa uji signifikansi parameter memberikan hasil yang signifikan pada semua parameter. Langkah selanjutnya adalah melakukan cek diagnosa dari residual model. Berdasarkan hasil uji Ljung-Box untuk mengetahui terpenuhinya kondisi *white noise*, diperoleh hasil sebagai berikut.

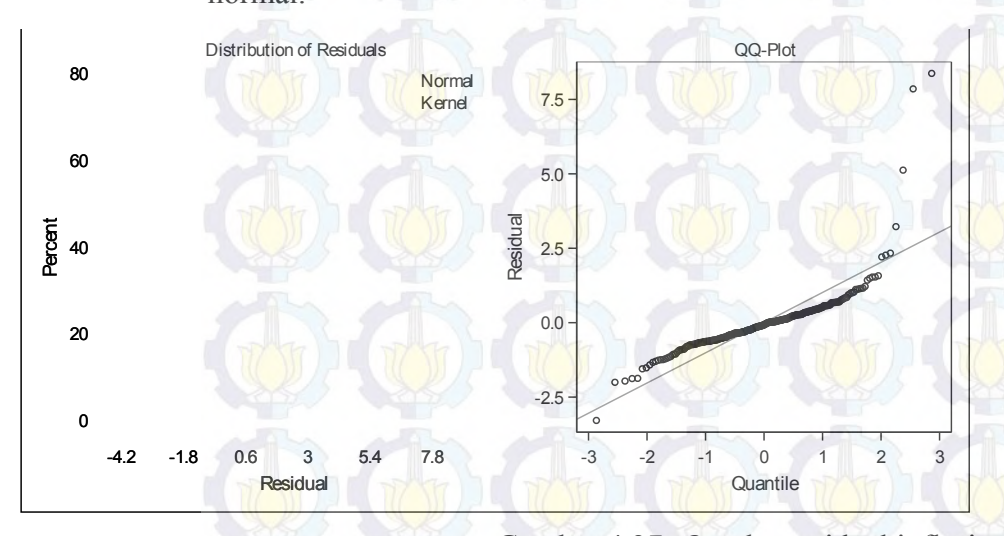
Tabel 4.24 Uji Residual White Noise Model ARIMA Inflasi nasional

| Hingga Lag | Chi-Square | DF | p-value |
|------------|------------|----|---------|
| 6 | 0,84 | 2 | 0,6587 |
| 12 | 6,96 | 8 | 0,5407 |
| 18 | 10,37 | 14 | 0,7349 |
| 24 | 15,01 | 20 | 0,7756 |
| 30 | 18,37 | 26 | 0,8620 |
| 36 | 22,71 | 32 | 0,8874 |
| 42 | 25,45 | 38 | 0,9405 |
| 48 | 31,79 | 44 | 0,9152 |

Berdasarkan hasil uji *White Noise*, seluruh *Lag* telah memenuhi asumsi *White Noise* karena seluruh nilai *p-value* lebih dari 0,05. Plot residual dapat dilihat pada uji Gambar 4.36. Berdasarkan plot residual, terlihat tidak ada *Lag*i *Lag* yang signifikan pada plot ACF. Selanjutnya dilakukan uji asumsi normalitas pada residual.



Berdasarkan plot normalitas *qq*-plot *residual* tampak bahwa data belum berdistribusi normal. Berdasarkan hasil uji normalitas menggunakan uji Kolmogorov Smirnov menunjukkan *p-value* kurang dari 0,05, sehingga dapat disimpulkan bahwa residual tidak berdistribusi normal. Hal tersebut diidentifikasi disebabkan oleh adanya data *outlier*. Untuk itu perlu dilakukan deteksi *outlier* dan memasukkan input *outlier* kedalam model ARIMA agar residual berdistribusi normal.



Gambar 4.37 Qq-plot residual inflasi

Dari hasil deteksi *outlier* yang dilakukan, dapat diidentifikasi keseluruhan *outlier* merupakan *additive outlier* seperti yang tampak pada tabel 4.25.

Tabel 4.25 Identifikasi outlier data inflasi nasional

| Waktu | Keterangan |
|---------------|--|
| Januari 1998 | Krisis ekonomi dimana nilai tukar rupiah terhadap dollar terdepresiasi 80% |
| Februari 1998 | Krisis ekonomi |
| Juli 1998 | Krisis ekonomi dimana SBI 70,8%, SBPU 60%, IHSG anjlok |
| Oktober 1998 | Krisis ekonomi |
| Oktober 2005 | Kenaikan BBM 125% |
| Juli 2013 | Kenaikan BBM 33,33% |

Outlier yang terdeteksi dimasukkan ke dalam model ARIMA inflasi satu per-satu dengan memasukkan outlier yang paling signifikan. Outlier paling signifikan pada deteksi outlier ada pada data ke 190 yaitu kenaikan BBM Oktober 2005. Selanjutnya dilakukan uji signifikansi dari estimasi parameter dengan memasukkan outlier tersebut. Hal tersebut dilakukan hingga didapatkan parameter yang signifikan seluruhnya dan memenuhi uji asumsi pada residual.

Tabel 4.26 Uji signifikansi parameter model ARIMA inflasi nasional dengan deteksi outlier

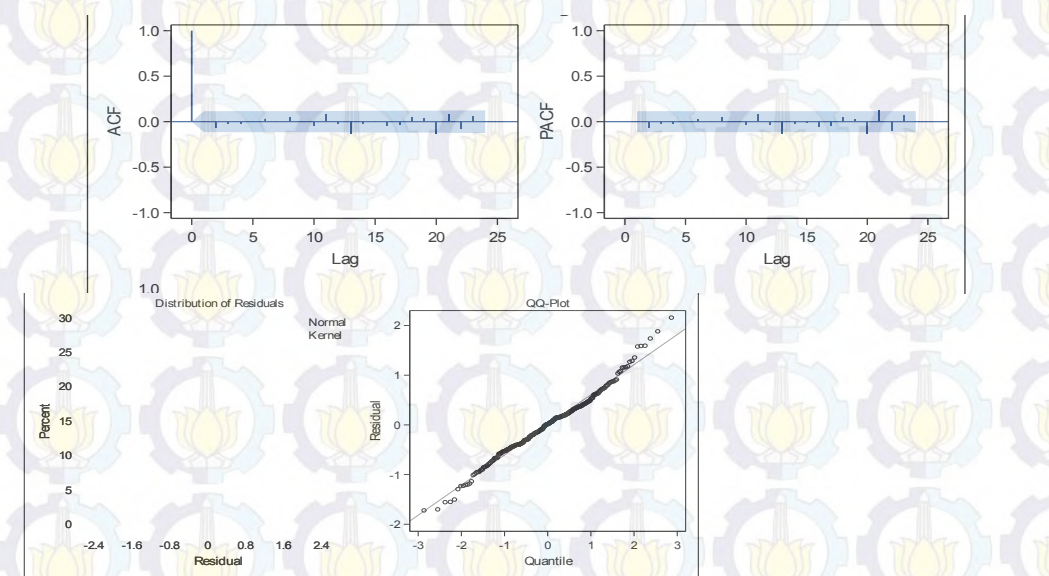
| Parameter | Nilai Estimasi | Standard Error | <i>t</i> -hitung | p-value |
|-----------------|----------------|----------------|------------------|---------|
| μ | 0,74772 | 0,14684 | 5,09 | <0,0001 |
| θ_{10} | -0,17216 | 0,05911 | -2,91 | 0,0036 |
| θ_{12} | -0,37120 | 0,05915 | -6,28 | <0,0001 |
| ϕ_1 | 0,66582 | 0,04689 | 14,20 | <0,0001 |
| ϕ_3 | 0,16870 | 0,04943 | 3,41 | 0,0006 |
| ϕ_8 | -0,18997 | 0,04369 | -4,35 | <0,0001 |
| ω_{190} | 7,26172 | 0,44866 | 16,19 | <0,0001 |
| ω ₉₈ | 8,22766 | 0,52358 | 15,71 | <0,0001 |
| ω_{103} | 4,23731 | 0,45331 | 9,35 | <0,0001 |
| ω ₉₇ | 3,19870 | 0,52370 | 6,11 | <0,0001 |
| ω_{106} | -2,65681 | 0,47013 | -5,65 | <0,0001 |
| ω_{283} | 2,08955 | 0,45795 | 4,56 | <0,0001 |

Dari hasil uji signifikansi parameter, pada model ARIMA inflasi ada enam outlier yang dimasukkan yang bersifat additive outlier. Selanjutnya dilakukan cek diagnosa residual model ARIMA. Pada Gambar 4.38, plot ACF residual model ARIMA menunjukkan tidak ada Lagi Lag yang signifikan. Sehingga dapat diindikasikan bahwa residual telah white noise. Pada tabel 4.27 berdasarkan hasil uji Ljung-Box bahwa pada semua Lag telah memiliki nilai p-value lebih dari 0,05. Dari uji tersebut dapat disimpulkan bahwa residual model ARIMA dengan deteksi outlier telah memenuhi asumsi white noise.

Tabel 4.27 Uji White Noise residual model ARIMA inflasi nasional

| Hingga Lag | Chi-Square | DF | p-value |
|------------|------------|----|---------|
| 6 | 1,85 | 1 | 0,1739 |
| 12 | 5,63 | 7 | 0,5841 |
| 18 | 13,63 | 13 | 0,4002 |
| 24 | 25,59 | 19 | 0,1421 |
| 30 | 29,55 | 25 | 0,2417 |
| 36 | 36,92 | 31 | 0,2140 |
| 42 | 47,27 | 37 | 0,1202 |
| 48 | 53,76 | 43 | 0,1259 |

Pada residual selanjutnya dilakukan uji normalitas. Sebelumnya bila dilihat dari plot residual model ARIMA dengan deteksi *outlier*, pada Gambar 4.38 tampak bahwa data cenderung berdistribusi normal.



Gambar 4.38 Plot residual inflasi nasional setelah deteksi outlier

Untuk memperkuat dugaan normalitas pada residual, selanjutnya dilakukan uji normalitas dengan uji Kolmogorov Smirnov. Dari hasil pengujian normalitas model, pada uji Kolmogorov Smirnov, residual data memiliki *p-value* lebih besar dari 0,05 yaitu 0,0567 sehingga dapat disimpulkan bahwa residual telah berdistribusi normal.

Persamaan model peramalan ARIMA ([1,3,8],0,[10,12]) dengan deteksi outlier adalah sebagai berikut:

$$y_{t} = 0.75 + \omega_{1}I_{t}^{(190)} + \omega_{2}I_{t}^{(98)} + \omega_{3}I_{t}^{(103)} + \omega_{4}I_{t}^{(97)} - \omega_{5}I_{t}^{(106)} + \omega_{6}I_{t}^{(283)} + \frac{(1 + \theta_{10} B^{10} + \theta_{12} B^{12})}{(1 - \phi_{1} B - \phi_{3} B^{3} + \phi_{8} B^{8})} a_{t} + y_{t} = 0.75 + 7.26I_{t}^{(190)} + 8.23I_{t}^{(98)} + 4.24I_{t}^{(103)} + 3.2I_{t}^{(97)} - 2.66I_{t}^{(106)} + 2.09I_{t}^{(283)} \frac{(1 + 0.17 B^{10} + 0.37 B^{12})}{(1 - 0.67 B - 0.18 B^{3} + 0.23 B^{8})} a_{t}$$

Dari persamaan model ARIMA yang terbentuk, dapat diketahui bahwa inflasi nasional pada bulan ke-t berkaitan dengan inflasi nasional satu bulan sebelumnya, inflasi nasional tiga bulan sebelumnya, inflasi nasional delapan bulan sebelumnya serta *outlier* yang diidentifikasi. Berdasarkan model yang terbentuk, selanjutnya dapat dilakukan peramalan data inflasi.

Tabel 4.28 Perbandingan data *out-of-sample* dan hasil ramalan model ARIMA

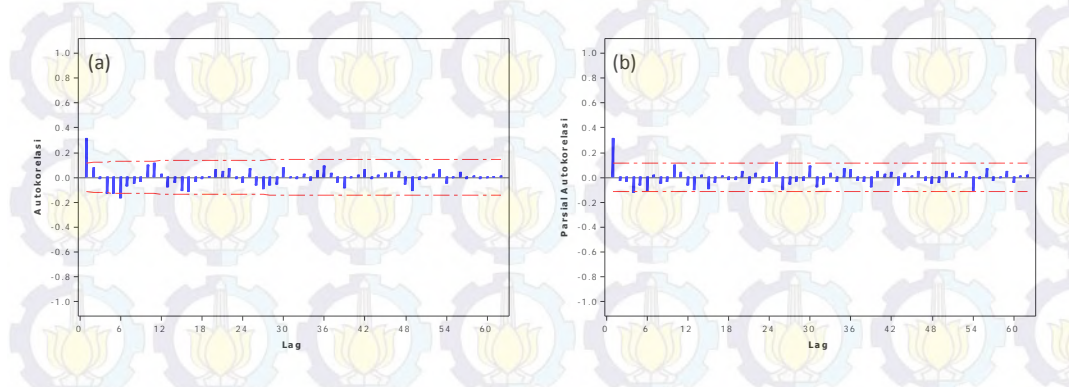
| Bulan | Data Out-of-sample | Ramalan Inflasi | Residual |
|-----------|--------------------|-----------------|----------|
| Januari | -0,24 | 2,00 | -2,24 |
| Februari | -0,36 | 1,56 | -1,92 |
| Maret | 0,17 | 1,43 | -1,26 |
| April | 0,36 | 1,36 | -1 |
| Mei | 0,5 | 1,34 | -0,84 |
| Juni | 0,54 | 1,12 | -0,58 |
| Juli | 0,93 | 1,10 | -0,17 |
| Agustus | 0,39 | 0,55 | -0,16 |
| September | -0,05 | 0,57 | -0,62 |
| Oktober | -0,08 | 0,57 | -0,65 |
| November | 0,21 | 0,65 | -0,44 |
| Desember | 0,96 | 0,81 | 0,15 |

Hasil ramalan untuk data *out-of-sample* (Januari s.d. Desember 2015) disajikan dalam Tabel 4.28. Dari Tabel 4.28 diketahui bahwa hasil ramalan ARIMA inflasi memiliki MSE sebesar 1,11756. Sementara itu MSE untuk data *in-sample* sebesar 0.617389, sehingga akurasi data *in-sample* lebih baik daripada data *out-sample*.

b. ARIMA Fungsi Transfer Inflasi

Tahap awal dari pemodelan fungsi transfer multi input adalah proses prewhitening deret input, yaitu deret perubahan harga minyak dunia. Asumsi dasar yang harus dipenuhi dalam analisis time series dan pembentukan model ARIMA adalah stasioneritas data. Uji stasioneritas data dalam rata-rata dilakukan dengan uji Augmented Dicky-Fuller. Dari hasil uji ADF, diperoleh bahwa kedua deret input (perubahan harga minyak dunia) dan deret output (inflasi) masingmasing memiliki p-value kurang dari 0,05 sehingga dapat dikatakan bahwa kedua deret telah stasioner dalam rata-rata. Karena telah stasioner, maka berarti tidak perlu dilakukan differencing pada data.

Langkah selanjutnya adalah dengan memodelkan deret input. Dalam pemodelan deret input terlebih dahulu dilakukan identifikasi model ARIMA input. Identifikasi dapat dilakukan melalui pengamatan pada plot ACF dan PACF data deret input. Plot data perubahan harga minyak dunia disajikan pada Gambar 4.39.



Gambar 4.39 Plot (a) ACF dan (b) PACF perubahan harga minyak dunia

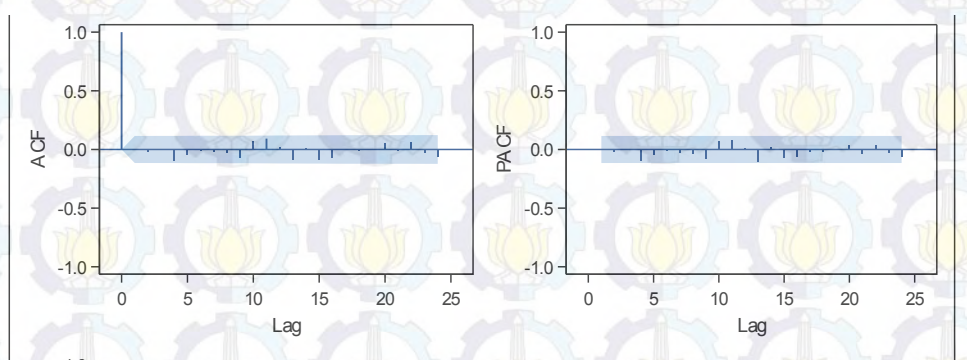
Berdasarkan Gambar 4.39, dapat dilakukan identifikasi model ARIMA. Identifikasi model ARIMA ditentukan dari pola plot ACF dan PACF pada data perubahan harga minyak dunia yang telah stasioner. Dari pola plot ACF dan PACF yang terbentuk, pada *Lag* PACF, tampak signifikan pada *Lag* 1 sedangkan

pada plot ACF tampak signifikan pada *Lag* 1 dan 6. Berdasarkan hal tersebut, dugaan model ARIMA yang mungkin terbentuk adalah ARIMA (1,0,6).

Tabel 4.29 Uji signifikansi parameter ARIMA perubahan harga minyak dunia

| Parameter | Estimasi | Standard Error | t-hitung | p-value |
|------------|----------|----------------|----------|---------|
| θ_6 | 0,12546 | 0,05828 | 2,15 | 0,0313 |
| ϕ_1 | 0,31707 | 0,05562 | 5,70 | <0,0001 |

Dari Tabel 4.29 diketahui bahwa uji signifikansi parameter memberikan hasil yang signifikan pada semua parameter. Langkah selanjutnya adalah melakukan cek diagnosa dari residual model. Gambar 4.40 menyajikan plot residual dari model ARIMA perubahan harga minyak dunia yang terbentuk.



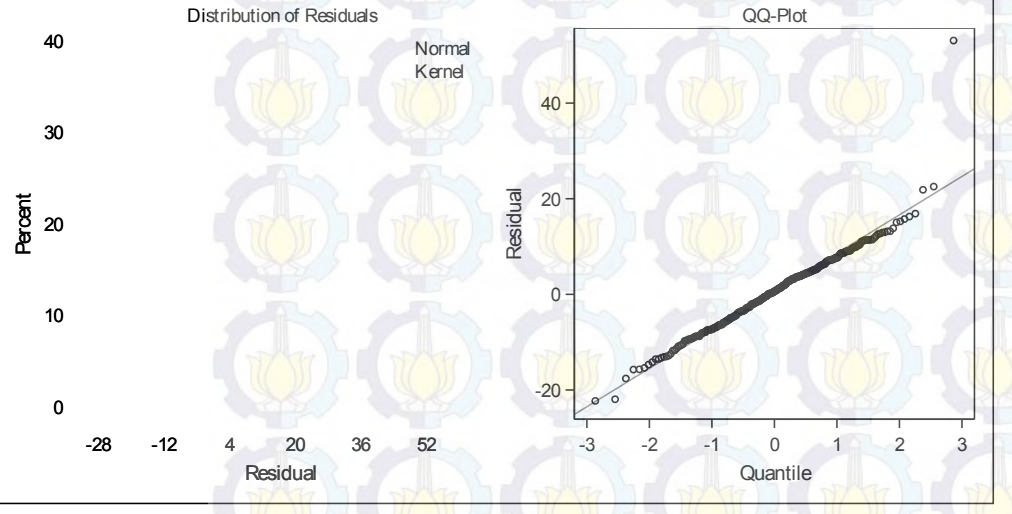
Gambar 4.40 Plot ACF dan PACF residual model ARIMA perubahan harga minyak dunia

Pada Gambar 4.40, plot ACF residual memberikan indikasi bahwa data residual telah memenuhi asumsi *white noise*. Untuk itu dilakukan uji Ljung-Box. Hasil uji Ljung-Box disajikan pada tabel 4.30.

Tabel 4.30 Uji white noise model ARIMA perubahan harga minyak dunia

| Lag | Chi-Square | DF | p-value |
|-----|------------|----|---------|
| 6 | 3,11 | 4 | 0,5401 |
| 12 | 9,86 | 10 | 0,4529 |
| 18 | 15,78 | 16 | 0,4684 |
| 24 | 19,89 | 22 | 0,5897 |
| 30 | 34,56 | 28 | 0,1831 |
| 36 | 41,21 | 34 | 0,1844 |
| 42 | 46,88 | 40 | 0,2111 |
| 48 | 51,42 | 46 | 0,2700 |

Pada Tabel 4.30, semua *lag* telah memiliki *p-value* lebih dari 0,05 sehingga dapat disimpulkan bahwa residual model ARIMA perubahan harga minyak dunia telah *white noise*. Selanjutnya pada Gambar 4.41 terlihat bahwa residual mengikuti distribusi normal.



Gambar 4.41 Qq plot residual model ARIMA perubahan harga minyak dunia

Berdasarkan nilai estimasi parameter pada Tabel 4.29, model ARIMA yang terbentuk untuk perubahan harga minyak dunia adalah:

$$x_t = 0.31707x_{t-1} + \alpha_t - 0.12546\alpha_{t-6}$$

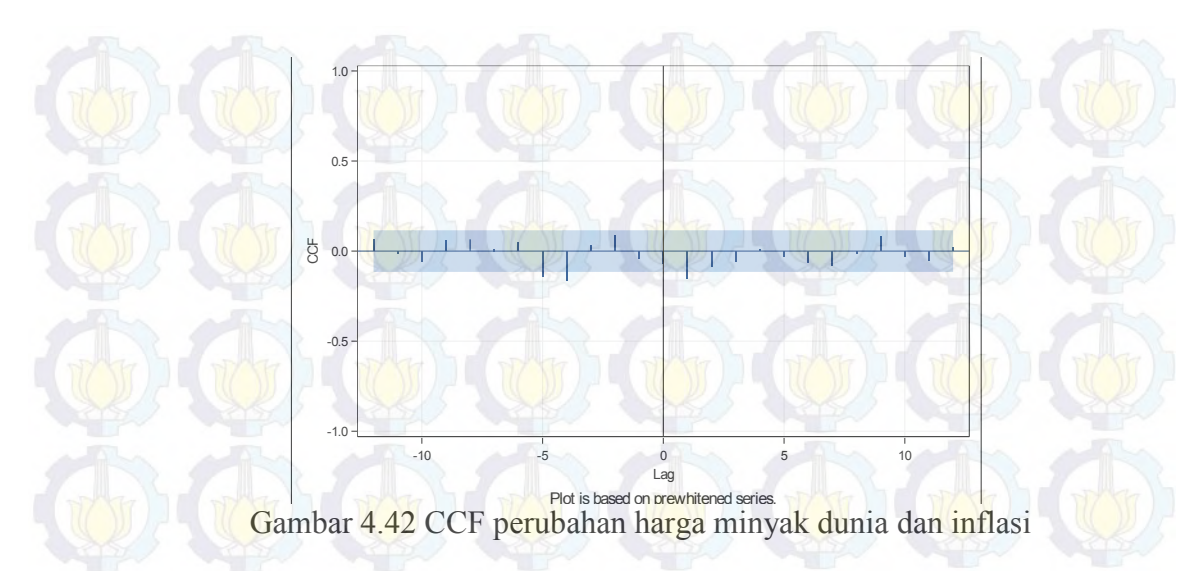
Sehingga deret perubahan harga minyak dunia yang telah di-prewhitening adalah:

$$\alpha_t = \frac{(1 - 0.31707B)}{(1 - 0.12546B^6)} x_t$$

Prewhitening deret output (inflasi nasional) mengikuti *prewhitening* deret input. Sehingga deret output inflasi nasional yang telah di-*prewhitening* adalah:

$$\beta_t = \frac{(1 - 0.31707B)}{(1 - 0.12546B^6)} y_t$$

Identifikasi model dugaan awal fungsi transfer didasarkan pada nilai korelasi silang antara deret input dan deret output yang telah di-prewhitening. Korelasi silang digunakan untuk menentukan nilai orde (b, r, s).



Berdasarkan hasil korelasi silang sebagaimana terlihat pada Gambar 4.42, diperoleh kemungkinan nilai orde (*b*, *r*, *s*) yaitu (b=1, r=0, dan s=0). Hasil estimasi parameter model awal fungsi transfer disajikan pada tabel 4.31.

Tabel 4.31 Uji signifikansi model ARIMA fungsi transfer

| Parameter | Estimasi | Standard Error | <i>t</i> -hitung | p-value |
|------------|----------|----------------|------------------|---------|
| ϕ_1 | 0,61170 | 0,04871 | 12,56 | <0,0001 |
| ϕ_3 | 0,23488 | 0,05182 | 4,53 | <0,0001 |
| ϕ_8 | -0,09890 | 0,04687 | -2,11 | 0,0348 |
| ω_1 | -0,01391 | 0,0070604 | -1,97 | 0,0488 |

Model fungsi transfer untuk orde (b=1, r=0, s=0) sebagaimana disajikan pada Tabel 4.31 nilai p-*value* kurang dari 0,05 sehingga model tersebut memenuhi uji signifikansi parameter. Orde b=1 menunjukkan bahwa perubahan harga minyak dunia pada bulan ke-t mempengaruhi inflasi nasional secara langsung pada bulan t+1.

Pengujian residual model dugaan awal perubahan harga minyak dunia terhadap inflasi umum sebagaimana disajikan pada Tabel 4.24 orde (b=1, r=0, s=0) tidak memenuhi asumsi white noise karena nilai p-value di semua lag kurang dari 0,05.

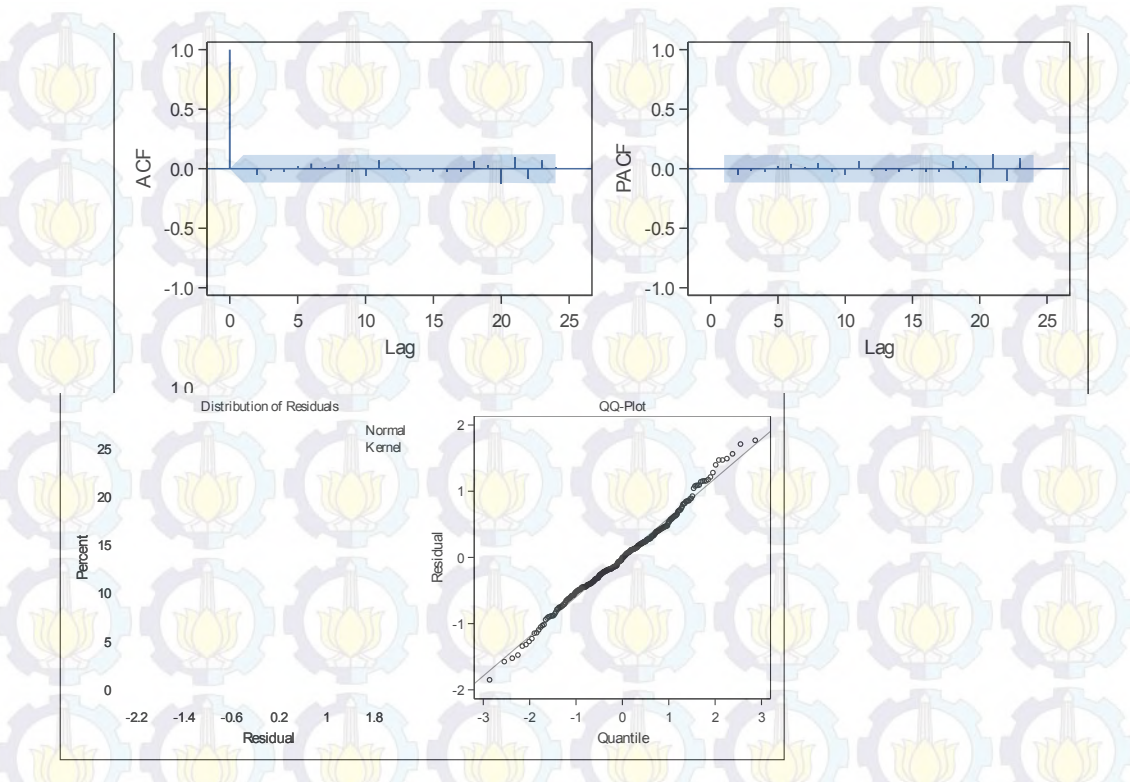
Tabel 4.32 Uji White noise model ARIMA fungsi transfer

| Hingga <i>Lag</i> | Chi-Square | DF | p-value |
|-------------------|------------|----|---------|
| 6 | 11,16 | 3 | 0,0109 |
| 12 10 | 31,02 | 9 | 0,0003 |
| 18 | 33,74 | 15 | 0,0037 |
| 24 | 41,45 | 21 | 0,0049 |
| 30 | 44,57 | 27 | 0,0180 |
| 36 | 52,97 | 33 | 0,0152 |
| 42 | 58,21 | 39 | 0,0245 |
| 48 | 67,96 | 45 | 0,0151 |

Pada pengujian normalitas residual berdasarkan uji Kolmogorov Smirnov, diketahui bahwa *p-value* lebih kecil dari 0,01, sehingga dapat disimpulkan model arima fungsi transfer tersebut memiliki residual yang tidak berdistribusi normal. Untuk itu dilakukan deteksi *outlier*. Dengan memasukkan variabel *outlier*, diperoleh estimasi parameter seperti yang ditunjukkan pada Tabel 4.33.

Tabel 4.33 Uji signifikansi model ARIMA fungsi transfer setelah deteksi outlier

| Parameter | Estimasi | Standar Error | t-hitung | p-value |
|---------------|------------|---------------|----------|---------|
| $	heta_{10}$ | -0,17558 | 0,05852 | -3,00 | 0,0027 |
| θ_{12} | -0,34821 | 0,05878 | -5,92 | <,0001 |
| θ_{13} | 0,13391 | 0,05822 | 2,30 | 0,0215 |
| ϕ_1 | 0,67783 | 0,04657 | 14,56 | <,0001 |
| ϕ_3 | 0,18711 | 0,04948 | 3,78 | 0,0002 |
| ϕ_8 | -0,19259 | 0,04272 | -4,51 | <,0001 |
| ω_0 | -0,0014690 | 0,0038680 | -0,38 | 0,7041 |
| ω_1 | 7,15180 | 0,42792 | 16,71 | <,0001 |
| ω_2 | 8,23921 | 0,51353 | 16,04 | <,0001 |
| ω_3 | 4,12209 | 0,43484 | 9,48 | <,0001 |
| ω_4 | 3,17054 | 0,51738 | 6,13 | <,0001 |
| ω_5 | -2,56027 | 0,44966 | -5,69 | <,0001 |
| ω_6 | 2,07183 | 0,44415 | 4,66 | <,0001 |
| ω_7 | 0,84833 | 0,15398 | 5,51 | <,0001 |



Gambar 4.43 Plot residual model ARIMAX setelah deteksi outlier

Pengujian residual model perubahan harga minyak dunia terhadap inflasi nasional sebagaimana disajikan pada Tabel 4.34 memenuhi asumsi *white noise* karena nilai p-*value* di semua *lag* lebih besar dari 0,05. Begitu pula dengan uji normalitas menggunakan Kolmogorov Smirnov, diperoleh *p-value* sebesar 0,0995, sehingga dapat disimpulkan bahwa residual fungsi transfer setelah dimasukkan *outlier* menjadi berdistribusi normal.

Tabel 4.34 Uji White noise model ARIMA fungsi transfer dengan outlier

| Hingga Lag | Chi-Square | DF | p-value |
|------------|------------|----|---------|
| 12 | 4,93 | 6 | 0,5527 |
| 18 | 7,02 | 12 | 0,8560 |
| 24 | 19,59 | 18 | 0,3566 |
| 30 | 23,10 | 24 | 0,5137 |
| 36 | 31,08 | 30 | 0,4114 |
| 42 | 42,43 | 36 | 0,2135 |
| 48 | 47,87 | 42 | 0,2466 |

Setelah dimasukkan deteksi *outlier* kedalam model ARIMA fungsi transfer, residual telah berdistribusi normal dan memenuhi asumsi normalitas dan *white noise*. Namun demikian, seperti yang disajikan pada Tabel 4.33, parameter input yaitu perubahan harga minyak dunia menjadi tidak signifikan. Hal tersebut disebabkan terdapat *outlier* yang disajikan dalam Tabel 4.35.

Tabel 4.35 Outlier model ARIMA fungsi transfer

| A | Perubahan Harga | 1 | 200 |
|---------------|-----------------|---------|-------------|
| Waktu | Minyak Dunia | Inflasi | Inflasi t+1 |
| Januari 1993 | -3,85 | 2,92 | 2,03 |
| Januari 1998 | -5,61 | 8,7 | 1,31 |
| Februari 1998 | -5,91 | 12,76 | 5,49 |
| Juli 1998 | 1,92 | 8,56 | 4,48 |
| Oktober 1998 | -12,59 | 6,88 | 12,76 |
| Oktober 2005 | -3,91 | -0,27 | 0,48 |
| Juli 2013 | 5,48 | 3,29 | 1,12 |

Meskipun asumsi-asumsi pada residual terpenuhi, namun karena parameter perubahan harga minyak dunia tidak signifikan, maka untuk selanjutnya tidak dilakukan peramalan inflasi menggunakan ARIMA fungsi transfer dengan input harga minyak dunia. Pemodelan selanjutnya hanya dilakukan dengan menggunakan ARIMA dengan deteksi *outlier* (ARIMAX) inflasi.

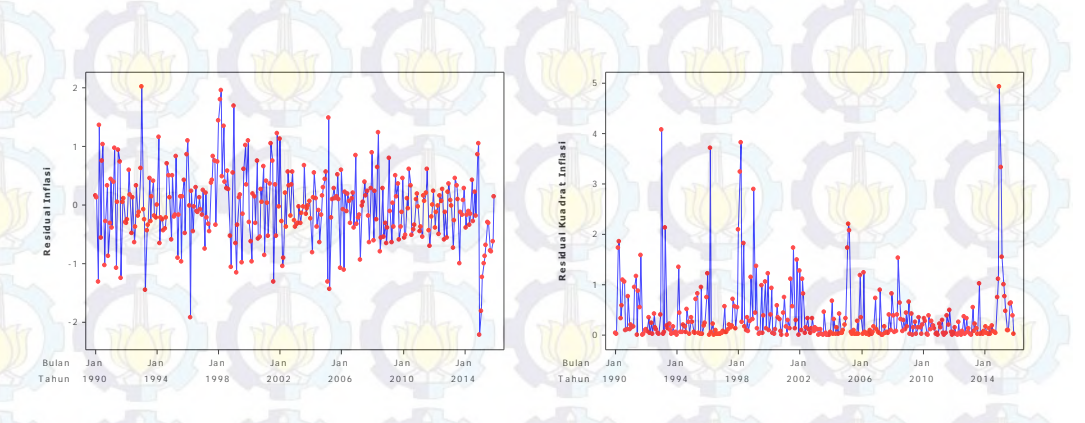
4.2.3 Model GARCH, GJR-GARCH, dan APARCH

Asumsi *white noise* dan normalitas pada data inflasi nasional telah terpenuhi. Selanjutnya ingin diketahui apakah dari model yang terbentuk, ada unsur heteroskedastisitas didalamnya. Untuk itu dilakukan uji LM dari residual dengan hasil seperti yang dijabarkan pada Tabel 4.36.

Tabel 4.36 Uji heteroskedastisitas residual model ARIMAX inflasi nasional

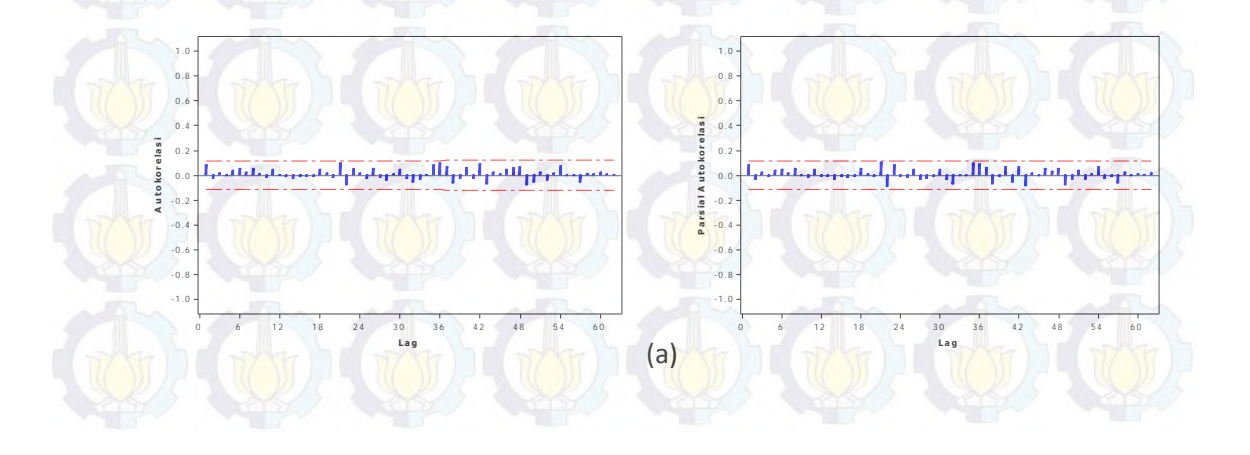
| Variabel | Chi-square | DF | p-value |
|----------------|------------|----|----------|
| Residual ARIMA | 27,8467 | 12 | 0,005825 |

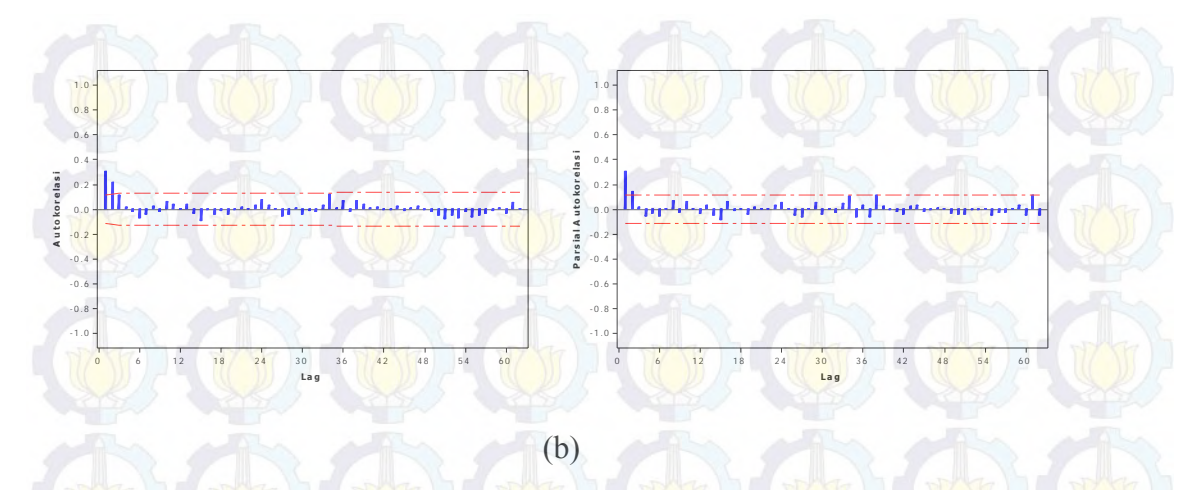
Dari tabel 4.36 diketahui bahwa hasil uji heteroskedastisitas pada residual ARIMAX inflasi memiliki *p-value* < 0,05 sehingga tolak H₀. Hal tersebut berarti ada unsur heteroskedastikas pada kuadrat residual. Untuk itu, residual pada model ARIMAX dilanjutkan dengan pemodelan GARCH untuk mengatasi masalah tersebut. Pada gambar 4.44 disajikan *series* residual dan residual kuadrat dari model ARIMAX inflasi.



Gambar 4.44 Series residual dan residual kuadrat dari model ARIMAX inflasi

Setelah diketahui bahwa data residual inflasi nasional memiliki efek ARCH, kemudian dimodelkan kedalam bentuk GARCH. Untuk itu terlebih dahulu dilakukan identifikasi terhadap model GARCH. Identifikasi GARCH dapat dilakukan melalui pengamatan terhadap plot acf dan pacf residual kuadrat. Gambar 4.27 menyajikan plot acf dan pacf dari residual dan residual kuadrat.





Gambar 4.45 (a) Plot acf dan pacf residual dan (b) plot acf dan pacf residual kuadrat dari model ARIMA inflasi

Dari gambar 4.45 (a) dapat diidentifikasi bahwa residual bersifat white noise karena tidak ada Lag yang signifikan pada plot acf. Pada gambar 4.45 (b) dapat diketahui bahwa masing-masing plot signifikan pada Lag 2. Dengan demikian model dugaan GARCH adalah ARCH(1), ARCH(2), GARCH(0,1), GARCH(0,2), GARCH(1,1), GARCH(2,1), GARCH(1,2), dan GARCH(2,2). Masing-masing model akan diestimasi dan dilakukan pengujian-pengujian untuk menentukan model terbaik.

Setelah tahap identifikasi model, kemudian dilakukan estimasi parameter masing-masing model dugaan. Model dugaan yang pertama adalah model ARCH(1).

Tabel 4.37 Uji signifikansi parameter model ARCH(1)

| Parameter | Estimasi | Standar Error | <i>t</i> -hitung | p-value |
|------------|----------|---------------|------------------|----------|
| α_0 | 0,27900 | 0,032131 | 8,6833 | 0,000000 |
| α_1 | 0,26222 | 0,099404 | 2,6379 | 0,008341 |

Dari model diketahui bahwa parameter α_0 dan α_1 memiliki nilai *p-value* yang kurang dari 0,05 sehingga dapat disimpulkan parameter-parameter tersebut signifikan. Setelah estimasi parameter dilakukan, langkah selanjutnya adalah melakukan cek diagnosa residual model. Dalam hal ini dilakukan uji asumsi

residual. Untuk melihat ada tidaknya serial korelasi didalam kuadrat residual, maka dilakukan uji *Weighted* Ljung-Box.

Tabel 4.38 Uji white noise model ARCH(1)

| Lag | Statistik Uji | p-value |
|-------------------------|---------------|---------|
| Lag[1] | 0,4241 | 0,51492 |
| Lag[2*(p+q)+(p+q)-1][2] | 1,860064 | 0,21644 |
| Lag[4*(p+q)+(p+q)-1][5] | 7,8709 | 0,03172 |

Dari tabel 4.38 dapat diketahui bahwa pada *Lag* ke-5, *p-value* kurang dari 0,05. Hal tersebut berarti bahwa masih terdapat korelasi antarkuadrat residual dari model ARCH(1). Model ARCH(1) dikatakan residualnya tidak *white noise*. Selanjutnya dilakukan pengujian atas terpenuhinya asumsi normalitas pada residualnya. Hasil ujinya disajikan dalam Tabel 4.39.

Tabel 4.39 Uji goodness of fit distribusi residual model ARCH(1)

| Grup | Statistik Uji | p-value |
|------|---------------|---------|
| 20 | 29,87 | 0,05352 |
| 30 🥠 | 48,20 | 0,01401 |
| 40 | 42,20 | 0,30637 |
| 50 | 55,33 | 0,24799 |

Berdasarkan Tabel 4.39, pada grup 30 nilai *p-value* kurang dari 0,05. Hal tersebut berarti bahwa asumsi distribusi normal ditolak. Dengan demikian maka distribusi dari residual dapat dikatakan tidak mengikuti asumsi kenormalan. Karena asumsi-asumsi pada residual tidak terpenuhi, maka tidak dilanjutkan dengan peramalan terhadap nilai sigma.

Model selanjutnya yang diduga adalah model ARCH(2). Seperti pada ARCH(1), terlebih dahulu dilakukan estimasi parameter. Hasil estimasi parameter oleh model ARCH(1) disajikan dalam Tabel 4.40.

Tabel 4.40 Uji signifikansi parameter model ARCH(2)

| Parameter | Estimasi | Standar Error | <i>t</i> -hitung | p-value |
|------------|----------|---------------|------------------|----------|
| α_0 | 0,23969 | 0,033268 | 7,2047 | 0,000000 |
| α_1 | 0,24070 | 0,101683 | 2,3672 | 0,017925 |
| α_2 | 0,13061 | 0,069452 | 1,8806 | 0,060029 |

Pada hasil estimasi parameter dalam tabel 4.40 diketahui bahwa tidak semua parameter memiliki p-value kurang dari 0,05. Parameter α_2 memiliki p-value = 0,060029 yang berarti bahwa parameter tersebut tidak signifikan pada level signifikansi 5%. Akan tetapi parameter tersebut dapat menjadi signifikan pada level signifikansi 10%. Namun demikian pada penelitian ini ditetapkan tingkat signifikansi sebesar 5%. Sehingga dengan demikian, parameter α_2 dikatakan tidak signifikan. Karena berdasarkan estimasi parameternya yang tidak signifikan, maka tidak perlu dilakukan pengujian asumsi pada residual.

Model dugaan ketiga adalah model GARCH(0,1). Model tersebut memiliki dua parameter yaitu α_0 dan β_1 . Untuk itu dilakukan estimasi parameter dan uji signifikansi parameter yang terbentuk. Hasil uji signifikansi parameter disajikan pada Tabel 4.41

Tabel 4.41 Uji signifikansi parameter model GARCH(0,1)

| Parameter | Estimasi | Standar Error | <i>t</i> -hitung | p-value |
|------------|----------|---------------|------------------|---------|
| α_0 | 0,00000 | 0,000103 | 6,0000e-06 | 0,99999 |
| β_1 | 0,99889 | 0,000783 | 1,2762e+03 | 0,00000 |

Pada Tabel 4.41, diketahui bahwa parameter α_0 memiliki *p-value* lebih dari 0,05. Sehingga dapat disimpulkan pada level signifikansi 5%, parmeter tersebut tidak signifikan. Seperti pada model sebelumnya, model ini tidak dilanjutkan dengan pengujian terhadap pemenuhan asumsi residual.

Selanjutnya dilakukan pemodelan GARCH(0,2). Hasil estimasi parameter oleh model GARCH(0,2) disajikan dalam Tabel 4.42.

Tabel 4.42 Uji signifikansi parameter model GARCH(0,2)

| Parameter | Estimasi | Standar Error | <i>t</i> -hitung | p-value |
|------------|----------|---------------|------------------|---------|
| α_0 | 0,00000 | 0,000135 | 0,00 | 1717 |
| eta_1 | 0,45754 | 0,000809 | 565,40 | 0,00000 |
| β_2 | 0,54074 | 0,000802 | 674,58 | 0,00000 |

Seperti halnya pada GARCH(0,1), pada model GARCH(0,2) dapat diketahui bahwa parameter α_0 memiliki p-value > 0,05. Sehingga dapat disimpulkan pada level signifikansi 5%, parmeter tersebut tidak signifikan.

Model dugaan berikutnya adalah model GARCH(1,1). Model GARCH tersebut dilakukan estimasi parameter dan uji signifikansi parameter pada level signifikansi 5%. Hasil uji signifikansi disajikan dalam Tabel 4.43.

Tabel 4.43 Uji signifikansi parameter model GARCH(1,1)

| Parameter | Estimasi | Standar Error | <i>t</i> -hitung | p-value |
|------------------|----------|---------------|------------------|----------|
| α_0 | 0,10862 | 0,036863 | 2,9465 | 0,003214 |
| α_1 | 0,27375 | 0,090499 | 3,0249 | 0,002487 |
| eta_1 | 0,44621 | 0,127648 | 3,4956 | 0,000473 |

Dari Tabel 4.43, dapat diketahui hasil estimasi parameter dimana semua parameter bernilai positif. Persistensi dari model GARCH(1,1) atau ($\alpha_1 + \beta_1$) dapat diketahui yaitu sebesar 0,71996 (persistensi bersifat moderat). Dari hasil estimasi parameter, kemudian diuji signifikansinya pada level signifikansi 5%. Semua parameter memiliki *p-value* kurang dari 0,05. Hal tersebut berarti bahwa parameter-parameter dalam model GARCH(1,1) signifikan pada tingkat signifikansi 5%.

Setelah uji signifikansi parameter dilakukan, kemudian dilakukan cek diagnosa asumsi residual. Pada Tabel 4.44 disajikan uji weighted Ljung-Box.

Tabel 4.44 Uji *Ljung-Box* model GARCH(1,1)

| Lag | Statistik Uji | p-value |
|-------------------------|---------------|---------|
| Lag[1] | 0,05186 | 0,8199 |
| Lag[2*(p+q)+(p+q)-1][5] | 1,24583 | 0,8020 |
| Lag[4*(p+q)+(p+q)-1][9] | 3,19320 | 0,7267 |

Berdasarkan tabel 4.44, pada Lag-Lag yang diuji, seluruhnya memiliki p-value > 0,05. Hal tersebut menjelaskan bahwa tidak cukup bukti untuk menyatakan bahwa terdapat serial korelasi pada kuadrat residual model GARCH(1,1).

Pengujian asumsi selanjutnya adalah asumsi normalitas residual.

Pengujian ini dapat dilakukan melalui *goodness of fit* seperti yang disajikana dalam tabel 4.45.

Tabel 4.45 Uji goodness of fit distribusi residual model GARCH(1,1)

| Grup | Statistik Uji | p-value |
|------|---------------|---------|
| 20 | 30,00 | 0,0518 |
| 30 | 34,00 | 0,2393 |
| 40 | 41,07 | 0,3801 |
| 50 | 47,33 | 0,5409 |

Tabel 4.45 merupakan tabel yang menguji kelayakan dari distribusi. Dalam hal ini dalam estimasi telah diasumsikan residual berdistribusi normal. Untuk itu, berdasarkan tabel tersebut menunjukkan bahwa dari setiap grup memiliki *p-value* > 0,05. Hal tersebut berarti bahwa tidak cukup bukti untuk menyatakan bahwa residual dari model GARCH(1,1) tidak berdistribusi normal.

Selanjutnya dilakukan pengujian ARCH LM untuk mengetahui apakah residual model GARCH(1,1) masih mengandung efek ARCH atau tidak. Hasil pengujian efek ARCH dinyatakan dalam Tabel 4.47.

Tabel 4.46 Uji ARCH LM residual model GARCH(1,1)

| Lag | Statistik Uji | p-value |
|-------------|---------------|---------|
| ARCH Lag[3] | 1,849 | 0,1738 |
| ARCH Lag[5] | 1,989 | 0,4736 |
| ARCH Lag[7] | 3,890 | 0,3627 |

Dari Tabel 4.46 diketahui bahwa seluruh *p-value* memiliki nilai lebih besar daripada 0,05. Hal tersebut berarti residual dari GARCH(1,1) sudah tidak mengandung heteroskedastisitas atau tidak ada efek ARCH *Lagi*. Untuk itu tidak perlu dilakukan estimasi parameter model untuk orde yang lebih tinggi. Akan tetapi, sesuai dengan model dugaan awal, maka dalam penelitian ini, selanjutnya tetap akan dilakukan estimasi pada orde yang lebih tinggi.

Tabel 4.47 Uji asimterik residual model GARCH(1,1)

| Uji | Statistik Uji | p-value |
|--------------------------|---------------|---------|
| Sig <mark>n B</mark> ias | 0,4394 | 0,6607 |
| Negative Sign Bias | 1,5076 | 0,1327 |
| Positive Sign Bias | 0,9940 | 0,3210 |
| Joint Effect | 5,4765 | 0,1401 |

Berdasarkan Tabel 4.47, diketahui bahwa semua *p-value* memiliki nilai lebih besar dari 0,05. Dengan demikian dapat disimpulkan bahwa tidak cukup bukti untuk menyatakan bahwa terdapat efek asimetrik pada residual model GARCH(1,1). Sehingga dapat dikatakan bahwa pemodelan penanganan heteroskedastisitas ARIMAX inflasi ini cukup dilakukan dengan GARCH simetrik. Model GARCH(1,1) berdasarkan hasil estimasi diatas, dituliskan:

$$\sigma_t^2 = \alpha_0 + \alpha_1 \varepsilon_{t-1}^2 + \beta_1 \sigma_{t-1}^2$$

atau

$$\sigma_t^2 = 0.10862 + 0.27375\varepsilon_{t-1}^2 + 0.44621\sigma_{t-1}^2$$

Selanjutnya dilakukan estimasi parameter model dugaan GARCH(1,2). Hasil estimasi parameter dan uji signifikansi parameter dapat dilihat pada Tabel 4.48.

Tabel 4.48 Uji signifikansi parameter model GARCH(1,2)

| Parameter | Estimasi | Standar Error | <i>t</i> -hitung | p-value |
|------------|----------|---------------|------------------|----------|
| α_0 | 0,10446 | 0,034985 | 2,9858 | 0,002828 |
| α_1 | 0,27846 | 0,082258 | 3,3852 | 0,000711 |
| β_1 | 0,45149 | 0,362670 | 1,2449 | 0,213166 |
| eta_2 | 0,00000 | 0,346573 | 0,0000 | 1,000000 |

Pada tabel 4.48, diketahui bahwa parameter β_1 dan β_2 memiliki *p-value* lebih dari 0,05. Sehingga dapat disimpulkan pada level signifikansi 5%, parameter tersebut tidak signifikan. Seperti pada model GARCH sebelumnya yang parameternya tidak signifikan, model ini tidak dilanjutkan dengan pengujian terhadap pemenuhan asumsi residual.

Model dugaan berikutnya adalah GARCH(2,1). Hasil estimasi parameter dan uji signifikansi parameter dapat dilihat pada Tabel 4.49.

Tabel 4.49 Uji signifikansi parameter model GARCH(2,1)

| Parameter | Estimasi | Standar Error | <i>t</i> -hitung | p-value |
|------------|----------|---------------|------------------|----------|
| α_0 | 0,111738 | 0,055167 | 2,02544 | 0,042822 |
| α_1 | 0,270019 | 0,103427 | 2,61073 | 0,009035 |
| α_2 | 0,022228 | 0,129961 | 0,17104 | 0,864194 |
| eta_1 | 0,418352 | 0,225591 | 1,85447 | 0,063671 |

Berdasarkan Tabel 4.49, diketahui bahwa parameter β_1 dan α_2 memiliki pvalue lebih dari 0,05. Sehingga dapat disimpulkan pada level signifikansi 5%,
parameter tersebut tidak signifikan. Seperti pada model GARCH sebelumnya
yang parameternya tidak signifikan, model ini tidak dilanjutkan dengan pengujian
terhadap pemenuhan asumsi residual. Model dugaan selanjutnya adalah
GARCH(2,2). Hasil estimasi parameternya dapat dilihat pada Tabel 4.50.

Tabel 4.50 Uji signifikansi parameter model GARCH(2,2)

| Parameter | Estimasi | Standar Error | <i>t</i> -hitung | p-value |
|------------|----------|---------------|------------------|----------|
| α_0 | 0,111739 | 0,051965 | 2,15026 | 0,031535 |
| α_1 | 0,270021 | 0,101273 | 2,66627 | 0,007670 |
| α_2 | 0,022232 | 0,119966 | 0,18532 | 0,852980 |
| β_1 | 0,418347 | 0,354933 | 1,17866 | 0,238532 |
| β_2 | 0,000000 | 0,303517 | 0,00000 | 1,000000 |

Pada Tabel 4.50, diketahui bahwa parameter α_2 , β_1 , dan β_2 memiliki *p-value* lebih dari 0,05. Sehingga dapat disimpulkan pada level signifikansi 5%, parameter tersebut tidak signifikan. Hal tersebut konsisten dengan pengujian ARCH LM pada model GARCH(1,1) yang menyatakan residual model sudah tidak mengandung efek ARCH. Sehingga orde selanjutnya tidak perlu diestimasi. Seperti pada model GARCH sebelumnya yang parameternya tidak signifikan, model ini tidak dilanjutkan dengan pengujian terhadap pemenuhan asumsi residual. Dari seluruh model dugaan, dapat ditentukan model terbaik yang digunakan untuk peramalan volatilitas.

Tabel 4.51 Ringkasan hasil uji signifikansi parameter model GARCH

| Model | Signifikansi Parameter |
|------------|------------------------|
| ARCH(1) | Signifikan |
| ARCH(2) | Tidak Signifikan |
| GARCH(0,1) | Tidak Signifikan |
| GARCH(0,2) | Tidak Signifikan |
| GARCH(1,1) | Signifikan |
| GARCH(1,2) | Tidak Signifikan |
| GARCH(2,1) | Tidak Signifikan |
| GARCH(2,2) | Tidak Signifikan |

Dari delapan model ARCH/GARCH simetrik yang diuji signifikansinya, hanya dua model yang parameternya signifikan yaitu ARCH(1) dan GARCH(1,1). Namun dari hasil uji asumsi residual, hanya GARCH(1,1) yang merupakan model yang layak digunakan untuk peramalan. Sehingga dalam penelitian ini GARCH(1,1) merupakan model GARCH simetrik terbaik.

Selanjutnya model GARCH(1,1) akan dibandingkan dengan dua model GARCH asimetrik yaitu GJR-GARCH(1,1) dan APARCH(1,1). Dari hasil uji asimetrik sebelumnya, diketahui bahwa residual GARCH(1,1) tidak memiliki efek asimetris. Hal tersebut berarti bahwa residual ARIMAX inflasi nasional cukup dimodelkan dengan GARCH(1,1). Akan tetapi, melihat hasil yang diperoleh dari simulasi untuk mengetahui *power* uji asimetrik, bahwa power uji asimetrik tidak terlalu baik yakni kurang dari 50% mampu mendeteksi efek asimetrik, maka dalam penelitian ini tetap akan dilakukan estimasi model GJR-GARCH(1,1) dan APARCH(1,1) untuk melihat performa GARCH asimetrik dibandingkan dengan GARCH simetrik.

Tabel 4.52 Uji signifikansi parameter model GJR-GARCH(1,1)

| Parameter | Estimasi | Standar Error | <i>t</i> -hitung | p-value |
|--------------------|-----------|---------------|------------------|---------|
| α_0 | 0,008039 | 0,001822 | 4,4123 | 0,00001 |
| α_1 | 0,059929 | 0,002537 | 23,6252 | 0,00000 |
| $oldsymbol{eta_1}$ | 0,983048 | 0,000049 | 19932,2919 | 0,00000 |
| γ_1 | -0,137499 | 0,004378 | -31,4047 | 0,00000 |

Dari tabel 4.52, dapat diketahui hasil estimasi parameter dimana tidak semua parameter bernilai positif. Parameter γ_1 memiliki nilai estimasi negatif. Parameter γ_1 merupakan leverage effect atau parameter asimetrik dari model GARCH. Hal tersebut sejalan dengan penelitian dari Rizvi et al. (2014) yang meneliti tentang inflasi di Asia. Rizvi et al. (2014) menyatakan bahwa efek leverage oleh inflasi di Indonesia bernilai negatif. Hal tersebut mengindikasikan bahwa shocks inflasi yang negatif (good news) pada waktu ke-t mampu menurunkan inflasi pada periode berikutnya. Jadi, dapat dikatakan bahwa shock

negatif dari inflasi lebih berpengaruh terhadap volatilitas inflasi daripada *shock* yang positif dari inflasi (*bad news*). Seperti halnya yang terjadi di negara Pakistan, China, Thailand dan India (Rizvi *et al.*, 2014).

Dari hasil estimasi parameter, kemudian diuji signifikansinya pada level signifikansi 5%. Semua parameter memiliki *p-value* kurang dari 0,05. Hal tersebut berarti bahwa parameter-parameter dalam model GJR-GARCH(1,1) signifikan pada tingkat signifikansi 5%.

Setelah uji signifikansi parameter dilakukan, kemudian dilakukan cek diagnosa asumsi residual. Pada Tabel 4.54 disajikan uji Ljung-Box.

Tabel 4.53 Uji Ljung-Box model GJR-GARCH(1,1)

| Lag | Statistik Uji | p-value |
|---------------------------------|---------------|----------|
| Lag[1] | 7,586 | 0,005883 |
| <i>Lag</i> [2*(p+q)+(p+q)-1][5] | 9,047 | 0,016102 |
| Lag[4*(p+q)+(p+q)-1][9] | 11,600 | 0,022346 |

Berdasarkan Tabel 4.53, pada *Lag-Lag* yang diuji, seluruhnya memiliki *p-value* kurang dari 0,05. Hal tersebut menjelaskan bahwa terdapat serial korelasi pada kuadrat residual model GJR-GARCH(1,1). Pengujian asumsi selanjutnya adalah asumsi normalitas residual. Pengujian ini dapat dilakukan melalui *goodness of fit* seperti yang disajikan dalam Tabel 4.54.

Tabel 4.54 Uji goodness of fit distribusi residual model GJR-GARCH(1,1)

| Grup | Statistik Uji | p-value |
|------|---------------|---------|
| 20 | 22,40 | 0,26480 |
| 30 | 28,20 | 0,50724 |
| 40 | 54,40 | 0,05163 |
| 50 | 80,33 | 0,00316 |

Tabel 4.54 menunjukkan bahwa terdapat satu grup memiliki *p-value* kurang dari 0,05. Hal tersebut berarti bahwa residual dari model GJR-GARCH(1,1) tidak berdistribusi normal.

Selanjutnya dilakukan pengujian ARCH LM untuk mengetahui apakah residual model GJR-GARCH(1,1) masih mengandung efek ARCH atau tidak. hasil pengujian efek ARCH dinyatakan dalam Tabel 4.55.

Tabel 4.55 Uji ARCH LM residual model GJR-GARCH(1,1)

| Lag | Statistik Uji | p-value |
|---------------------|---------------|---------|
| ARCH Lag[3] | 1,474 | 0,2247 |
| ARCH Lag[5] | 1,730 | 0,5340 |
| ARCH <i>Lag</i> [7] | 4,377 | 0,2954 |

Dari Tabel 4.55 diketahui bahwa seluruh *p-value* memiliki nilai lebih besar daripada 0,05. Hal tersebut berarti residual dari GJR-GARCH(1,1) sudah tidak mengandung heteroskedastisitas atau tidak ada efek ARCH *Lag*i. Untuk itu tidak perlu dilakukan estimasi parameter model untuk orde yang lebih tinggi.

Model asimetrik lainnya adalah model APARCH(1,1). Model tersebut terdiri dari lima parameter yang akan diestimasi. Hasil estimasi parameter maupun uji signifikansi model APARCH(1,1) disajikan dalam Tabel 4.56.

Tabel 4.56 Uji signifikansi parameter model APARCH(1,1)

| Parameter | Estimasi | Standar Error | <i>t</i> -hitung | p-value | |
|------------|----------|---------------|------------------|----------|--|
| α_0 | 0,11997 | 0,043026 | 2,7882 | 0,005300 | |
| α_1 | 0,18556 | 0,041502 | 4,4711 | 0,000008 | |
| eta_1 | 0,65268 | 0,118712 | 5,4980 | 0,000000 | |
| γ_1 | -1,00000 | 0,002159 | -463,1767 | 0,000000 | |
| δ_1 | 0,98428 | 0,432467 | 2,2760 | 0,022848 | |

Seperti halnya pada model GJR-GARCH, dari Tabel 4.57 dapat diketahui hasil estimasi parameter dimana tidak semua parameter bernilai positif. Parameter γ_1 memiliki nilai estimasi negatif. Parameter γ_1 merupakan leverage effect atau

parameter asimetrik dari model GARCH. Seperti yang dikemukakan sebelumnya, hal tersebut sejalan dengan penelitian dari Rizvi *et al.* (2014) yang meneliti tentang inflasi di Asia. Rizvi *et al.* (2014) menyatakan bahwa efek *leverage* oleh inflasi di Indonesia bernilai negatif. Hal tersebut mengindikasikan bahwa *shocks* inflasi yang negatif (*good news*) pada waktu ke-*t* mampu menurunkan inflasi pada periode berikutnya. Jadi, dapat dikatakan bahwa *shock* negatif dari inflasi lebih berpengaruh terhadap volatilitas inflasi daripada *shock* yang positif dari inflasi (*bad news*). Meskipun kedua model asimetrik memberikan tanda koefisien estimasi yang sama, namun nilainya berbeda. Nilai estimasi efek asimetrik APARCH(1,1) lebih besar yaitu -1,00 sedangkan pada GJR-GARCH(1,1) -0.14.

Dari hasil estimasi parameter, kemudian diuji signifikansinya pada level signifikansi 5%. Semua parameter memiliki *p-value* kurang dari 0,05. Hal tersebut berarti bahwa parameter-parameter dalam model APARCH(1,1) signifikan pada tingkat signifikansi 5%.

Setelah uji signifikansi parameter dilakukan, kemudian dilakukan cek diagnosa asumsi residual. Pada Tabel 4.57 disajikan uji Ljung-Box.

Tabel 4.57 Uji Ljung-Box model APARCH(1,1)

| Lag | Statistik Uji | p-value |
|-------------------------|---------------|---------|
| Lag[1] | 0,5966 | 0,4399 |
| Lag[2*(p+q)+(p+q)-1][5] | 1,3997 | 0,7645 |
| Lag[4*(p+q)+(p+q)-1][9] | 2,7676 | 0,7966 |

Berdasarkan Tabel 4.57, pada *Lag-Lag* yang diuji, seluruhnya memiliki *p-value* kurang dari 0,05. Hal tersebut menjelaskan bahwa tidak cukup bukti untuk mengatakan bahwa terdapat serial korelasi pada kuadrat residual model APARCH(1,1).

Pengujian asumsi selanjutnya adalah asumsi normalitas residual. Pengujian ini dapat dilakukan melalui *goodness of fit* seperti yang disajikan dalam Tabel 4.58.

Tabel 4.58 Uji Ljung-Box model APARCH(1,1)

| Grup | Statistik Uji | p-value | |
|------|---------------|---------|--|
| 20 | 14,80 | 0,7352 | |
| 30 | 22,40 | 0,8033 | |
| 40 | 26,67 | 0,9333 | |
| 50 | 35,67 | 0,9228 | |

Tabel 4.58 merupakan tabel yang menguji kelayakan dari distribusi. Dalam hal ini dalam estimasi telah diasumsikan residual berdistribusi normal. Untuk itu, berdasarkan tabel tersebut menunjukkan bahwa dari setiap grup memiliki *p-value* kurang dari 0,05. Hal tersebut berarti bahwa tidak cukup bukti untuk menyatakan bahwa residual dari model APARCH(1,1) tidak berdistribusi normal.

Selanjutnya dilakukan pengujian ARCH LM untuk mengetahui apakah residual model APARCH(1,1) masih mengandung efek ARCH atau tidak. hasil pengujian efek ARCH dinyatakan dalam Tabel 4.59.

Tabel 4.59 Uji ARCH LM residual model APARCH(1,1)

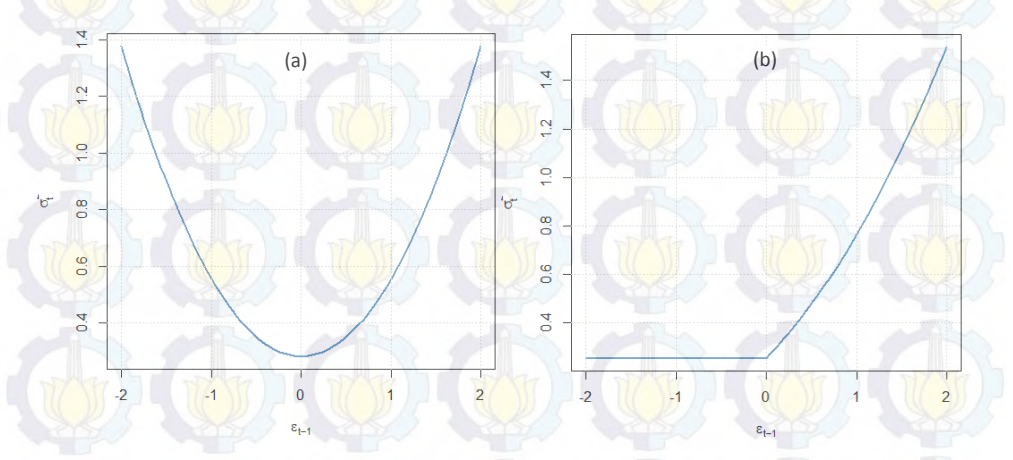
| Lag | Statistik Uji | p-value | |
|---------------------|---------------|---------|--|
| ARCH Lag[3] | 0,2145 | 0,6433 | |
| ARCH <i>Lag</i> [5] | 0,5550 | 0,8673 | |
| ARCH Lag[7] | 1,8639 | 0,7461 | |

Pada Tabel 4.59 diketahui bahwa seluruh *p-value* memiliki nilai lebih besar daripada 0,05. Hal tersebut berarti residual dari APARCH(1,1) sudah tidak mengandung heteroskedastisitas atau tidak ada efek ARCH *Lag*i. Untuk itu tidak perlu dilakukan estimasi parameter model untuk orde yang lebih tinggi. Model APARCH(1,1) berdasarkan hasil estimasi diatas adalah sebagai berikut:

$$\sigma_t^{\delta} = \alpha_0 + \sum_{i=1}^p \alpha_1 (|\varepsilon_{t-1}| - \gamma_i \varepsilon_{t-1})^{\delta} + \sum_{j=1}^q \beta_j \sigma_{t-1}^{\delta}$$

$$\sigma_t = 0.11997 + 0.18556(|\varepsilon_{t-1}| + \varepsilon_{t-1}) + 0.65268 \sigma_{t-1}$$

Dari hasil pemodelan GARCH(1,1) dan APARCH(1,1), dapat dilihat hubungan antara *shock* dan varians yaitu sebagai berikut:



Gambar 4.46 News impact curve model (a) GARCH(1,1) dan (b) APARCH(1,1)

ARIMAX inflasi

Dari Gambar 4.46, dapat dilihat bahwa model GARCH(1,1) pada data inflasi menunjukkan kurva yang simetrik antara ε_{t-1} dan σ_t^2 . Sementara itu pada kurva model APARCH(1,1), tampak tidak asimetrik, dimana ε_{t-1} (*shock*) positif cenderung lebih besar dampaknya terhadap volatilitas varians daripada (*shock*) negatif.

Berdasarkan hasil estimasi GARCH(1,1) menggunakan data *in-sample*, diperoleh nilai AIC sebesar 1,7813. Sementara itu, AIC dari estimasi APARCH(1,1) diperoleh sebesar 1,7142. Bila dibandingkan kedua model tersebut menggunakan data *in-sample*, maka model APARCH(1,1) lebih baik dibandingkan dengan GARCH(1,1) karena memiliki nilai AIC yang lebih kecil.

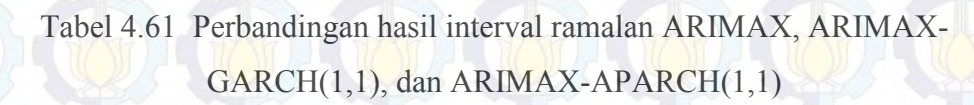
Dari hasil pemodelan GARCH dengan simetrik maupun asimetrik, diketahui bahwa hanya GARCH(1,1) dan APARCH(1,1) yang memenuhi syarat untuk dilakukan peramalan *standard error*. Peramalan *standard error* dalam hal ini akan digunakan untuk peramalan inflasi melalui *confidence interval*.



Tabel 4.60 Perbandingan hasil ramalan standar deviasi pada GARCH(1,1) dan APARCH(1,1)

| Bulan | Ramalan Standard Error Model ARIMAX- GARCH(1,1) | Ramalan Standard Error Model ARIMAX- GARCH(1,1) | Ramalan Standard Error Model ARIMAX- APARCH(1,1) | |
|-----------|--|--|---|--|
| Januari | 0,6354 | 0,8080 | 1,0184 | |
| Februari | 0,7834 | 0,7607 | 0,9324 | |
| Maret | 0,8503 | 0,7247 | 0,8638 | |
| April | 0,9245 | 0,6977 | 0,8090 | |
| Mei | 0,9891 | 0,6775 | 0,7653 | |
| Juni | 1,0391 | 0,6627 | 0,7304 | |
| Juli | 1,0818 | 0,6517 | 0,7025 | |
| Agustus | 1,1189 | 0,6438 | 0,6803 | |
| September | 1,1301 | 0,6380 | 0,6625 | |
| Oktober | 1,1340 | 0,6337 | 0,6483 | |
| November | 1,1459 | 0,6307 | 0,6370 | |
| Desember | 1,1492 | 0,6285 | 0,6279 | |

Ramalan data merupakan data Januari s.d. Desember 2015. Rata-rata dari ramalan sigma pada model ARMAX sebesar 0,99848, lebih besar dibandingkan rata-rata ramalan sigma pada model ARMAX-GARCH(1,1) dan ARMAX-APARCH(1,1) yang masing-masing sebesar 0,67981 dan 0,75648. Sigma dari model ARMAX-GARCH(1,1) lebih kecil daripada ARMAX-APARCH(1,1) dan ARMAX. Tentunya pendugaan inflasi melalui selang kepercayaan pada model ARMAX-GARCH(1,1) memiliki interval paling pendek dibandingkan dengan dua model lainnya.



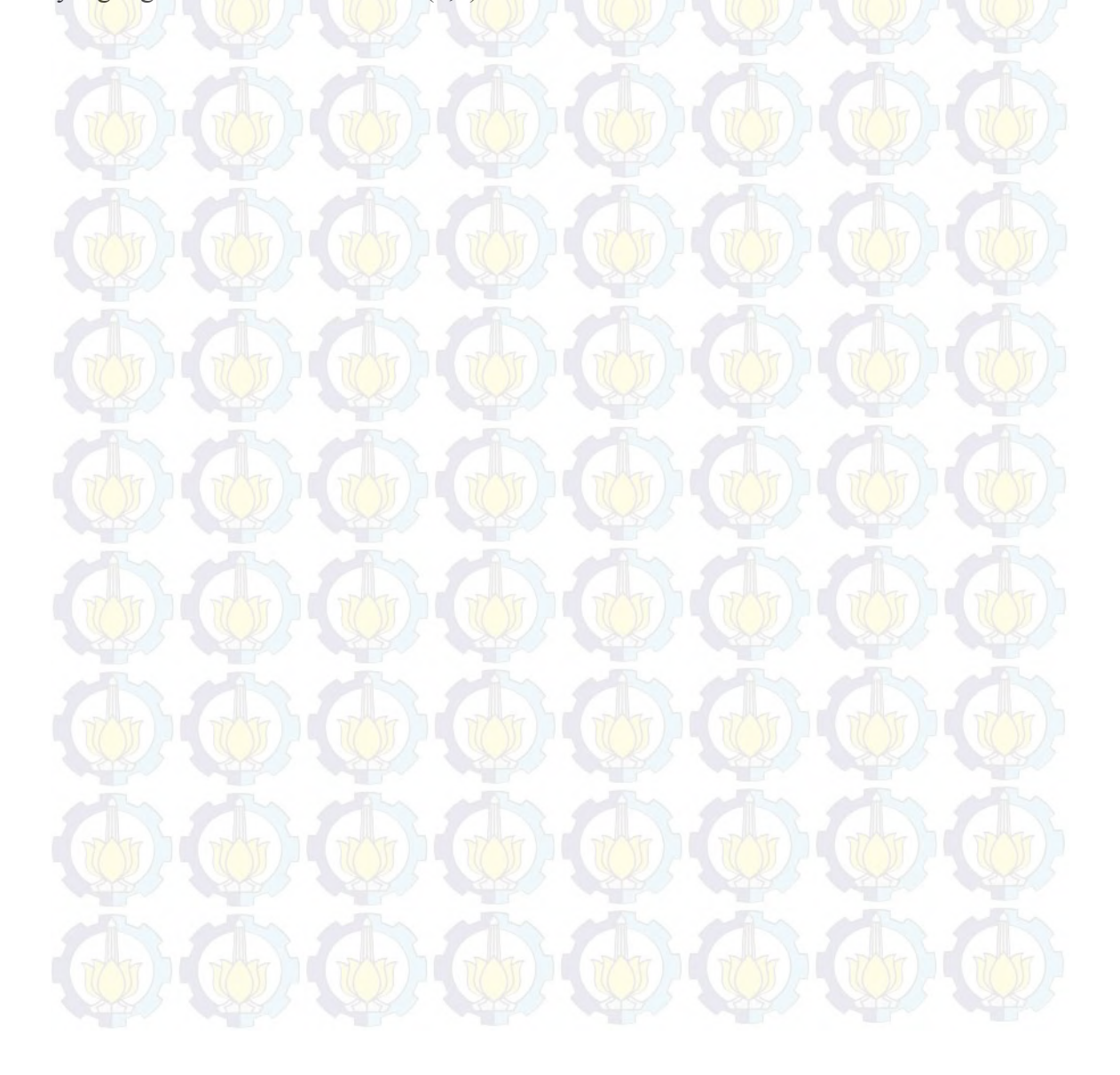
| Bulan | Inflasi ARIMAX | | ARIN GARC | | ARIMAX- APARCH(1,1) | | |
|-------|----------------|----------|--------------|-----------|------------------------|-----------|----------|
| | Aktual | BB | BA | BB | BA | BB | BA |
| 1 | -0,24 | 0,7588 | 3,2496 | 0,42052 | 3,58788 | 0,008136 | 4,000264 |
| 2 | -0,36 | 0,02581 | 3,0968 | 0,070328 | 3,052272 | -0,266204 | 3,388804 |
| 3 | 0,17 | -0,23228 | 3,1008 | 0,013788 | 2,854612 | -0,258848 | 3,127248 |
| 4 | 0,36 | -0,44816 | 3,1758 | -0,003692 | 2,731292 | -0,22184 | 2,94944 |
| 5 | 0,5 | -0,59814 | 3,2792 | 0,0126 | 2,6684 | -0,159488 | 2,840488 |
| 6 | 0,54 | -0,91486 | 3,1584 | -0,177092 | 2,420692 | -0,309784 | 2,553384 |
| 7 | 0,93 | -1,02049 | 3,22 | -0,177532 | 2,377132 | -0,2771 | 2,4767 |
| 8 | 0,39 | -1,64419 | 2,7419 | -0,712948 | 1,810748 | -0,784488 | 1,882288 |
| 9 | -0,05 | -1,64859 | 2,7813 | -0,68418 | 1,81678 | -0,7322 | 1,8648 |
| 10 | -0,08 | -1,6533 | 2,7918 | -0,672852 | 1,811252 | -0,701468 | 1,839868 |
| 11 | 0,21 | -1,5986 | 2,8933 | -0,588872 | 1,883472 | -0,60122 | 1,89582 |
| 12 | 0,96 | -1,44246 | 3,0624 | -0,42196 | 2,04176 | -0,420784 | 2,040584 |



Gambar 4.47 Ramalan interval inflasi Januari-Desember 2015

Pada data *out-sample* digunakan untuk perbandingan nilai ramalan menggunakan *confidence interval*. Dari Tabel 4.62 dapat diketahui bahwa hasil ramalan baik dengan menggunakan ARMAX, ARMAX-GARCH(1,1), maupun ARMAX-APARCH(1,1) menggunakan selang kepercayaan 95%, memberikan ketepatan yang sama dalam ramalan selang kepercayaan yang memuat nilai inflasi

yaitu 83,33 persen. Rata-rata panjang selang interval ramalan inflasi antara ARMAX, ARMAX-GARCH(1,1), dan APARCH-GARCH masing-masing adalah 3,91, 2,66, dan 2,97. Hal tersebut berarti ARMAX-GARCH memberikan selang kepercayaan yang paling pendek dibandingkan dengan ARMAX maupun ARMAX-APARCH(1,1). Demikian pula ARMAX-APARCH(1,1) memberikan selang kepercayaan yang cenderung lebih pendek dibandingkan ramalan dengan menggunakan ARMAX. Jika dibandingkan antara ARMAX-GARCH(1,1) dan ARMAX-APARCH(1,1), ARMAX-GARCH(1,1) memberikan selang kepercayaan yang cenderung lebih pendek. Hal tersebut disebabkan data residual inflasi merupakan data simetrik GARCH, sehingga lebih tepat jika peramalan yang digunakan adalah GARCH(1,1).



BAB 5

KESIMPULAN DAN SARAN

5.1 Kesimpulan

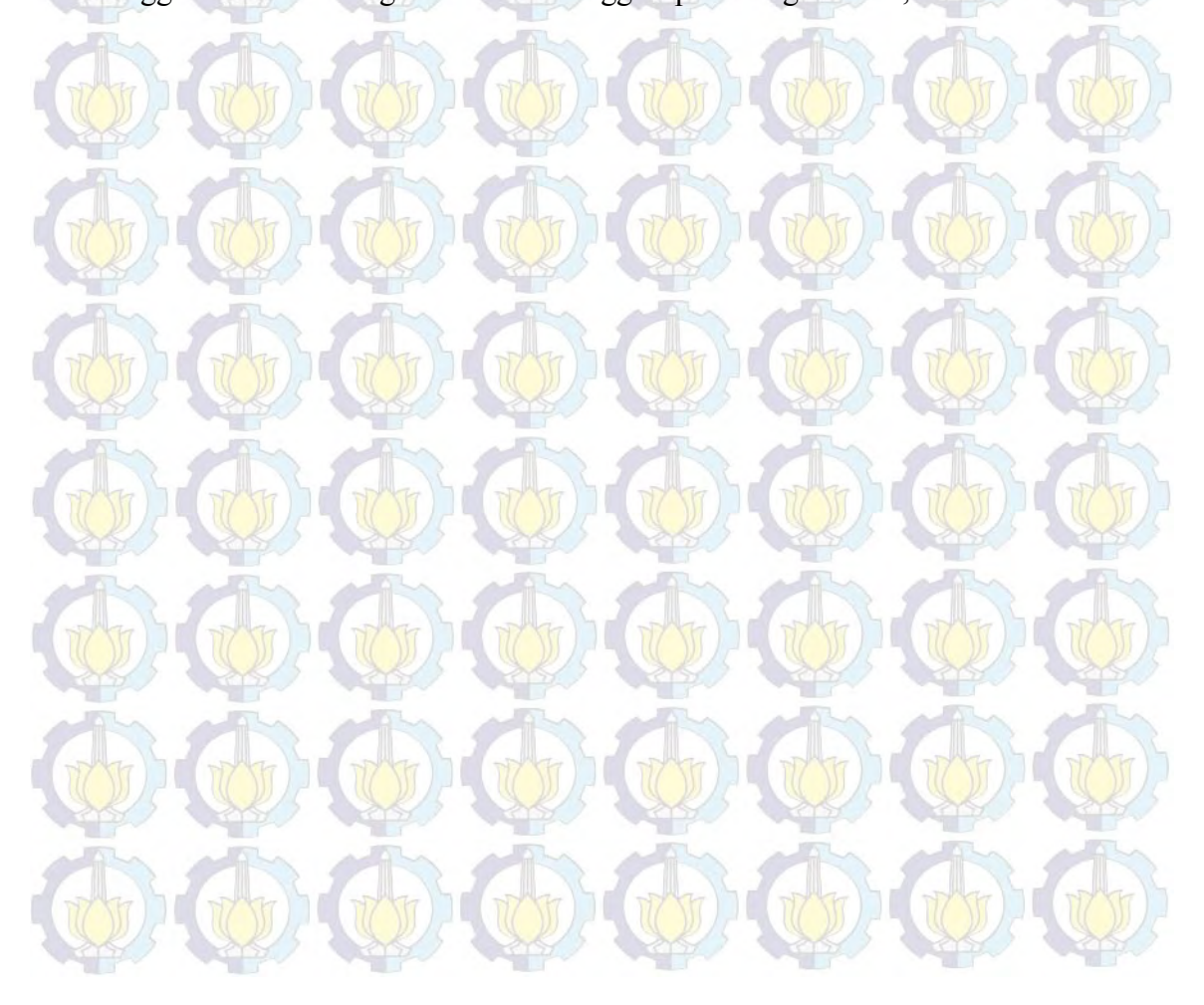
Beberapa kesimpulan yang dapat diambil berdasarkan pembahasan yang telah diuraikan sebelumnya dan merujuk pada tujuan penelitian, yaitu:

- 1. Berdasarkan skenario studi simulasi, pada data bangkitan GARCH(1,1), baik untuk sampel kecil maupun sampel besar pada data *in-sample*, menghasilkan kesimpulan yang sama, yaitu model GARCH(1,1) lebih baik daripada model GJR-GARCH(1,1) dan APARCH(1,1). Pada data bangkitan GJR-GARCH(1,1), baik untuk sampel kecil maupun sampel besar pada data *in-sample*, menghasilkan kesimpulan yang sama, yaitu model GJR-GARCH(1,1) lebih baik daripada model GARCH(1,1) dan APARCH(1,1). Pada data bangkitan APARCH(1,1), model APARCH(1,1) tidak selalu lebih baik daripada model GARCH lainnya. *Power* uji asimetrik kurang dari 50% pada sampel kecil (200) maupun besar (1.000) dalam mendeteksi efek asimetrik. *Power* akan lebih baik pada jumlah sampel yang besar dibandingkan sampel kecil. Ketiga model GARCH(1,1) menunjukkan *size* yang mendekati level signifikansinya.
- 2. Data inflasi nasional mengikuti model GARCH. Pada data *in-sample*, berdasarkan nilai AIC, model ARIMAX-APARCH(1,1) lebih baik daripada ARIMAX-GARCH(1,1). Peramalan menggunakan ARIMAX, ARIMAX-GARCH(1,1), dan ARIMAX-APARCH(1,1) memberikan ketepatan yang sama dalam memuat nilai inflasi pada data *out-sample* yaitu sebesar 83,33%. Pemodelan dan peramalan terbaik adalah menggunakan metode ARIMAX-GARCH(1,1) karena akan memberikan selang kepercayaan pendugaan inflasi yang lebih pendek dibandingkan dengan ARIMAX dan ARIMAX-APARCH(1,1). Rata-rata *standard error* pada model ramalan ARIMAX sebesar 0,99848, lebih besar dibandingkan rata-rata *standard error* pada model ramalan ARMAX-GARCH(1,1) dan ARMAX-APARCH(1,1) yang masing-masing sebesar 0,67981 dan 0,75648.

5.2 Saran

Berdasarkan hasil analisis serta kesimpulan tersebut, maka dapat dirumuskan beberapa saran untuk penyempurnaan berkelanjutan dari hasil penelitian ini sebagai berikut:

- 1. Penelitian berikutnya dapat memfokuskan kepada model GARCH lainnya dengan skenario simulasi yang lebih beragam.
- 2. Penelitian dapat dilakukan pada GARCH yang tidak berdistribusi normal menggunakan bermacam-macam distribusi statistik.
- 3. Perlu dilakukan perbandingan dengan metode lainnya, apakah metode GARCH simetrik dan asimetrik ini cukup baik dalam peramalan angka inflasi.
- 4. Dapat digunakan analisis multivariat GARCH dengan melibatkan variabelvariabel tertentu yang berkaitan dengan inflasi.
- 5. Untuk melihat akurasi peramalan volatilitas yang lebih baik, maka sebaiknya menggunakan data dengan volatilitas tinggi seperti harga saham, dll.



DAFTAR PUSTAKA

- Affandi, Tricahyo. (2014). Pemodelan Vector Autoregressive (VAR) dan Generalize Space Time Autoregressive (GSTAR) Data Inflasi di Kota Jayapura, Kota Sorong, dan Kabupaten Manokwari, Tesis, Institut Teknologi Sepuluh Nopember, Surabaya.
 - Badan Pusat Statistik. (2008). *Metode Pengukuran Inflasi di Indonesia*. Direktorat Statistik Keuangan dan Harga, Badan Pusat Statistik, Jakarta.
 - Bidarkota, P.V. dan Mcculloh, J.H. (1998). Optimal Univariate Inflation
 Forecasting with Symmetric Stable Shocks, *Journal of Applied*Econometrics, Vol. 13, hal. 659-670.
 - Bollerslev, Tim. (1986). Generalized Autoregressive Conditional Heteroscedasticity, *Journal of Econometrics*, Vol. 31, hal. 307-327.
 - Bollerslev, Tim. (2008). *Glosary to ARCH (GARCH)*, CREATES Research Paper 2008-49.
 - Box, G.E.P., Jenkins, G.M., dan Reinsel, G.C. (1994). *Time Series Analysis:* Forecasting and Control. Third Edition, Englewood Cliffs: Prentice Hall.
 - Brockwell, P.J. dan Davis R.A. (2002). Introduction to time series and forecasting., 2nd Edition, New York: Springer, USA.
- Cologni, A dan Manera, M. (2008). Oil prices, inflation and interest rates in a structural cointegrated VAR model for the G-7 countries. *Energy Economics*, Vol. 30, No. 3, hal. 856-888.
- Ding, Z., Granger, C.W.J., dan Engle, R.F. (1993). A Long Memory Property of Stock Market Returns and A New Model, *Journal of Empirical Finance*, Vol. 1, hal. 83-106.
- Engle, R.F. (1982). Autoregressive Conditional Heteroscedasticity with Estimates of the Variance of United Kingdom Inflation, *Econometrica*, Vol. 50, No. 4, hal. 987-1008.
- Engle, R.F. (1982). A General Approach to Lagrange Multiplier Model Diagnostics, *Journal of Econometrics*, Vol. 20, hal. 83-104.

- Engle, R.F. dan Ng, V.K. (1993). Measuring and Testing the Impact of News on Volatility, *The Journal of Finance*, Vol. 48, No. 5 hal. 1749-1778.
- Forte, G. dan Manera, M. (2006). Forecasting Volatility in Asian and European Stock Markets with Asymmetric GARCH Models. *Newfin Working Paper at Bocconi University*, Italia.
- Francq, C., dan Zakoian, J.M. (1994). GARCH Models: Structure, Statistical Inference and Financial Applications. West Sussex: John Wiley & Sons Ltd., United Kingdom.
- Glosten, L.R., Jagannathan, R., dan Runkle, D.E. (1993). On the Relation between the Expected Value and the Volatility of the Nominal Excess Return on Stocks, *The Journal of Finance*, Vol. 68, No. 5, hal. 1779-1801.
- Hentschel, L. (1995). All in the Family Nesting Symmetric and Asymmetric GARCH Model, *Journal of Financial Economics*, Vol. 39, hal. 71-104.
- Hickey, E., Loomis, D.G., Mohammadi, H. (2012). Forecasting Hourly Electricity

 Prices Using ARMAX-GARCH Models: An Application to MISO Hubs,

 Energy Economics, Vol. 34, hal. 307-315.
- Hyung, N., Franses, P.H., Penm, J. (2006). Structural Breaks and Long Memory in US Inflation Rates: Do they Matter for Forecasting, *International Journal of Business and Finance*, Vol. 20, hal. 95-110.
- Juwariyanto. (2012). Model Bayesian Markov Switching ARCH (Penerapan pada Inflasi di Indonesia), Tesis, Institut Teknologi Sepuluh Nopember, Surabaya.
- Kichian, M. dan Rumler, F. (2014). Forecasting Canadian inflation: A Semistructural NKPC Approach, *Economic Modelling*, Vol. 43, hal. 183-191.
- Labuschagne, C.C.A., Venter, P., Boetticher, S.T. (2015). A Comparison of Risk

 Neutral Historic Distribution E-GARCH and GJR-GARCH Model

 Generated Volatility Skews for BRICS Securities Exchange Indexes

 Analysis, *Procedia Economics and Finance*, Vol. 4, hal. 344-352.
- Lin, X dan Fei, F. (2013). Long Memory Revisit in Chinese Stock Markets: Based on GARCH-Class Models and Multiscale Analysis, *Economic Modelling*, Vol. 31, hal. 265-275.

- Lo, M. S., (2003), Generalized Autoregressive Conditional Heteroscedastic Time Series Models. Thesis, Department of Statistics And Actuarial Science, Simon Fraser University.
- Maheu, J.M. dan Song, Y. (2014). A New Structural Break Model, with an Application to Canadian Inflation Forecasting, *International Journal of Forecasting*, Vol. 30, No. 1, hal. 144-160.
- Maholtra, A. dan Krishna, S. (2015). The Effect of Crude Oil Prices on Inflation and Interest Rates in India: Evidence from DCC-GARCH Model, Paper,

 Social Science Research Network.
- Nizar, M.A. (2012). Dampak Fluktuasi Harga Minyak Dunia terhadap Perekonomian Indonesia. *Buletin Ilmiah Litbang Perdagangan*, Vol. 6, No. 2, hal. 189-209.
- Posedel, P. (2005). Properties and Estimation of GARCH(1, 1) Model, Metodoloski Zvezki, Vol. 2, No. 2, hal. 243-257.
- Rizvi, S.K.A., et al. (2013). Inflation Volatility: An Asian Perspective, *Economic Research*, Vol. 27, hal. 280-303.
- Rokhimah, N. (2012). Pendekatan Fungsi Transfer Multi Input dan Artificial

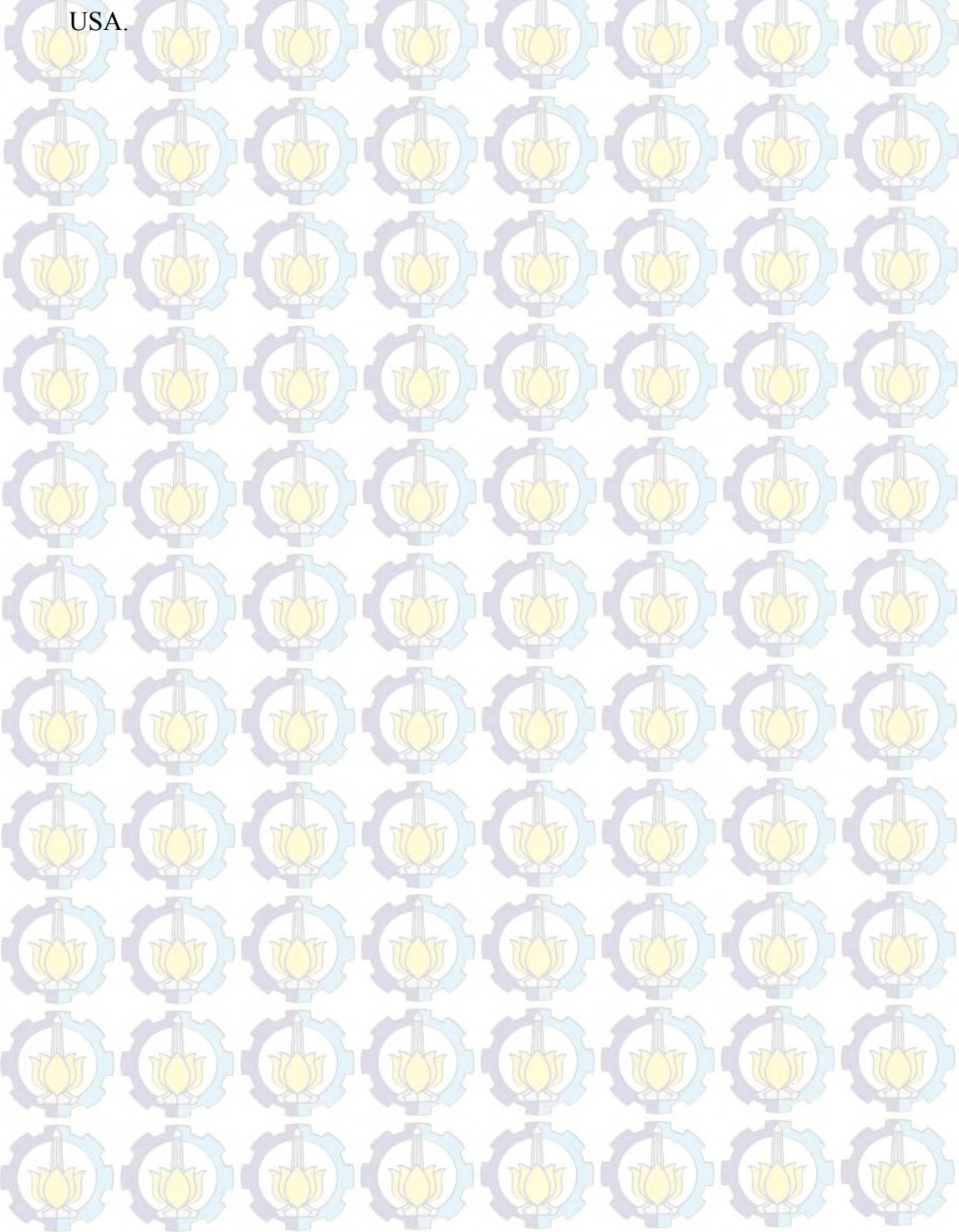
 Neural Network untuk Meramalkan Inflasi Jawa Timur, Tesis, Institut

 Teknologi Sepuluh Nopember, Surabaya.
- Rukini. (2013). Model ARIMAX dan Deteksi GARCH untuk Peramalan Inflasi di Kota Denpasar. *Prosiding Seminar Nasional Matematika dan Pendidikan Matematika*, 9 November 2013, Jurusan Pendidikan Matematika FMIPA UNY, Yogyakarta.
- Salim, S. dan Ahmad, K. (2015). Crude Oil Price and Inflation in Pakistan.

 Bulletin of Business and Economics, Vol. 4, No. 1, hal. 10-18.
- Sanjaya, M.R. (2015). Akurasi Prediksi Volatilitas Rupiah, Gadjah Mada Working Paper in Economics and Business.
- Sukirno, S. (2012). Makroekonomi Teori Pengantar. Rajawali Pers, Depok.
- Suryono, H. (2009). Pemodelan Auto Regressive Integrated Moving Average with Exogenous Factor-Neural Network (ARIMAX-NN) pada Data Inflasi Indonesia, Tesis, Institut Teknologi Sepuluh Nopember, Surabaya.

Tully, Edel, dan Lucey, B.M. (2006). A Power GARCH Examination of the Gold Market, *Research in International Business and Finance*, Vol. 21, hal. 316-325.

Wei, W.W.S. (2006). *Time Series Analysis: Univariate and Multivariate Methods, Second Edition*. United State of America: Addison-Wesley Publishing Co.,





Lampiran 1 : Data Inflasi Indonesia dan Persentase Perubahan Rata-rata Harga Minyak Dunia Januari 1990 sampai dengan Desember 2015

| Tahun | Bulan | Inflasi | % Pe <mark>rub</mark> ahan Rata-rata Harga Minyak Dunia | Tahun | Bulan | Inflasi | % Perub <mark>aha</mark> n Rata-rata Harga Minyak Dunia |
|---------------|-------|---------|---|--|-------|---------|---|
| \ | Jan | 0.91 | 6.3 | | Jan | 0.76 | -14.28 |
| T) I (| Feb | 0.99 | -4.42 | | Feb | 0.3 | -18.76 |
| | Mar | -0.39 | -7.93 | | Mar | 0.03 | -1.73 |
| 7 | Apr | 1.42 | -9.93 | | Apr | 1.89 | 1.54 |
| | Mei | 0.58 | -0.67 | | Mei | 0.18 | 1.24 |
| 1990 | Jun | 1.29 | -7.9 | 1991 | Jun | 0.44 | -5.02 |
| 1990 | Jul | 2.21 | 12.59 | 1991 | Jul | 1.89 | 6.97 |
| | Agust | 0.59 | 57.88 | | Agust | 1.9 | 1.47 |
| | Sept | 0.51 | 26.68 | | Sept | 0.12 | 3.37 |
| 7.1 | Okt | 1.03 | 3.66 | | Okt | 0.76 | 8.07 |
| | Nop | 0.33 | -9.5 | | Nop | 1.06 | -5.33 |
| | Des | 0.06 | -15.63 | | Des | 0.19 | -13.62 |
| | Jan | 0.44 | -0.62 | DA | Jan | 2.92 | -3.85 |
| | Feb | 0.26 | 0.74 | | Feb | 2.03 | 5.74 |
| | Mar | 0.65 | -1.7 | | Mar | 1.49 | 1.48 |
| | Apr | 0.92 | 7.49 | 2000 | Apr | 0.15 | -0.32 |
| 1 | Mei | 0.11 | 4.66 | 925 | Mei | 0.14 | -1.46 |
| 1992 | Jun | 0.65 | 6.97 | 1993 | Jun | 0.24 | -4.4 |
| 1992 | Jul | 0.23 | -3.35 | 1993 | Jul | 0.67 | -5.76 |
| | Agust | 0.16 | -2.78 | | Agust | 0.32 | 0.37 |
| ~ ~ | Sept | 0.2 | 2.91 | 7 | Sept | 0.28 | -3.83 |
| To the second | Okt | 0.41 | -0.74 | THE STATE OF THE S | Okt | 0.59 | 4.05 |
| | Nop | 0.25 | -5.69 | | Nop | 0.41 | -8.21 |
| ~ ~ | Des | 0.66 | -5.13 | | Des | 0.53 | -11.46 |



| Tahun | Bulan | Inflasi | Perubahan Rata-rata Harga Minyak Dunia | Tahun | Bulan | Inflasi | Perubahan Rata-rata Harga Minyak Dunia |
|--|-------|---------|--|--------|-------|---------|--|
| THE STATE OF THE S | Jan | 1.25 | 6.06 | To the | Jan | 1.16 | 4.65 |
| | Feb | 1.76 | -2.96 | 7 3 S | Feb | 1.31 | 3.32 |
| | Mar | 0.7 | -0.44 | | Mar | 0.57 | -0.52 |
| TOTAL | Apr | 0.24 | 10.66 | T | Apr | 1.69 | 8.18 |
| | Mei | 0.52 | 8.45 | | Mei | 0.49 | -1.81 |
| 1994 | Jun | 0.12 | 4.87 | 1995 | Jun | 0.16 | -5.97 |
| 1994 | Jul | 0.13 | 4.7 | | Jul | 0.71 | -7.33 |
| | Agust | -0.06 | -5.88 | | Agust | -0.16 | 2.68 |
| A CONTRACTOR | Sept | 0.53 | -5.01 | | Sept | 0.38 | 1.7 |
| (17 Tr) | Okt | 0.89 | 2.17 | | Okt | 0.64 | -3.52 |
| | Nop | 0.76 | 4.37 | | Nop | 0.19 | 3.96 |
| A | Des | 0.52 | -6.22 | | Des | 0.79 | 6.6 |
| | Jan | 2.16 | -0.78 | | Jan | 1.03 | -0.94 |
| | Feb | 1.71 | -0.56 | | Feb | 0.19 | -11.81 |
| | Mar | -0.61 | 10.01 | 1 | Mar | -0.12 | -5.45 |
| | Apr | 0.78 | 6.78 | | Apr | 0.56 | -7.42 |
| | Mei | 0.06 | -7.99 | | Mei | 0.19 | 8.29 |
| 1996 | Jun | -0.07 | -2.93 | 1997 | Jun | -0.17 | -7.45 |
| 1990 | Jul | 0.68 | 5.39 | 1337 | Jul | 0.66 | 2.39 |
| | Agust | 0.27 | 3.22 | | Agust | 0.88 | 1.84 |
| | Sept | -0.04 | 9.66 | 15 | Sept | 1.29 | -0.32 |
| | Okt | 0.41 | 5.83 | 7-10 | Okt | 1.99 | 7.42 |
| | Nop | 0.57 | -5.04 | | Nop | 1.65 | -4.77 |
| | Des | 0.55 | 5.66 | | Des | 2.04 | -10.02 |







| Tahun | Bulan | Inflasi | Perubahan Rata-rata Harga Minyak Dunia | Tahun | Bulan | Inflasi | Perubahan Rata-rata Harga Min <mark>yak</mark> Dunia |
|-------|-------|---------|--|--------|-------|---------|--|
| | Jan | 6.88 | -12.59 | TO THE | Jan | 2.97 | 8.74 |
| | Feb | 12.76 | -5.91 | | Feb | 1.26 | -5.04 |
| | Mar | 5.49 | -6.63 | | Mar | -0.18 | 19.63 |
| | Apr | 4.7 | 1.13 | TATE | Apr | -0.68 | 22.32 |
| | Mei | 5.24 | 4.33 | 325 | Mei | -0.28 | 2.48 |
| 1998 | Jun | 4.64 | -10.67 | 1999 | Jun | -0.34 | 0.74 |
| 1998 | Jul | 8.56 | 1.92 | | Jul | -1.05 | 15.46 |
| | Agust | 4.48 | -1.81 | | Agust | -0.93 | 7.79 |
| | Sept | 3.75 | 10.49 | | Sept | -0.68 | 10.69 |
| | Okt | -0.27 | -3.91 | | Okt | 0.06 | -0.8 |
| | Nop | 0.48 | -10.41 | | Nop | 0.25 | 9.15 |
| 0 | Des | 1.42 | -12.37 | | Des | 1.73 | 3.26 |
| 7) | Jan | 1.32 | 0.8 | 7777 | Jan | 0.33 | 2.65 |
| | Feb | 0.07 | 7.7 | 340 | Feb | 0.87 | 4.97 |
| | Mar | -0.45 | 1.25 | 1 | Mar | 0.89 | -8.15 |
| | Apr | 0.56 | -14.7 | | Apr | 0.46 | 2.56 |
| | Mei | 0.84 | 16.12 | | Mei | 1.13 | 7.37 |
| 2000 | Jun | 0.5 | 8.78 | 2001 | Jun | 1.67 | -2.11 |
| 2000 | Jul | 1.28 | -4.93 | 2001 | Jul | 2.12 | -8.05 |
| | Agust | 0.51 | 4.44 | | Agust | -0.21 | 4.07 |
| | Sept | -0.06 | 9.08 | | Sept | 0.64 | -3.02 |
| | Okt | 1.16 | -2.12 | | Okt | 0.68 | -17.18 |
| | Nop | 1.32 | 2.96 | | Nop | 1.71 | -9.84 |
| 1 | Des | 1.94 | -21.81 | | Des | 1.62 | -0.91 |



| Tahun | Bulan | Inflasi | % Perubahan Rata-rata Harga Minyak Dunia | Tahun | Bulan | Inflasi | % Perubahan Rata-rata Harga Minyak Dunia |
|-------|-------|---------|--|--|-------|---------|--|
| | Jan | 1.99 | 3.4 | 8 3 C | Jan | 0.8 | 10.33 |
| | Feb | 1.5 | 4.33 | | Feb | 0.2 | 6.86 |
| | Mar | -0.02 | 18.32 | The state of the s | Mar | -0.23 | -7.66 |
| | Apr | -0.24 | 7.57 | 53 | Apr | 0.15 | -16.04 |
| | Mei | 0.8 | 1.02 | | Mei | 0.21 | 2.24 |
| 2002 | Jun | 0.36 | -4.67 | 2003 | Jun | 0.09 | 7.1 |
| 2002 | Jul | 0.82 | 5.14 | 2003 | Jul | 0.03 | 2.44 |
| | Agust | 0.29 | 4 | | Agust | 0.84 | 3.81 |
| | Sept | 0.53 | 5.6 | | Sept | 0.36 | -9.43 |
| | Okt | 0.54 | -2.65 | | Okt | 0.55 | 7.92 |
| | Nop | 1.85 | -9.95 | | Nop | 1.01 | 0.38 |
| TOTAL | Des | 1.2 | 12.51 | T | Des | 0.94 | 2.85 |
| | Jan | 0.57 | 4.84 | | Jan | 1.43 | 9.72 |
| 1 | Feb | -0.02 | -0.25 | 1 | Feb | -0.17 | 3.89 |
| | Mar | 0.36 | 7.5 | | Mar | 1.91 | 14.3 |
| | Apr | 0.97 | 0.12 | | Apr | 0.34 | -0.57 |
| 1 | Mei | 0.88 | 11.63 | 1 | Mei | 0.21 | -5.59 |
| 2004 | Jun | 0.48 | -5.55 | 2005 | Jun | 0.5 | 12.72 |
| 2004 | Jul | 0.39 | 6.72 | 2003 | Jul | 0.78 | 4.6 |
| | Agust | 0.09 | 10.94 | 1 | Agust | 0.55 | 9.76 |
| | Sept | 0.02 | -1.02 | | Sept | 0.69 | -0.36 |
| | Okt | 0.56 | 12.53 | | Okt | 8.7 | -5.61 |
| | Nop | 0.89 | -9.9 | 1 | Nop | 1.31 | -5.52 |
| | Des | 1.04 | -7.44 | | Des | -0.04 | 2.71 |











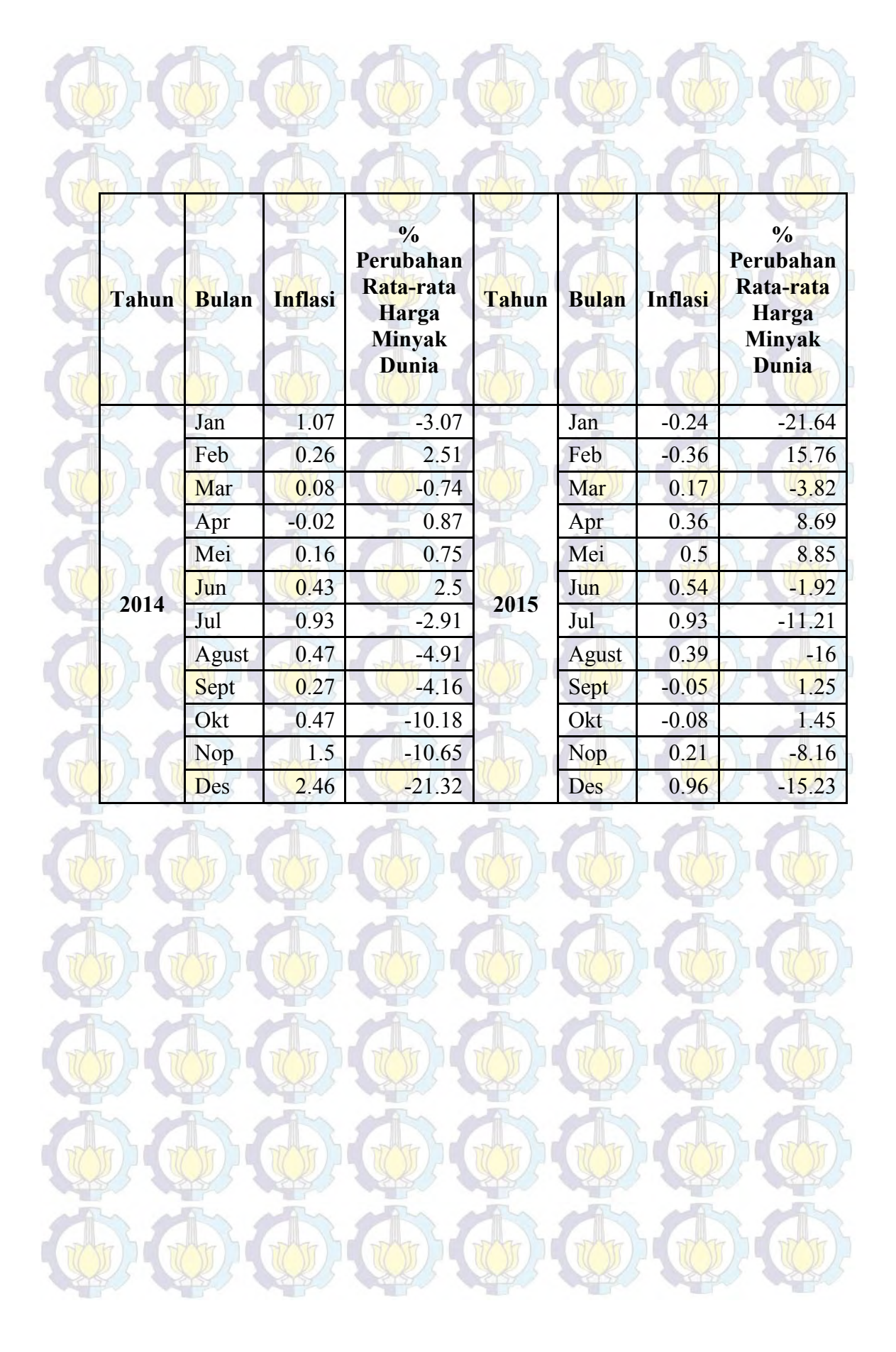




| | | | 1 |
|--|--|-----|---|
| | | | |
| | | | |
| | | 255 | |

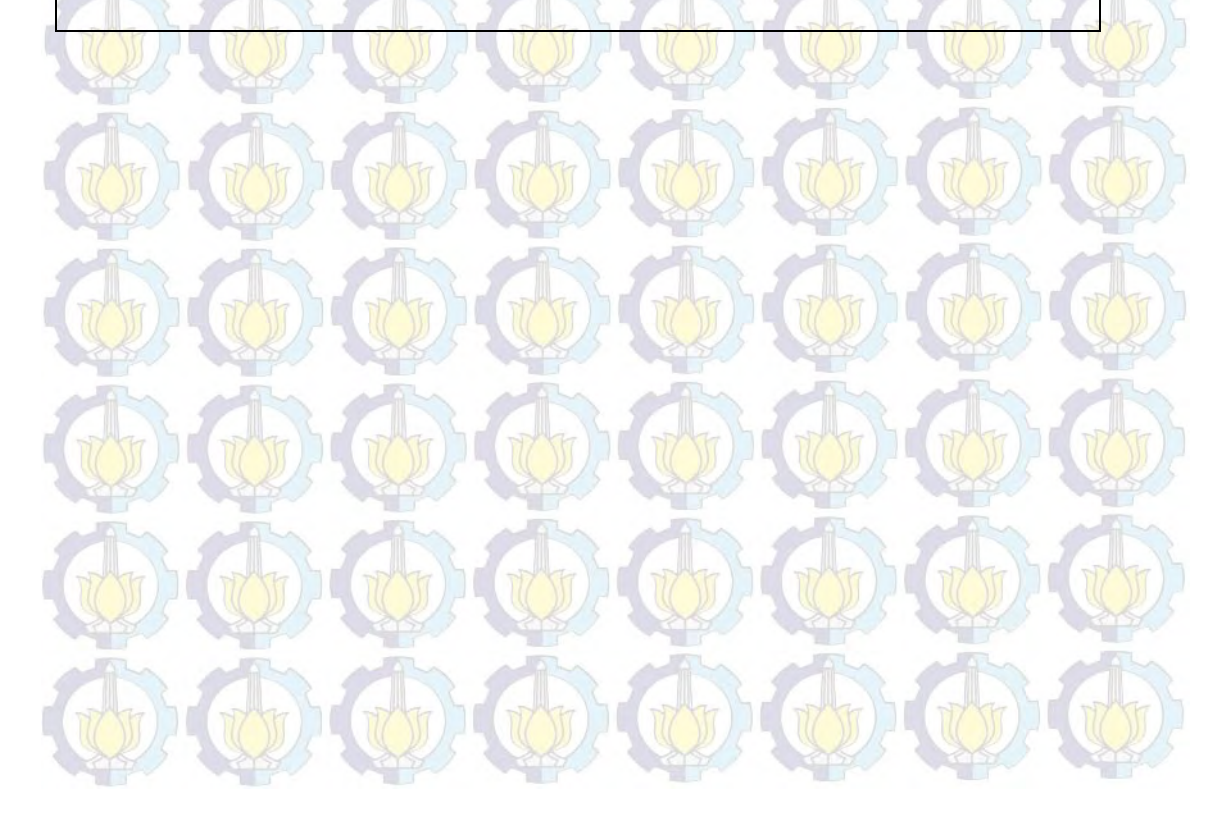
| Tahun | Bulan | Inflasi | % Perubahan Rata-rata Harga Minyak Dunia | Tahun | Bulan | Inflasi | % Perubahan Rata-rata Harga Minyak Dunia |
|-------|-------|---------|--|-------|-------|---------|---|
| | Jan | 1.36 | 10.43 | 2007 | Jan | 1.04 | -12.46 |
| | Feb | 0.58 | -4.25 | | Feb | 0.62 | 7.83 |
| | Mar | 0.03 | 2.04 | | Mar | 0.24 | 5.24 |
| | Apr | 0.05 | 11.6 | | Apr | -0.16 | 7.43 |
| | Mei | 0.37 | 0.9 | | Mei | 0.1 | |
| 2006 | Jun | 0.45 | -0.47 | | Jun | 0.23 | 4.75 |
| 2006 | Jul | 0.45 | 6.18 | | Jul | 0.72 | 8.04 |
| | Agust | 0.33 | -0.97 | | Agust | 0.75 | -4.81 |
| | Sept | 0.38 | -13.7 | | Sept | 0.8 | 9.67 |
| | Okt | 0.86 | -6.49 | | Okt | 0.79 | 6.81 |
| | Nop | 0.34 | 0.31 | | Nop | 0.18 | 11.1 |
| | Des | 1.21 | 4.94 | - | Des | 1.1 | -2.02 |
| 2008 | Jan | 1.77 | 1.55 | 2009 | Jan | -0.07 | 5.73 |
| | Feb | 0.65 | 3.23 | | Feb | 0.21 | -4.9 |
| | Mar | 0.95 | 8.63 | | Mar | 0.22 | 12.43 |
| | Apr | 0.57 | 7.08 | | Apr | -0.31 | 7.09 |
| | Mei | 1.41 | 12.58 | | Mei | 0.04 | 15.55 |
| | Jun | 2.46 | 7.13 | | Jun | 0.11 | 18.98 |
| | Jul | 1.37 | 0.78 | | Jul | 0.45 | -6.48 |
| | Agust | 0.51 | -13.56 | | Agust | 0.56 | 10.8 |
| | Sept | 0.97 | -13.34 | | Sept | 1.05 | -4.54 |
| | Okt | 0.45 | -2 6.79 | | Okt | 0.19 | 8.34 |
| | Nop | 0.12 | -25.66 | | Nop | -0.03 | 4.7 |
| | Des | -0.04 | -23.15 | | Des | 0.33 | -3.46 |

| Tahun | Bulan | Inflasi | % Perubahan Rata-rata Harga Minyak Dunia | Tahun | Bulan | Inflasi | % Perubahan Rata-rata Harga Minyak Dunia |
|-------|-------|---------|--|-------|-------|---------|--|
| | Jan | 0.84 | 2.99 | 2011 | Jan | 0.89 | 2.88 |
| | Feb | 0.3 | -3.11 | | Feb | 0.13 | 5.47 |
| | Mar | -0.14 | 6.13 | | Mar | -0.32 | 11.17 |
| | Apr | 0.15 | 6.1 | | Apr | -0.31 | 7.06 |
| 2010 | Mei | 0.29 | -10.22 | | Mei | 0.12 | -7 |
| | Jun | 0.97 | -1.07 | | Jun | 0.55 | -2.15 |
| | Jul | 1.57 | -0.28 | | Jul | 0.67 | 1.92 |
| | Agust | 0.76 | 1.83 | | Agust | 0.93 | -6.89 |
| | Sept | 0.44 | 0.3 | | Sept | 0.27 | 0.38 |
| | Okt | 0.06 | 7.37 | | Okt | -0.12 | -0.9 |
| | Nop | 0.6 | 3.44 | | Nop | 0.34 | 5.44 |
| | Des | 0.92 | 6.55 | | Des | 0.57 | -1.04 |
| | Jan | 0.76 | 2.52 | 2013 | Jan | 1.03 | 3.83 |
| | Feb | 0.05 | 5.44 | | Feb | 0.75 | 2.49 |
| | Mar | 0.07 | 4.52 | | Mar | 0.63 | -4.69 |
| 2012 | Apr | 0.21 | -3.43 | | Apr | -0.1 | -3.66 |
| | Mei | 0.07 | -8.43 | | Mei | -0.03 | 0.51 |
| | Jun | 0.62 | -12.89 | | Jun | 1.03 | 0.39 |
| | Jul | 0.7 | 6.64 | | Jul | 3.29 | 5.48 |
| | Agust | 0.95 | 8.82 | | Agust | 1.12 | 2.71 |
| | Sept | 0.01 | 0.99 | | Sept | -0.35 | 0.67 |
| | Okt | 0.16 | -2.76 | | Okt | 0.09 | -3.05 |
| | Nop | 0.07 | -2.15 | | Nop | 0.12 | -2.73 |
| | Des | 0.54 | 0 | | Des | 0.55 | 2.84 |





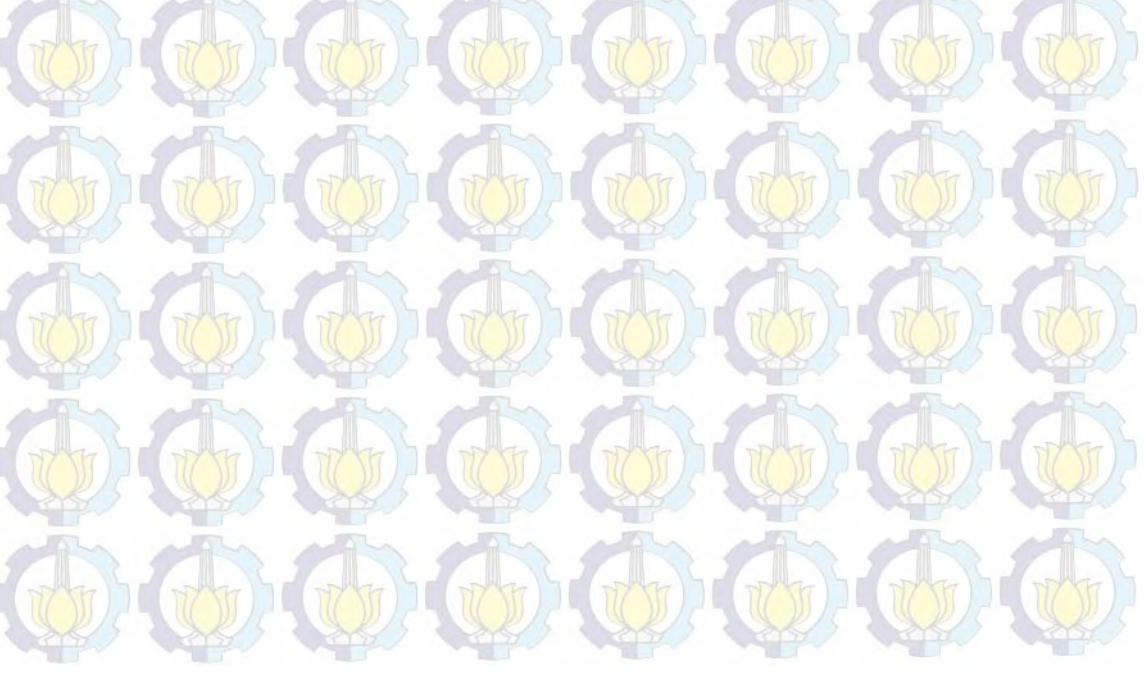
library(PerformanceAnalytics) library(quantmod) library(rugarch) library(car) library(FinTS) library(TSA) garch111.spec = ugarchspec (variance.model = list(garchOrder = c(1,1)), mean.model = list(armaOrder = c(0,0)), fixed.pars = list(mu = 0, omega = 0.01, alpha1 = 0.1, beta1 = 0.8), distribution.model="norm") set.seed(123) garch111.sim = ugarchpath(garch111.spec, n.sim = 1000) plot(garch111.sim) modelfit111=ugarchfit(spec=garch111.spec,data= garch111.sim@path\$seriesSim) show(modelfit111) plot(modelfit111)





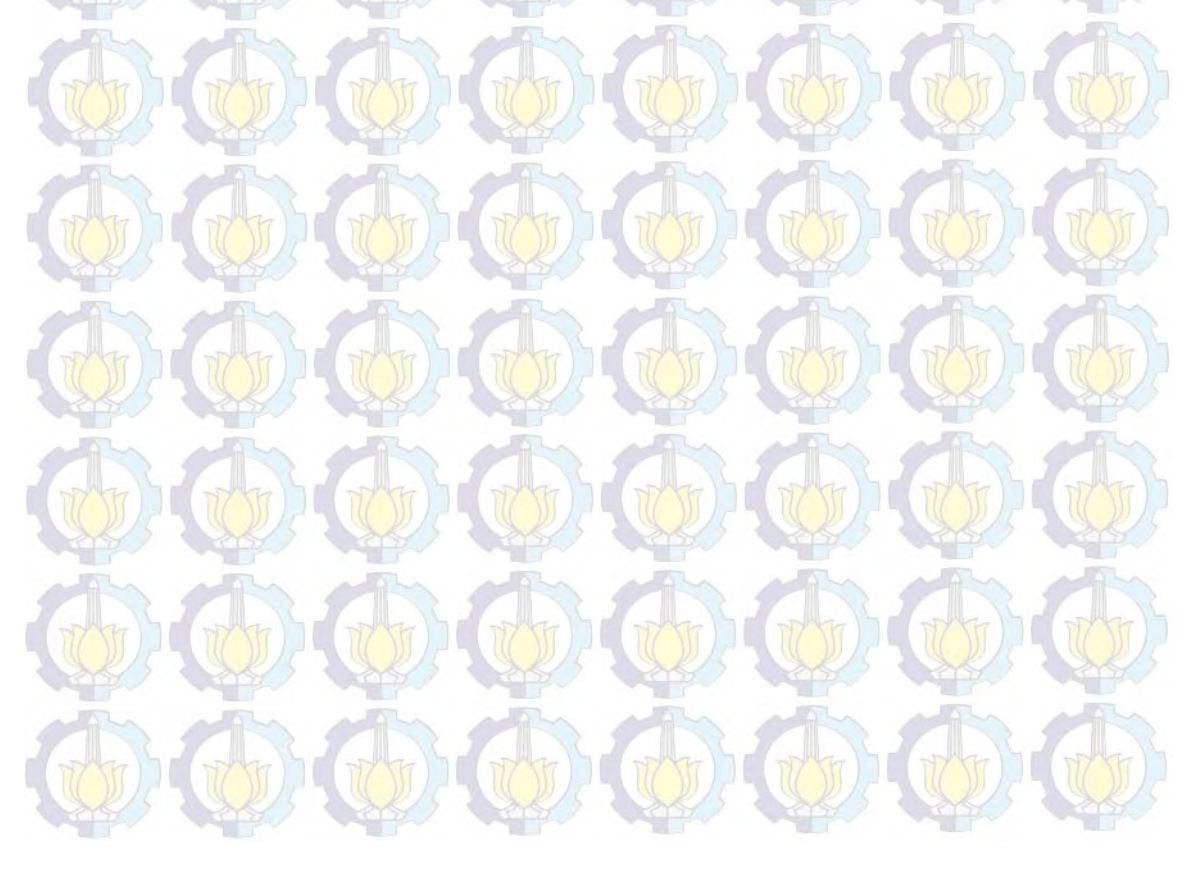
Lampiran 3: Sintaks Program R untuk Data Bangkitan GJR-GARCH(1,1)

library(PerformanceAnalytics) library(quantmod) library(rugarch) library(car) library(FinTS) library(TSA) gjrgarch1111.spec = ugarchspec(variance.model = list(model = "gjrGARCH", garchOrder = c(1,1), mean.model = list(armaOrder = c(0,0)), fixed.pars = list(mu = 0, omega = 0.005, alpha1 = 0.28, beta1 = 0.5, gamma1 = 0.23), distribution.model = "norm") set.seed(123) girgarch1111.sim = ugarchpath(girgarch1111.spec, n.sim = 1000) gjrgarch.spec<-ugarchspec(variance.model = list(model "gjrGARCH", garchOrder = c(1,1), mean.model = list(armaOrder = c(0,0), include.mean = T, archm = F, arfima = F), distribution.model = "norm", fixed.pars = list(mu = 0)) modelfitgir1111=ugarchfit(spec=gjrgarch.spec,data= gjrgarch1111.sim@path\$seriesSim) show(modelfitgjr1111) plot(modelfitgjr1111) plot(gjrgarch1111.sim)



Lampiran 4 : Sintaks Program R untuk Data Bangkitan APARCH(1,1)

library(PerformanceAnalytics) library(quantmod) library(rugarch) library(car) library(FinTS) library(TSA) (model="apARCH", garchOrder=c(1,1)), mean.model =list(armaOrder=c(0,0)), fixed.pars=list(mu = 0, omega=0.005, alpha1=0.28, beta1 = 0.5, gamma1 =0.23, delta=2), distribution.model="norm") set.seed(123) aparch1114.sim = ugarchpath(aparch1114.spec, n.sim=1000) aparch.spec5<ugarchspec(variance.model=list(model="apARCH",garchOrder=c(1,1)), mean.model=list(armaOrder=c(0,0),include.mean=T, archm=F,arfima=F),distribution.model="norm",fixed.pars=list(mu = 0)) modelfitaparch1114=ugarchfit(spec=aparch.spec5,data= aparch1114.sim@path\$seriesSim,out.sample=12) show(modelfitaparch1114) plot(modelfitaparch1114) plot(aparch1114.sim)

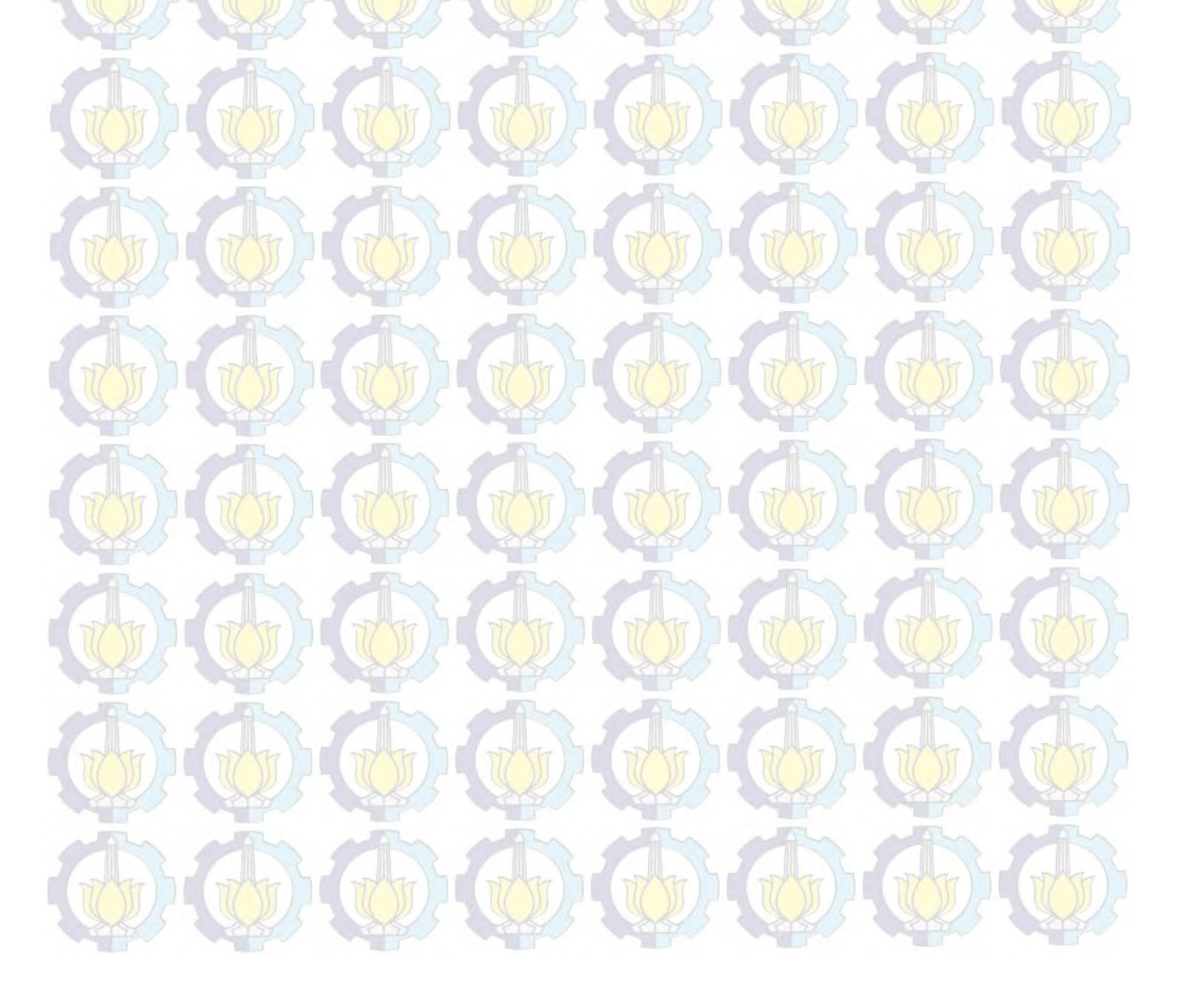


Lampiran 5: Sintaks Program R untuk Menghitung Power Pengujian Asimetrik

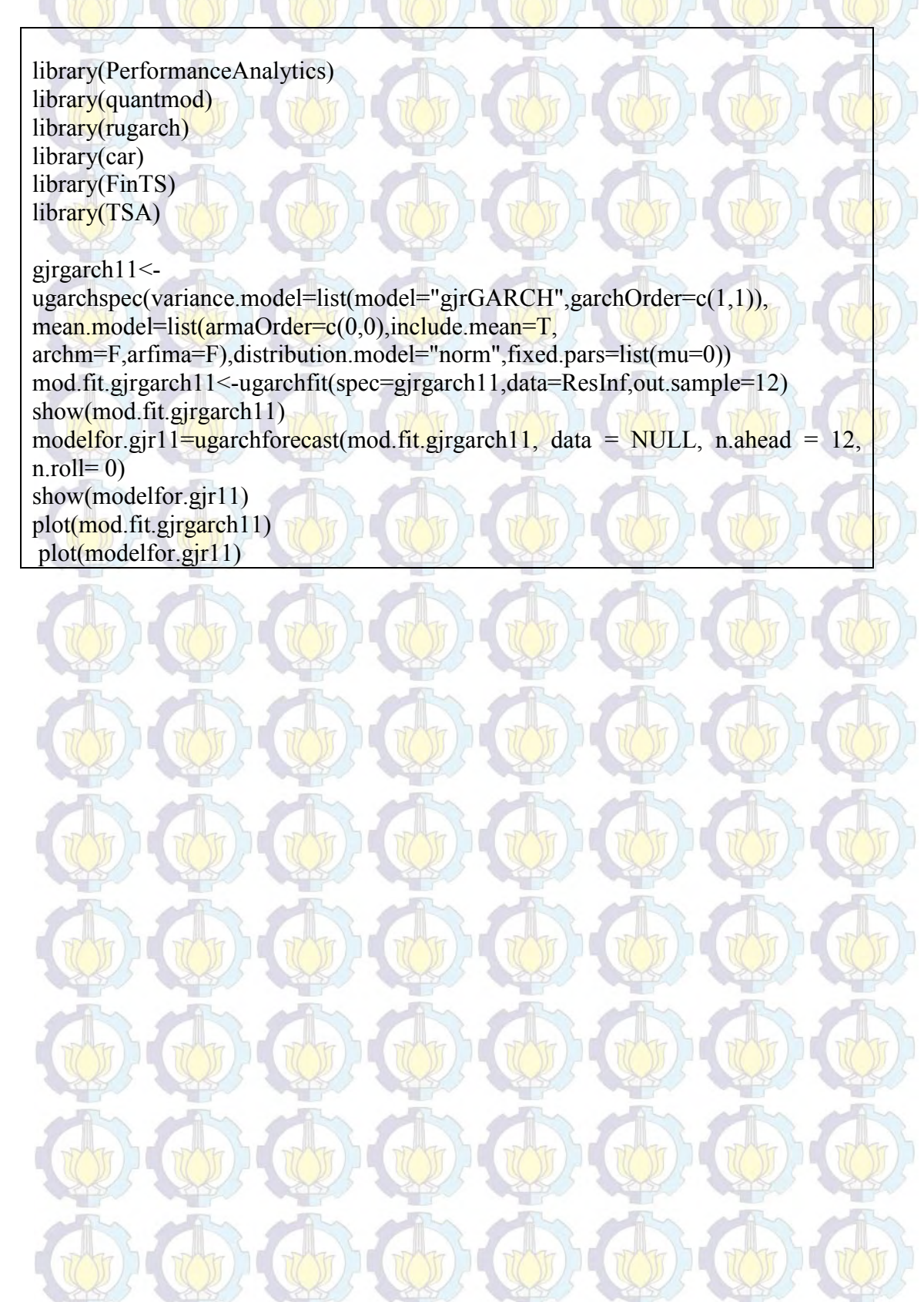
```
library(PerformanceAnalytics)
library(quantmod)
library(rugarch)
library(car)
library(FinTS)
library(TSA)
simulasi = function(replikasi, sampel)
#sim = matrix(nrow=sampel, ncol=replikasi)
aic1 = matrix(nrow=replikasi, ncol=1)
aic2 = matrix(nrow=replikasi, ncol=1)
aic3 = matrix(nrow=replikasi, ncol=1)
tes1 = matrix(nrow=replikasi, ncol=1)
tes2 = matrix(nrow=replikasi, ncol=1)
tes3 = matrix(nrow=replikasi, ncol=1)
tes4 = matrix(nrow=replikasi, ncol=1)
for (i in 1 : replikasi)
spec=ugarchspec(variance.model=list(model="apARCH",
garchOrder=c(1,1), mean.model=list(armaOrder=c(0,0)),
distribution.model="norm",
                           fixed.pars=list(mu=0, omega=0.005,
                                                                  alpha1=0.28,
beta1=0.5, gamma1=0.23, delta=2))
path.garch = ugarchpath(spec, n.sim=sampel, n.start=1, m.sim=1)
garch11=ugarchspec (variance.model = list(model = "sGARCH", garchOrder = c(1,
1)), mean.model = list(armaOrder = c(0, 0)), distribution.model = "norm",
fixed.pars=list(mu=0))
gjrgarch.spec5<-
ugarchspec(variance.model=list(model="gjrGARCH",garchOrder=c(1,1)),
mean.model=list(armaOrder=c(0,0),include.mean=T,
archm=F,arfima=F),distribution,model="norm", fixed.pars=list(mu=0))
aparch<-ugarchspec(variance.model=list(model="apARCH",garchOrder=c(1,1)),
mean.model=list(armaOrder=c(0,0),include.mean=T,
archm=F,arfima=F),distribution.model="norm", fixed.pars=list(mu=0))
fit1 = ugarchfit(spec=garch11,data=path.garch@path$seriesSim)
fit2=ugarchfit(spec=gjrgarch.spec5,data=path.garch@path$seriesSim)
fit3 = ugarchfit(spec=aparch,data=path.garch@path$seriesSim)
```

```
criterial = infocriteria(fit1)[1]
criteria2 = infocriteria(fit2)[1]
criteria3 = infocriteria(fit3)[1]
aic1[i] = criteria1 # untuk AIC1
aic2[i] = criteria2
aic3[i] = criteria3
tes1[i] = signbias(fit1)[1,2]
tes2[i] = signbias(fit1)[2,2]
tes3[i] = signbias(fit1)[3,2]
tes4[i] = signbias(fit1)[4,2]
mean.aic1 = mean(aic1)
mean.aic2 = mean(aic2)
mean.aic3 = mean(aic3)
power11 = length(which(tes1 < 0.01))
power12 = length(which(tes2 < 0.01))
power13 = length(which(tes3 < 0.01))
power14 = length(which(tes4 < 0.01))
power21 = length(which(tes1 < 0.05))
power22 = length(which(tes2 < 0.05))
power23 = length(which(tes3 < 0.05))
power24 = length(which(tes4 < 0.05))
power31 = length(which(tes1 < 0.10))
power32 = length(which(tes2 < 0.10))
power33 = length(which(tes3 < 0.10))
power34 = length(which(tes4 < 0.10))
                                                       aic.girgarch11=mean.aic2,
list(koef.11= aic.garch11
                                       mean.aic1,
aic.aparch11=mean.aic3,power.sign11=power11,
                                                         power.sign12=power12,
power.sign13=power13,
                            power.sign14=power14,
                                                         power.sign21=power21,
power.sign22=power22,
                            power.sign23=power23,
                                                         power.sign24=power24,
power.sign31=power31,
                            power.sign32=power32,
                                                         power.sign33=power33,
power.sign34=power34)
```

Lampiran 6 : Sintaks Program R untuk Pemodelan GARCH(1,1) Inflasi library(PerformanceAnalytics) library(quantmod) library(rugarch) library(FinTS) library(TSA) garch11 = ugarchspec (variance.model = list(model = "sGARCH", garchOrder = c(1, 1)), mean.model = list(armaOrder = c(0, 0)), distribution.model = "norm", fixed.pars=list(mu=0)) modelfit11=ugarchfit(spec=garch11,data=ResInf,out.sample=12) show(modelfit11) modelfor11=ugarchforecast(modelfit11, data = NULL, n.ahead = 12, n.roll=0) show(modelfit11) plot(modelfit11) plot(modelfor11)



Lampiran 7: Sintaks Program R untuk Pemodelan GJR-GARCH(1,1) Inflasi



Lampiran 8: Sintaks Program R untuk Pemodelan APARCH(1,1) Inflasi

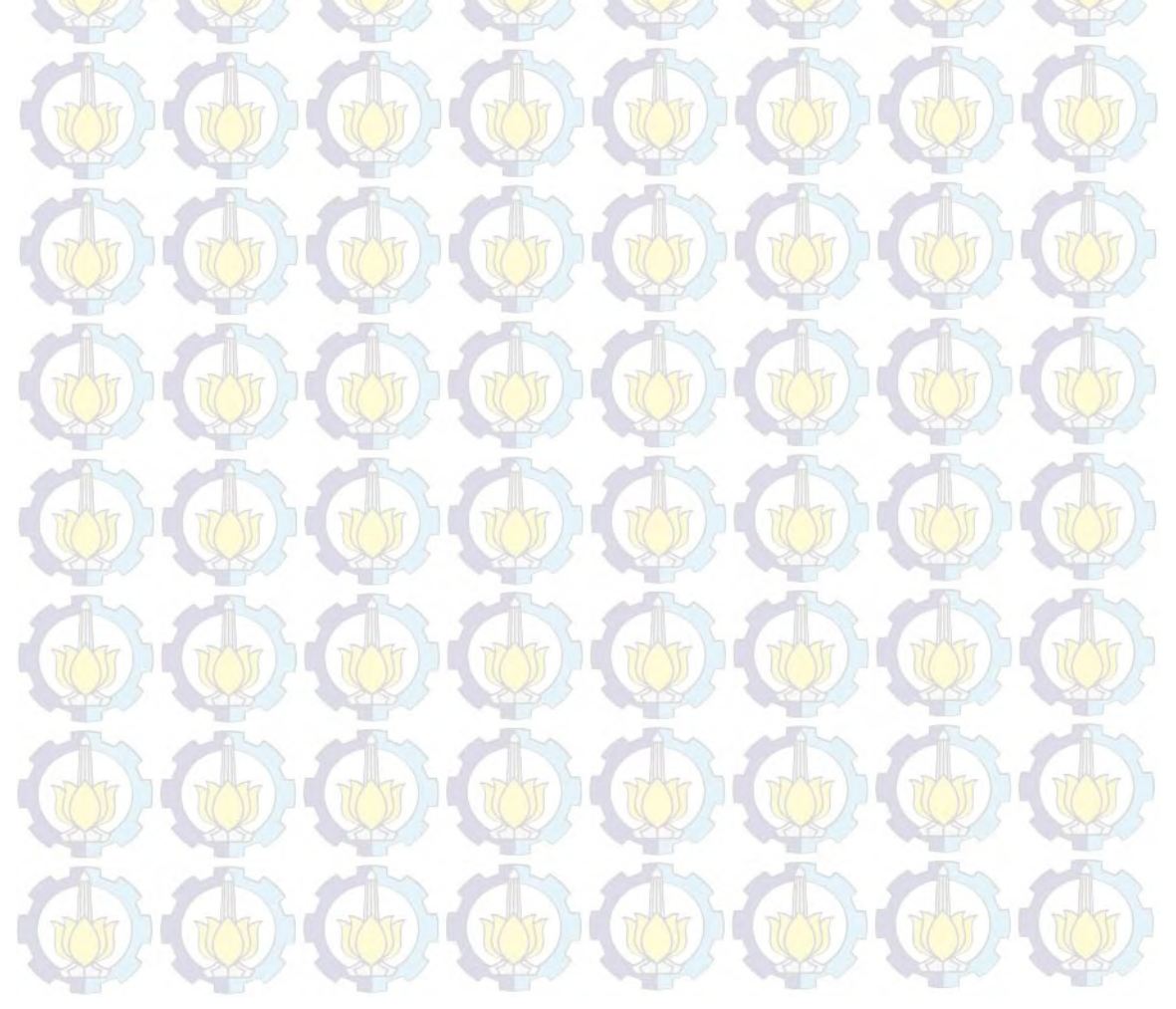
library(PerformanceAnalytics) library(quantmod) library(rugarch) library(car) library(FinTS) library(TSA) aparch11<-ugarchspec(variance.model=list(model="apARCH",garchOrder=c(1,1)), mean.model=list(armaOrder=c(0,0),include.mean=T, archm=F,arfima=F),distribution.model="norm",fixed.pars=list(mu=0)) mod.fit.aparch11<-ugarchfit(spec=aparch11,data=ResInf,out.sample=12) show(mod.fit.aparch11) modelfor.aparch11=ugarchforecast(mod.fit.aparch11, data = NULL, n.ahead = 12, n.roll = 0)show(modelfor.aparch11) plot(mod.fit.aparch11) plot(modelfor.aparch11)



Lampiran 9 : Hasil Uji ADF Data Inflasi



| Augmented Dickey-Fuller Unit Root Tests | | | | | | | | | | | | |
|---|------|----------|----------|-------|----------|-------|--------|--|--|--|--|--|
| Type | Lags | Rho | Pr < Rho | Tau | Pr < Tau | F | Pr > F | | | | | |
| Zero Mean | 0 | -87.9504 | <.0001 | -7.12 | <.0001 | | | | | | | |
| | 1 | -70.6531 | <.0001 | -5.87 | <.0001 | | | | | | | |
| | 2 | -46.1690 | <.0001 | -4.54 | <.0001 | | | | | | | |
| Single Mean | 0 | -120.397 | 0.0001 | -8.62 | <.0001 | 37.14 | 0.0010 | | | | | |
| | 1 | -109.191 | 0.0001 | -7.32 | <.0001 | 26.76 | 0.0010 | | | | | |
| | 2 | -78.9235 | 0.0016 | -5.84 | <.0001 | 17.09 | 0.0010 | | | | | |
| Trend | 0 | -121.756 | 0.0001 | -8.65 | <.0001 | 37.45 | 0.0010 | | | | | |
| | 1 | -111.037 | 0.0001 | -7.35 | <.0001 | 27.02 | 0.0010 | | | | | |
| | 2 | -80.8692 | 0.0007 | -5.89 | <.0001 | 17.36 | 0.0010 | | | | | |

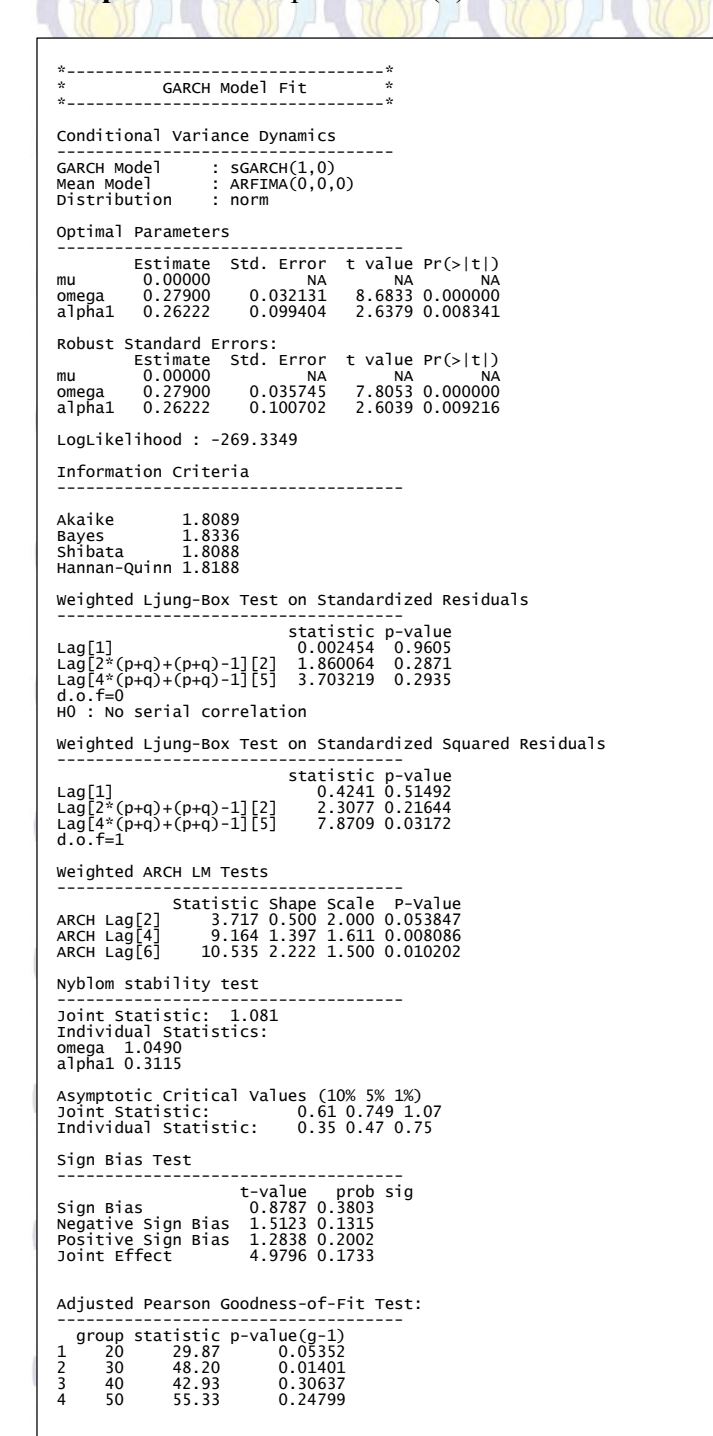


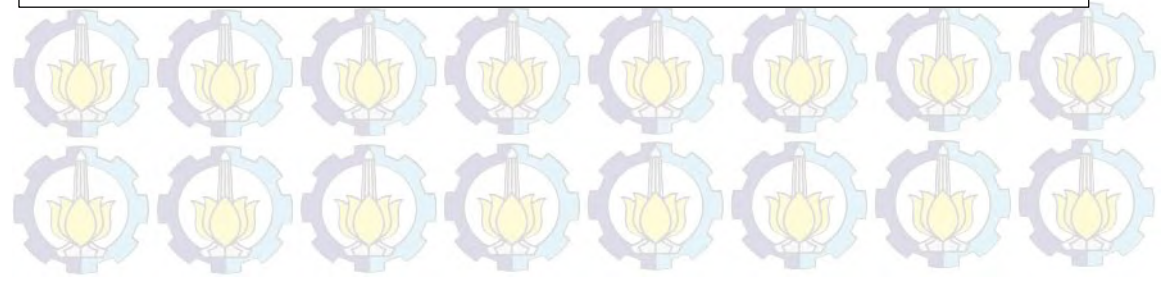
Lampiran 10: Hasil Uji ADF Data Persentase Perubahan Rata-rata Harga Minyak Dunia

| Augmented Dickey-Fuller Unit Root Tests | | | | | | | | | | | |
|---|------|----------|----------|--------|----------|-------|--------|--|--|--|--|
| Type | Lags | Rho | Pr < Rho | Tau | Pr < Tau | F | Pr > F | | | | |
| Zero Mean | 0 | -201.035 | 0.0001 | -12.15 | <.0001 | | | | | | |
| | 1 | -207.863 | 0.0001 | -10.00 | <.0001 | | | | | | |
| | 2 | -222.999 | 0.0001 | -8.78 | <.0001 | | | | | | |
| Single Mean | 0 | -202.575 | 0.0001 | -12.19 | <.0001 | 74.32 | 0.0010 | | | | |
| | 1 | -211.445 | 0.0001 | -10.05 | <.0001 | 50.53 | 0.0010 | | | | |
| | 2 | -230.502 | 0.0001 | -8.86 | <.0001 | 39.22 | 0.0010 | | | | |
| Trend | 0 | -202.568 | 0.0001 | -12.17 | <.0001 | 74.07 | 0.0010 | | | | |
| | 1 | -211.359 | 0.0001 | -10.03 | <.0001 | 50.39 | 0.0010 | | | | |
| | 2 | -230.168 | 0.0001 | -8.83 | <.0001 | 39.14 | 0.0010 | | | | |



Lampiran 11 : Output ARCH(1)





Lampiran 12 : Output ARCH(2) * GARCH Model Fit Conditional Variance Dynamics GARCH Model : SGARCH(2,0) Mean Model : ARFIMA(0,0,0) Distribution : norm Optimal Parameters mu 0.00000 NA NA NA NA Omega 0.23969 0.033268 7.2047 0.000000 alphal 0.24070 0.101683 2.3672 0.017925 alpha2 0.13061 0.069452 1.8806 0.060029 LogLikelihood : -266.4199 Information Criteria Akaike Bayes 1.8332 Shibata 1.7959 Hannan-Quinn 1.8110 Weighted Ljung-Box Test on Standardized Residuals Statistic p-value Lag[1] 0.04221 0.8372 Lag[2*(p+q)+(p+q)-1][2] 1.76243 0.3054 Lag[4*(p+q)+(p+q)-1][5] 3.93577 0.2622 d.o.f=0 HO: No serial correlation Weighted Ljung-Box Test on Standardized Squared Residuals Weighted ARCH LM Tests ARCH Lag[3] 10.23 0.500 2.000 0.001381 ARCH Lag[5] 10.25 1.440 1.667 0.005713 ARCH Lag[7] 11.88 2.315 1.543 0.006619 Nyblom stability test Joint Statistic: 1.1283 Individual Statistics: omega 0.9365 alpha1 0.3179 alpha2 0.2499 Asymptotic Critical Values (10% 5% 1%) Joint Statistic: 0.846 1.01 1.35 Individual Statistic: 0.35 0.47 0.75 Sign Bias Test | t-value | prob sig | Sign Bias | 0.613 0.5403 | Negative Sign Bias | 1.345 0.1798 | Positive Sign Bias | 1.207 0.2286 | Joint Effect | 4.758 0.1904 Adjusted Pearson Goodness-of-Fit Test: group statistic p-value(g-1) 20 31.33 0.0371 30 32.20 0.3112 40 42.93 0.3064 50 48.33 0.5001



Lampiran 13 : Output GARCH(0,1)

```
* GARCH Model Fit *
Conditional Variance Dynamics
GARCH Model : SGARCH(0,1)
Mean Model : ARFIMA(0,0,0)
Distribution : norm
LogLikelihood : -274.3737
Information Criteria
Akaike 1.8425
Bayes 1.8672
Shibata 1.8424
Hannan-Quinn 1.8524
Weighted Ljung-Box Test on Standardized Residuals
statistic p-value
Lag[1] 0.0005998 0.9805
Lag[2*(p+q)+(p+q)-1][2] 0.6244081 0.6380
Lag[4*(p+q)+(p+q)-1][5] 1.2285885 0.8061
d.o.f=0
HO: No serial correlation
Weighted Ljung-Box Test on Standardized Squared Residuals
              statistic p-value
p+q)+(p+q)-1][2] 17.46 2.068e-05
p+q)+(p+q)-1][5] 22.75 3.380e-06
Lag[1]
Lag[2*(p+q)+(p+q)-1][2]
Lag[4*(p+q)+(p+q)-1][5]
d.o.f=1
Weighted ARCH LM Tests
Statistic Shape Scale P-Value
ARCH Lag[2] 9.943 0.500 2.000 0.001614
ARCH Lag[4] 12.676 1.397 1.611 0.001024
ARCH Lag[6] 14.061 2.222 1.500 0.001330
Asymptotic Critical Values (10% 5% 1%)
Joint Statistic: 0.61 0.749 1.07
Individual Statistic: 0.35 0.47 0.75
Sign Bias Test
t-value prob sig
Sign Bias 1.1503 2.509e-01
Negative Sign Bias 0.2705 7.870e-01
Positive Sign Bias 4.7864 2.690e-06 ***
Joint Effect 25.4043 1.271e-05 ***
Adjusted Pearson Goodness-of-Fit Test:
   group statistic p-value(g-1)
20 30.80 0.04246
30 42.60 0.04955
40 49.87 0.11397
50 69.33 0.02946
```



* GARCH Model Fit * Conditional Variance Dynamics GARCH Model : SGARCH(0,2) Mean Model : ARFIMA(0,0,0) Distribution : norm Optimal Parameters LogLikelihood : -274.3574 Information Criteria Akaike Akaike 1.8490 Bayes 1.8861 Shibata 1.8489 Hannan-Quinn 1.8639 Weighted Ljung-Box Test on Standardized Residuals statistic p-value Lag[1] 0.0006028 0.9804 Lag[2*(p+q)+(p+q)-1][2] 0.6244090 0.6380 Lag[4*(p+q)+(p+q)-1][5] 1.2294893 0.8059 d.o.f=0 HO: No serial correlation Weighted ARCH LM Tests Statistic Shape Scale P-Value ARCH Lag[3] 3.623 0.500 2.000 0.0570 ARCH Lag[5] 3.752 1.440 1.667 0.1977 ARCH Lag[7] 5.733 2.315 1.543 0.1602 Nyblom stability test Joint Statistic: 4.1973 Individual Statistics: omega 0.7987 beta1 0.8839 beta2 0.8839 Asymptotic Critical Values (10% 5% 1%) Joint Statistic: 0.846 1.01 1.35 Individual Statistic: 0.35 0.47 0.75 Sign Bias Test Adjusted Pearson Goodness-of-Fit Test:

Lampiran 14: Output GARCH(0,2)



Lampiran 15: Output GARCH(1,1)

```
GARCH Model Fit *
Conditional Variance Dynamics
GARCH Model : SGARCH(1,1)
Mean Model : ARFIMA(0,0,0)
Distribution : norm
Optimal Parameters
LogLikelihood : -264.1982
Information Criteria
Akaike
Bayes 1.8184
Shibata 1.7811
Hannan-Quinn 1.7961
Weighted Ljung-Box Test on Standardized Residuals
                statistic p-value
0.0828 0.7735
q)+(p+q)-1][2] 2.1669 0.2365
g)+(p+q)-1][5] 4.3932 0.2089
Lag[1]
Lag[2*(p+q)+(p+q)-1][2]
Lag[4*(p+q)+(p+q)-1][5]
d.o.f=0
HO: No serial correlation
Weighted Ljung-Box Test on Standardized Squared Residuals
Weighted ARCH LM Tests

Statistic Shape Scale P-Value

ARCH Lag[3] 1.849 0.500 2.000 0.1738

ARCH Lag[5] 1.989 1.440 1.667 0.4736

ARCH Lag[7] 3.890 2.315 1.543 0.3627
Nyblom stability test
Joint Statistic: 0.6956
Individual Statistics:
omega 0.6223
alphal 0.3754
betal 0.5631
Asymptotic Critical Values (10% 5% 1%)
Joint Statistic: 0.846 1.01 1.35
Individual Statistic: 0.35 0.47 0.75
Sign Bias Test
t-value prob sig
Sign Bias 0.4394 0.6607
Negative Sign Bias 1.5076 0.1327
Positive Sign Bias 0.9940 0.3210
Joint Effect 5.4765 0.1401
Adjusted Pearson Goodness-of-Fit Test:
```



Lampiran 16: Output GARCH(1,2) GARCH Model Fit * Conditional Variance Dynamics GARCH Model : SGARCH(1,2) Mean Model : ARFIMA(0,0,0) Distribution : norm Mean Model Distribution Optimal Parameters Robust Standard Errors: mu 0.00000 NA NA NA omega 0.10446 0.038535 2.71074 0.008767 alpha1 0.27846 0.106243 2.62100 0.008767 beta1 0.45149 0.540825 0.83482 0.403820 beta2 0.00000 0.488939 0.00000 1.000000 LogLikelihood : -263.8557 Information Criteria Akaike 1.7857 Bayes 1.8351 Shibata 1.7854 Hannan-Quinn 1.8055 Weighted Ljung-Box Test on Standardized Residuals statistic p-value Lag[1] 0.06838 0.7937 Lag[2*(p+q)+(p+q)-1][2] 2.20064 0.2315 Lag[4*(p+q)+(p+q)-1][5] 4.45259 0.2027 d.o.f=0 H0: No serial correlation Weighted Ljung-Box Test on Standardized Squared Residuals Lag[1] statistic p-value 0.08378 0.7722 Lag[2*(p+q)+(p+q)-1][8] 2.83141 0.7164 Lag[4*(p+q)+(p+q)-1][14] 5.59956 0.6924 d.o.f=3 Weighted ARCH LM Tests Statistic Shape Scale P-Value ARCH Lag[4] 0.1398 0.500 2.000 0.7085 ARCH Lag[6] 2.1215 1.461 1.711 0.4646 ARCH Lag[8] 2.7872 2.368 1.583 0.5840 Nyblom stability test Joint Statistic: 1.1058 Individual Statistics: omega 0.5492 alpha1 0.3648 beta1 0.5130 beta2 0.4050 Asymptotic Critical Values (10% 5% 1%) Joint Statistic: 1.07 1.24 1.6 Individual Statistic: 0.35 0.47 0.75 Sign Bias Test t-value prob sig Sign Bias 0.4752 0.6350 Negative Sign Bias 1.5561 0.1208 Positive Sign Bias 0.9872 0.3243 Joint Effect 5.5659 0.1347 Adjusted Pearson Goodness-of-Fit Test:



group statistic p-value(g-1) 20 28.67 0.07141 30 34.20 0.23201 40 44.00 0.26815 50 48.00 0.51364

Lampiran 17 : Output GARCH(2,1)

```
GARCH Model Fit *
 Conditional Variance Dynamics
 GARCH Model : SGARCH(2,1)
Mean Model : ARFIMA(0,0,0)
Distribution : norm
 Optimal Parameters
Robust Standard Errors:

mu 0.000000 omega 0.111738 0.04822 2.31725 0.020490 alpha2 0.022228 0.12672 0.17542 0.860752 beta1 0.418352 0.18542 2.25620 0.024058
 LogLikelihood : -263.8418
 Information Criteria
Akaike 1.7856
Bayes 1.8350
Shibata 1.7853
Hannan-Quinn 1.8054
 Weighted Ljung-Box Test on Standardized Residuals
statistic p-value
Lag[1] 0.07186 0.7887
Lag[2*(p+q)+(p+q)-1][2] 2.17515 0.2353
Lag[4*(p+q)+(p+q)-1][5] 4.40919 0.2072
d.0.f=0
H0: No serial correlation
 Weighted Ljung-Box Test on Standardized Squared Residuals
Weighted ARCH LM Tests
Statistic Shape Scale P-Value
ARCH Lag[4] 0.1283 0.500 2.000 0.7202
ARCH Lag[6] 2.0613 1.461 1.711 0.4774
ARCH Lag[8] 2.7239 2.368 1.583 0.5963
Nyblom stability test

Joint Statistic: 0.8028
Individual Statistics:
omega 0.5611
alpha1 0.3613
alpha2 0.2835
beta1 0.5344
Asymptotic Critical Values (10% 5% 1%)
Joint Statistic: 1.07 1.24 1.6
Individual Statistic: 0.35 0.47 0.75
Sign Bias Test
t-value prob sig
Sign Bias 0.455 0.6494
Negative Sign Bias 1.510 0.1321
Positive Sign Bias 1.026 0.3056
Joint Effect 5.556 0.1354
 Adjusted Pearson Goodness-of-Fit Test:
    group statistic p-value(g-1)
20 29.73 0.05529
30 34.00 0.23926
40 43.47 0.28688
50 46.00 0.59550
 1
2
3
4
```



Lampiran 18: Output GARCH(2,2) GARCH Model Fit * Conditional Variance Dynamics GARCH Model : sGARCH(2,2) Mean Model : ARFIMA(0,0,0) Distribution : norm Mean Model Distribution Optimal Parameters LogLikelihood : -263.8418 Information Criteria Akaike 1.7923 Bayes 1.8540 Shibata 1.7917 Hannan-Quinn 1.8170 Weighted Ljung-Box Test on Standardized Residuals statistic p-value Lag[1] 0.07186 0.7887 Lag[2*(p+q)+(p+q)-1][2] 2.17515 0.2353 Lag[4*(p+q)+(p+q)-1][5] 4.40920 0.2072 d.o.f=0 H0: No serial correlation Weighted Ljung-Box Test on Standardized Squared Residuals Lag[1] statistic p-value Lag[2*(p+q)+(p+q)-1][11] 4.0167 0.7304 Lag[4*(p+q)+(p+q)-1][19] 8.9721 0.5648 d.o.f=4 Weighted ARCH LM Tests ARCH Lag[5] 3.2999 2.402 1.619 0.5113 Nyblom stability test Nyolom stability test Joint Statistic: 2.5187 Individual Statistics: omega 0.5611 alpha1 0.3613 alpha2 0.2835 beta1 0.5344 beta2 0.4243 Asymptotic Critical Values (10% 5% 1%) Joint Statistic: 1.28 1.47 1.88 Individual Statistic: 0.35 0.47 0.75 Sign Bias Test t-value prob sig Sign Bias 0.455 0.6494 Negative Sign Bias 1.510 0.1321 Positive Sign Bias 1.026 0.3056 Joint Effect 5.556 0.1354



Adjusted Pearson Goodness-of-Fit Test:

group statistic p-value(g-1)
1 20 29.73 0.05529
2 30 34.00 0.23926
3 40 43.47 0.28688
4 50 46.00 0.59550

Lampiran 19: Output GJR-GARCH(1,1)

```
GARCH Model Fit *
Conditional Variance Dynamics
GARCH Model : gjrGARCH(1,1)
Mean Model : ARFIMA(0,0,0)
Distribution : norm
Optimal Parameters
Std. Error t value

NA NA

0.001435 5.6024

0.002004 29.8979

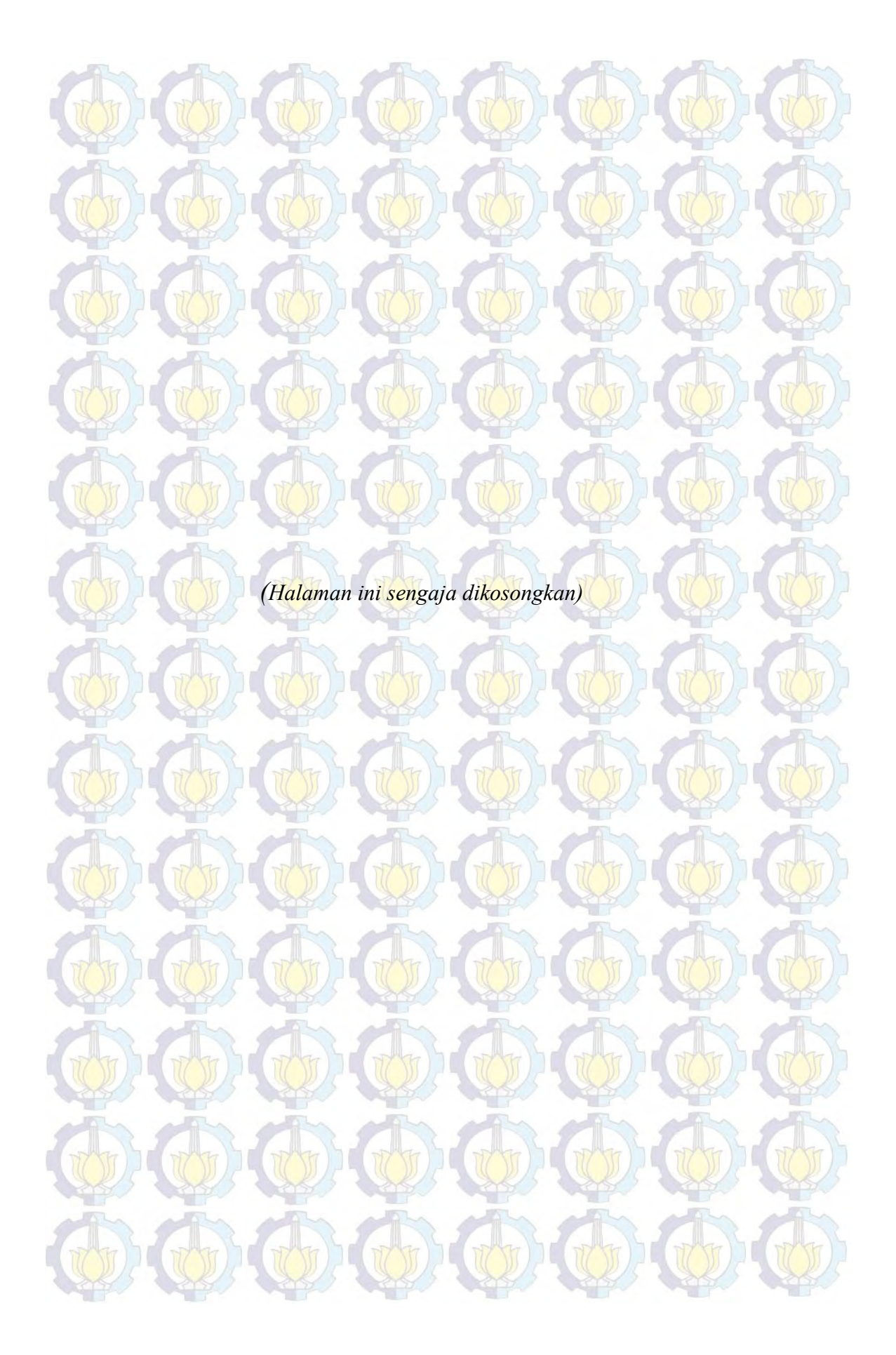
0.000009 106285.8678

0.003413 -40.2866
                                                     t value Pr(>|t|)
LogLikelihood : -261.8665
Information Criteria
Akaike 1.7724
Bayes 1.8218
Shibata 1.7721
Hannan-Quinn 1.7922
Weighted Ljung-Box Test on Standardized Residuals
                statistic p-value
0.3146 0.5749
q)+(p+q)-1][2] 0.9845 0.5033
q)+(p+q)-1][5] 2.1150 0.5915
Lag[1]
Lag[2*(p+q)+(p+q)-1][2]
Lag[4*(p+q)+(p+q)-1][5]
d.o.f=0
HO: No serial correlation
Weighted Ljung-Box Test on Standardized Squared Residuals
Weighted ARCH LM Tests
Statistic Shape Scale P-Value
ARCH Lag[3] 1.474 0.500 2.000 0.2247
ARCH Lag[5] 1.730 1.440 1.667 0.5340
ARCH Lag[7] 4.377 2.315 1.543 0.2954
Nyblom stability test
Joint Statistic: 0.9251
Individual Statistics:
omega 0.16963
alpha1 0.09659
beta1 0.10194
gamma1 0.10577
Asymptotic Critical Values (10% 5% 1%)
Joint Statistic: 1.07 1.24 1.6
Individual Statistic: 0.35 0.47 0.75
Sign Bias Test
Adjusted Pearson Goodness-of-Fit Test:
   group statistic p-value(g-1)
20 22.40 0.26480
30 28.20 0.50724
40 54.40 0.05163
50 80.33 0.00316
1
2
3
4
```



Lampiran 20 : Output APARCH(1,1) GARCH Model Fit * Conditional Variance Dynamics GARCH Model : apARCH(1,1) Mean Model : ARFIMA(0,0,0) Distribution : norm Mean Model Distribution Optimal Parameters LogLikelihood : -252.127 Information Criteria Akaike 1.7142 Bayes 1.7759 Shibata 1.7136 Hannan-Quinn 1.7389 Weighted Ljung-Box Test on Standardized Residuals statistic p-value 0.9558 0.32824 2.8050 0.15848 5.9894 0.09047 Lag[1] Lag[2*(p+q)+(p+q)-1][2] Lag[4*(p+q)+(p+q)-1][5] d.o.f=0 HO: No serial correlation Weighted Ljung-Box Test on Standardized Squared Residuals Weighted ARCH LM Tests ARCH Lag[7] 1.8639 2.315 1.543 0.7461 Nyblom stability test Joint Statistic: NA Individual Statistics: omega 0.5245 alpha1 0.2097 beta1 0.3934 gamma1 NA delta 0.4622 Asymptotic Critical Values (10% 5% 1%) Joint Statistic: 1.28 1.47 1.88 Individual Statistic: 0.35 0.47 0.75 Sign Bias Test t-value prob sig Sign Bias 0.62498 0.5325 Negative Sign Bias 0.05398 0.9570 Positive Sign Bias 0.02341 0.9813 Joint Effect 0.90304 0.8247 Adjusted Pearson Goodness-of-Fit Test: group statistic p-value(g-1) 1 20 14.80 0.7352 2 30 22.40 0.8033 3 40 26.67 0.9333 4 50 35.67 0.9228





BIOGRAFI PENULIS



Penulis dilahirkan di Kendari, Sulawesi Tenggara pada tanggal 15 Oktober 1985. Penulis merupakan putri bungsu dari bapak H. L. Ubo dengan ibu Wd. Ombeli. Penulis telah menempuh pendidikan formal yaitu di SD Negeri 2 Kemaraya (1991-1997), SLTP Negeri 1 Kendari (1997-2000), SMU Negeri 4 Kendari (2000-2003). Kemudian penulis melanjutkan pendidikan ke jenjang D-IV di Sekolah Tinggi Ilmu Statistik (STIS)

Jakarta (2003-2007) jurusan Statistik Sosial dan Kependudukan. Setelah menyelesaikan pendidikan D-IV di STIS, penulis ditugaskan sebagai staf di BPS Kabupaten Kolaka Utara Provinsi Sulawesi Tenggara dan empat tahun berikutnya penulis dipercaya menjadi Kasie Statistik Distribusi di BPS Kota Kendari. Pada tahun 2014 penulis memperoleh kesempatan untuk mendapatkan beasiswa dari BPS untuk melanjutkan jenjang pendidikan S2 di Jurusan Statistika Fakultas Matematika dan Ilmu Pengetahuan Alam (FMIPA) Institut Teknologi Sepuluh Nopember (ITS) Surabaya. Pembaca yang ingin memberikan kritik, saran dan pertanyaan mengenai penelitian ini, dapat menghubungi penulis melalui email sriaryani@bps.go.id.

